

Memoria interpretativa: Proyecto ASTERO 2020

Arqueología y solcialización del conocimiento en La Alcudia de Elche. Las Termas Orientales y áreas circundantes

UNIVERSIDAD DE ALICANTE

S. ref. expte. A-2020-0166

Jaime Molina Vidal

Francisco Javier Muñoz Ojeda

Juan Francisco Álvarez Tortosa



Universitat d'Alacant
Universidad de Alicante



Patrimonio
Virtual



INSTITUT UNIVERSITARI
DE RECERCA EN
ARQUEOLOGIA I
PATRIMONI HISTÒRIC
UNIVERSITAT D'ALACANT

INSTITUTO UNIVERSITARIO
DE INVESTIGACIÓN EN
ARQUEOLOGÍA Y
PATRIMONIO HISTÓRICO
UNIVERSIDAD DE ALICANTE

ÍNDICE

1. Antecedentes.....	5
2. Objetivos concretos e interés del proyecto y sus resultados.....	10
3. Descripción de los trabajos.....	15
4. Sector noroeste del complejo termal: Ambientes 18, 19, 33, 41, 42 y 43.....	20
4.1. Sobre ambientes 18, 19, 41, 42 y 43	
4.2. Ambiente 18	
4.3. Ambiente 41	
4.4. Ambiente 43	
4.5. Ambiente 19	
5. Sector noreste del complejo termal: ambientes 31 y 37.....	74
6. Ambiente 4.....	81
7. Consolidación de estructuras.....	103
8. Cubrición y protección de los espacios excavados.....	125
9. Inventario.....	127
10. Listado de Unidades Estratigráficas.....	153
11. Resumen de la campaña 2020.....	187
12. Acta de depósito de los materiales.....	196

1. Antecedentes

Las estructuras que dan forma al conjunto denominado como Termas Orientales de La Alcudia se encuentran ubicadas en el Sector 7-F del yacimiento arqueológico de La Alcudia, tradicionalmente denominado como “Sector del Alcantarillado”:

- Coordenadas ETRS89 - UTM Huso 30 (25830), X: 701823.28541525, Y: 4234872.0594627
- Referencia catastral de la parcela: 03065A09900078).

Su descubrimiento casual, fruto de unas obras de mantenimiento, provocó que las campañas 63, 64 y 65 en La Alcudia se centrasen en su excavación y estudio, dejando a la vista durante esas excavaciones gran parte de las estructuras que hoy día pueden visitarse. Producto de estas intervenciones son las dos únicas **publicaciones** que de manera concreta describen y analizan este conjunto termal: por un lado, la publicación en el marco del Coloquio Internacional de Gijón del año 2000 Termas romanas en el Occidente del Imperio (Ramos Molina- Tendero Porras, 2000) y la publicación de R. Ramos Fernández y A. Ramos Molina (2007).

En ambas publicaciones se realiza una descripción estructural del conjunto termal, además de algunas indicaciones sobre materiales aparecidos y su adscripción cronológica, aunque dejando en todo momento claro que es una zona en estudio. Del mismo se realiza una primera aproximación cronológica ajustando sus fases constructivas a las que tradicionalmente se han documentado en el yacimiento arqueológico de La Alcudia (Ramos Folqués, 1966).

Durante las dos primeras campañas (1998 y 1999) la excavación se centró en descubrir gran parte de la planta que en la actualidad puede visitarse en el yacimiento. La estructura general descrita en las publicaciones se compone de un denominado vestíbulo o estancia D, en la parte oriental, cuyo pavimento se encuentra decorado con un mosaico polícromo que ocupa todo el espacio, desde el cual se abren dos vanos al norte y un acceso mediante escaleras al oeste.

En todo momento llama la atención a los excavadores la presencia de un sistema complejo de alcantarillado, algo por otro lado lógico teniendo en cuenta la naturaleza del edificio. En cuanto a las cronologías que se barajan para la construcción de las termas, en un primer momento éstas podrían arrancar en la primera mitad del s. I d.

C. con una amortización aún por definir (Ramos Molina-Tendero Porras, 2000). Mientras que la excavación de un perfil conservado en la conocida como dependencia C durante la campaña del 2000 (Ramos Fernández- Ramos Molina, 2007) reveló una cronología de abandono visigoda, mientras que su fundación no parecía moverse del s. I d.C. Además, durante la excavación del perfil comentado se documentaron varios niveles de pavimentación que ilustran, al menos dos fases intermedias entre la visigoda comentada y la de fundación. Estas dos nuevas fases parecen asimilarse, según sus excavadores, en los siglos II y III d.C., respectivamente.

De forma adicional en las publicaciones se señala a existencia de, al menos, dos fases constructivas en función de la presencia de varios modos constructivos y la propia relación estratigráfica entre estructuras, aunque en ningún momento se aclara una asignación cronológica para estas fases estructurales. En ambos artículos se realiza una descripción detallada de la articulación de espacios, apuntando en algunos casos la aparición de materiales que, por su particularidad, llama la atención de los excavadores. En el caso de la estancia conocida como Vestíbulo se apunta la aparición de un conjunto de agujas de hueso (Tendero- Lara, 2003), plaquetas de mármol, un *urceus* tardorromano, ánforas y lo que podría ser un posible *labrum*, sin especificar en ningún momento asignación estratigráfica o fase constructiva con la que se asocia. Cabe destacar la presencia de tres monedas, identificada como ases altoimperiales, en el relleno de la canalización presente bajo el umbral del ambiente. Por otro lado, a la hora de describir el espacio que ocupa la gran *natatio* (estancia F) se indica que se encontraba amortizada y rellena por gran cantidad de material constructivo, llamando la atención sobre el conjunto de enlucidos pintados que imitaban tipos marmóreos, algo que por otro lado es típico de los primeros estilos pictóricos que se desarrollan durante época altoimperial. Finalmente apuntan la presencia de dos monedas fechadas en el s. III d.C. y s. II d.C. respectivamente.

Tal y como ya hemos comentado, la campaña del 2000 se centró en finalizar la excavación de la conocida como estancia C, donde se había dejado, a modo de testigo, un gran perfil en la parte norte del ambiente. A partir de esta excavación se propusieron hasta **cuatro fases** vinculadas a los cuatro niveles de pavimentación detectados:

- Fase 1: cuya cota coincide con el nivel de paso documentado en la estancia F de la *natatio*, se vincula a la denominada fase visigoda
- Fase 2: el segundo nivel se vincula al s. III d.C.

- Fase 3: el tercer nivel se relaciona con la construcción de la estancia C y por tanto con el funcionamiento del conjunto termal en el s. II d.C.
- Fase 4: finalmente, bajo el último pavimento se documentaron una serie de estructuras que los excavadores relacionan con una primera distribución del espacio termal en la primera mitad del s. I d.C.

Al margen de las publicaciones comentadas no tenemos constancia de más estudios en profundidad sobre este espacio termal, a pesar haberse excavado en posteriores campañas algunas zonas realmente amplias relacionadas con el edificio en cuestión y de haberse realizado sucesivas intervenciones de consolidación y restauración.

Tal y como podemos ver en la **planimetría** adjunta en el artículo de R. Ramos Fernández y A. Ramos Molina (2007) hasta la campaña de 2000 el vestíbulo, en su extremo oeste, conducía a unas escaleras que ascendían hasta un pequeño espacio que daba paso a la gran estancia F de la *natatio*. En posteriores campañas se procedió a la excavación del espacio existente al oeste, tras las escaleras, dejándose a la vista un ambiente que discurre de forma paralela a la estancia F, separada de esta por un muro al norte. En alguna fase, que desconocemos, este gran pasillo se encontraba compartimentado por tabiques con orientación norte-sur, que durante la consolidación y puesta en valor fueron eliminados.

También se amplió el sector excavado en su extremo oeste y norte, entorno a la estancia F de la *natatio*, dejando al descubierto una serie de ambientes de pequeño tamaño que presentaban pilas de ladrillos besales, lo cual apunta a la presencia de varios hipocaustos. La articulación de estos ambientes en torno a la estancia F nos hace pensar en la presencia de un gran *caldarium* o zona caliente aún por definir y comprender. Esta zona, al menos en su parte occidental también se encuentra recorrida por el sistema de alcantarillado que viene desde el extremo oriental del conjunto termal.

De este modo, y a falta de una revisión en profundidad de la documentación producida durante las distintas campañas llevadas a cabo en el conjunto termal, quedaría por definir lo que ahora mismo es la parte perimetral del sector. Los perfiles perimetrales en estos momentos no coinciden con muros limítrofes del conjunto.

Finalmente habría que señalar la reciente actuación en este sector del equipo de **Patrimonio Virtual**, dirigido por J. Molina Vidal (IP de esta propuesta de proyecto) que ha dado como resultado un conjunto de actuaciones de carácter básicamente docente y divulgativo:

- Campo de experimentación de diversos workshops sobre patrimonio virtual
- Laboratorio abierto de prácticas de toma de datos con GPS diferencial y captura fotogramétrica con drones
- Contribución en la reciente a la obra de divulgación coordinada por el prof. L. Abad Casal, 2016: *L'Alcúdia d'Elx. Un passeig per la història i l'entorn*, Alicante.

BIBLIOGRAFÍA

- Abad Casal, L.- Moratalla Jávega, J. - Tendero Porras, M., 2000: "Contextos de antigüedad tardía en las termas occidentales de La Alcudia", *Anales de Prehistoria y Arqueología de la Universidad de Murcia* 16, 133-147.
- Abad Casal, L.- Tendero Porras, M., 2008: *Ilici (La Alcudia de Elche, Alicante). Guía del Parque Arqueológico*, Alicante.
- Abad Casal, L.- Sala Sellés, F.- Grau Mira, I., 2002: *La Contestania Ibérica, treinta años después*, Alicante.
- Abad, L., 2003: "Vivir en Ilici", *Canelobre* 48, 59-81.
- 2016: *L'Alcúdia d'Elx. Un passeig per la història i l'entorn*, Alicante.
- Abad, L.- Abascal, J. M., 1991: *Textos para la historia de Alicante. Historia Antigua*, Alicante.
- Alföldy, G., 2003: "Administración, urbanización, instituciones, vida pública y orden social", *Canelobre (Las ciudades y los campos de Alicante en época romana)*, 48, Inst. Cult. Juan Gil-Albert, Alicante, 35-57.
- Almagro Gorbea, M. 1999: *El Rey Lobo de La Alcudia de Elche*, Alicante.
- Badie, A.- Gailledrat, E.- Moret, P.- Rouillard, P.- Sánchez, M. J.- Sillières, P., 2000: *Le site antique de La Picola à Santa Pola (Alicante, Espagne)*, París-Madrid.
- Castellano Hernández, Á. 1996: "Joyas de La Alcudia de Elche en la colección de orfebrería romana del Museo Arqueológico Nacional", *Boletín del Museo Arq. Nacional*, T. XIV, Madrid, 55-62.
- Corell, J., 1999: *Inscripciones romanas d'Ilici, Lucentum, Allon, Dianium i els seus respectius territoris*, Valencia.
- Chao Fernández, J. J.- Mesa Sanz, J. F. - Serrano Espinosa, M., 1999: "Un nuevo bronce hallado en la Alcudia", en J. González (ed.): *Ciudades privilegiadas del Occidente romano*, Sevilla, 417-424.
- Gozálvez Perez, V., 1974: "La Centuriatio de Ilici", *Estudios sobre Centuriaciones Romanas en España*, Univ. Autónoma Madrid, 101-113.
- Gurt J. M.- de Lanuza, A. - Palet, J. M., 1996: "Revisión del catastro romano de Ilici (Elche)", *Pyrenae* 27, 215-226.
- Gutiérrez Lloret, S., 1996: *La Cora de Tudmîr: de la antigüedad tardía al mundo islámico. Poblamiento y cultura material*, Madrid.
- Gutiérrez Lloret, S., 1999: "Cuando el Portus dejó de ser puerto: el territorio ilicitano en la Alta Edad Media (ss. VI-X)", *I Congreso de Historia Local (Santa Pola, octubre 1997)*, 79-94.
- Hernández Pérez, M.-Abad Casal, L., 2004: *Iberia, Hispania, Spania. Una mirada desde Ilici*, Alicante.
- Ibarra y Manzoni, A., 1981: *Ilici, su situación y antigüedades*, Instituto de Estudios Alicantinos, Diputación Provincial de Alicante, Serie II, 14, 320 págs. (Reproducción facsímil de la edición de Establecimiento Tipográfico de Antonio Reus, Alicante, 1879).
- Lara Vives, G., 2005: *El culto a Juno en Ilici y sus evidencias*, Villena.
- Lorenzo de San Román, R., 2004-2005: "La basilica-sinagoga de l'Alcúdia d'Elx (1905-2005). Problemes i estat de la qüestió 100 anys després", *Lucentum* 23-24, 127-156.
- Lorenzo de San Román, R., 2006: *L'Alcúdia d'Elx a l'Antiguitat tardana. Anàlisi historiogràfica i arqueològica de l'Ilici dels segles V-VIII*, Alicante.
- Llorens, M. M., 1987: *La ceca de Ilici*, Valencia.
- Márquez Villora, J. C., 1999: *El comercio romano en el Portus Ilicitanus. El abastecimiento exterior de productos alimentarios (siglos I a. C.- V d. C.)*, Alicante.
- Márquez Villora, J. C.- Molina Vidal, J., 2001: *El comercio en el territorio de Ilici. Epigrafía, importación de alimentos y relación con los mercados mediterráneos*, Alicante.
- Márquez Villora, J. C.- Poveda Navarro, A., 2000: "Espacio religioso y cultura material en Ilici (SS. IV-VII d. C.)", *V Reunió d'Arq. Cristiana Hispànica (Cartagena, 1998)*, Barcelona, 185-198.

- Mayer, M. - Olesti, O., 2001: "La sortitio de Ilici. Del documento epigráfico al paisaje histórico", *DHA* 27, 109-130.
- Márquez Villora, J.C.; Molina Vidal, J.; Sánchez Fernández, M. J., 1999: "La factoría de salazones del Portus Ilicitanus (Santa Pola, Alicante). Nuevos descubrimientos y estado de la cuestión", *Actas del XXV Congreso Nacional de Arqueología* (Valencia, febrero de 1999), 360-364.
- Molina Vidal J.; Poveda Navarro, A. M., 1997: "Nivel de abandono de un sector del foro de Ilici", *Actas del XXIII Congreso Nacional de Arqueología*, Vol. 1. 141-154.
- Molina Vidal, J., 2005: "La cetaria de Picola y la evolución del Portus Ilicitanus (Santa Pola, España)", *III Congreso Internacional de Estudios Históricos. El Mediterráneo: la cultura del mar y la sal* (Santa Pola, 24 al 27 de octubre de 2004) (Molina Vidal, J.- Sánchez Fernández, Mª J. Eds.), Santa Pola, 110-145.
- Molina Vidal, J., 2012: "La Cetaria bajo imperial de Picola (Santa Pola, Alicante)", *Santa Pola, arqueología y museo: Museos municipales en el MARQ*, 138-141
- Molina Vidal, J., 2015: "Poblamiento rural en el territorium de Ilici: la granja romana del Cabezo-Clot de Galvany (Elx,Alacant)". *Saguntum* 47, 105 - 120.
- Moratalla Jávega, J., 1996: "Explotación agropecuaria en época ibérica en torno a La Alcudia (Elche): el instrumental", *XXIII CNA* (Elche, 1995), vol. I, Elche, 369-376.
- Moratalla Jávega, J., 2001: "Restos de catastros romanos en el Medio Vinalopó y unos apuntes sobre Aspis", *Alquibla, Revista de Investigación del Bajo Segura* 7, Escuela Politécnica Superior de Orihuela-Instituto Universitario de Geografía, Orihuela, 551-579.
- Olmos, R. - Tortosa, T., 1997: *La Dama de Elche. Lecturas desde la diversidad*, col. Lynx 2, Madrid.
- Poveda, A., 2000: "El obispado de Ilici, Los orígenes del Cristianismo en Valencia y su entorno". *Grandes Temas Arqueológicos* 2, 85-92.
- Ramallo, S. - Vizcaino, J., 2002: "Bizantinos en Hispania. Un problema en la arqueología española", *Archivo Español de Arqueología* 75, 313-332.
- Ramos Fernández, R., 1975: *La ciudad romana de Ilici*, Alicante.
- Ramos Fernández, R., 1983a: "Estratigrafía del sector 5-F de La Alcudia de Elche", *Lucentum* 2, 147-172.
- Ramos Fernández, R., 1991: *El yacimiento arqueológico de La Alcudia de Elche, Consell Valencià de Cultura, Serie Minor 1*, Valencia.
- Ramos Fernández, R., 1995: *El templo ibérico de La Alcudia. La Dama de Elche*, Elche.
- Ramos Fernández, R.- Uroz Sáez, J., 1992: "Ilici", *Dialoghi di Archeologia* 1-2, 95-104.
- Ramos Fernández, R - Ramos Molina, A., 2007: "Las termas orientales de Ilici", *Caesaraugusta* 78, 545-554.
- Ramos Folqués, A., 1947: "La Dama de Elche. Datos para su cronología. El problema del nivel arqueológico de su hallazgo", *III Congreso Arqueológico del Sudeste Español*, Cartagena, 153-158.
- Ramos Folqués, A., 1966: "Estratigrafía de La Alcudia de Elche", *Saitabi* XVI, 71-76.
- Ramos Folqués, A., 1990: "Cerámica ibérica de la Alcudia (Elche, Alicante)", Alicante.
- Ramos Molina, A., 2000: La escultura ibérica en el Bajo Vinalopó y el Bajo Segura. Institut Municipal de Cultura, Ajuntament d'Elx, Elche.
- Ramos Molina, A.- Tendero Porras, M., 2000: "Dos nuevos conjuntos termales en Ilici (La Alcudia, Elche)", *II Coloquio Internacional de Arqueología de Gijón, Termas Romanas en el occidente del Imperio* (Fernández Ochoa, C. y García Entero, V. eds.), Gijón, 245-250.
- Reynolds, P., 1993: *Settlement and Pottery in the Vinalopó Valley (Alicante, Spain) A. D. 400-700*, *BAR, Int. Ser. 588*, Oxford, 9-43.
- Rovira, S., 2007 (coord.): *La Dama de Elche*, Madrid.
- Ruiz Roig, E. 2001: *Los mosaicos de Ilici y del Portus Ilicitanus. Consell Valencià de Cultura, València*.
- Sala Sellés, F., 1992: *La tienda del alfarero del yacimiento de la Alcudia*, Alicante.

2. Objetivos concretos e interés del proyecto y sus resultados

A partir de los antecedentes y el estado de la investigación que hemos descrito se puede observar que nos hallamos en un sector (F7) en el que el estado de conocimiento de los restos es, según indican los directores de las intervenciones y personal que ha publicado los resultados, parcial, inconcluso y en proceso de estudio. De hecho, la información publicada ofrece una serie de puntos oscuros que han servido de base para orientar nuestro programa de excavaciones con el fin de concluir el análisis y estudio del conjunto. Por otra parte, en La Alcudia de Elche se han ido arrastrando una serie de tesis básicas fruto de la estratigrafía construida por A. Ramos Folqués que ofrece muchas dudas y que debe ser revisada, o sustituida por un nuevo panel de hipótesis y de parámetros de referencia contruidos a partir de las nuevas técnicas y perspectivas de la investigación. En función de ese estado inacabado de las investigaciones planteamos algunos de nuestros objetivos:

- Objetivos concretos relacionado con el conjunto de las Termas Orientales:

Determinar la planta completa del conjunto termal en función de su secuencia evolutiva	Se ha completado en sus lados noroeste
Datar de forma precisa los niveles constructivos y las fases de ocupación	Se ha fijado la etapa principal constructiva a finales del siglo I d.C.
Consolidar todas las estructuras exhumadas en estas intervenciones permitiendo su presentación a los visitantes de forma comprensible	Se han protegido y consolidado totalmente para su puesta en valor el Apodyterium

- Objetivos relacionados con el análisis arqueológico del yacimiento arqueológico de La Alcudia de Elche:

Documentar la secuencia estratigráfica completa del conjunto	La actuación en el extremo occidental, con niveles de calle, y en la cimentación de las
--	---

para proporcionar nuevas hipótesis y parámetros interpretativos.	termas han precisado los límites cronológicos del conjunto
Establecer las principales fases constructivas del conjunto y de La Alcudia, revisando el análisis e interpretación de la evolución histórica del conjunto.	Se han determinado, al menos, cuatro grandes fases constructivas y de ocupación.
Iniciar la comprensión del conjunto en la trama urbanística general: viales y áreas aledañas del conjunto termal, con el fin de planificar futuras intervenciones	Se ha determinado la existencia de un eje viario principal que conecta con las excavaciones del sector 5F.

- Proyección social del yacimiento de La Alcudia:

Difundir los nuevos descubrimientos entre la sociedad ofreciendo nuevas perspectivas	Continuamos la dinámica iniciada en campañas anteriores, con la elaboración de videos explicativos de los avances y su difusión en redes sociales. Del mismo modo se mantuvo un contacto directo con los medios de comunicación para comunicar los avances realizados
Relativizar la obsesiva dependencia social, que no científica, del “mito de la Dama de Elche”, como único e irreplicable hito de referencia de la arqueología ilicitana	En las notas de prensa se hizo especial hincapié en la importancia de La Alcudia como centro urbano romano y su vertebración del territorio durante siglos desde su construcción.
Construir un programa de concienciación y sensibilización social del patrimonio histórico de La Alcudia de Elche sobre nuevos parámetros y bases interpretativos	En las acciones de divulgación y difusión se hizo hincapié en la importancia del yacimiento como centro de atracción de la población para entender La Alcudia como parte

	fundamental del desarrollo de municipio.
--	--

Interés del proyecto:

- **Interés científico.** ¿Cómo se puede comprender la arqueología de Hispania suroriental sin información fiable y actualizada de la colonia de referencia de la región, sin Ilici? Más allá del interés local, desde el punto de vista científico, la paralización de las excavaciones en La Alcudia bloquea el progreso de las investigaciones sobre la Historia romana en este ámbito. Por ello ha sido fundamental reemprender un programa de excavaciones apoyándose, de forma adicional, en el conjunto de nuevas técnicas y metodologías que permitirán avanzar en el conocimiento científico.
- **Interés patrimonial.** La Alcudia de Elche constituye el principal conjunto arqueológico y patrimonial de carácter público de la Comunidad Valenciana sin excavar. Contrariamente a lo que se pueda pensar el yacimiento se encuentra en buena parte por descubrir. No son muchas las colonias romanas de las que aún se desconoce la ubicación del foro, o de la que se tenga una secuencia estratigráfica fiable, o lo que es más curioso en la que no se hubieran proyectado intervenciones arqueológicas sistemáticas en los últimos veinte años.
- **Interés pedagógico y formativo.** La Universidad de Alicante, como propietaria del yacimiento, tiene como función preferente la utilización de este recinto arqueológico como laboratorio de prácticas, ámbito docente o espacio de experimentación. Por ello desde la campaña 2017 hemos incorporado cinco alumnas/os de máster y más de treinta estudiantes de grado. Además, se ha constituido un equipo de excavación principalmente constituido por alumnado universitario y egresadas/os con el fin de crear un vínculo científico, pero también social con la comunidad científica y profesional.
- **Interés social.** El fin último de toda actuación científica es la sociedad. En el caso de la arqueología esto no es solo una frase pues, a parte de los resultados de la investigación básica en ocasiones de consumo interno, las excavaciones generan restos patrimoniales, interpretaciones de carácter histórico, elementos de carácter identitario y, en general, resultados tangibles para la sociedad. Por ello creemos

que una dimensión fundamental de este proyecto es la socialización del conocimiento, la divulgación de sus resultados.

- **Interés estratégico.** Uno de los elementos básicos de la investigación actual es la financiación de la ciencia. En el caso de las actuaciones arqueológicas regulares la financiación proviene preferentemente de los sectores públicos, pero se deben promocionar los canales de financiación privados vía mecenazgo. Pero si no se ofrecen resultados previos y se impacta en la opinión pública es difícil conseguir generar una dinámica favorable a la financiación externa. Por ello consideramos necesario desarrollar proyectos arqueológicos que abran nuevas perspectivas arqueológicas y patrimoniales.

En resumen, son muchas las razones para impulsar este proyecto, pero si hubiéramos de sintetizar las líneas básicas de este programa de actuaciones podríamos señalar cuatro ejes fundamentales:

- **Austeridad.** Al amparo de las múltiples burbujas que han afectado a la sociedad española en las últimas décadas se ha desarrollado un modelo de intervención arqueológica y de gestión del patrimonio acorde con esa embriaguez de recursos. Pero ese tiempo ha acabado y es necesario recuperar un **modelo de gestión del patrimonio mucho más austero**, sobre todo por responsabilidad social. Por ello planteamos tipos de actuación que reduzcan los presupuestos, que eviten las cadenas de subcontratas, que prioricen la **gestión directa**, que huyan del empleo de materiales costosos, poniendo en primer plano la necesidad de socializar el conocimiento y de sensibilizar a la sociedad frente a los proyectos faraónicos. Este planteamiento de gestión del patrimonio lo hemos aplicados en la Villa Romana de l'Albir, primer museo al aire libre de la Comunidad Valenciana desarrollado con fondos públicos, pero con presupuestos muy ajustados, reduciendo los márgenes y la participación de las empresas externas y, por tanto, haciendo viable un proyecto a partir de la gestión directa de los recursos.
- **Socialización del conocimiento.** Todas las actuaciones científicas, y en el caso de un yacimiento arqueológico de propiedad y gestión pública como el de La Alcudia mucho más, deben estar orientadas a hacer que la parte fundamental de las **actuaciones reviertan en la sociedad** (acciones en RRSS, exposiciones, jornadas de puertas abiertas, publicaciones científicas y divulgativas, sesiones de

virtualización, etc.). Por ello, el objetivo fundamental de este proyecto se centra en último término en la necesidad de socializar el conocimiento a través de las TIC.

- Incorporación de la **Arqueología Virtual** al ámbito de la excavación, la consolidación y la divulgación del patrimonio. La arqueología está disfrutando de un cambio técnico y metodológico que ha de ser incorporado en las actuaciones arqueológicas, especialmente las de carácter estrictamente científico y universitario. En la Universidad de Alicante hemos constituido el grupo **Patrimonio Virtual** referente internacional en proyectos y docencia universitaria de Arqueología y Restauración Virtual. Por ello es necesario incorporar todo este nuevo universo técnico para impulsar el rigor del registro, la fiabilidad de las actuaciones y el impacto social de los resultados.
- **Desarrollo del conocimiento abierto.** La razón fundamental de una actuación arqueológica siempre es profundizar el conocimiento histórico. Por ello nuestro objetivo fundamental siempre será generar un registro **fiable, riguroso y contrastable**. Por esta razón desarrollaremos un plan de publicaciones que incluya el acceso libre a los **metadatos y los parámetros** en el RUA, con el fin de hacer más transparente la actuación científica que llevamos a cabo.

3. Descripción de los trabajos

3.1. Hipótesis de partida

Para alcanzar dichos objetivos centraremos nuestras excavaciones en los escasos espacios del conjunto termal que aún no han sido excavados, especialmente en su parte noroccidental, el Ambiente 4 y los nuevos espacios termales en la zona noreste (ver anexo de documentación gráfica). Habremos de revisar la documentación existente, pero creemos que es necesario plantear la intervención como si se tratase de una excavación nueva para no asumir hipótesis previas o construirlas con prejuicios que podrían desviar nuestra atención de las novedades aportadas por la excavación.

1.1. Hipótesis Generales

Nuestra dilatada trayectoria científica respecto a la **arqueología romana** en concreto, y antigua en general, contiene múltiples referencias a los problemas e incertidumbres básicas de la investigación al respecto. De todas formas, apuntamos algunas líneas generales:

- La estratigrafía tradicional de La Alcudia de Elche debe ser revisada y muy probablemente corregida
- A la luz de la bibliografía científica general, habría que cuestionar o al menos revisar la propuesta tradicional de invasiones en la ciudad romana de *Ilici*
- Solo una excavación sistemática y estratigráfica de determinados contextos podría darnos información sobre los inicios de las fases de abandono o declive de las funciones administrativas tradicionales.

1.2. Hipótesis concretas

Del cotejo inicial y previo de la documentación existente y de la lectura precisa de los dos artículos publicados por el equipo arqueológico que excavo parte de este conjunto termal se extraen una serie de conclusiones que pueden sustentar hipótesis complementarias:

- Existen fases constructivas y de ocupación que no han podido ser determinadas en investigaciones anteriores. A modo de hipótesis se detectan dos fases

principales constructivas con sus consiguientes fases refacción y amortización cuya cronología podría estar marcada por las épocas alto y bajoimperial.

- Parecería que el uso termal del conjunto se circunscribiría a la época altoimperial
- En las fases en las que el conjunto termal está en uso se observan al menos tres fases de reformas
- Los mosaicos hallados en la entrada del conjunto termal no parecen ser de la fase fundacional

3.2. Metodología y plan de trabajo

Más allá de las particularidades propias de cada equipo creemos que sería necesario coordinar una serie de elementos básicos en la metodología arqueológica con el fin de hacer compatibles y contrastables los resultados de las investigaciones: registro de unidades, sistema informático de inventario y bases de datos, formas de acometer la consolidación de estructuras y taludes o la trazabilidad del registro y transparencia. Por nuestra parte la metodología arqueológica que proponemos seguiría las siguientes líneas básicas:

1. **Estudio previo** y planificación de las actuaciones del conjunto arqueológico denominado Termas Orientales: fases de intervención a medio y largo plazo
2. Intervención arqueológica en área abierta siguiendo el sistema de excavación **Harris-Carandini**
3. Utilización del **GPS diferencial** y posicionamiento satelital para ubicación de estructuras con georreferenciación
4. Utilización de **estación total** y niveles para el detalle de las estructuras
5. Registro gráfico combinado de **georreferenciación y fotogrametría digital** avanzada
6. **Levantamiento planimétrico 2D** a partir de la documentación métrica de cartografía CAD 2D: plantas, secciones y alzados
7. Registro de **unidades**
8. **Escaneado** de detalles constructivos
9. **Documentación fotográfica** del proceso de excavación
 - Estado de conservación previo a la intervención
 - Documentación del proceso de intervención
 - Documentación final

10. **Documentación fotográfica específica** para la obtención de:

- Modelo 3D del conjunto arqueológico.
- Documentación y productos derivados: ortoimágenes (plantas y alzados) y secciones.

11. Realización de **informes** previos y finales

12. Publicación y difusión

Plan de trabajo

Las actuaciones de todos los equipos de investigación han quedado enmarcadas por unas **líneas generales** consensuadas, únicas y de obligado cumplimiento para poder homogenizar los resultados de las excavaciones en La Alcudia de Elche. Se han acordado unos parámetros mínimos de registro: fichas UE, denominaciones, soporte informático, técnicas homogéneas de consolidación y protección, imagen corporativa, etc.

Concepto	Detalle de las actuaciones	Periodo de realización: VII/2019-VII/2020
1. Plan de excavaciones	Estudio previo de la documentación existente	Septiembre 2019-enero 2020
	Intervención arqueológica	1 de julio al 30 de julio de 2020
	Elaboración de inventarios clasificados	Julio-septiembre 2020
	Elaboración de memorias arqueológicas	Noviembre 2020-febrero 2021
	Análisis interpretativo	Noviembre 2020-marzo 2021
2. Plan de consolidación y preservación	Consolidación de estructuras	Septiembre 2020

3.3. Planteamiento de excavación

Los trabajos arqueológicos desarrollados durante la campaña 2020 en la zona occidental y oriental del Sector 7F (Fig. 1) han tenido un doble objetivo, siguiendo la planificación que iniciamos en la campaña 2017. Por un lado, tratar de comprender y obtener un registro estratigráfico del complejo termal desde los niveles previos de su fundación hasta el abandono definitivo del sector. Para esto se ha planteado una doble intervención en la zona este que ha comprendido la excavación de los ambientes existentes en la zona noroeste, excavados parcialmente en las campañas previas a nuestra incorporación al yacimiento, así como la limpieza de la zona noreste para la obtención de una planimetría más completa de la zona. Además, se llevó a cabo una excavación en profundidad del Ambiente 4, cuyos niveles previos se encontraban sellados por el pavimento existente en dicha estancia.

Así, conforme avanzaba la excavación encontramos diversas situaciones que fueron abordadas según la necesidad inmediata de preservación:

- Deterioro de los enlucidos o revestimientos exhumados en campañas previas a nuestra intervención.
- En el caso de la excavación del Ambiente 4, una vez finalizada su excavación se procedió de nuevo a rellenar la zona exhumada con los áridos extraídos, creando así una superficie horizontal a la misma cota en la que se encontraba el nivel de partida.

Era crucial la preservación de los enlucidos presentes tanto en el Ambiente 4, hay que recordar que aparecieron durante las campañas de 2000 y 2001, quedando así a la intemperie, acusando un gran deterioro en los últimos años. Para evitar su desprendimiento, puesto que su presencia *in situ* es de crucial importancia para comprender las distintas fases constructivas del recinto, se decidió una intervención de consolidación. Dicha intervención se hizo en consonancia con la realizada en la campaña anterior en el Ambiente 4, quedando así el espacio creado por ambos ambientes preservado. Hay que señalar también la intervención puntual que se llevó a cabo en uno de los paramentos del Ambiente 4 para preservar la integridad del mampuesto, algo que explicamos en detalles a continuación.

En el caso de los restos de ambientes excavados en la zona noroccidental, Ambientes 18, 19, 33, 42 y 43, tras su excavación se procedió a una protección preventiva con lona anti raíces y lona asfáltica.

Recapitulando, las distintas áreas en las que concentramos nuestra intervención arqueológica de las termas son:

- **Ambientes 18, 19, 33, 42 y 43.** Se trata de un conjunto de espacios ubicados en la zona noroeste del yacimiento, excavados parcialmente durante las campañas del 2000 y 2001. El objetivo era doble, por un lado conocer las distintas fases constructivas en este extremo del conjunto termal, y por otro lado tratar de confirmar la zona perimetral del conjunto termal.
- **Ambiente 4.** Es el ambiente situado inmediatamente al oeste del Ambiente 5, excavado en campañas anteriores, y que resultaba enormemente interesante por un doble motivo: verificar la existencia de fases inalteradas por ocupaciones posteriores a la realización del pavimento existente y por otro lado constatar la existencia de distintas fases constructivas que pasaban por la unión de los ambientes 4 y 5 en los momentos finales de uso del complejo termal.
- **Consolidación de los paramentos del Ambiente 4.** Tal como se realizó en la campaña 2019 con el Ambiente 5, en la presente campaña se abordó la consolidación de los enlucidos del Ambiente 4, quedando así ambos espacios estabilizados.
- **Ambientes 37.** Se realizó una limpieza superficial de los paramentos aparecidos en la campaña 2019 que han ayudado a delimitar este ambiente y así incluirlo en la planimetría del conjunto.

4. Sector noroeste del complejo termal: Ambientes 18, 19, 33, 41, 42 y 43

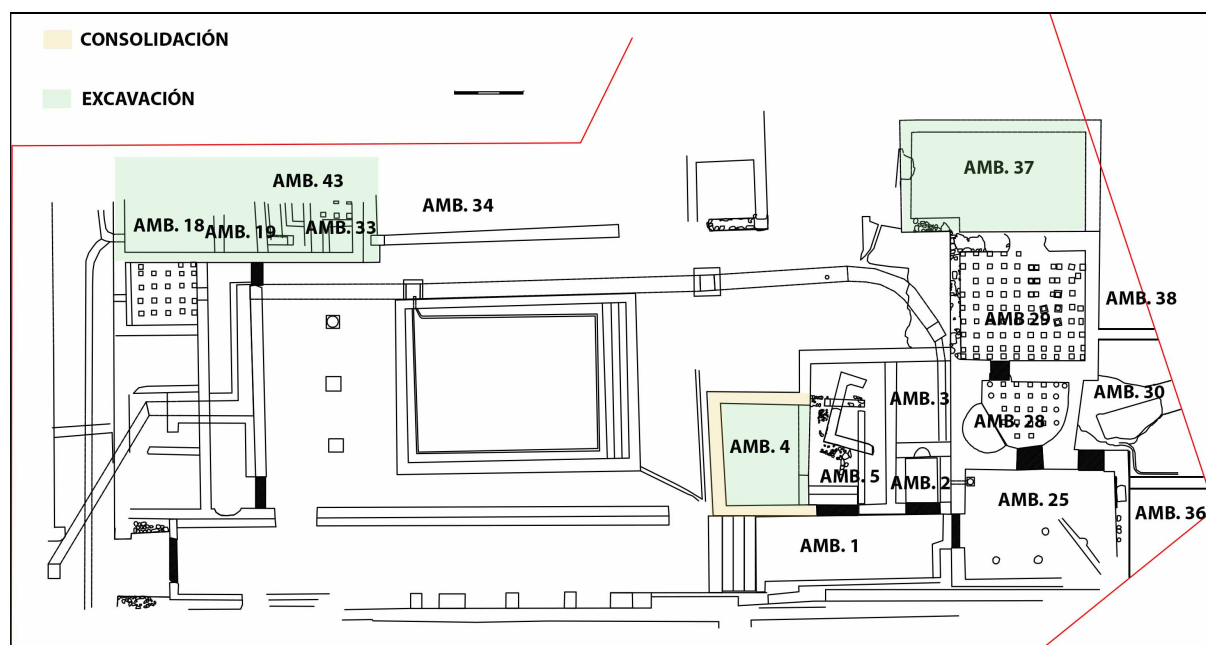


Fig. 1. Vista en planta de las Termas Orientales en la que destacamos los Ambientes del sector noroeste en los que hemos intervenido en la presente campaña

Uno de los principales objetivos del proyecto ASTERO, iniciado en 2017, pasaba por establecer los límites perimetrales del complejo denominado Termas Orientales de La Alcudia. En las campañas precedentes se dieron sustanciosos avances en este sentido gracias al descubrimiento de uno de los principales accesos al edificio y de las estructuras que definen su extremo oeste. Del mismo modo, también se documentó la existencia de un circuito termal desconocido con anterioridad en su extremo este.

Siendo así, decidimos concentrar buena parte de la actividad arqueológica de 2020 en el extremo noroeste con el fin de recabar nueva información acerca de esta zona de las termas. Se trata de un área que fue parcialmente excavada por el equipo de Alejandro Ramos Molina entre los años 1998 y 2000. En ellas salieron a la luz una estancia calefactada -Ambiente 17- y parte de otra habitación con hipocausto -Ambiente 41-, además de otros espacios no bien definidos, como los Ambientes 18, 19 y 33. La excavación de Ambiente 18, 19 y 41 -las más septentrionales- no finalizó

debido a que el perfil norte del yacimiento quedó fijado en un punto previo al hallazgo de sus muros posteriores.



Fig. 2. Imagen de archivo correspondiente a las campañas arqueológicas 1998-2000. Vemos en ella los Amb. 17 y 18 (19, 33 y 41 todavía no habían sido exhumados). Se distinguen asimismo el perfil norte de la excavación y el límite de la parcela

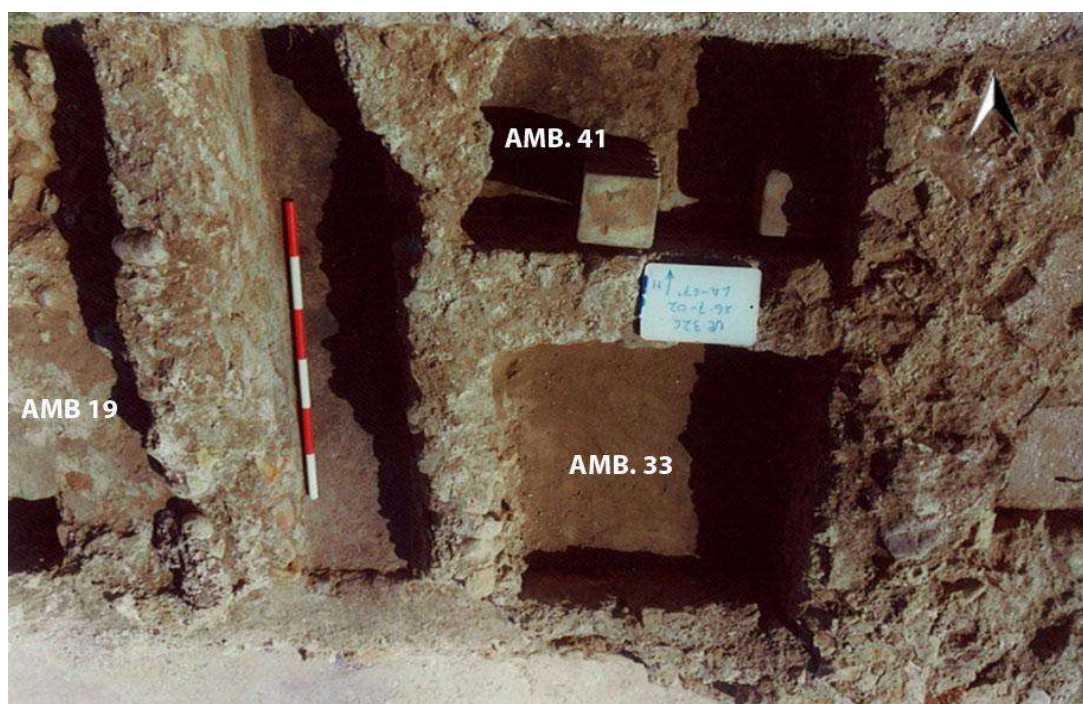


Fig. 3. Imagen de archivo correspondiente a las campañas arqueológicas 1998-2000 en la que vemos parte de los Ambientes 19 y 41 así como el Ambiente 33

Nuestro objetivo en esta parte del yacimiento durante la campaña 2020 consistió en desplazar el anterior perfil norte hacia el límite de la finca, dejando únicamente entre ambos el espacio suficiente para permitir la circulación y garantizar la seguridad. La estrategia de la intervención sería efectuar la remoción del nivel de tierra superficial que se extiende por toda la plataforma situada entre el perfil norte del yacimiento y el límite de la parcela. De este modo obtendríamos el acceso a los niveles estratigráficos que quedaron sin excavar en los Ambientes 18, 19 y 41. En caso de que durante este proceso fuesen documentados los muros septentrionales de dichos Ambientes se procedería a excavar y documentar en paralelo los espacios situados al norte de ellos. Con todo, nuestra actividad arqueológica en este sector se concentró en las siguientes áreas:

- **Sobre Ambientes 18, 19, 41, 42 y 43.** Nos referimos al conjunto de paquetes estratigráficos que ocupan la franja existente entre el antiguo perfil norte del yacimiento y el límite de la parcela y que cubren las estructuras que cierran el perímetro de dichos Ambientes.
- **Ambiente 18.** Estancia cuadrangular delimitada por los muros **UUEE 509, 759, 775, 819 y 842**. Situado al norte del Ambiente 17.
- **Ambiente 19.** Habitación cuadrangular localizada inmediatamente al este del Ambiente 18, con el que comparte los muros **UUEE 509 y 759**. Su límite oriental lo constituye el muro **UE 741**.
- **Ambiente 41.** Cámara cuadrangular que se encuentra al este del Ambiente 19 y que engloba en su interior al Ambiente 33. Comparte los muros **UUEE 509 y 741** con el Ambiente 19. Los muros **UUEE 500 y 796** conforman el resto de su perímetro.
- **Ambiente 33.** Espacio cuadrangular comprendido entre **UUEE 509, 743, 742 y 500**, en el extremo sureste del Ambiente 41.
- **Ambiente 42.** Área ubicada al norte del Ambiente 18. Su extremo norte se pierde tras el límite norte del yacimiento, de manera que desconocemos su perímetro completo. Comparte las estructuras que definen su extremo sur -**UUEE 819, 820 y 775**- con el Ambiente 18. El muro **UE 795** lo separa del Ambiente 43. Su otro límite conocido -el oeste- queda fijado por el muro **UE 842**.
- **Ambiente 43.** Estancia situada inmediatamente al este del Ambiente 42. No pudo delimitarse completamente debido a que parte de su superficie se extiende

más allá del límite norte del yacimiento. Únicamente conocemos, por tanto, su extremo oeste **-UE 795-**, sur **-UE 796-** y este **-UE 500-**.

Sobre Ambientes 18, 19, 41, 42 y 43

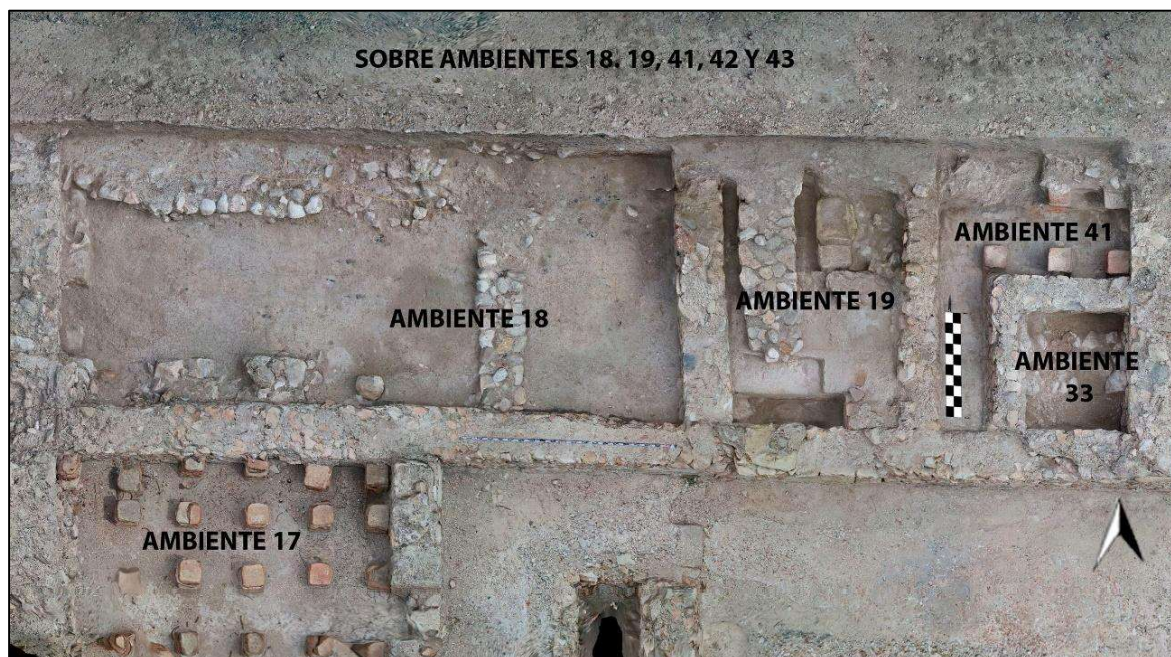


Fig. 4. Planta del Sector noroeste del yacimiento en la que señalamos los Ambientes conocidos al principio de la campaña 2020 y la superficie a la que denominamos “Sobre Ambientes 18, 19, 41, 42 y 43”. Esta última cubría parcialmente a todos estos espacios, por lo que los dos últimos -Ambientes 42 y 43- no eran todavía visibles en este momento inicial de las excavaciones

La plataforma de terreno existente entre el antiguo perfil norte de la excavación y el límite septentrional de la parcela era una plataforma cuadrangular de aproximadamente 1'1 X 11'1 m orientada en sentido E-W. Tras proceder a su limpieza superficial registramos que su primera capa **-UE 1-** presentaba una cota superior que oscilaba entre los 55'2 y 54'83 m. Su retirada sacó a la luz una segunda capa agrícola **-UE 766-**, donde la presencia de materiales arqueológicos todavía resultaba poco significativa.



Fig. 5. Superior: vista de Sobre Ambientes 18, 19, 41, 42 y 43 y de su situación respecto a varias de dichas estancias. Inferior: vista general de UE 766 con sus cotas superiores.

Una vez documentada esta capa procedimos a su desmonte. Su remoción hizo visible la cresta de un muro orientado en sentido E-W separado en dos tramos, que fueron registrados respectivamente como **UUEE 775** y **819**. Previsiblemente, constituían el cierre septentrional del Ambiente 18. El espacio situado al norte del mismo fue individualizado como Ambiente 42. A partir de este momento iniciamos de manera separada la excavación de los distintos Ambientes de este sector del complejo termal.

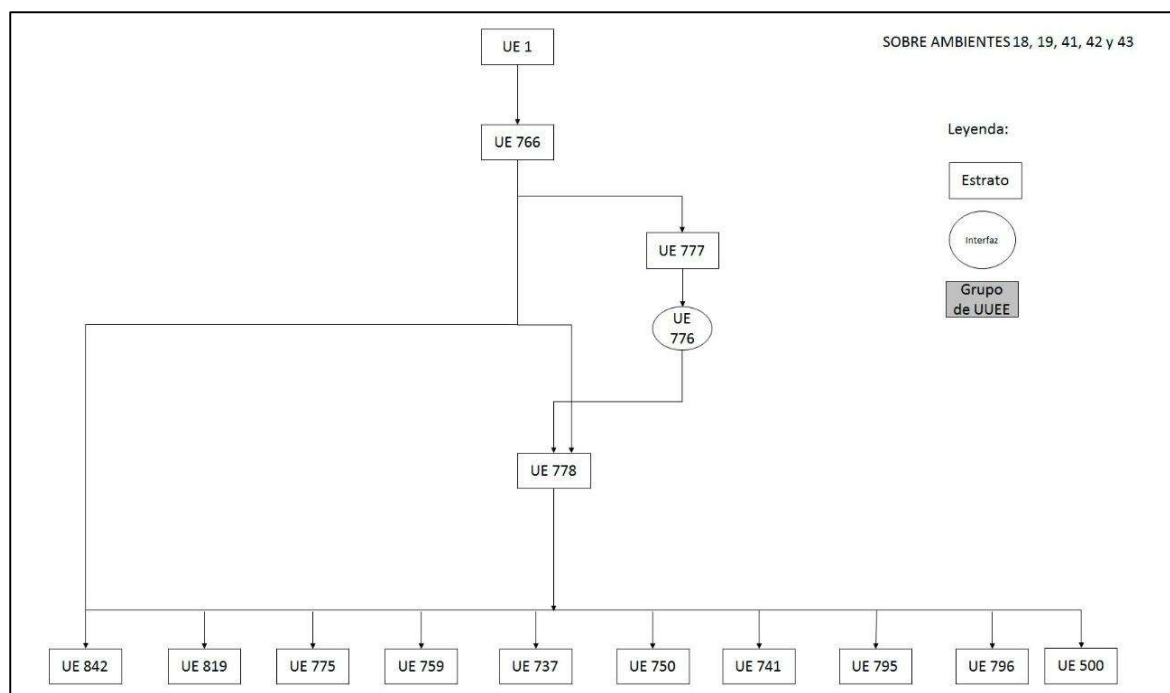


Fig. 6. Diagrama estratigráfico de la excavación realizada en la campaña 2020 en el área denominada Sobre Ambientes 18, 19, 41, 42 y 43

Ambiente 18

Una vez pudimos delimitar completamente el perímetro del Ambiente 18 gracias al hallazgo del muro **UUEEE 775/819** iniciamos la excavación y documentación de su interior. Sin embargo, antes de describir pormenorizadamente todo este proceso enunciaremos brevemente el conjunto de estructuras que conforman este espacio:

- Límite norte. Está conformado por dos tramos pertenecientes a un mismo muro, con orientación E-W. Su extremo oeste es **UE 819**, mientras que **UE 775** ocupa la parte este. Ambos están contruidos con mampuestos de piedra desbastada cuya medida máxima no rebasa los 0'15 m de lado. Están trabados con mortero de cal, colocados en hileras irregulares que presentan dos caras vistas. La anchura de la estructura resultante es de 0'45 m. El primer tramo -**UE 819**- mide aproximadamente 2'40 m de longitud y conserva un alzado de 0'52 m. En cuanto al segundo -**UE 775**-, cuenta con aproximadamente 2'67 m de trazado y una alzada de 0'6 m. El sillar -**UE 820**- adosado a la cara oeste de **UE 775** nos llevó a plantear que el espacio vacuo existente entre los dos tramos del muro pudo corresponder a un vano que facilitase el acceso a la estancia, donde **UE 820**

sería parte del umbral. Estas estructuras **-UUEE 819, 820 y 775-** constituyen asimismo parte del Amb. 42.

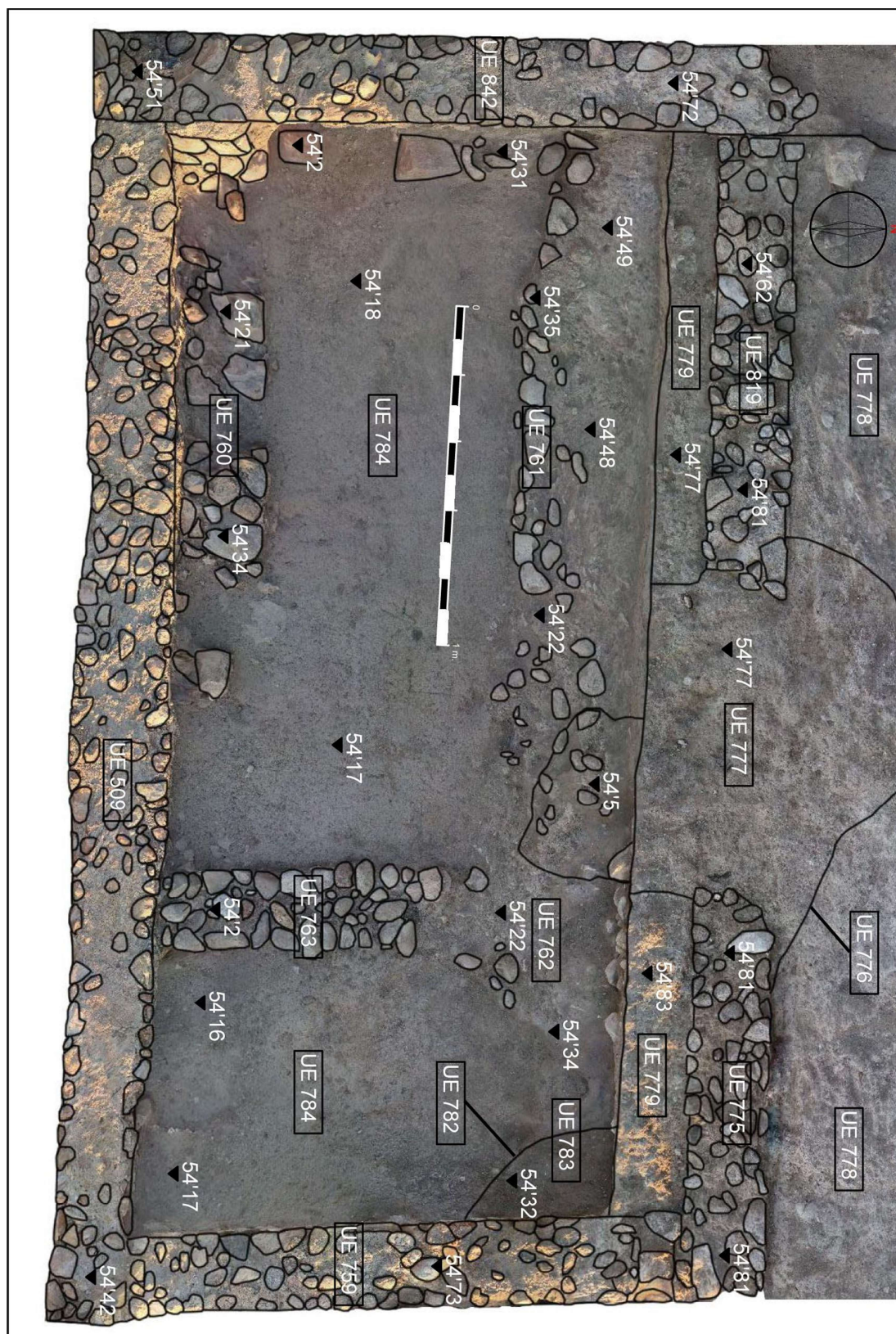
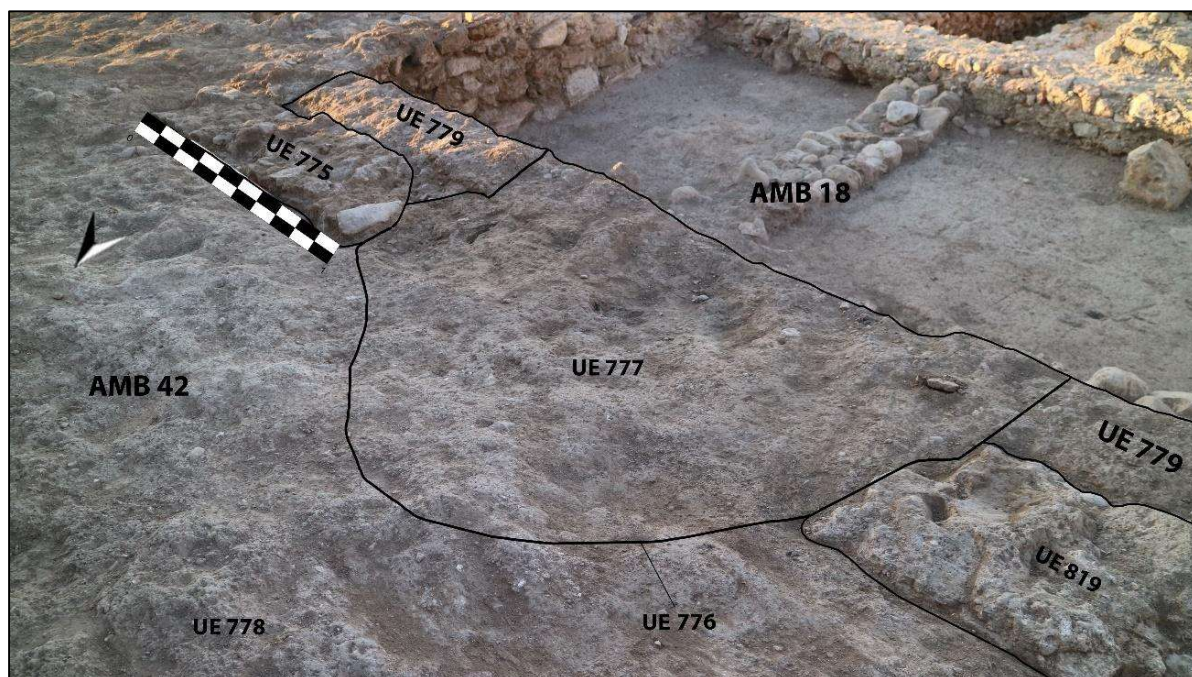


Fig. 7. Planta general del Ambiente 18 en el momento inicial, tras definir su perímetro

- Límite este. Queda definido por un muro de orientación N-S que fue registrado como **UE 759**. Se apoya en la cara interna de **UE 775**, formando con él un ángulo recto. Su aparejo es similar al descrito para los muros **UUEE 775/819**, aunque su anchura -0'5 m- es ligeramente mayor. Mide 3'45 m de largo y su altura conservada oscila entre los 0'6 y los 0'4 m. Separa al Ambiente 18 del 19, por lo que ambos comparten esta estructura.
- Límite sur. Queda establecido por el muro **UE 509**, de orientación E-W. Está construido con *opus caementicium* y piedra, generando una estructura de 0'45 m de anchura. Su trazado completo mide aproximadamente 11'15 m de longitud, aunque únicamente 6'9 m de los mismos forman parte del Ambiente 18. Forma ángulo recto con los muros **UUEE 842** y **759**.
- Fijamos el límite oeste en el muro **UE 842**, que comparte, al menos, con los Ambientes 17 y 42. Realizado con mampuestos y mortero de cal, mide 0'48 m de anchura. Desconocemos su longitud completa, aunque el tramo asociado al Ambiente 18 es de aproximadamente 3'30 m. Conecta en ángulo recto con **UUEE 509** y **819**.

La remoción de la capa agrícola **UE 766**, además de sacar a la luz el muro **UUEE 775/819**, hizo visible una capa de tierra compacta de tonalidad pardo-grisácea con una baja presencia de piedras en su composición que identificamos como **UE 779**. Resultaba evidente que había sido parcialmente excavada durante las campañas 1998-2000: únicamente se conservaba una estrecha franja de este paquete -de aproximadamente 0'2 m de anchura- adosado a la cara interna del muro **UE 775**, es decir, en el espacio existente entre este muro y el antiguo perfil norte del yacimiento. También se hizo visible, del mismo modo, un recorte del terreno de tendencia ovalada -**UE 776**- que afectaba tanto a **UE 779** como al muro **UUEE 775/819**, rebasando incluso su trazado para extenderse hacia el Ambiente 42. Estaba colmatado por una tierra disgregada de tonalidad cenicienta -**UE 777**-.



*Fig. 8. Vista de la situación de la fosa **UE 776** y de su relleno **UE 777***

Durante la retirada del relleno **UE 777** comprobamos, debido a la naturaleza de su composición y materiales -carbones y restos de fauna y de malacofauna-, que muy probablemente nos encontrábamos ante un basurero. Sus restos ocultaban el extremo oeste del muro **UE 775** y los posibles restos de un umbral -**UE 820**- así como a parte de la capa **UE 779**.



Fig. 9. Planta general del Ambiente 18 tras la remoción de UE 777



Fig. 10. Planta general del Ambiente 18 tras excavar **UE 779** y vaciar la fosa **UE 782**

Proseguimos nuestra actividad con la remoción de la última capa del antiguo perfil norte que todavía no había sido retirada: **UE 779**. Descubrimos que, bajo la misma, había un nivel compuesto por una tierra arcillosa de tonalidad anaranjada que ocupaba el espacio existente entre el muro **UUEE 775/819** y la acumulación de piedras **-UE 761-** que marca el punto en el que se detuvieron las excavaciones de las campañas 1998-2000. Asignamos a este paquete estratigráfico la **UE 793**. También quedó expuesta una acumulación de adobes **-UE 788-** que se concentraba entre el muro **UE 819** y el sillar **UE 820** para, desde este punto, descender ligeramente en dirección sur.



Fig. 11. Vista en detalle de la acumulación de adobes **UE 778** y de la capa arcillosa **UE 793**

Pudimos observar, en último lugar, que **UE 779** ocultaba parte de una nueva estructura situada en el ángulo noroeste de la estancia. Nos referimos a **UE 835**, un fragmento horizontal de *opus caementicium* que mide 0'50 x 0'56 m. Dado que su extremo norte se hunde ligeramente bajo la línea del muro **UE 819** podría tratarse de un nivel de suelo del Ambiente 18 o incluso de algún resto perteneciente a una estructura previa a la construcción de la cámara.

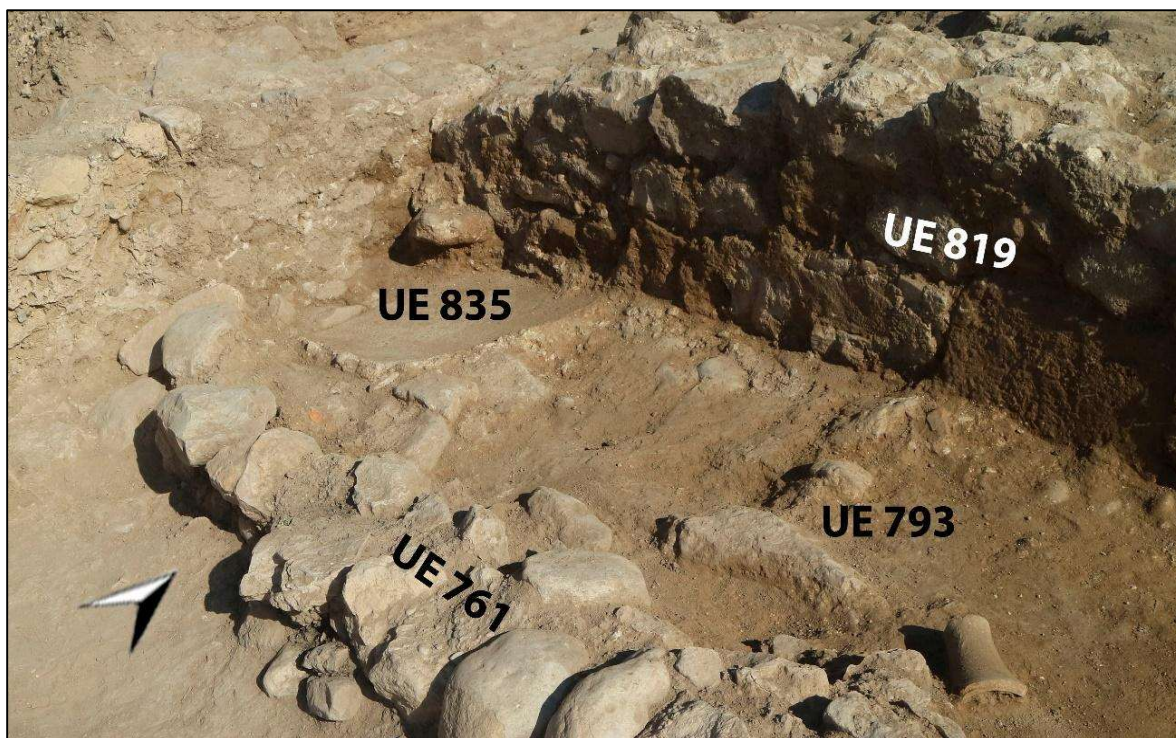


Fig. 12. Vista del ángulo noroeste del Ambiente 18 donde se distingue el fragmento de *opus caementicium* **UE 835**

Con la excavación de la última capa del antiguo perfil norte logramos que todo el interior del Ambiente 18 se encontrase en la misma situación. A partir de este momento los únicos estratos visibles eran los que habían quedado a la luz al final de las campañas 1998-2000, sin perfil interno alguno que no correspondiese con los propios muros perimetrales de la estancia.

Antes de proseguir con la excavación debemos presentar una breve descripción del conjunto de UUEE identificadas dentro del Ambiente 18:

- **UE 784.** Fue asignada al nivel superficial que se extendía por todo el interior de la estancia, el cual corresponde a la capa que quedó a la luz tras la excavación realizada entre los años 1998 y 2000.
- **UE 761.** Alineación desordenada de cantos dispuestos en sentido E-W localizada entre el límite oeste de la estancia y la estructura **UE 763**. No se aprecia que conformen una cara visible.
- **763.** Alineación de piedras trabadas con tierra orientada en dirección N-S que presenta dos caras y que desarrolla su trazado -2'87 m- entre los muros **UUEE**

775 y 509. Presenta una anchura constante de 0'46 m y conserva una altura máxima de 0'3 m. Podría tratarse de la fundación de un muro.

- **UE 762.** Acumulación de piedras y tierra que ocupa la confluencia de **UE 761** con la estructura **UE 763**. Es probable, de hecho, que su origen sea el derrumbe parcial de esta última.
- **UE 760.** Estructura de piedras y tierra orientada en sentido E-W que se adosa a la cara interna del muro **UE 509** a lo largo de un recorrido de 3'2 m. Su anchura oscila entre los 0'34 m y los 0'47 m. Conserva una altura máxima de 0'34 m.
- **UE 832.** Alineación de grandes piedras orientadas en sentido N-S junto a la cara interna del muro **UE 842**. Es parte de su fundación.
- **UE 782.** Recorte sobre el firme **-UE 784-** en el ángulo noreste del Ambiente 18. Durante su excavación comprobamos que era la misma fosa **UE 776**.
- **UE 783.** Nivel de tierra de tonalidad cenicienta y textura disgregada que colmata la fosa **UE 782**.

Evidente, para completar el listado de UUEE del Ambiente 18 habría que añadir las correspondientes a las estructuras que conforman su perímetro **-UUEE 819, 820, 775, 759, 509 y 842-** y las registradas tras el proceso de desmonte del antiguo perfil norte **-UUEE 793, 788 y 835-**.

Nuestro siguiente paso fue proceder al desmonte de la acumulación de piedras registrada como **UE 762**, que fue interpretada como un derrumbe asociado a la estructura **UE 763**. Una vez realizada esta tarea intervinimos directamente en el firme. Para ello, en primer lugar, vaciamos la fosa **UE 782** retirando su relleno **UE 783**. Alcanzado este punto nos encontrábamos finalmente en disposición de actuar sobre la capa superficial **-UE 784-** a la que recorta la fosa **UE 782**. Al acometer su excavación descubrimos bajo el mismo un nuevo nivel de tendencia horizontal que se extiende por buena parte de la superficie del Ambiente 18, al que le asignamos la **UE 792**. Identificamos, del mismo modo, una serie de estratos que procedimos a individualizar y registrar.



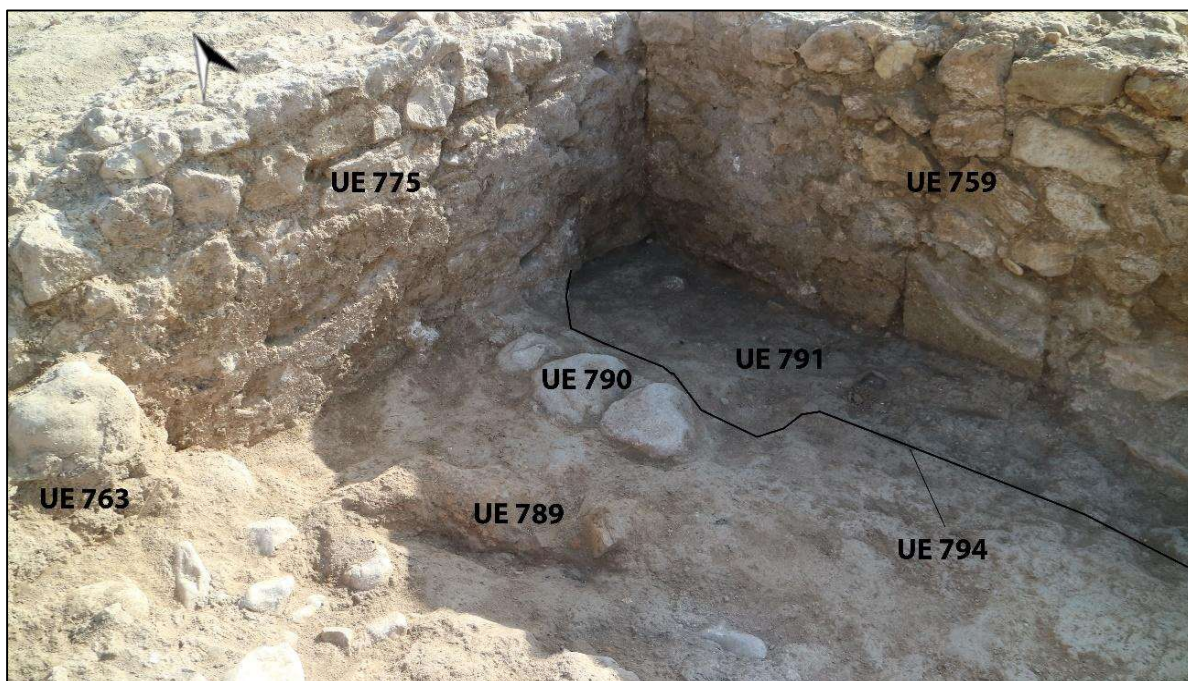
Fig. 13. Planta general del Ambiente 18 tras excavar UE 784

La nueva capa superficial **-UE 792-** está compuesta por tierra y adobes deshechos, los cuales aportan al conjunto una textura arcillosa y su marcada tonalidad anaranjada.

El resto de UUEE documentadas bajo **UE 784** se concentran en el extremo este del Ambiente 18, en la zona situada entre los muros **UUEE 763 y 759**.

Asignamos una de ellas **-UE 789-** a una pieza de adobe. Junto a ella encontramos tres piedras alineadas en sentido N-S que registramos como **UE 790**.

Detectamos asimismo una franja de tierra de tonalidad cenicienta **-UE 791-** junto al muro **UE 759**. Se extiende prácticamente a lo largo de todo su trazado, compartiendo con él su misma orientación N-S. Este paquete estratigráfico, caracterizado por la elevada presencia de restos de materia orgánica en su composición, rellenaba a la interfaz identificada como **UE 794**.



*Fig. 14. Vista del extremo este del Ambiente 18 donde indicamos la ubicación de las **UUEE 789, 790, 791 y 794***

Antes de proseguir con la remoción de los sucesivos niveles superficiales del Ambiente 18 vaciamos el interior de la interfaz **UE 794** levantando su relleno **UE 791**.



Fig. 15. Planta general del Ambiente 18 tras excavar la interfaz UE 794

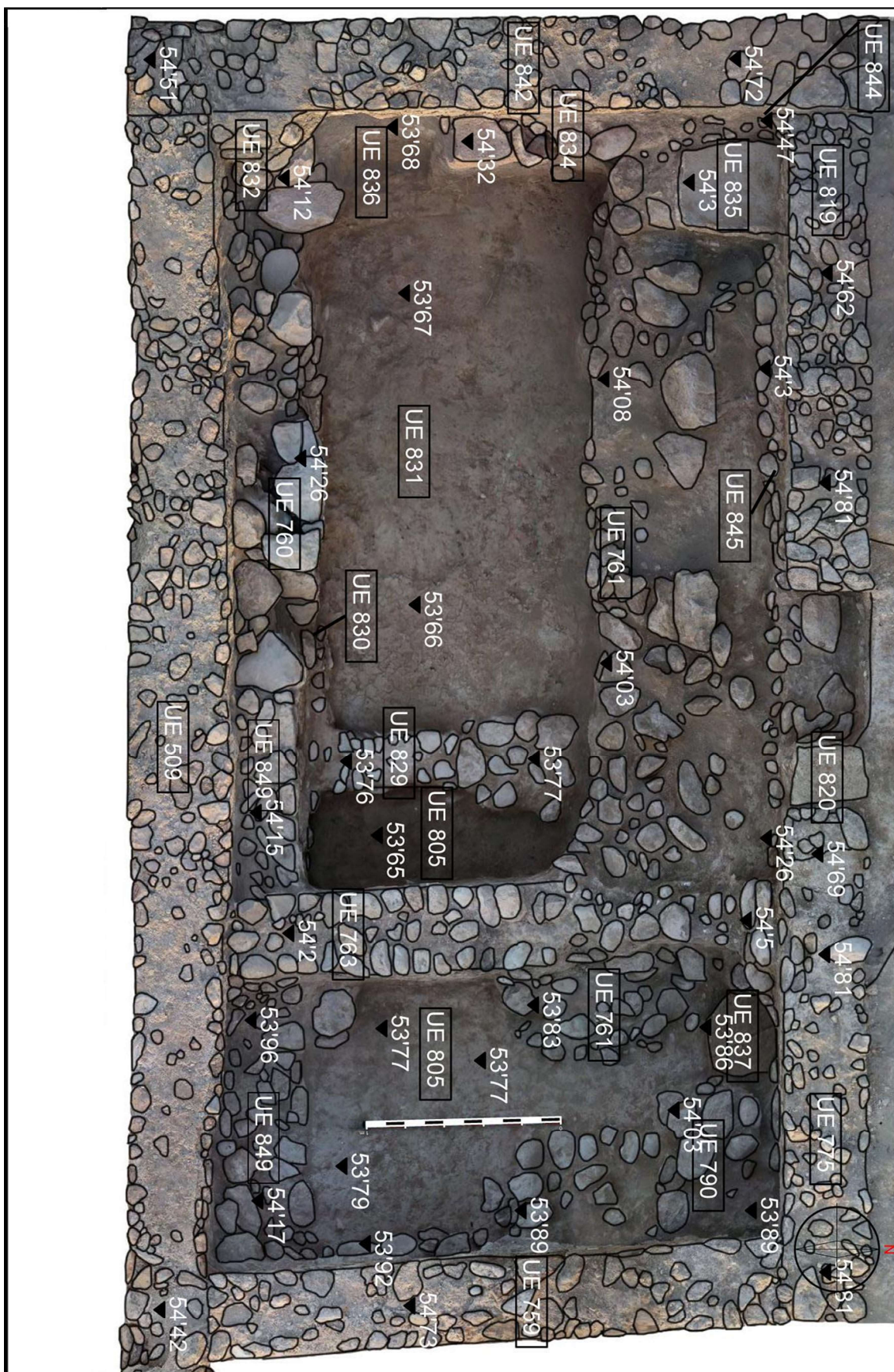
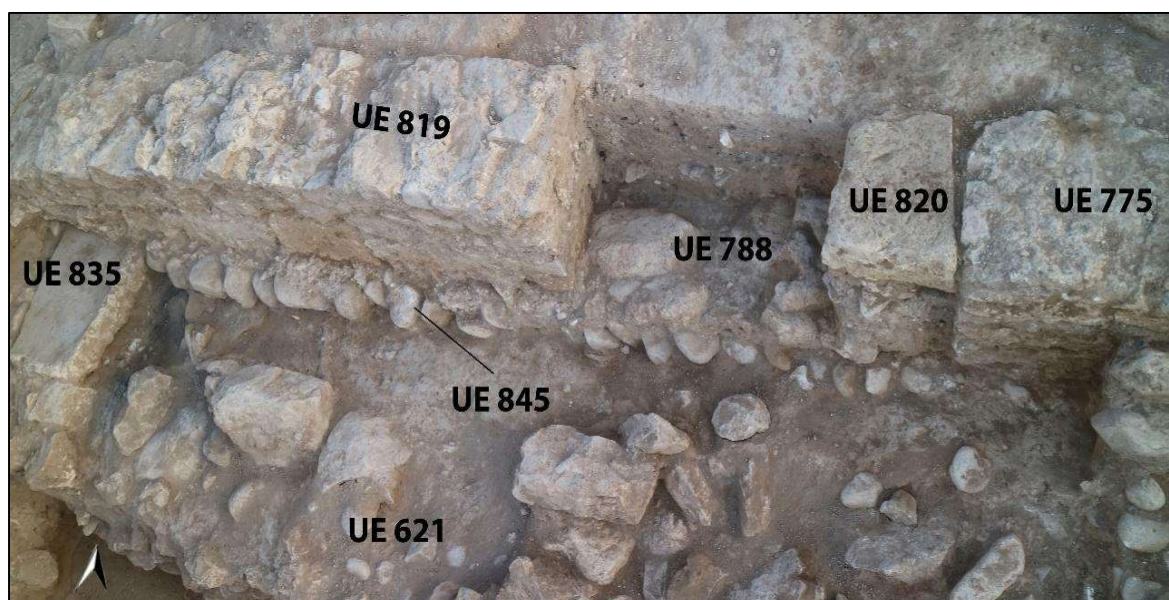


Fig. 16. Planta general del Ambiente 18 tras excavar UE 792 y retirar parcialmente UE 788 y 793

Una vez vaciada la interfaz **UE 794** nos encontramos nuevamente en disposición de actuar sobre las capas que se extendían por la superficie interna del Ambiente, como **UE 792** y, en menor medida, **UE 793**.

La placa de *opus caementicium* de **UE 835** parecía formar parte de una estructura anterior, la cual había sido amortizada por las sucesivas reformas realizadas en el Ambiente 18. Con el fin de rastrear indicios acerca de su naturaleza o, incluso, de encontrar más restos de la misma procedimos a excavar la franja de tierra comprendida entre la línea de los muros **UUEE 819** y **775** y la acumulación de piedras y cantos **UE 761**. Ello nos llevó a intervenir directamente sobre **UE 793** y sobre el conjunto de adobes **UE 788**.

Iniciamos esta tarea desmontando los adobes de **UE 788** que rebasaban la línea del vano existente entre **UUEE 819** y **775** para, a continuación, empezar a retirar la capa **UE 793**. Pese a no finalizar su extracción dejamos a la vista una alineación de piedras y cantos -**UE 845**- que afloraba bajo la línea de muro de **UUEE 819** y **775**, con la que compartía orientación. Fue interpretada como la fundación de todo este lienzo.



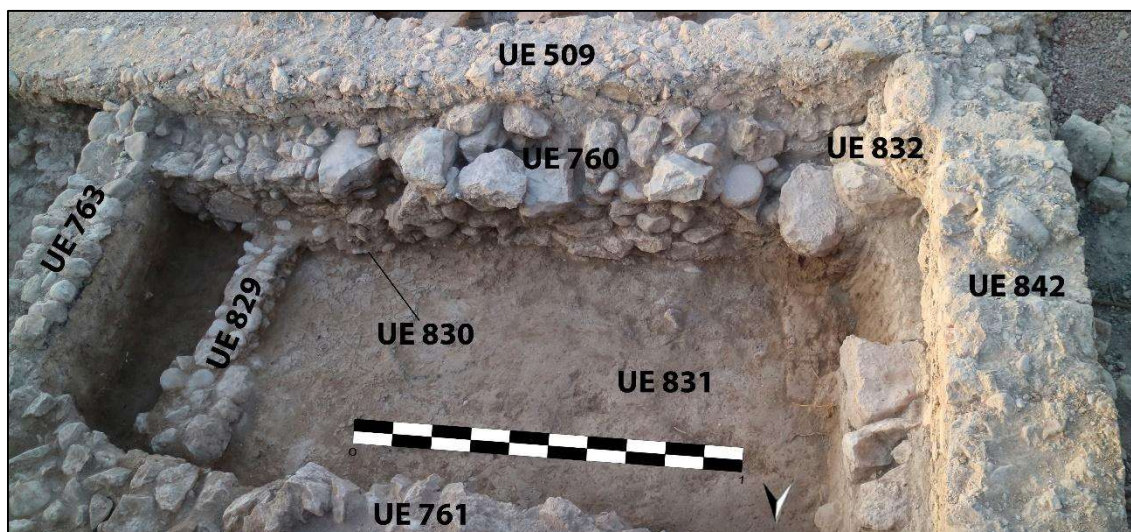
*Fig. 17. Vista en detalle del extremo norte del Ambiente donde se distingue la fundación **UE 845** y el extremo norte de **UE 761***

La excavación parcial de **UE 793** permitió comprobar asimismo que la acumulación de piedras y cantos **UE 761** no se extendía hasta la línea marcada por los muros

UUEE 819 y 775 sino que, por el contrario, se veía interrumpida a unos 0'4 m de la misma. Pudimos ver además que, aunque su extremo norte no formaba con claridad una línea homogénea, sí presentaba un cierto trazado rectilíneo marcado por la presencia de piedras de mayor tamaño.

A pesar de que estratigráficamente la retirada de **UE 792** debía haber sido precedida por el desmonte del muro **UE 763**, claramente posterior, decidimos conservar esta estructura y excavar la capa **UE 792** a cada uno de sus lados.

Fue el lado oeste el que aportó un mayor volumen de información. Bajo **UE 792** encontramos una alineación de piedras trabadas con barro de 0'3 m de anchura aproximada y orientada en sentido N-S, cuyo trazado arranca desde el interior de la estructura **UE 760** para desaparecer, tras un recorrido de 1'5 m, bajo la acumulación de piedras **761**. Inmediatamente al oeste de este nuevo muro, al que se le asignó la **UE 829**, detectamos una capa horizontal de barro de tonalidad anaranjada-rojiza, apisonado y consistente, que identificamos como el nivel de suelo **UE 831**.



*Fig. 18. Vista en detalle del extremo suroeste del Ambiente 18 donde se distinguen las estructuras **UUEE 829 y 830** y el nivel horizontal **UE 831***

Pero la remoción de **UE 792** también facilitó la definición de la cara interna de la estructura **UE 760**. De hecho, al descender la cota en el interior del Ambiente 18 hasta alcanzar la **UE 831** pudimos comprobar que la estructura **UE 760** remontaba a otra anterior, oculta en buena medida bajo ésta. Se trata de un posible muro de piedras y

cantos con trabazón de barro -**UE 830**- que sigue la misma orientación que **UE 760**. Únicamente resulta visible su cara norte, mientras que la opuesta queda oculta. Interpretamos que, por factura, orientación y ubicación guardaba relación con el muro **UE 829**.

Al quedar expuesta la cara interna del muro **UE 842** se nos facilitó la documentación de ciertos elementos que habían resultado inaccesibles hasta el momento. La **UE 834** es uno de ellos. Se trata de una alineación de piedras adosada a la cara interna del muro **UE 842** que, por tanto, tiene su misma orientación. Conserva una hilada de altura y realiza su trazado entre la apertura **UE 848** para desaparecer a la altura de la placa de *opus caementicium* de **UE 835**. Al igual que **UE 832** sería parte de la fundación del muro **UE 842**.

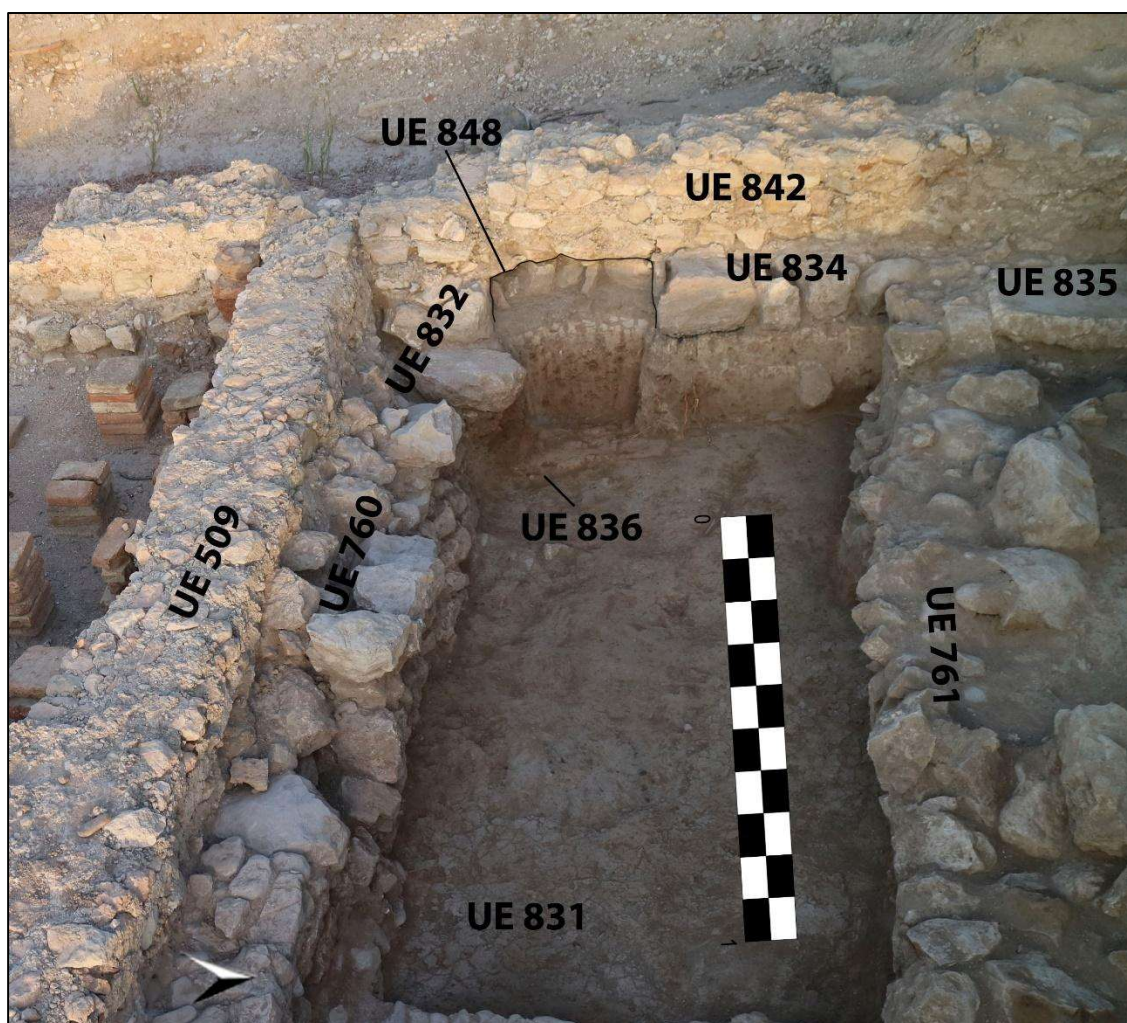
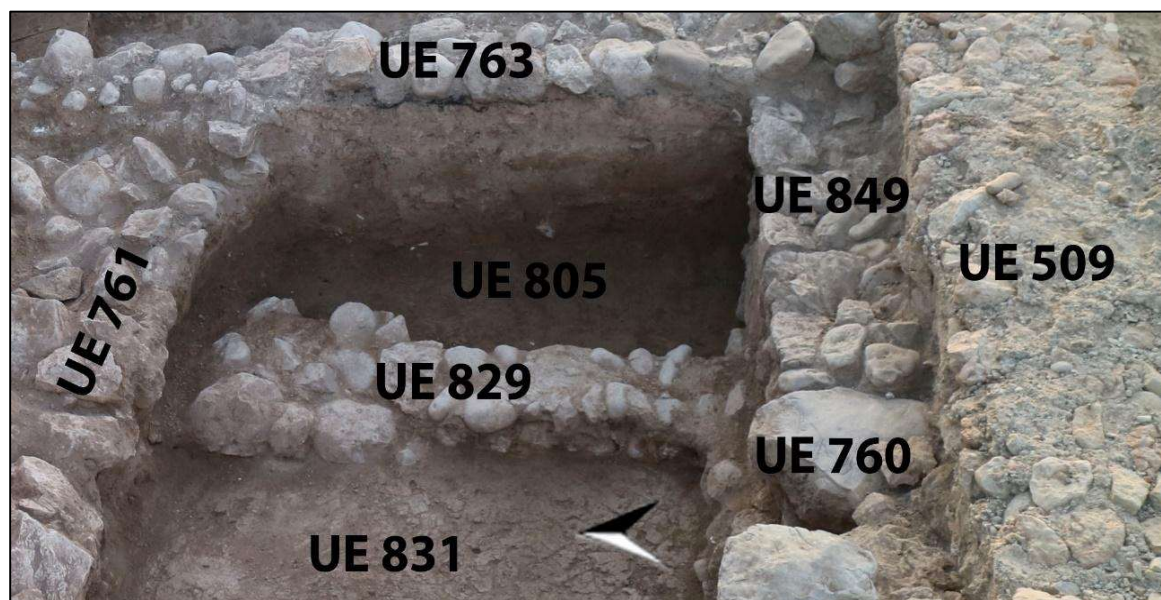


Fig. 19. Vista en detalle del extremo suroeste del Ambiente 18 donde se distinguen las **UUEE 832, 834, 836 y 848**

Al mismo nivel que el suelo **UE 831** y junto a la cara interna del muro **UE 842**, a la altura de la apertura **UE 848**, encontramos una pieza de adobe que individualizamos como **UE 836**.

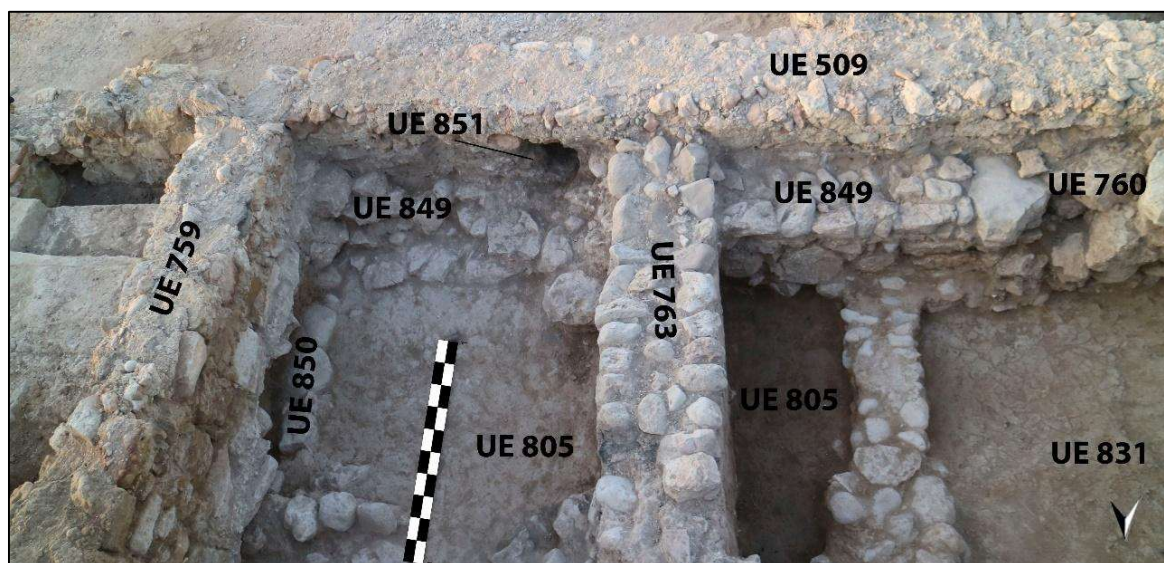
En el limitado espacio comprendido entre el trazado de los muros **UUEE 829** y **763** localizamos un nivel de suelo distinto a **UE 831**. De tendencia horizontal y tonalidad marrón-grisácea, fue registrado como **UE 805**. Su superficie se extendía claramente por debajo del trazado del muro **UE 763** y, probablemente, también de la acumulación de piedras **UE 761**. Es, por tanto, una de las UUEE que identificamos al este del muro **UE 763**.



*Fig. 20. Vista en detalle del espacio comprendido entre los muros **UUEE 829** y **763**, donde distinguimos la parte occidental de la **UE 805***

Ya en la parte oriental del Ambiente 18, inmediatamente al este del muro **UE 763**, comprobamos que **UE 805** se extendía por toda la superficie interna. Comprobamos asimismo que una estructura de piedras situada junto a la cara interna del muro **UE 509** prolongaba el trazado de **UE 830** y de su remonte, **UE 760**. El aparejo era claramente distinguible de **UE 760** y, además, formaba una cara vista hacia el interior de la estancia. Debido a todos estos factores optamos por individualizarla como **UE 849**. Esta estructura, al igual que el firme de **UE 805**, quedaba por debajo del trazado del muro **UE 763**. Formando ángulo recto con esta nueva estructura y bajo el trazado

del muro **UE 759** localizamos parte de otra alineación de piedras **-UE 850-** que, muy probablemente, formaba parte de la misma fábrica.



*Fig. 21. Vista en detalle del extremo sureste del Ambiente 18 donde distinguimos las **UUEE 805, 849, 850 y 851***

La retirada de **UE 792** también reveló la existencia de un orificio **-UE 851-** en la cara interna del muro **UE 509**, junto a su encuentro con el muro **UE 763**. Estaba colmatado por una tierra castaña y compacta **-UE 852-**. No pudo ser completamente excavado, por lo que desconocemos su profundidad. Dado que la cara externa del muro **UE 509** está enlucida no descartamos que el orificio **UE 851** pudiese atravesar todo el espesor del muro.

Al igual que **UUEE 805 y 849**, la acumulación de cantos **UE 761** también iba más allá de la línea del muro **UE 763**: una vez exhumada **UE 792** descubrimos que **UE 763** se asienta claramente -al menos parcialmente- sobre **UE 761**. Del mismo modo pudimos comprobar, ya sin **UE 792**, que las piedras que identificamos como **UE 790** no constituían parte de estructura alguna, sino que, por el contrario, parecían conformar una acumulación irregular.

No percibimos conexión física entre **UUEE 761 y 790**. Si bien ambos comparten una naturaleza similar no hay evidencias de que pueda tratarse de un mismo estrato. En el espacio existente entre ambos, junto a la cara interna del muro **UE 775**, hallamos

un ladrillo colocado en horizontal **-UE 837-**. Dado que esta pieza no parece tener relación con ninguna de las estructuras registradas durante el proceso de excavación del Ambiente 18 consideramos que, muy probablemente, es parte de una estructura ya perdida y amortizada por acciones constructivas posteriores.

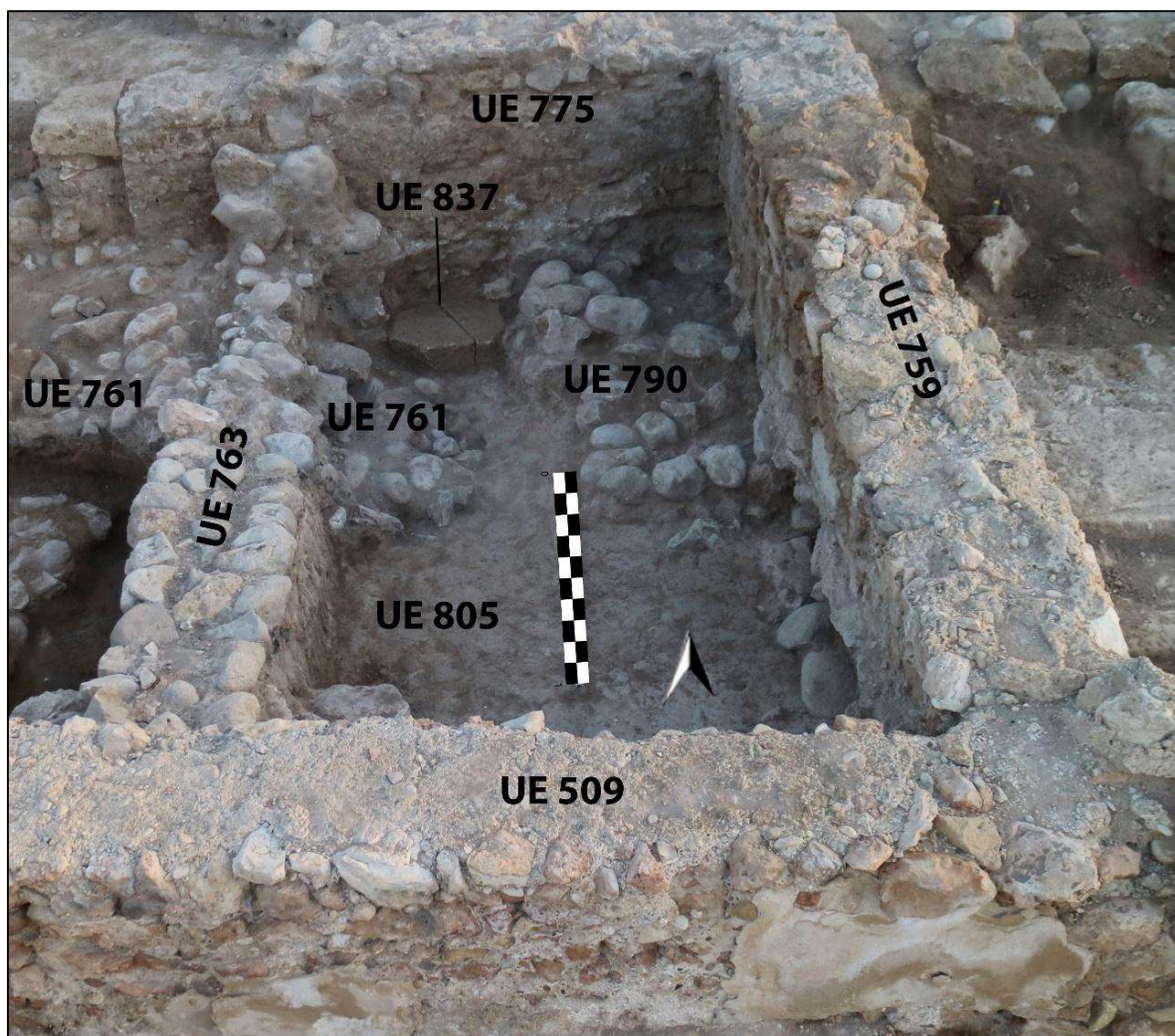
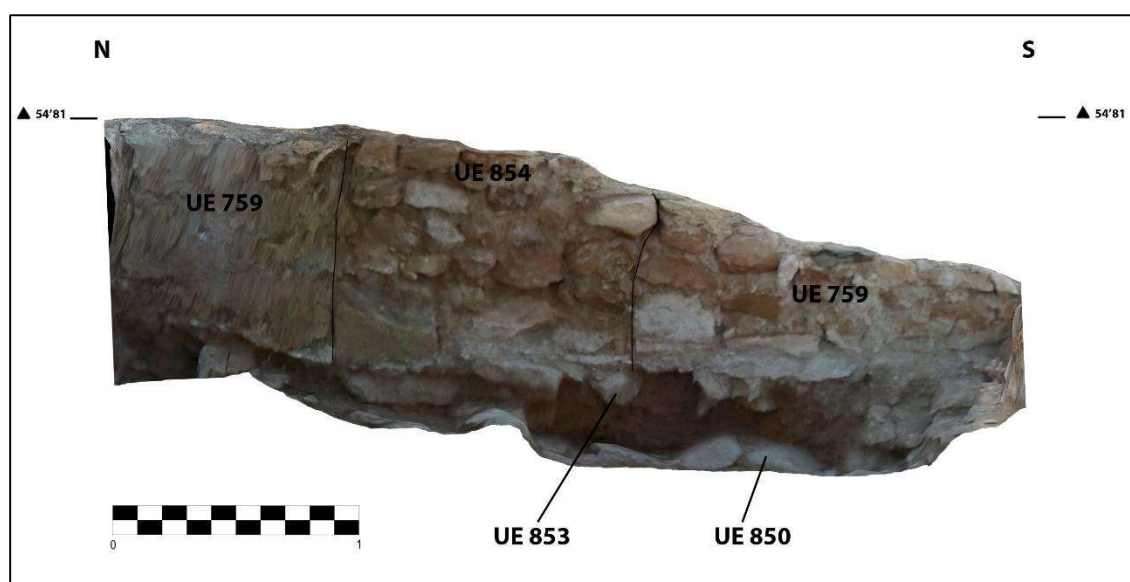


Fig. 22. Vista en detalle del extremo noreste del Ambiente 18 donde distinguimos las UUEE 761, 790 y 837

Un examen minucioso de la cara interna del muro **UE 759**, con su trazado completamente despejado tras el proceso de excavación, aportó nuevos datos que complementaban a los registrados al este del muro **UE 763**. Sirvió para comprobar, por ejemplo, que la alineación de piedras **UE 850** no era parte de la fundación del muro **UE 759**. De hecho, no existe un contacto directo entre ambas estructuras. La fundación de **UE 759**, por el contrario, es una única hilada de piedras a la que asignamos la **UE 853**. Su presencia no es homogénea a lo largo del trazado del muro,

llegando a desaparecer en su extremo sur. Encontramos otra anomalía en su aparejo, donde la parte central difiere de la de sus dos extremos: el tamaño de los mampuestos y su disposición es distinta de la que observamos a ambos lados. Esta alteración coincide con una mayor potencia de la fundación del muro, aportando un argumento más para individualizarlo respecto al resto del lienzo.



*Fig. 23. Vista en detalle del alzado interno del muro **UE 759** donde se distinguen las **UUEE 850, 853 y 854***

Una vez llegado el final de la presente campaña no se había agotado la estratigrafía en el interior del Ambiente 18. Si bien se ha logrado esbozar, a grandes rasgos, la secuencia principal de usos y reformas de este espacio es cierto que siguen quedando aspectos sin resolver. Algunas cuestiones relevantes, por tanto, no podrán ser afrontadas hasta que se obtenga nueva documentación en futuras excavaciones.

Valoración final

A pesar de que la intervención arqueológica realizada en el Ambiente 18 durante la presente campaña ha proporcionado un amplio registro arqueológico debemos advertir que la interpretación de todos estos datos debe afrontar una serie de dificultades que, a modo de escollos, dificultan la realización de esta tarea. Todos ellos se resumen en la ausencia de la documentación necesaria para entender ciertos aspectos de la vida de este espacio. El registro arqueológico es rico pero incompleto.

Basta con recordar que la campaña 2020 no agotó la estratigrafía de la estancia, por lo que es posible que haya que esperar a futuras intervenciones para la obtención de ciertos datos claves. Ocurre exactamente lo mismo con los espacios adyacentes, relacionados con los distintos usos y refacciones que afectaron también al Ambiente 18. Dado que todavía no han sido completamente excavados hemos de asumir que hay una parte de la información que todavía nos resulta inaccesible. Finalmente, el hecho de que buena parte del Ambiente 18 ya hubiese sido excavado décadas antes por parte de otro equipo dificulta la tarea de poner en común ambos registros arqueológicos. Conscientes de los límites y con todas las cautelas debidas vamos a proponer una hipótesis interpretativa, la cual puede verse modificada con la obtención de información en campañas venideras.

Todo apunta a que el Ambiente 18 nace como tal en una ampliación de las Termas Orientales. Pero antes de que tuviese lugar esta reestructuración del espacio hemos podido comprobar, gracias a la campaña 2020, la existencia de fases previas.

Fase 1 (momento previo a la construcción de las Termas Orientales)

El estrato superficial **UE 792** es el nivel de abandono que marca toda esta fase. Sus materiales aportan una cronología comprendida entre la segunda mitad del siglo I a.C. y el primer cuarto del siglo I d.C.

La fase más antigua que detectamos a partir de la estratigrafía está relacionada con las estructuras **UUEE 829 y 830**. Podrían tratarse de parte de los muros perimetrales de un espacio indeterminado cuyo pavimento era un apisonado de tierra y arcilla **-UE 831-**, donde el adobe **UE 836** sería un elemento indeterminado de dicha construcción. Todo este conjunto habría sido erigido sobre el nivel de suelo **UE 805**.

Existen otros elementos que se asientan directamente sobre **UE 805**. El ladrillo **UE 837** es uno de ellos. El muro **UE 775** imposibilita averiguar si tuvo continuidad o si, por el contrario, se trata de un elemento aislado. En cualquier caso, interpretamos que formaba parte de una estructura ya perdida y posiblemente contemporánea a la que conforman las **UUEE 829, 830, 831 y 836**.

Las últimas estructuras que asociamos a este momento son las registradas como **UE 849** y **850**. Este lienzo **-UE 849-** sigue el trazado de **UE 830** y, dado que presenta al menos una cara vista en su extremo interior -el muro **UE 509** impide ver si hace lo mismo en su cara externa- podría ser un zócalo de muro: **UUEE 829** y **830** serían fundaciones y **UE 849** el alzado inferior de uno de los muros. En cuanto a **UE 850**, forma un ángulo recto con **UE 849** y, junto a este zócalo, podría formar parte del perímetro de una estancia.

Además de estructuras documentamos para esta fase previa a las termas dos acumulaciones de piedra y tierra, **UUEE 761** y **790**, y una de adobes **-UE 789-**. La primera de ellas **-UE 761-** es paralela a **UE 849**. Podría tratarse del colapso del alzado de piedra de un muro. Dado que durante la presente campaña no fue posible desmontar completamente este derrumbe no podemos descartar que bajo del mismo todavía se conserven restos de la estructura de la que procede. La formación de **UE 790** sería similar a **UE 761** aunque en este caso, por una cuestión de proximidad física, es más probable que se originase a partir de **UE 850**. Finalmente, los adobes **UE 789** podrían proceder asimismo de alguna estructura cercana perteneciente a esta misma fase. No en vano, la propia **UE 792** cuenta en su composición con adobes desintegrados, por lo que este conjunto se relaciona fácilmente con ella.

Fase 2 (construcción del complejo termal)

La información obtenida a lo largo de todas las campañas arqueológicas desarrolladas hasta la fecha nos lleva a situar la construcción de las Termas Orientales en el $\frac{3}{4}$ del siglo I d.C., a finales de época de Nerón o a inicios de época flavia. El edificio que se construyó en ese momento difiere en algunos aspectos del que es visible hoy en día, ya que experimentó importantes refacciones a lo largo de los años en los que se incorporaron al edificio zonas que, en origen, no formaban parte del mismo.

Tal y como comprobamos en campañas previas, el acceso al complejo que comunica al Ambiente 11 con el Ambiente 11W marca el eje que corresponde con el límite oeste del edificio original. La modificación que provocó la creación de los Ambientes 12, 16,

17 y la modificación de los Ambientes 13 y 14, muy probablemente, fue la misma que llevó a incorporar toda el ala noroeste y, con ella, también el Ambiente 18.

Por otra parte, el fragmento de pavimento de *opus caementicium* **UE 835** puede ser visto como el único vestigio visible de una estructura previa a la creación del Ambiente 18 con la ampliación de las termas. El fragmento en cuestión se eleva ligeramente -a modo de revoque- en sus extremos este y sur. Pudo haber formado parte, por tanto, de un depósito para líquidos de uso indeterminado. Dado que se ve interrumpido por el trazado de los muros **UUEE 819 y 842** esta estructura en cuestión debió de ser anterior a la construcción del Ambiente 18, momento en el que resulta amortizada.

Tal y como ya expusimos, se identificó una fosa **-UE 794-** recortada en el nivel de abandono de la fase anterior. Dado que su relleno **-UE 791-** proporcionaba una cronología aproximada entre el 40 d.C. y el 100 d.C., creemos que pudo ser realizada antes de la ampliación del edificio. La colmatación -natural o artificial- de este espacio se plasma en las **UUEE 784 y 793** y en el conjunto de adobes **UE 788**, que elevan el nivel del firme anterior **-UE 792-**

Fase 3 (ampliación del complejo termal)

La construcción del Amb. 18 tal y como es visible ahora mismo no se realizaría en un mismo momento, ya que sus muros perimetrales no son contemporáneos. Todo apunta a que en el momento en que se incorpora a las termas toda esta parte del yacimiento se erigen únicamente los muros **UUEE 509 y 842**. El muro formado por los lienzos **UUEE 819 y 775** ofrece algunas dudas. **UE 819** se adosa a la cara interna del muro **UE 842**, por lo que es posterior a este último. Sin embargo, pensamos que podría tratarse de un hecho constructivo ya que las fundaciones de ambos **-UUEE 832 y 834** en el caso de **UE 842 y UE 845** en el del muro **UUEE 819/775-** están a la misma cota.

En el vano existente entre los lienzos **UUEE 819 y 775** hallamos una laja de piedra **-UE 820-** que fue interpretada como parte del umbral de acceso a la estancia. Su cota superior -54'65 m- es compatible con la única evidencia de pavimento conservada en la sala **-UE 844-**, sita en el ángulo noroeste de la misma. Dado que la línea de

pavimento se encuentra únicamente a 0'2 m por debajo de la cota del umbral el acceso a la cámara pudo realizarse descendiendo un escalón. El muro restante **-UE 759-** se adosa claramente a las caras internas de los muros **UUEE 509 y 775**. Su fundación **-UE 853-** no aparece en todo el trazado de su lienzo y distinguimos, al menos, un cambio de aparejo **-UE 854-** en su alzado. Todos estos elementos unidos al hecho de que su orientación esté ligeramente desviada hacia el sureste nos lleva a pensar que es posterior al resto.

El espacio generado, por tanto, sería más amplio que el del actual Amb. 18 y se extendería asimismo por zonas adyacentes, sin que podamos establecer de manera precisa cuál era su límite este. Desconocemos cuál era el uso del Amb. 18, aunque disponemos de algunos elementos que podrían arrojar un poco de luz en este sentido. Es muy probable, en primer lugar, que existiese una comunicación entre los Amb. 18 y 17. El Amb. 17 es una sala calefactada construida durante la ampliación de las Termas Orientales y, por tanto, contemporánea al Ambiente 18. Su lado este daba al horno que alimentaba su *praefurnium* –Amb. 14-, mientras que el oeste lo hacía a la calle –Amb. 27- Debió existir un paso en el tramo de muro **UE 509** que comparten los Amb. 17 y 18. Sin embargo, dado que la cota conservada del muro es ligeramente inferior al nivel de suelo de ambos, las evidencias de este acceso se han perdido.

Del mismo modo, sabemos que en el momento en el que se erigió el muro **UE 842** se mantuvo una apertura en el mismo **-UE 848-** que permitiese el acceso de una de las canalizaciones de aguas que, desde el Ambiente 27, se introducía en el Ambiente 18. Esta canalización circulaba por debajo de la fundación de los muros, por lo que no sería visible. Este canal llevaría, al menos en su tramo de entrada al Ambiente 18, la misma orientación que los muros **UUEE 830, 849 o 509**. Es plausible que las grandes piedras identificadas como **UE 760** sean parte del extremo sur del canal y que, para su construcción, se remontase su estructura sobre **UE 830**. Desafortunadamente, no se han conservado ni el extremo opuesto del canal ni su fondo y carecemos de más evidencias de su trazado. La circulación interna de una canalización de agua nos lleva a descartar que el Ambiente 18 fuese una sala calefactada más, integrada en un circuito compuesto por los Ambientes 17 y 41. A pesar de ello debió estar vinculada a dicho circuito, quizás como espacio de conexión entre las distintas salas termales.

Fase 4 (remodelación del Ambiente 18)

En un momento indeterminado de la vida de esta estancia se levantó un nuevo muro **-UE 763-** que la dividía en dos. Su fundación es incompatible con el nivel de suelo anterior. Las estancias resultantes, por tanto, debieron tener un nivel de piso más elevado, del que no se ha conservado resto alguno.

Fase 5 (abandono)

Las fosas de **UUEE 776** y **782** recortan el firme del ángulo noreste de la estancia y destruyendo parcialmente estructuras tales como los muros **UUEE 775** y **763**. Ambas fueron individualizadas durante el proceso de excavación. Sin embargo, su ubicación y orientación permite plantear la posibilidad de que compartan un mismo origen. Recordemos que buena parte del Amb. 18 ya había sido excavado en el pasado, por lo que sería plausible que la parte de la fosa que supondría la unión entre **UUEE 776** y **782** pasase desapercibida. Independientemente de que sucediese así o de que, por el contrario, estemos ante dos acciones destructivas distintas, los materiales recuperados durante su vaciado permiten aportar una cronología *post quem* de principios del siglo III d.C.

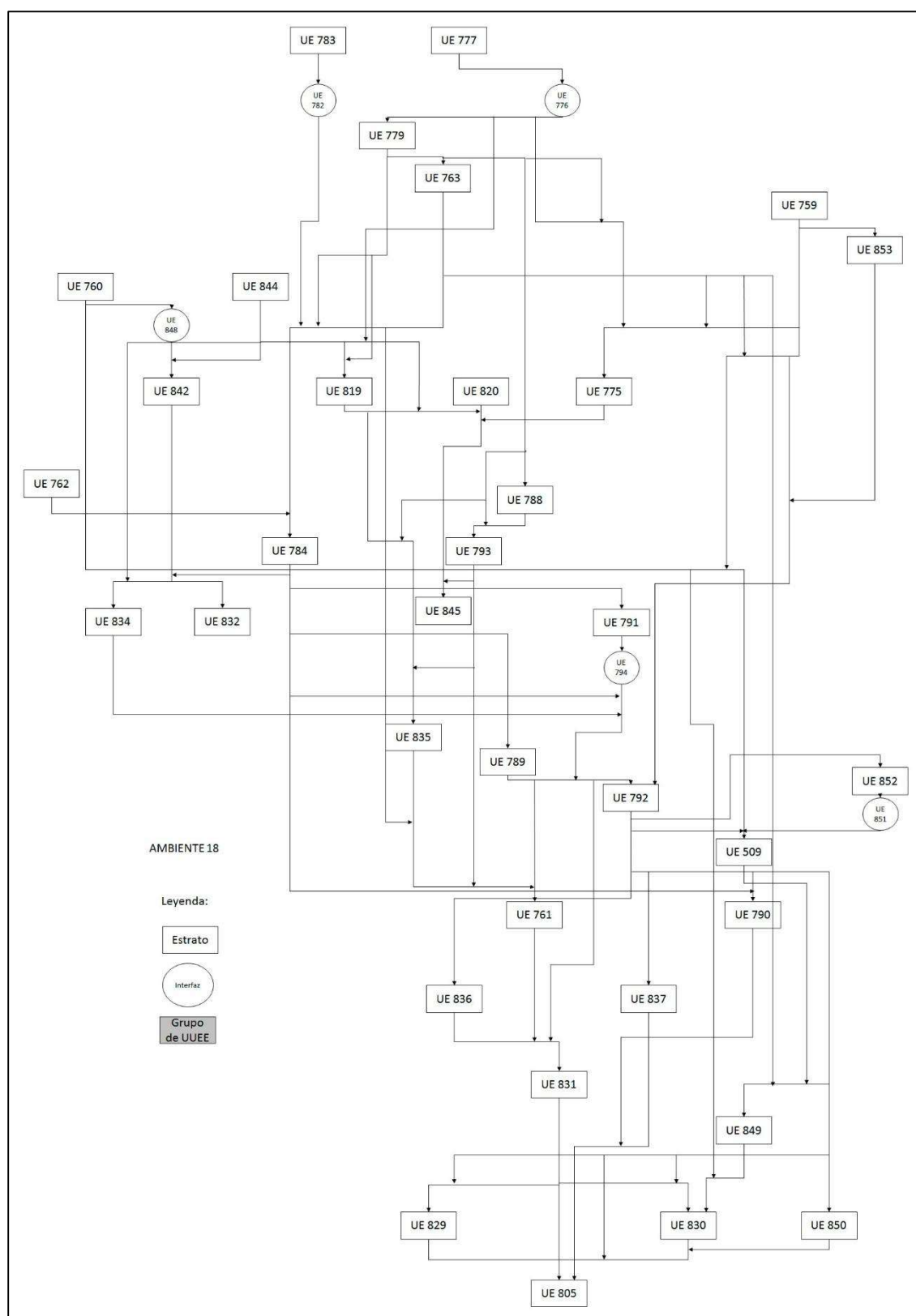


Fig. 24. Diagrama estratigráfico de la excavación realizada en la campaña 2020 en el Ambiente 18

Ambiente 41

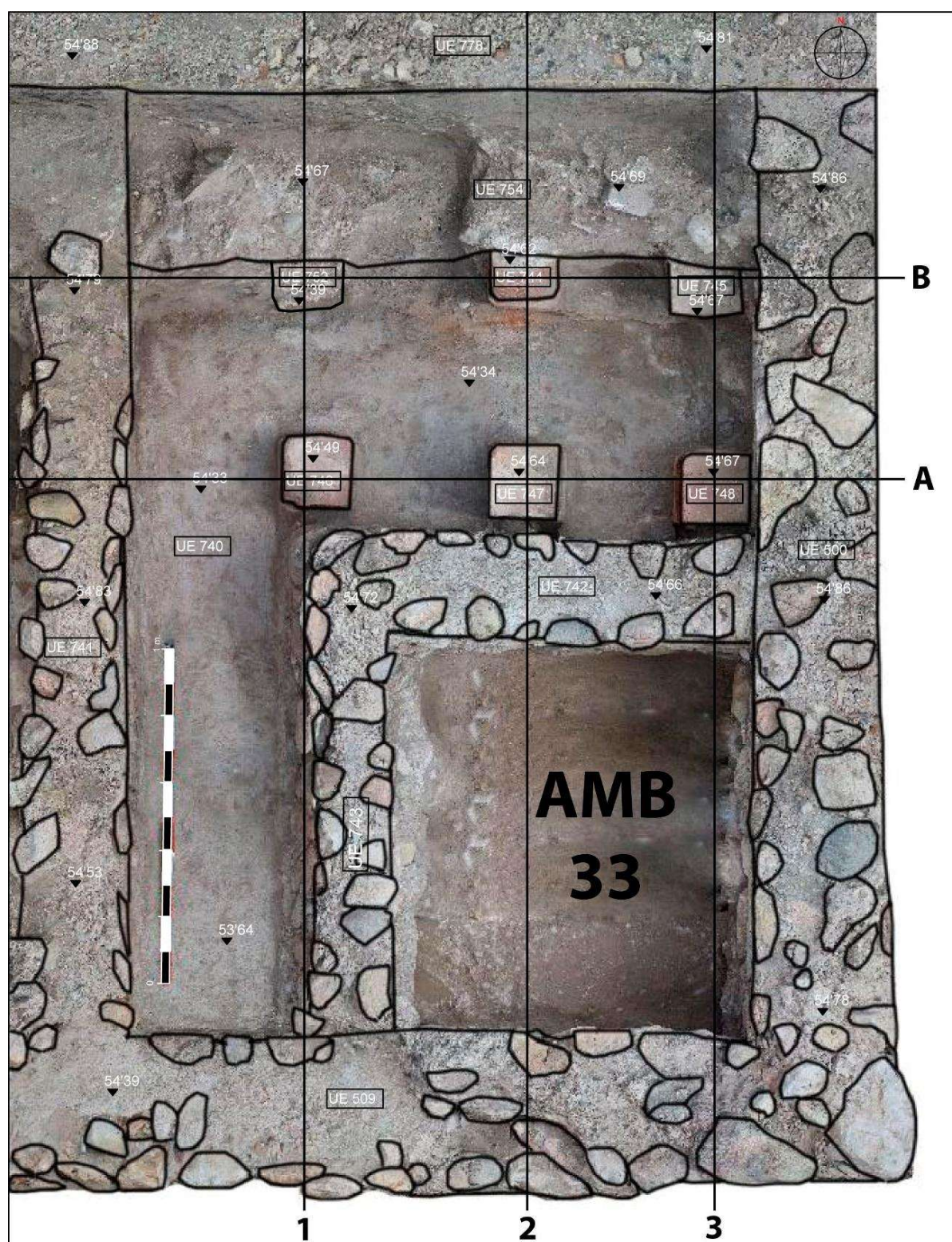


Fig. 25. Planta general del Ambiente 41 en el momento inicial de la campaña 2020

La intervención arqueológica del Ambiente 41 durante la presente campaña comenzó tras la excavación inicial de la plataforma a la que hemos denominado Sobre los Ambientes 18, 19, 41, 42 y 43, cuando tras la retirada de **UUEE 1** y **766** quedó expuesta la **UE 778**.

Al igual que ocurría en el Ambiente 18, el perfil norte de las campañas arqueológicas realizadas entre los años 1998 y 2000 no coincidía con el límite de la estancia. Siendo así, comenzamos nuestra intervención en esta habitación actuando directamente sobre la **UE 778** con el doble objetivo de alcanzar el mismo nivel estratigráfico en el que se detuvieron las excavaciones previas **-UE 754-** y, al mismo tiempo, definir su perímetro completo. Antes de presentar de manera pormenorizada los resultados de esta actuación enunciaremos el conjunto de estructuras y niveles estratigráficos identificados en el Ambiente 41 en el estadio inicial de la campaña 2020 y, por tanto, previamente a la excavación de **UE 778**:

- **UE 509**. Muro que constituye el extremo sur de la estancia. Dado que es una estructura compartida con otros Ambientes de este sector sus principales características ya fueron expuestas en el apartado dedicado al Ambiente 18.
- **UE 741**. Alineación antrópica de piedras y cantos trabados con mortero de cal que conforman un muro de aproximadamente 0'38 m de anchura y 2'88 m cuyo trazado tiene una orientación N-S. Separa entre sí a los Ambientes 19 y 41. Forma un ángulo recto con el muro **UE 509**, en el que se apoya.
- **UE 500**. Muro de piedras y cantos con mortero de cal que cierra el Ambiente 41 en su extremo este. Es paralelo al muro **UE 741**, con el que comparte orientación. Mide 0'5 m de anchura y, si bien desconocemos su longitud completa -la cual se pierde más allá de los límites del yacimiento-, su tramo asociado al Ambiente 41 es de 2'88 m aproximadamente. Forma ángulo recto con el muro **UE 509**.
- **UE 742**. Muro de orientación E-W realizado con mampuestos y mortero de cal. Traba en ángulo recto con el muro **UE 743**, generando también este mismo tipo de ángulo con el muro **UE 500**. Sus dimensiones son de 0'32 x 1'08 aproximadamente.
- **UE 743**. Muro de orientación N-S que presenta una morfología similar a **UE 742**, con el que traba formando ángulo recto. Su trazado completo es de 1'4 m,

que finalizan generando un ángulo recto con **UE 509**. Conforman, junto a **UE 742**, parte del perímetro del pequeño espacio cuadrangular dentro del Ambiente 41 que fue individualizado como Ambiente 33.

- **UE 740**. Pavimento de *opus caementicium* que constituye el firme del Ambiente 41.
- **UE 746**. Pila de hipocausto que se erige sobre el pavimento **UE 740** en la posición A1.
- **UE 747**. Pila de hipocausto que se erige sobre el pavimento **UE 740** en la posición A2.
- **UE 748**. Pila de hipocausto que se erige sobre el pavimento **UE 740** en la posición A3.
- **UE 752**. Pila de hipocausto que se erige sobre el pavimento **UE 740** en la posición B1.
- **UE 744**. Pila de hipocausto que se erige sobre el pavimento **UE 740** en la posición B2.
- **UE 745**. Pila de hipocausto que se erige sobre el pavimento **UE 740** en la posición B3.
- **UE 754**. Capa de tierra de tonalidad castaña que presenta una elevada densidad de fragmentos de enlucido parietal en su composición. Se trata del último nivel arqueológico que se alcanzó durante las campañas arqueológicas 1998-2000. Cubre parcialmente a las *pilae* de hipocausto **UUEE 752, 744 y 745**.

Con la retirada de **UE 778** localizamos, tal y como anticipamos, su límite norte. Hallamos, efectivamente, la cresta de un muro de mampuestos y mortero de cal con orientación E-W que registramos como **UE 796**. El espacio situado inmediatamente al norte del mismo fue denominado Ambiente 43. Fue durante la excavación de este nuevo espacio -Ambiente 43- cuando salieron a la luz determinadas características del muro **UE 796**. Debido a ello, remitimos al epígrafe correspondiente a esta parte del sector noroeste de las Termas Orientales para completar su descripción.

Reconducimos nuestra atención, por tanto, al interior del Ambiente 41. Tras la remoción de **UE 778** quedaron completamente expuestos los restos de la **UE 754**,

que se extendían hasta apoyarse contra la cara interna del muro **UE 796**. Tras definir completamente esta capa iniciamos su desmonte.

Bajo ella afloraron nuevas *pilae* de hipocausto:

- **UE 809**. Pila de hipocausto que se erige sobre el pavimento **UE 740** en la posición C1.
- **UE 810**. Pila de hipocausto que se erige sobre el pavimento **UE 740** en la posición C2.
- **UE 811**. Pila de hipocausto que se erige sobre el pavimento **UE 740** en la posición C3.

Del mismo modo, también salió a la luz una capa cenicienta -**UE 753**- directamente sobre el pavimento **UE 740**.

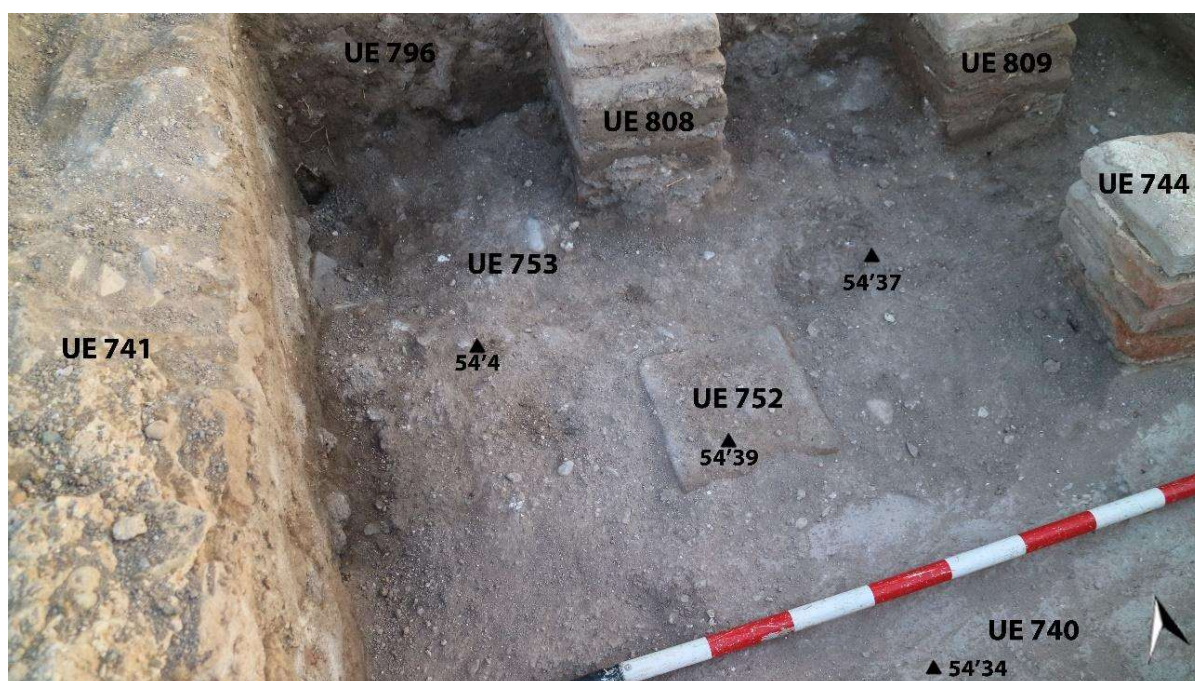


Fig. 26. Vista en detalle del extremo noroeste del Ambiente 41 donde se distingue el estrato **UE 753**

Tras excavar este último estrato -**UE 753**- en el interior de la estancia únicamente quedaron a la vista su pavimento de *opus caementicium* **UE 740** y las *pilae* de hipocausto, por lo que dimos por finalizada nuestra intervención en el Ambiente 41.

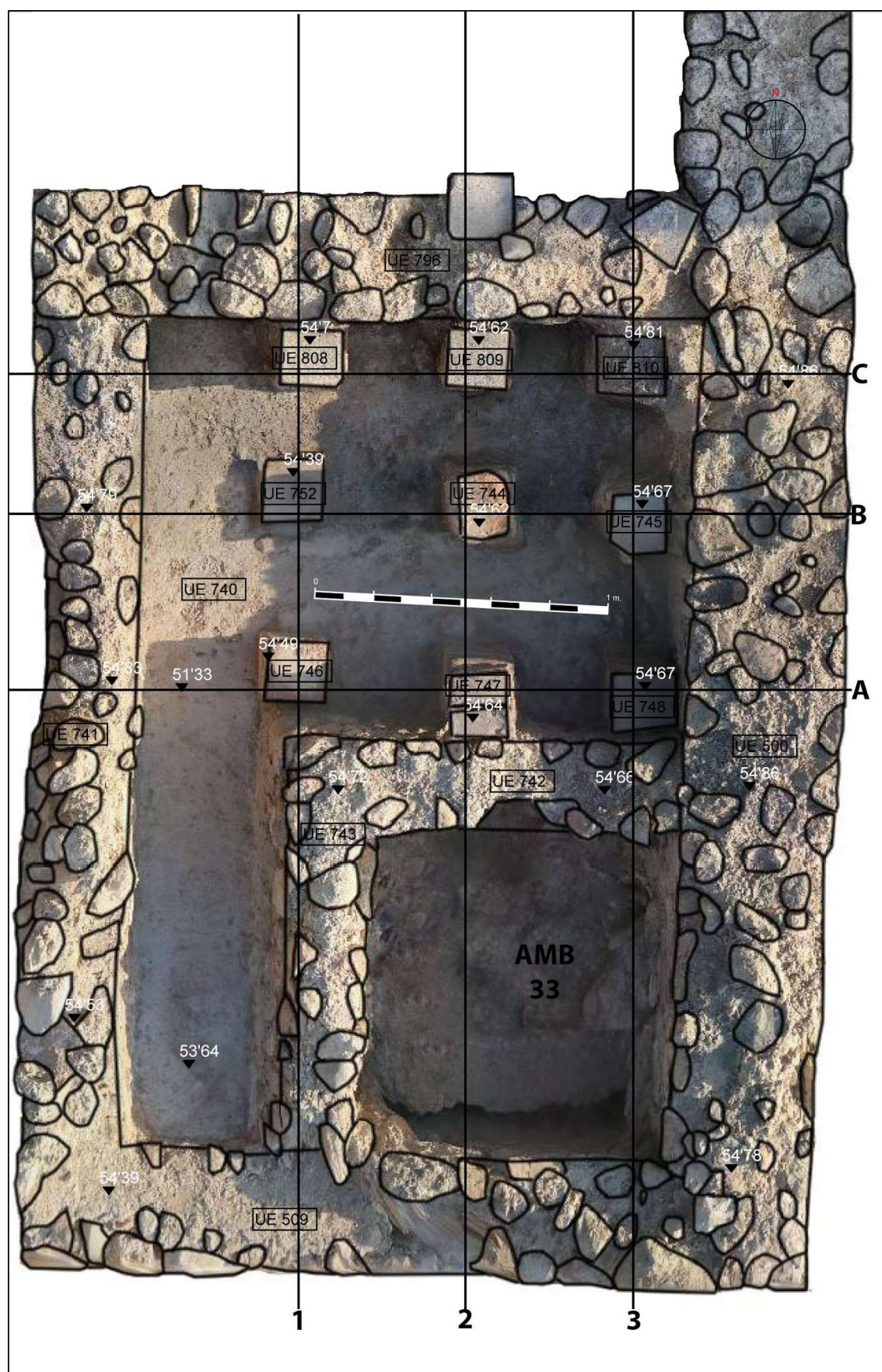


Fig. 27. Planta general del Ambiente 41 tras retirar la UE 753

Valoración final

El extremo noroeste de las Termas Orientales fue excavado -al menos en buena parte de su superficie- por el equipo de Alejandro Ramos Molina. La revisión estratigráfica de sus estructuras sugería que se trataba de estancias surgidas como fruto de una reforma del edificio. Esta hipótesis quedó refrendada al descubrir la existencia del que consideramos que debió ser el circuito termal original, en la parte este del complejo. Los restos exhumados del Ambiente 41 muestran claramente que estamos ante una sala calefactada, la cual todavía conserva varias *pilae* de su hipocausto. El hecho de su límite norte -el muro **UE 796**- englobe parte de las *pilae* revela que, en un momento posterior, la sala vio reducida su superficie.

Desconocemos si, tras esta división, el Ambiente 41 siguió funcionando como una estancia termal. Sobre el fondo del hipocausto -**UE 740**- encontramos la característica capa de ceniza -**UE 753**- propia de la circulación de aire caliente procedente de un *praefurnium*. Sin embargo, no detectamos evidencia alguna del suelo original que se sustentaba sobre las *pilae*. Por el contrario, vemos que sobre la ceniza **UE 753** se acumula directamente una capa de tierra y escombros -**UE 754**-. Este nivel únicamente pudo depositarse sobre la ceniza **UE 753** tras la rotura del pavimento. Lo cierto es que carecemos de la información suficiente como para poder discernir qué ocurrió tras su abandono. Con todos los datos registrados se abren varias posibilidades:

- Tras el desuso del hipocausto se rompe el suelo de la estancia y se divide con un muro -**UE 796**-. El espacio al sur del mismo -Ambiente 41- no vuelve a funcionar como espacio calefactado, sino que es rellenado con escombros y basura y, probablemente, repavimentado para darle otro uso. Sería compatible con el mantenimiento de las *pilae* que no afectaban a esta reestructuración del espacio, mientras que las que sí lo hacían fueron desmontadas.
- Tras la ruptura del pavimento y colmatación del espacio con escombros y basura -**UE 754**- se realiza, ya transcurrido un tiempo, la reestructuración que implica la construcción del muro **UE 796**. Para ello se requirió excavar una fosa de fundación que cortase a las **UUEE 754 y 753**.
- El desmonte del pavimento va asociado a una reforma de la sala, donde se reduce su superficie y se genera un nuevo espacio -Ambiente 41- que seguirá

empleándose como hipocausto. Pasado un tiempo el pavimento de esta sala es retirado. La colmatación de su interior tendría lugar a partir de este momento, tras haber sido un espacio calefactado en dos ocasiones.

Solo tras la excavación completa del Ambiente 43 podremos ser capaces de confirmar alguna de estas hipótesis o, incluso, de elevar alguna nueva. Consideramos, en cualquier caso, que los indicios parecen apuntar con más fuerza hacia la tercera opción planteada. Mientras que las dos primeras coinciden al mostrar que el hipocausto no pudo ser usado como tal tras su colmatación sin que se hubiese producido una limpieza previa, lo cierto es que la capa de ceniza **-UE 753-** parece apoyarse en el muro **UE 796**. Este hecho sugiere el uso de la sala calefactada tras su reestructuración y atrasa el momento de su colmatación.

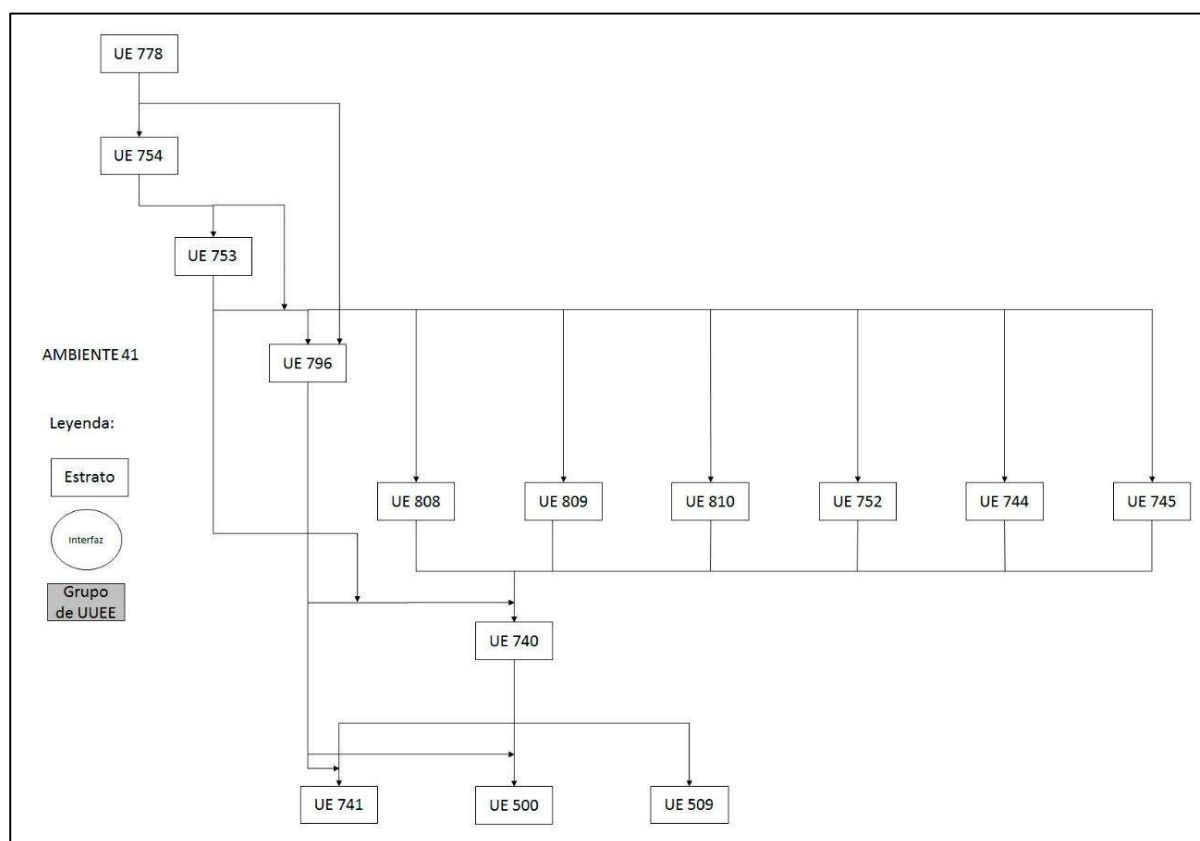


Fig. 28. Diagrama estratigráfico de la excavación realizada en la campaña 2020 en el Ambiente 41

De forma paralela a la excavación del Ambiente 18, se prosiguió con la excavación de la UE 766 a lo largo de todo el Ambiente 42, que recordemos, ocupaba toda la zona inmediatamente al norte de los ambientes 18, 19 y 41. El estrato, como ya ha sido descrito con anterioridad difiere muy poco de la UE 1, de color algo más grisáceo, compacto, muy probablemente por tratarse de una zona de paso en el sector, y con alguna piedra de mediano tamaño. Bajo este estrato pudimos localizar un nuevo, UE 778, que igualmente se extendía por toda la superficie norte, de una tonalidad marrón algo más claro, menos compacto y con alguna piedra de pequeño tamaño. Pero, al contrario de lo que sucedía con capa superior, ahora encontramos un registro estratigráfico algo más complejo. En la zona norte del Ambiente 18 se identificó una fosa que afectaba a ambos ambientes. Por otro lado, en la zona oriental apareció un nuevo muro, UE 795, con una orientación norte sur, perpendicular a la esquina noroeste del Ambiente 41, quedando así delimitado el Ambiente 42 en su extremo este por un nuevo ambiente.

Ambiente 43

El nuevo Ambiente 43 quedó a la vista tras la retirada de la **UE 778**, quedando delimitado al este por la prolongación del muro **UE 580**, que también delimita a este lado los ambientes 41 y 33, al sur por el muro **UE 796**, medianero con el Ambiente 41, al oeste con el nuevo muro **UE 795**. La zona septentrional del ambiente no quedó definida por ninguna estructura puesto que el perfil, casi al límite del yacimiento, impedía poder visualizar este extremo.

Una vez delimitado el Ambiente 43 se procedió a su excavación, encontrándonos en primer lugar con la **UE 797**, un estrato de tierra marrón grisáceo, con piedras de mediano y pequeño tamaño, elementos constructivos, como signium, enlucidos, tanto parietales como de techo, o abundante material latericio. Dicho estrato se presentaba además una peculiaridad, y es que parecía estar recortado por una fosa paralela a los muros **UE 796** y **UE 795**, sur y oeste respectivamente. En cuanto al estrato descrito, tanto por su composición como por su disposición lo asociamos a un nivel de amortización o destrucción de la estructura.

Junto a la limpieza de este estrato, previo a su documentación, se procedió también a una limpieza de los paramentos que delimitaban el ambiente, lo que nos llevó a visualizar que el muro **UE 796** en su extremo oriental tenía lo que parecía un cegado o refacción, para lo que habían utilizado además de mampuestos como *pilae*. Lo llamativo de las *pilae* utilizadas es que se ubicaban en el eje o continuación de las hiladas detectadas del Ambiente 41, concretamente en los ejes 2 y 3 indicados en la (Fig. 25). De este modo, a la refacción dentro del muro **UE 796** la denominamos **UE 813**, mientras que a la interfaz producida en el paramento por dicha refacción la denominamos **UE 814**.

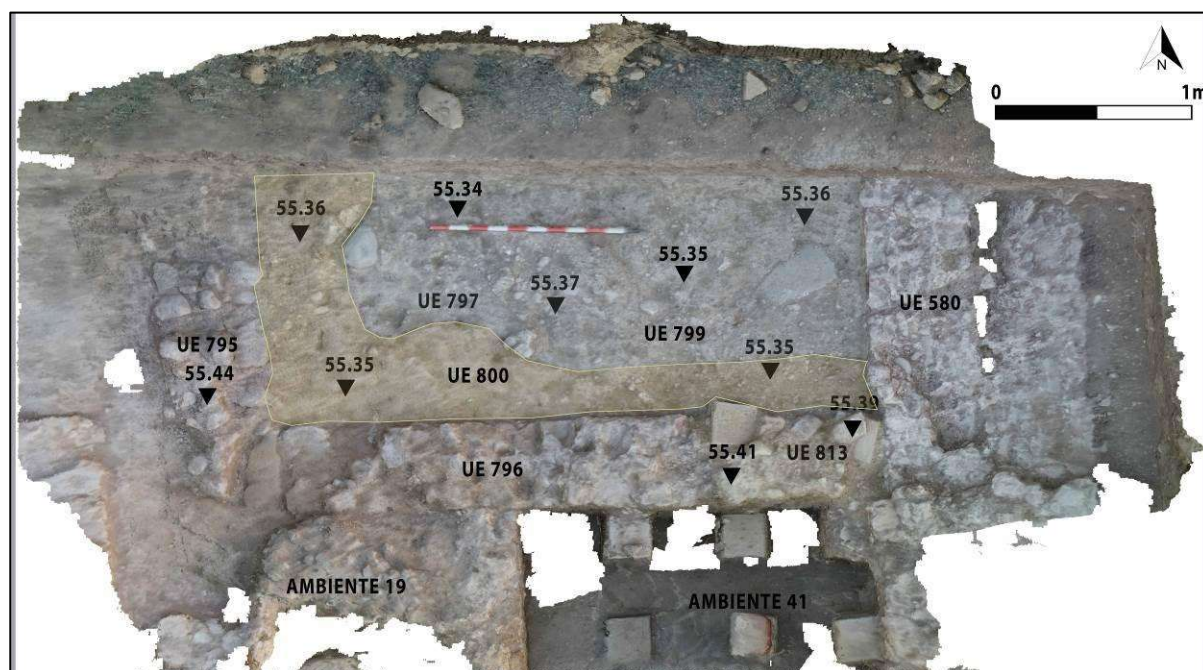


Fig. 29. Planta de estrato de la **UE 797**, dentro del Ambiente 43, así como el nuevo muro **UE 795** y la **UE 813**, dentro del muro **UE 796**, que delimita al sur con el Ambiente 41; ortofotomapa generada a partir de modelo fotogramétrico.

En lo que se refiere a la fosa comentada anteriormente, **UE 799**, discurría de forma paralela al muro sur, **UE 796-813**, y al muro oeste, **UE 795** con una anchura variable de aproximadamente 15 cm. ensanchándose considerablemente en su extremo noroeste. Esta fosa se encontraba rellena por la **UE 800**, un estrato de tierra marrón anaranjada, considerablemente menos compacta, que al igual que sucedía con la **UE**

797, también tenía alguna piedra de mediano o pequeño tamaño, revestimientos parietales y elementos constructivos.

Una vez excavada la fosa descrita se procedió a la excavación de la **UE 797**, que tal como ya hemos adelantado aportó una gran cantidad de material, de forma especial constructivo, compuesto por *tegulae*, revestimientos parietales y de techo, además de fragmentos de pavimento en *opus signinum*.



Fig. 30. Planta de estrato donde se visualiza el Ambiente 43 (esquina superior derecha) respecto al resto de ambientes de la zona; podemos ver también la **UE 797** tras la excavación del relleno de la fosa **UE 799**; ortoimagen realizada a partir de fotogrametría digital.

Exhumado el estrato, **UE 797**, la situación estratigráfica se volvía algo más compleja, aunque lamentablemente tuvimos que finalizar en este punto la excavación. A continuación, procederemos a describir los distintos estratos aparecidos, aunque su relación hemos de tomarlos como una interpretación preliminar a falta de su excavación en posteriores campañas. En primer lugar, y antes de proceder a la descripción, hemos de apuntar que también en ese momento se procedió a la limpieza superficial del paramento **UE 795**, lo que nos reveló que este no llegaba hasta el perfil septentrional del corte, por lo que podríamos estar ante el vano de acceso al Ambiente

43, pero tal como hemos comentado, sería necesario finalizar la excavación de este espacio para poder establecer conclusiones finales.

Precisamente, coincidiendo con este posible vano, en la esquina noroeste del Ambiente 43, localizamos un nuevo estrato, **UE 802**, de superficie horizontal, compuesto por una fina capa de tierra arcillosa blanquecina apelmazada sobre lo que podría ser una lechada de cantos rodados de pequeño tamaño. Debido a que identificamos este nuevo estrato como un pavimento, decidimos denominar a su superficie de uso interfaz **UE 801**. Este posible pavimento se localizó únicamente, como ya hemos comentado, en la esquina noroeste, no extendiéndose más allá de este extremo. También en la mitad occidental del ambiente se localizó un nuevo estrato, **UE 826**, de tierra marrón anaranjada, muy poco compacta y donde no se aprecia presencia de piedras o cantos rodados que parece servir de base para la preparación del pavimento antes descrito. Tal como ya hemos señalado, este extremo no podemos confirmarlo con total rotundidad puesto que sería necesario continuar la excavación.

Las dos terceras partes, centro y este, del Ambiente 43 se encuentra ocupado por un lado por un estrato, **UE 825**, donde se pueden adivinar una gran cantidad de piedras de mediano y gran tamaño, con tierra marrón pardo y no muy compacta. La relación entre el estrato descrito y el anterior, **UE 826**, queda por aclarar, puesto que, aunque aparentemente el que ocupa mayor espacio podría estar cubriendo al primero, no podemos afirmarlo con total seguridad. Finalmente, cabría puntualizar que, aunque la disposición de las piedras parece totalmente arbitraria sí que se observó la posible alineación de varios mampuestos en la zona más cercana al muro **UE 796**, aunque una vez más debemos insistir en la necesidad de finalizar su excavación para corroborar esta posibilidad.

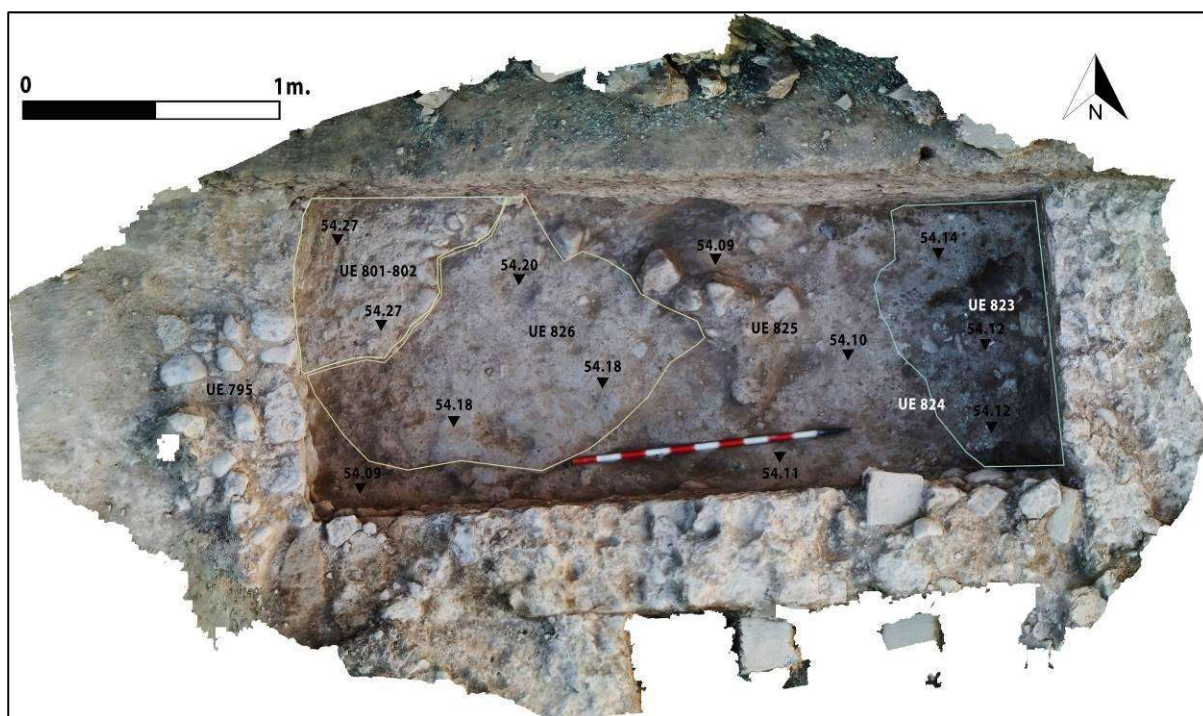


Fig. 31. Planta de estrato del estado final del Ambiente 43 al finalizar la campaña de excavación 2020; pavimento **UE 801-802**, **UE 826**, **UE 825**, **UE 823** y **824**; planta de estrato realizada sobre ortoimagen a partir de fotogrametría digital.

Finalmente, en la esquina noreste del Ambiente 43 localizamos un estrato, **UE 823**, compuesto por tierra gris, tendente al negro, que parecía rellenar una fosa o zanja, **UE 824**, que recortaba claramente a la **UE 825** de tendencia circular. Lamentablemente, esta fosa queda parcialmente bajo el perfil septentrional del corte por lo que incluso en próximas campañas difícilmente podremos finalizar su excavación.

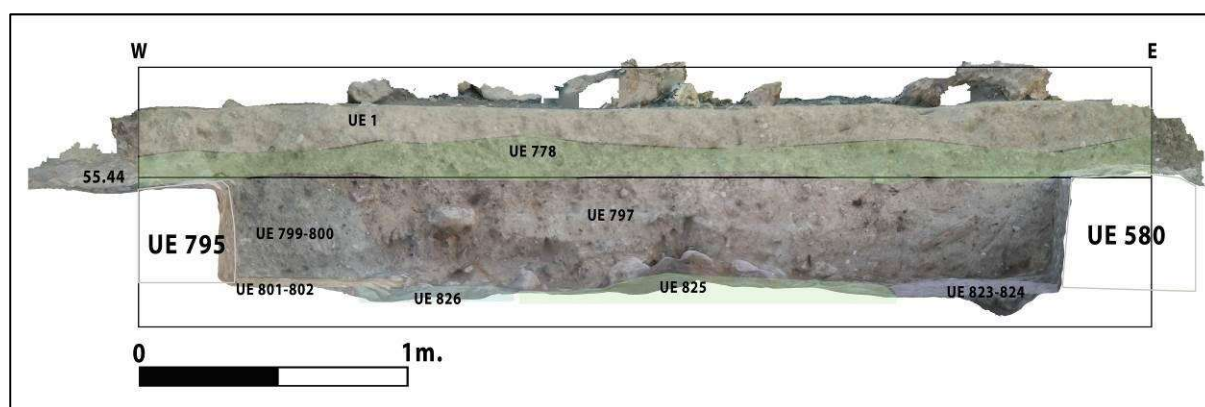
Aunque en este estado de la excavación difícilmente podemos establecer fases o periodos de uso, la existencia de un posible pavimento y las relaciones entre los paramentos si que nos permite una primera aproximación al uso y abandono del Ambiente 43. Por el momento podemos afirmar que los estratos excavados, hasta la aparición del pavimento **UE 801-802**, corresponden al abandono tanto del propio ambiente como de la zona, es decir, **UUEE 778, 797, 799 y 800**.

El pavimento **UE 801-802**, por su disposición y tras una primera valoración parece apoya parcialmente en la cara oriental del muro **UE 795**, por lo que analizando la relación de los distintos paramentos presentes podríamos establecer una secuencia constructiva que sirva de guía preliminar. La limpieza del paramento **UE 795**, además de revelar la existencia del posible vano, también evidenció que cubría al muro **UE 796** en su extremo occidental, donde deberían hacer esquina, por lo que podemos concluir con seguridad que este último se construyó en primer lugar. A su vez, podemos observar que el muro **UE 796** apoya en la cara oeste del muro **UE 580**, por lo que podríamos concluir que el primer paramento en construirse es el último mencionado. Podríamos dar por cerrada esta interpretación salvo por un detalle constructivo descrito con anterioridad.

El muro **UE 796** en su extremo oeste, precisamente donde debería hacer esquina con el muro **UE 580**, se encuentra roto y reparado, **UE 813-814**, por lo que sería necesario excavar aún más en profundidad dentro de este ambiente para observar el muro original, y verificar así la relación real entre ambos paramentos. En cualquier caso, si atendemos a la morfología del muro **UE 580** en este extremo podremos ver que no se encuentra roto, sino que ofrece alzado plano, indicando que con casi toda probabilidad el muro original **UE 796** apoyaría en la cara oeste del muro **UE 580**.

Resumiendo, y a falta de continuar la excavación del Ambiente 43, las fases constructivas, siendo la Fase 1 la más antigua y la Fase 4 la más reciente, quedarían del siguiente modo:

- Fase 1: muro **UE 580**
- Fase 2: muro **UE 796**
- Fase 2.2: refacción del muro **UUEE 813-814**
- Fase 3: muro **UE 795**, pavimentación **UUEE 801-802, UUEE 825, 826, 823, 824** (¿tal vez la fase 2.2?)
- Fase 4: **UUEE 778, 797, 799 y 800**



AMBIENTE 43

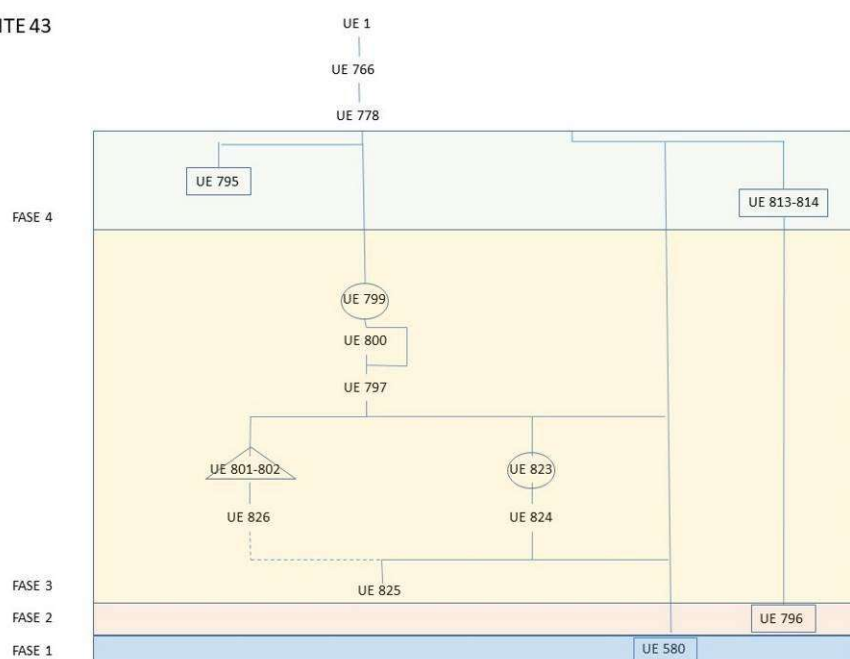


Fig. 32. Sección E-W del Ambiente 43 y diagrama estratigráfico.

Ambiente 19

Dentro de las distintas excavaciones realizadas en los ambientes presentes en este sector del conjunto termal también se llevaron a cabo pequeñas intervenciones para verificar las distintas fases constructivas presentes. Además, esto nos permitió ver la relación que existe entre los paramentos documentados, así como los ambientes, cuya evolución constructiva se antoja realmente compleja debido a la superposición de distintas fases constructivas.

Precisamente la verificación de fases o momentos constructivos nos ha obligado a desmontar en algunos puntos estructuras que amortizan claramente el uso termal del edificio. Hay que señalar que sin estas acciones no sería posible comprender la evolución histórica del edificio.

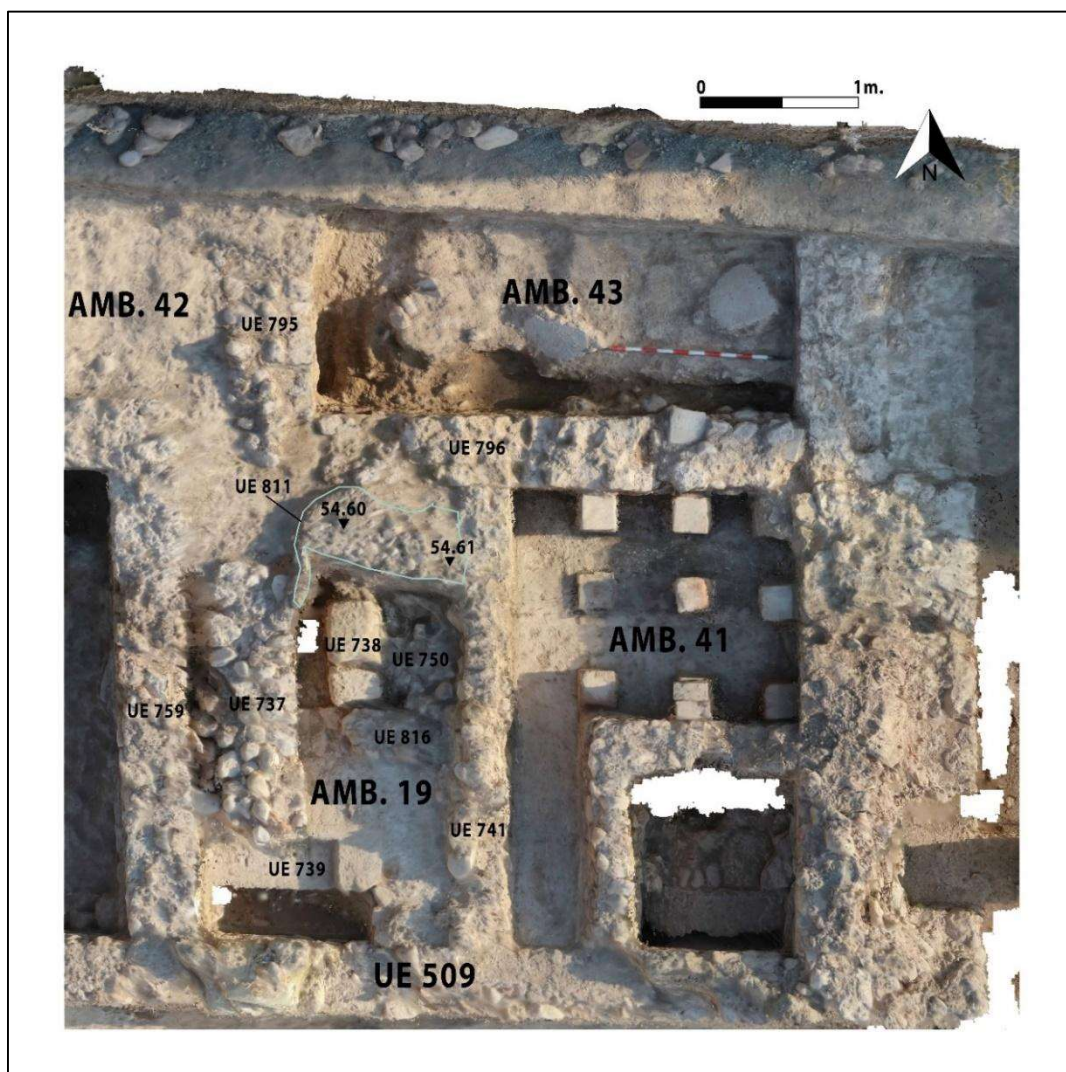


Fig. 33. Planta de estrato con ubicación del pavimento **UE 811** y estructuras que forman parte del Ambiente 19; ortoimagen realizada a partir de fotogrametría digital.

A continuación, describiremos la estratigrafía presente previo a la intervención, y que a primera vista ya dejaba entrever la coexistencia de distintas fases constructivas dentro del Ambiente 19. En primer lugar, en su extremo septentrional se detectó un pavimento o preparación de un pavimento, **UE 811**, realizado con cantos rodados, ocupando la mitad oriental del extremo norte del ambiente, mientras que en la mitad oeste observamos un nivel de tierra blanquecina, **UE 821**, que aparentemente parecía estar bajo el nivel de paso descrito.

En la mitad sur observamos distintas estructuras: en la mitad oeste, casi adosado al paramento **UE 759** (medianero entre el Ambiente 19 y el 18) observamos un muro, **UE 737**, de mampuesto ordinario, trabado con mortero de barro, cuyo extremo norte se encuentra interrumpido a la altura del pavimento **UE 811**, mientras que en su extremo se encuentra cubriendo la estructura **UE 739**, identificada con una escalera. Inmediatamente al este localizamos lo que podría ser un nuevo paramento, **UE 738**, este compuesto por mampuestos cuadrangulares de tamaño mediano, a modo de sillarejo, trabados con un mortero de barro. Dicha estructura aparece encajada entre el extremo norte de la escalera **UE 739** y el pavimento **UE 811**.

Aunque aparentemente podría establecer unas fases preliminares en base a la relación de los elementos constructivos, el espacio del Ambiente 19 resulta realmente reducido e imposibilita ver con claridad estas relaciones. Para ello resulta imprescindible detectar aquellas estructuras que han sido construidas en último lugar y plantear así una actuación que tenga como objeto su desmontaje.

A tenor de la descripción realizada tras una exhaustiva limpieza, el último elemento en construirse es el pavimento **UE 811**, que cubre parcialmente el extremo septentrional del muro **UE 737**. Y, por otro lado, este mismo paramento, cuya continuidad al norte y sur aparece interrumpida, está construido sobre el resto de estructuras presentes.

Por este motivo, la primera de estas actuaciones se realizó con el nivel de pavimentación documentado en la zona de unión entre los ambientes 18, 43 y 42. El pavimento, **UE 811**, como ya hemos dicho, compuesto por cantos rodados de

pequeño tamaño, ocupaba el espacio donde podría encontrarse la continuación hacia el norte del muro **UE 738**.

Una vez excavado el pavimento apareció un nivel de tierra marrón anaranjado, con pequeños nódulos de cal y algún canto rodado de pequeño tamaño. Esta nueva unidad, **UE 821**, se extendía por toda parte norte del ambiente, apoyándose claramente en la cara sur del muro **UE 796**. Tras su limpieza procedimos a su excavación, dejando a la vista la continuación de la estructura **UE 738** hacia el norte, apareciendo un nuevo sillarejo a continuación de los dos previamente documentados. En cuanto a los materiales arqueológicos aparecidos y a falta de un estudio detallado, nos encontraríamos en un horizonte bajo imperial. Verificamos así que tanto el pavimento **UE 811** como el nivel que cubre la parte norte del Ambiente 19 es posterior a la estructura **UE 738**. La limpieza de esta estructura ha permitido verificar que inmediatamente al este de la misma, apoyando en su cara oriental, aparece un conglomerado de piedras, **UE 750**, de mediano y pequeño tamaño que queda encajado entre la estructura **UE 738** y la escalera **UE 739**. Además, esta actuación también nos ha permitido verificar que la estructura **UE 738** se apoya en la cara norte de la escalera, situando la colocación de los sillarejos comentados en un momento posterior a la construcción de la escalera.

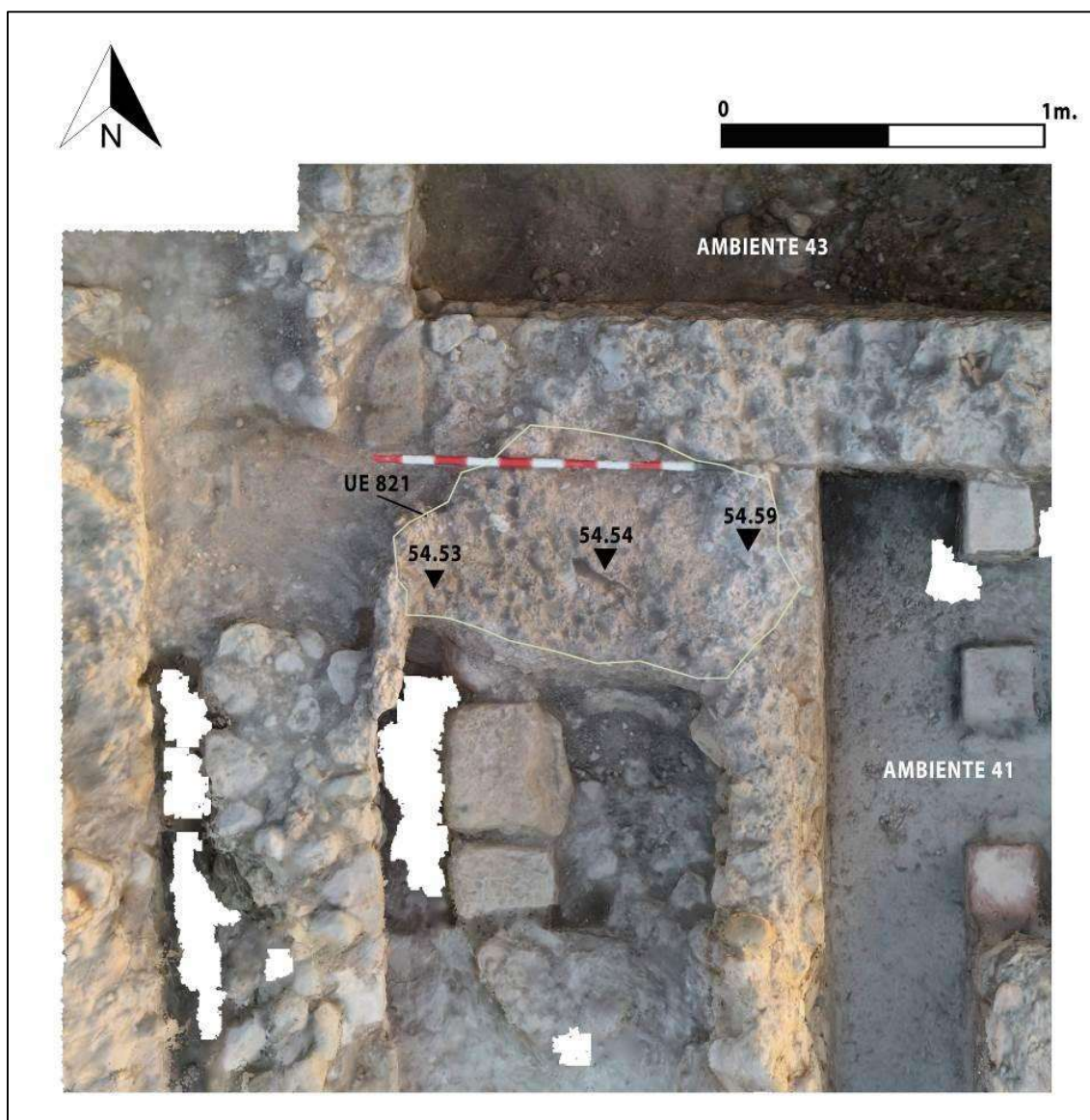


Fig. 34. Planta de estrato de la **UE 821**, preparación del pavimento **UE 811**; ortoimagen realizada a partir de fotogrametría digital.

Por otro lado, la excavación de la **UE 821** en su lado oeste nos ha permitido ver que el muro **UE 737** tenía una continuación hacia el norte, pudiendo ser una prolongación del muro **UE 795**. Aunque ambos paramentos no describen exactamente una línea recta, su factura es similar, y en la zona de unión entre ambos, a primera vista, parece haber trabazón. Esta relación estratigráfica situaría, por tanto, el muro **UE 737** en la misma fase constructiva que el muro **UE 795**, algo que tal como ya hemos visto en la excavación del Ambiente 43, correspondería con el último momento constructivo dentro del sector.

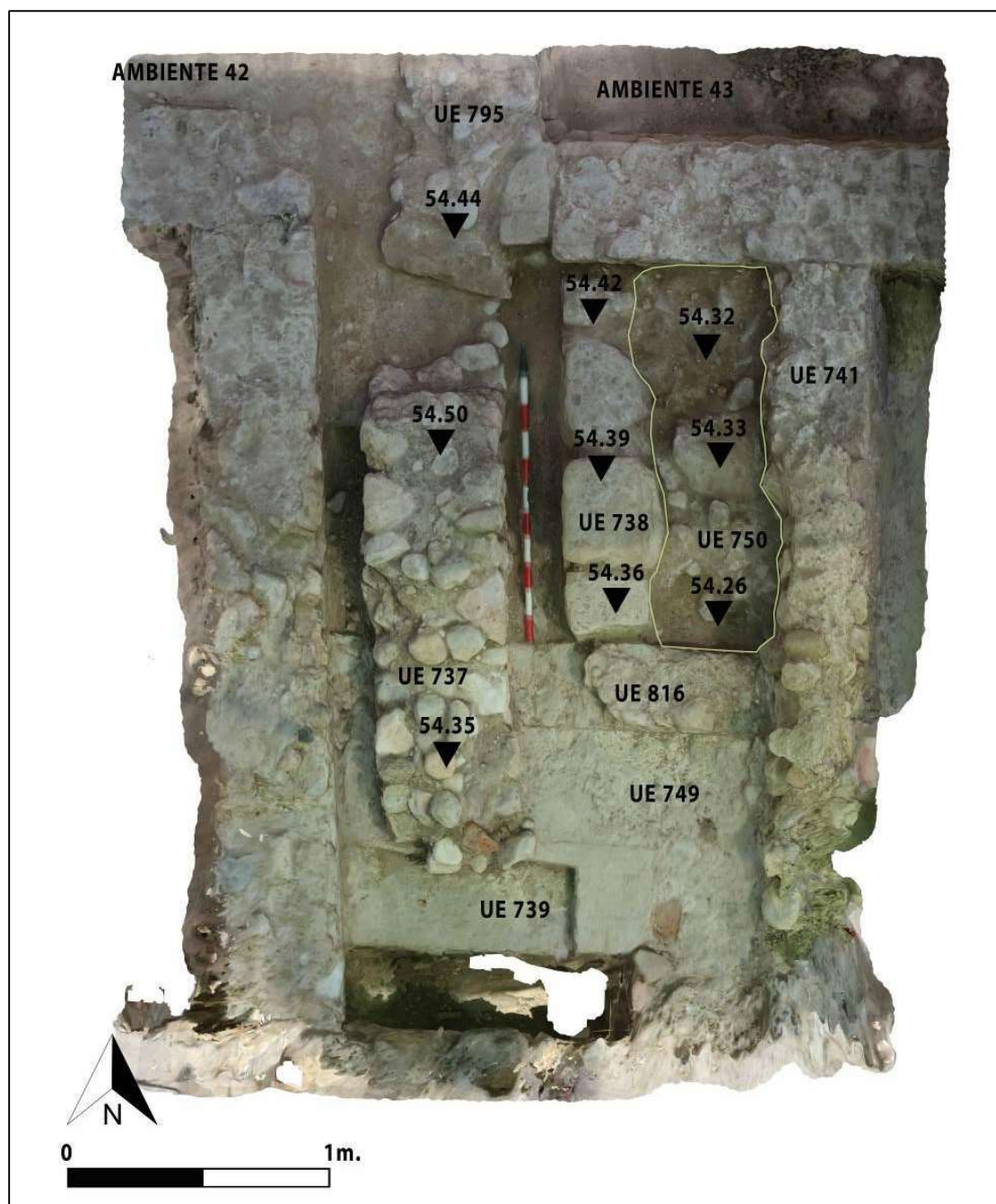


Fig. 35. Planta de estrato donde podemos ver el Ambiente 19 tras la retirada de la **UE 821** en su totalidad; ortoimagen obtenida mediante fotogrametría digital.

De este modo, determinada la fase constructiva del último muro descrito y llegados a este punto, nos planteamos el desmontaje parcial del muro **UE 737** para poder verificar con mayor certeza la relación estratigráfica del resto de paramentos presentes en el Ambiente 19.

Tal como ya hemos descrito con anterioridad, el muro **UE 737** está compuesto por mampuestos de pequeño y mediano tamaño, cantos rodados y algún fragmento de material latericio, trabado todo con un mortero de cal. A falta de un estudio en detalle de los materiales aparecidos, hemos de decir que no se observó la presencia entre los mampuestos de elementos tardo antiguos o que nos lleven a cronologías más allá del s. IV d.C. Desmontado el mampuesto, pudimos observar que existía una fosa, **UE 827**, que ocupaba el mismo espacio que el paramento de piedra del muro, asociándolo a la construcción de la parte desmontada.

De este modo, donde antes se podía observar el muro **UE 737**, ahora podemos identificar una fosa con la misma anchura del muro, rellena por un estrato, **UE 828**, de tierra marrón oscura, con alguna piedra de pequeño tamaño y pequeños carbones. De forma coherente con lo comentado sobre los materiales arqueológicos aparecidos durante el desmontaje del muro **UE 737**, los materiales aparecidos, a falta de un estudio pormenorizado, no arrojan cronologías tardo antiguas sino bajo imperiales. La fosa, se encuentra recortando a un estrato de tierra marrón claro, **UE 839**, ligeramente compacto. Tras realizar una limpieza exhaustiva del relleno de la fosa descrito, se procedió a la excavación del estrato al que recorta, para evitar así cualquier tipo de contaminación stratigráfica. No se observó durante su excavación la aparición de restos constructivos o piedras, pero si algún fragmento de cerámica, en estos momentos en estudio.

Con los resultados obtenidos durante la excavación de la presente campaña podemos aportar unas conclusiones provisionales en relación a las fases constructivas descritas durante las intervenciones puntuales:

- Fase 1, **UE 839**, a falta de finalizar la excavación y verificar la existencia de niveles previos, algo previsible;
- Fase 2, construcción de las siguientes estructuras: muro **UE 759** (delimitación este del ambiente 19); escalera, **UE 739-749**
- Fase 3, cegado de la escalera con el muro **UE 840**
- Fase 4, construcción de la estructura **UE 738**, muro **UE 737** (incluido su fosa y relleno, **UUEE 827, 828**)
- Fase 5, construcción del pavimento **UE 811** y su preparado **UE 821**.

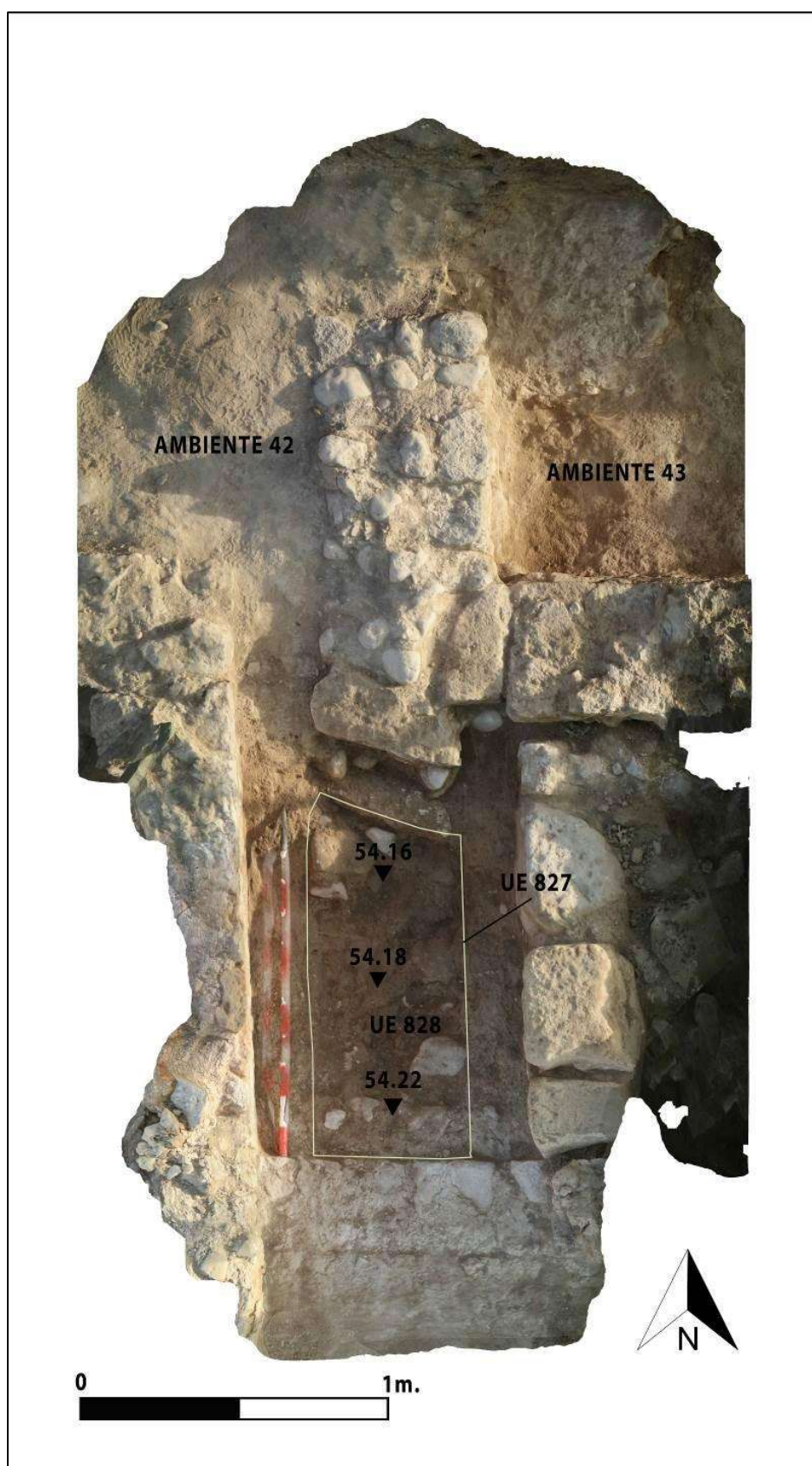


Fig. 36. Zanja UE 827 y relleno, UE 828, tras desmontar el muro UE 737; ortoimagen obtenida a partir de fotogrametría digital.

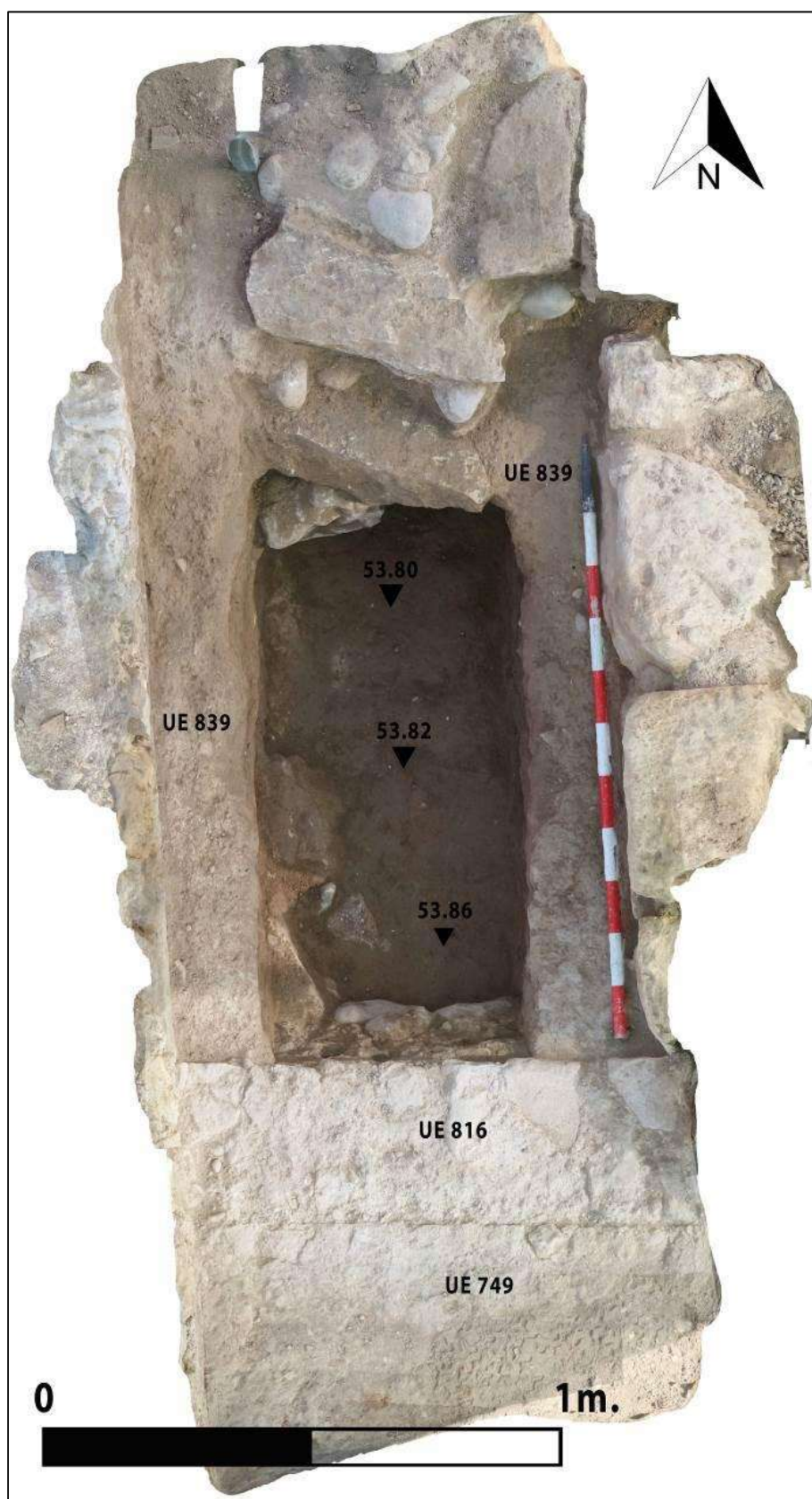


Fig. 37. Planta de estrato con el fondo de la fosa **UE827-828**;
ortoimagen obtenida a partir de fotogrametría digital.

Lamentablemente la excavación del Ambiente 19 concluyó en este punto durante la campaña 2020, por lo que en próximas campañas procederemos a finalizar su estudio, dejando pendientes varios interrogantes a dilucidar:

- finalizar la excavación de la **UE 839** y comprobar la existencia de niveles previos
- analizar en detalle la funcionalidad y fase de uso a la que pertenece la estructura **UE 738** en el lado oriental del Ambiente 19
- -establecer de forma definitiva las distintas fases de uso dentro del Ambiente 19, incluyendo la escalera, **UE 739-749** y el muro de cierre al sur, **UE 509-840**.

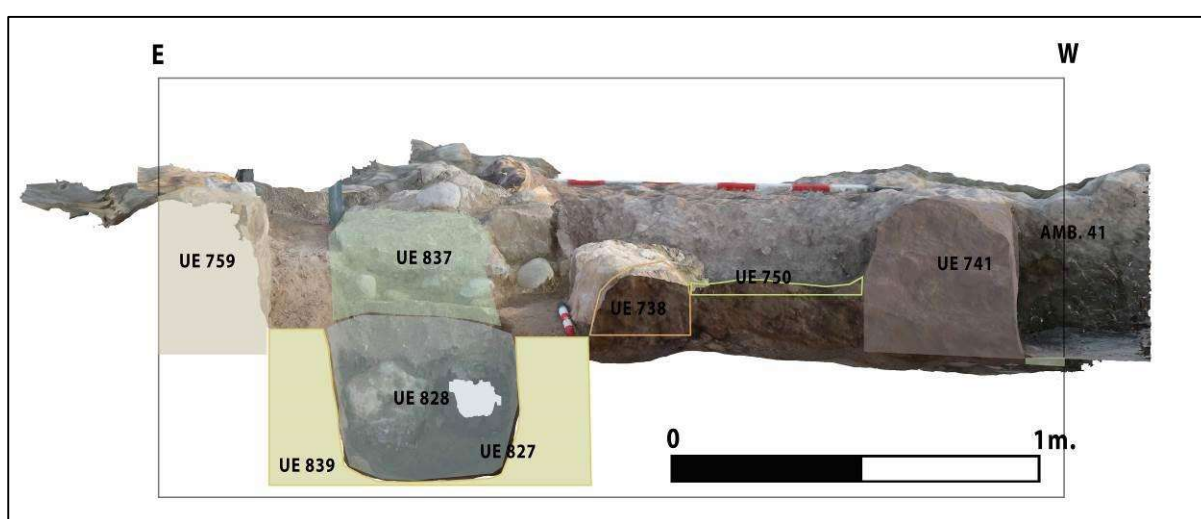


Fig.38. Sección Este-Oeste del Amb. 19 (ortoimagen mediante fotogrametría digital).

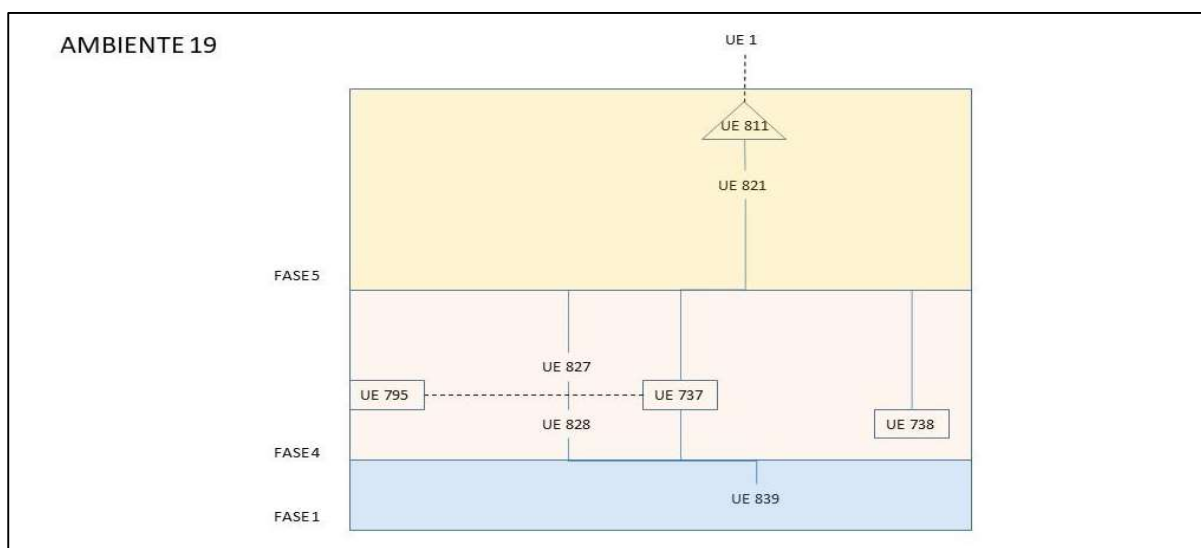


Fig. 39. Diagrama estratigráfico del Amb. 19. Las fases 2 y 3 no vienen especificadas en el diagrama debido a que es necesario proseguir la excavación en el sector para establecer de una forma clara la relación de los estrato y estructuras que componen dichas fases.

4 . Sector NW del complejo termal: Amb. 31 y 37

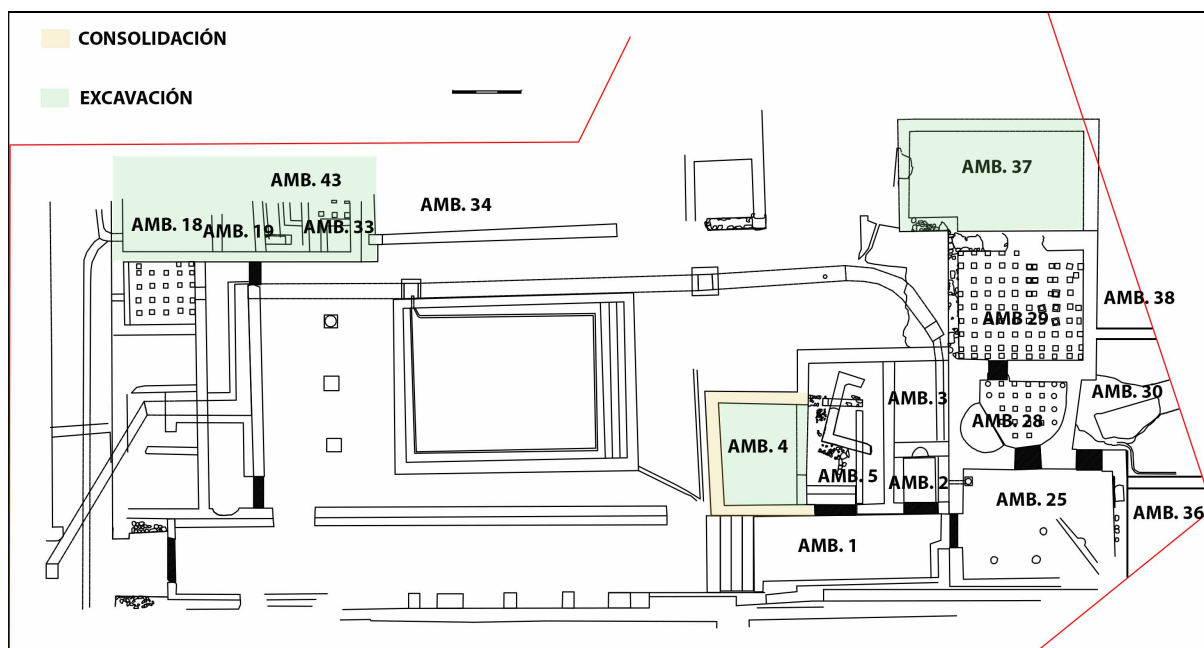


Fig. 40. Vista en planta de las Termas Orientales en la que destacamos los Ambientes del sector noroeste en los que hemos intervenido en la presente campaña

Ambiente 31

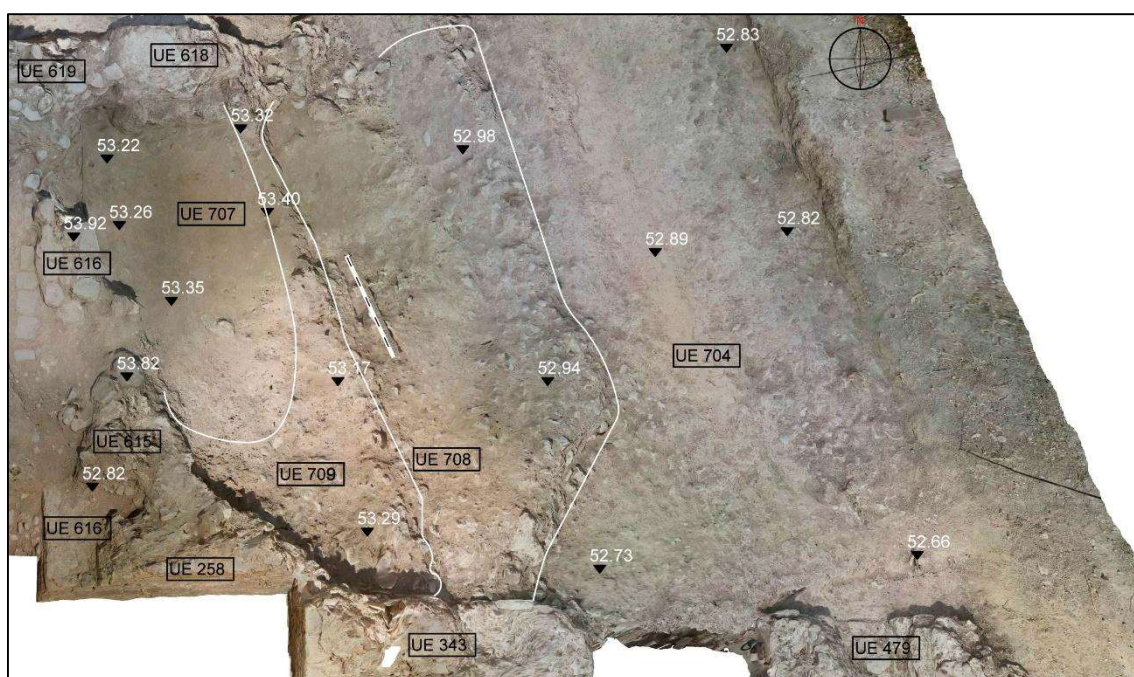


Fig. 41. Planta general del Ambiente 31 una vez finalizada la campaña 2019

Durante la campaña arqueológica desarrollada en 2019 se identificó un nuevo espacio que fue registrado como Ambiente 31. Estaba situado inmediatamente al norte de una sala con hipocausto -Ambiente 29-, con la que estaba conectada mediante un vano. Interpretamos por tanto que, muy probablemente, formaba parte del mismo circuito termal que se extiende por todo el extremo este de las Termas Orientales.

Las excavaciones llevadas a cabo en su interior únicamente permitieron definir -si bien someramente- las estructuras que delimitan su parte occidental mientras que su lado opuesto, desafortunadamente, resultaba parcialmente inaccesible al prolongarse más allá de los límites de la parcela de La Alcudia. Tras la retirada de las capas superficiales y de distintos niveles relacionados con el uso agrícola del suelo alcanzamos finalmente los primeros estratos puramente arqueológicos. Alcanzado este punto detuvimos nuestra intervención en esta cámara.

Ya en la presente campaña retomamos la actividad arqueológica en el Ambiente 31, que se centró en completar la definición de sus estructuras perimetrales. Para ello procedimos a la retirada del derrumbe **UE 619** y del paquete estratigráfico **UE 707**.

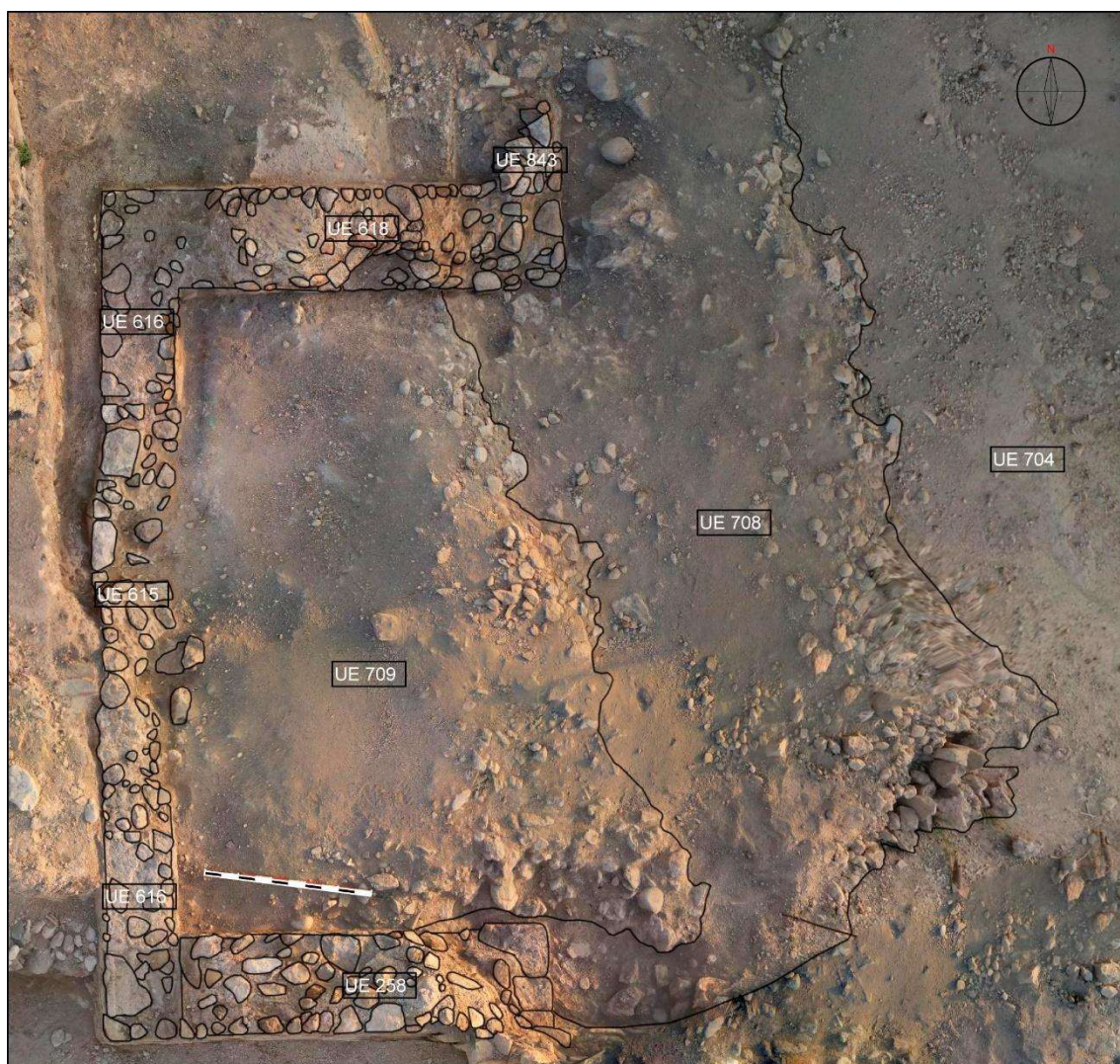


Fig. 42. Planta general del Ambiente 31 tras retirar las **UUEE 619 y 707**

Su retirada hizo visible la unión de los muros **UUEE 616 y 618** en el ángulo noroeste de la estancia y el extremo oriental del muro **UE 618**. También reveló que el trazado del muro **UE 616** presentaba una alteración -posible cambio de aparejo y una ligera dislocación- en su parte central -**UE 615**-.

Esta limpieza de los muros reveló que contaban con oquedades en su cara interna que identificamos como anclajes de *clauis coctile*:

- **UE 846**. Orificio para *clauis coctile* en la parte superior del muro **UE 258**, en su extremo oeste.
- **UE 847**. Orificio para *clauis coctile* en la parte superior del muro **UE 616**, en su extremo sur.

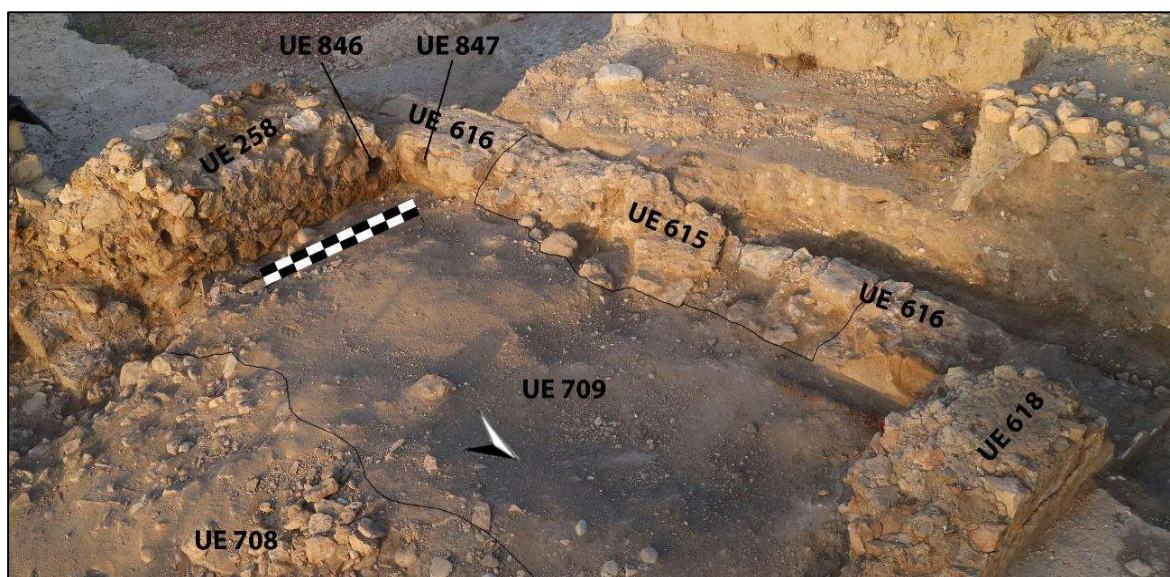


Fig. 43. Vista en detalle del ángulo suroeste del Ambiente 31 donde destacamos los orificios de claui coctile **UUEE 846 y 847**

- **UE 848.** Orificio para *clauus coctile* en la parte superior del muro **UE 616**, en su extremo norte.
- **UE 849.** Orificio para *clauus coctile* en la parte superior del muro **UE 618**, en su extremo oeste.
- **UE 850.** Orificio para *clauus coctile* en la parte superior del muro **UE 618**, en su extremo este.

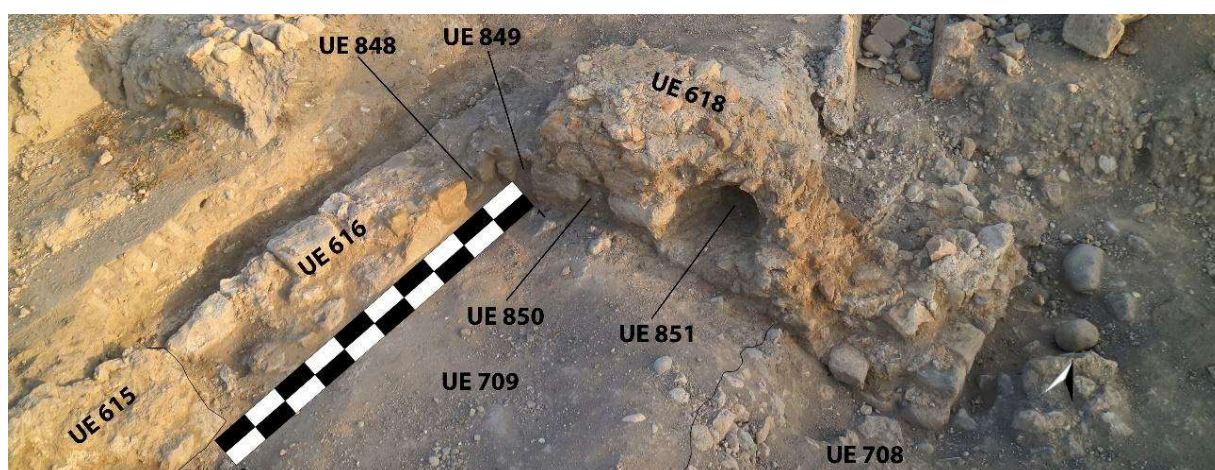


Fig. 44. Vista en detalle del ángulo noroeste del Ambiente 31 donde destacamos los orificios de claui coctile **UUEE 848, 849 y 850** y el orificio **UE 851**

También salió a la luz un orificio de tendencia circular **-UE 851-** en la cara interna del muro **UE 618**. Al igual que ocurre con el resto del Ambiente 31 y de sus estructuras, habrá que esperar a futuras campañas para concluir su exhumación, documentación e interpretación.

Valoración final

La intervención que desarrollamos en el Ambiente 31 durante la presente campaña fue de escasa incidencia debido a haber priorizado el extremo noroeste del complejo termal frente al noreste.

La limpieza superficial y la retirada de algunos de los derrumes visibles permitió confirmar el trazado perimetral que habíamos propuesto en la campaña anterior. Además, sacó a la luz una serie de orificios en los muros **UUEE 258, 616 y 618** que, por tipología, ubicación y módulo asociamos al anclaje de *clauí coctile*. No cabe duda por tanto que nos encontramos ante una nueva sala calefactada que, debido a sus dimensiones, es la mayor de las descubiertas hasta la fecha en las Termas Orientales. Solo mediante futuras intervenciones lograremos establecer su posición dentro del circuito termal de la mitad este del complejo y comprobaremos si, al igual que las habitaciones vecinas, tuvo un uso posterior al abandono de las termas.

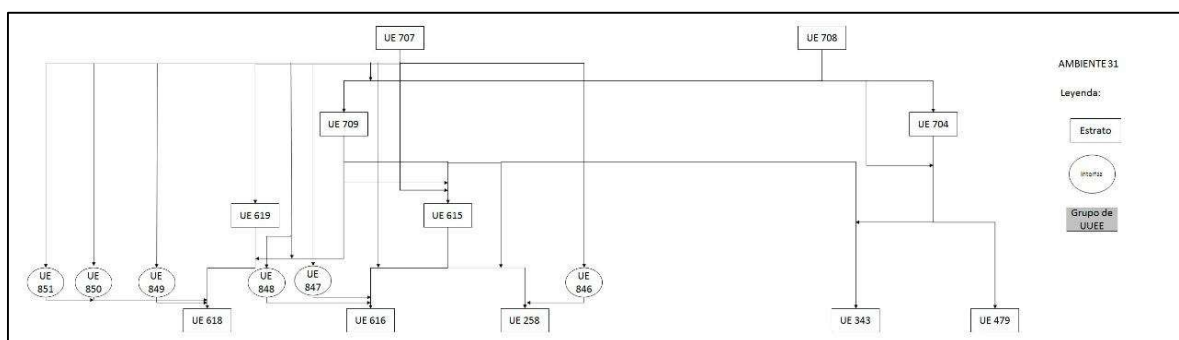


Fig. 45. Diagrama estratigráfico de la excavación realizada en la campaña 2020 en el Ambiente 31

Ambiente 37

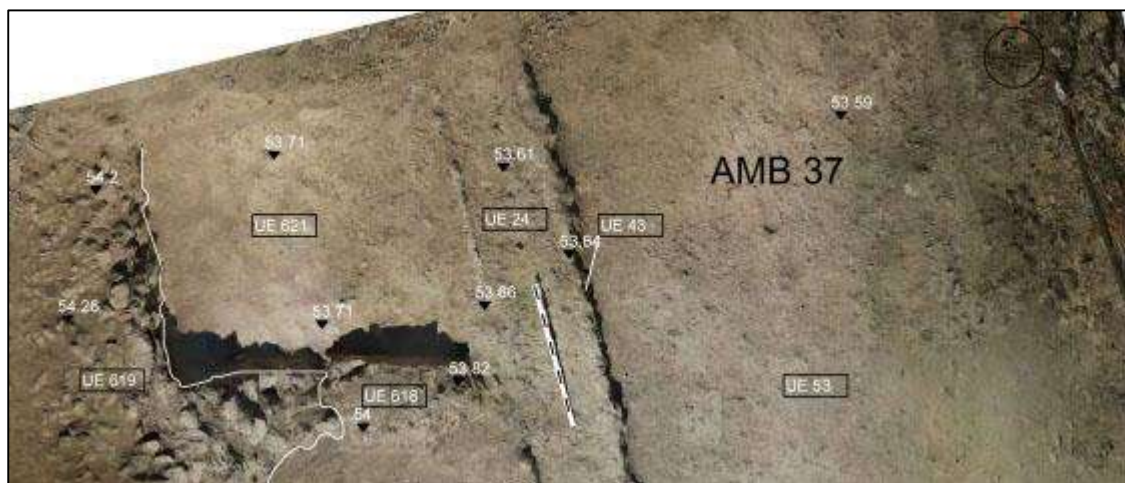


Fig. 46. Planta general del Ambiente 37 una vez finalizada la campaña 2020

La limpieza superficial y retirada de derrumbes en el Ambiente 31 fue acompañada de acciones similares en su espacio adyacente al norte, el Ambiente 37. En este caso, se intervino en la **UE 621** con la finalidad de definir la cara externa del muro **UE 618**. Esta tarea reveló que el extremo este del muro **UE 618**, tras finalizar su trazado completo de 2'3 m de longitud, trababa formando ángulo recto con un muro -**UE 843**- que arranzaba desde su cara norte y que presentaba una orientación N-S.

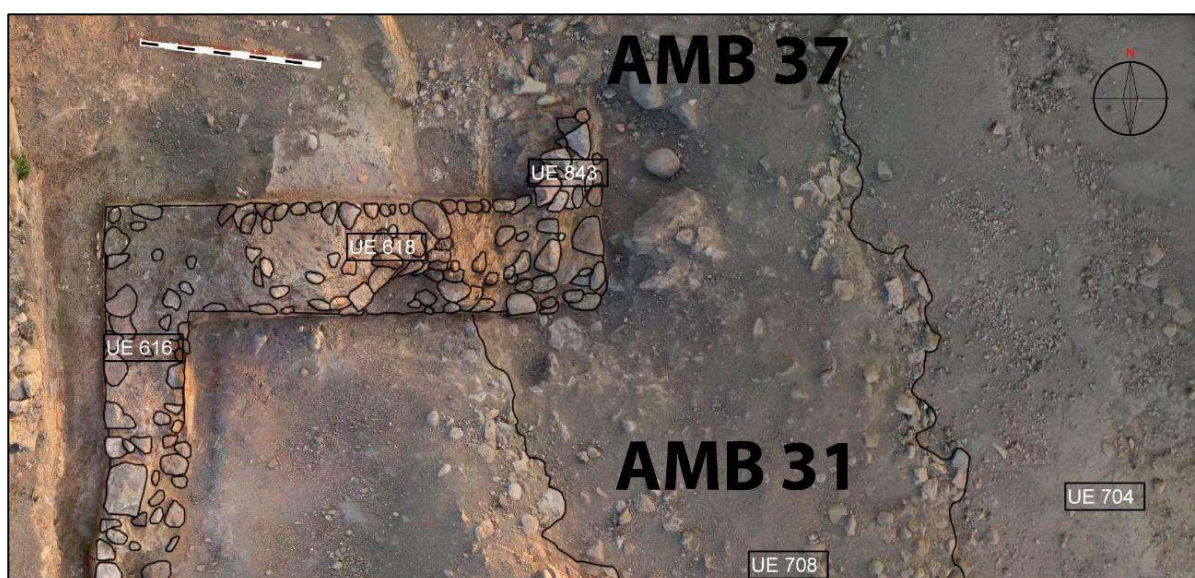


Fig. 47. Planta general de la parte del Ambiente 37 donde se intervino en la campaña 2020.

*Se distingue en la misma el muro **UE 843***

Valoración final

El muro **UE 843** es, a día de hoy, el único elemento estructural del Ambiente 37. Carecemos de información acerca de su superficie o incluso de su morfología. Siendo así, solo podemos esperar que futuras intervenciones proporcionen nuevos datos acerca de este espacio de las Termas Orientales y de su encaje en circuito termal.

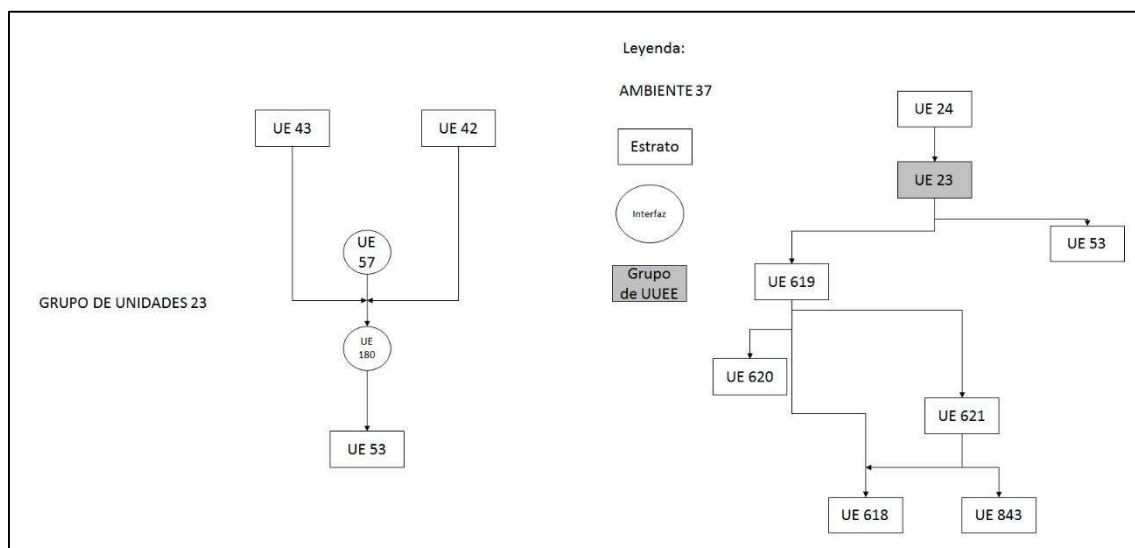


Fig. 48. Diagrama estratigráfico de la excavación realizada en la campaña 2020 en el Ambiente 37

4 . Ambiente 4

Finalizada la excavación del Amb. 5 en la campaña 2019, pudimos observar como en el perfil que separaba este ambiente del Amb. 4 existía un paramento en dirección norte-sur (GU3092), diferenciando ambos espacios por debajo del último nivel de pavimento documentado, UE 304. De este modo constatamos que en una fase previa a la pavimentación comentada el espacio visible estaba dividido en dos ambientes, algo que explicaba la forma en L que presentaba el denominado Amb. 4-5.

En la campaña 2020 hemos procedido a la excavación del Amb. 4 en su totalidad, desmontando el pavimento UE 304, que ocupaba toda la superficie del A4. Esto nos garantizaba una secuencia estratigráfica no afectada por las fases tardoantiguas documentadas en la zona, y por otro lado nos permitía obtener información detallada sobre las fases constructivas anteriores a la confección del nivel de pavimento.

El levantamiento del pavimento (**UE 304**), así como de su preparación (**UE 764**), nos permitió estudiar en detalle su relación con los paramentos y sus revestimientos. De forma adicional, pudimos excavar los niveles previos a la construcción de los paramentos pertenecientes al conjunto termal, lo cual también nos ha permitido obtener una secuencia estratigráfica completa de la zona excavada hasta llegar a los niveles geológicos.

A continuación, pasamos a detallar el proceso de excavación, así como las relaciones estratigráficas documentadas durante el estudio del Amb. 4, determinado así no solo los niveles correspondientes al uso de las fases de uso del conjunto termal, sino también los niveles previos a la construcción del complejo romano.

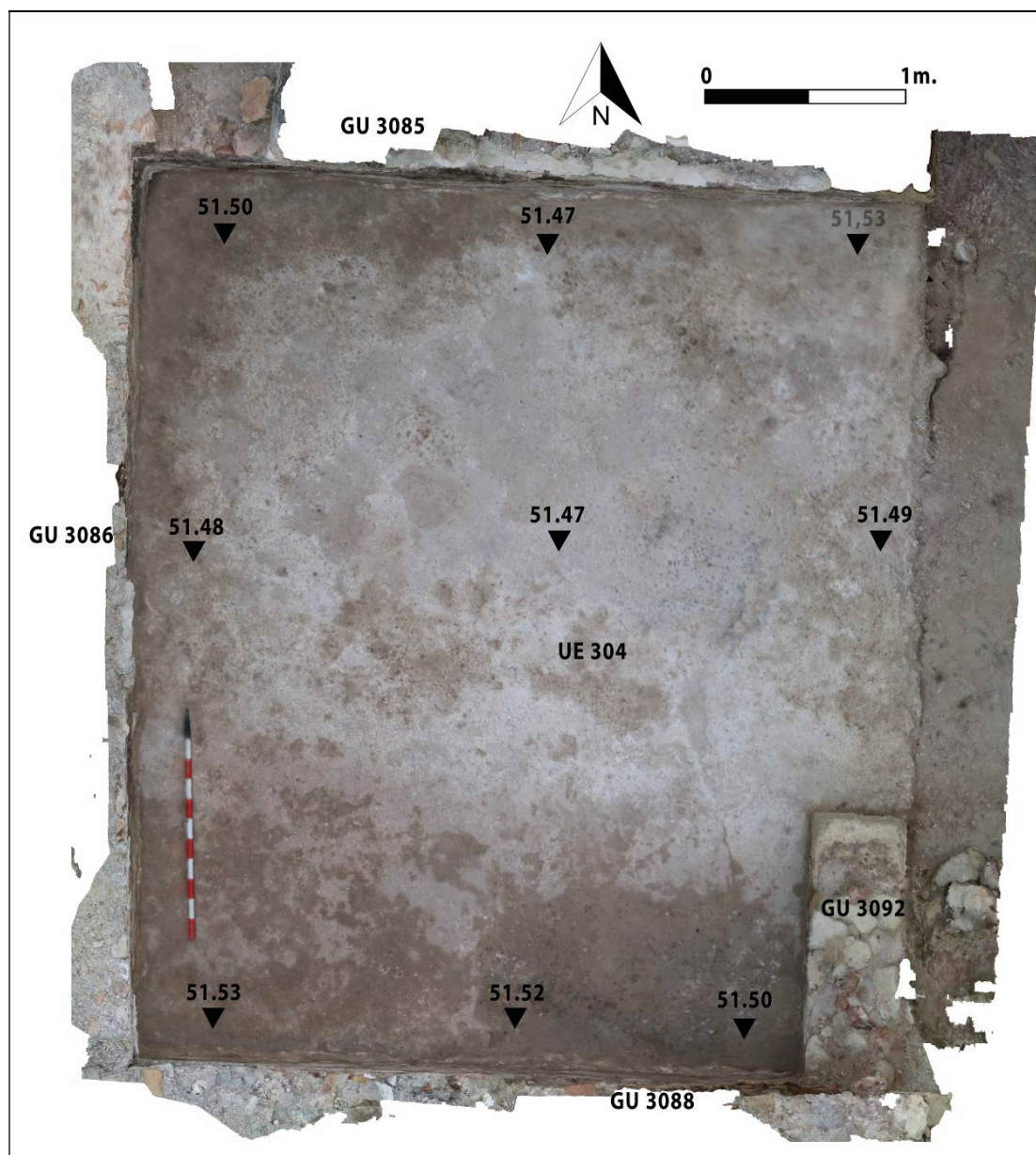


Fig. 49. *Planta de estrato de la UE 304, último pavimento documentado en el Amb. 4, realizada a través de ortoimagen generada mediante fotogrametría digital.*

Tras retirar los elementos de protección que cubrían el pavimento **UE 304** (Fig. 49), se llevó a cabo una minuciosa limpieza de su superficie para así documentar su aspecto externo y la existencia de alguna posible rotura que pudiera contaminar los niveles previos a la construcción de dicho nivel de paso. Esta limpieza evidenció la inexistencia de fosas o roturas en el pavimento, por lo que su excavación nos garantizaba que los niveles previos no presentarían contaminaciones o intrusiones posteriores al abandono del complejo termal.

Tal como ya se hizo en la campaña de 2018, pudimos verificar la relación de los enlucidos conservados en los paramentos que delimitan el Amb. 4 con el pavimento, observando cómo los últimos revestimientos revocan el pavimento. Por otro lado, el suelo **UE 304** apoya contra los enlucidos previos.

Iniciamos así la excavación del pavimento **UE 304**, observando que estábamos ante un estrato de gran dureza, compuesto por mortero de cal blanquecino, fragmentos cerámicos y alguna piedra y canto rodado de pequeño tamaño. Su grosor era bastante regular, entre los 5 y los 10 cm., realizado sobre un lecho de cantos rodados de mediano y gran tamaño que denominamos **UE 764** (Fig. 50), que creaba un nivel horizontal que sirvió de base para la realización del pavimento antes descrito. De hecho, algo que refuerza aún más la manufactura contemporánea de ambos estratos, es que entre los cantos rodados se observa mortero que forma parte tanto del pavimento como de la preparación. Esto solo pudo suceder si al construir el pavimento la colada de mortero aún estaba en estado líquido. El aspecto de esta preparación es similar a la **UE 305**, encontrada en el Amb. 5, inmediatamente al este, por lo que entendemos que tanto la **UE 304** como esta **UE 764-305** son de construcción contemporánea ocupando todo el espacio que comprenden ambos ambientes.

Si observamos las cotas superiores de este *rudus* en el extremo occidental del Amb. 4, podemos ver que existe un claro desnivel hacia el este, estando en ese extremo entre 3 y 5 cm. más bajo que en el extremo oriental del Amb. 5.

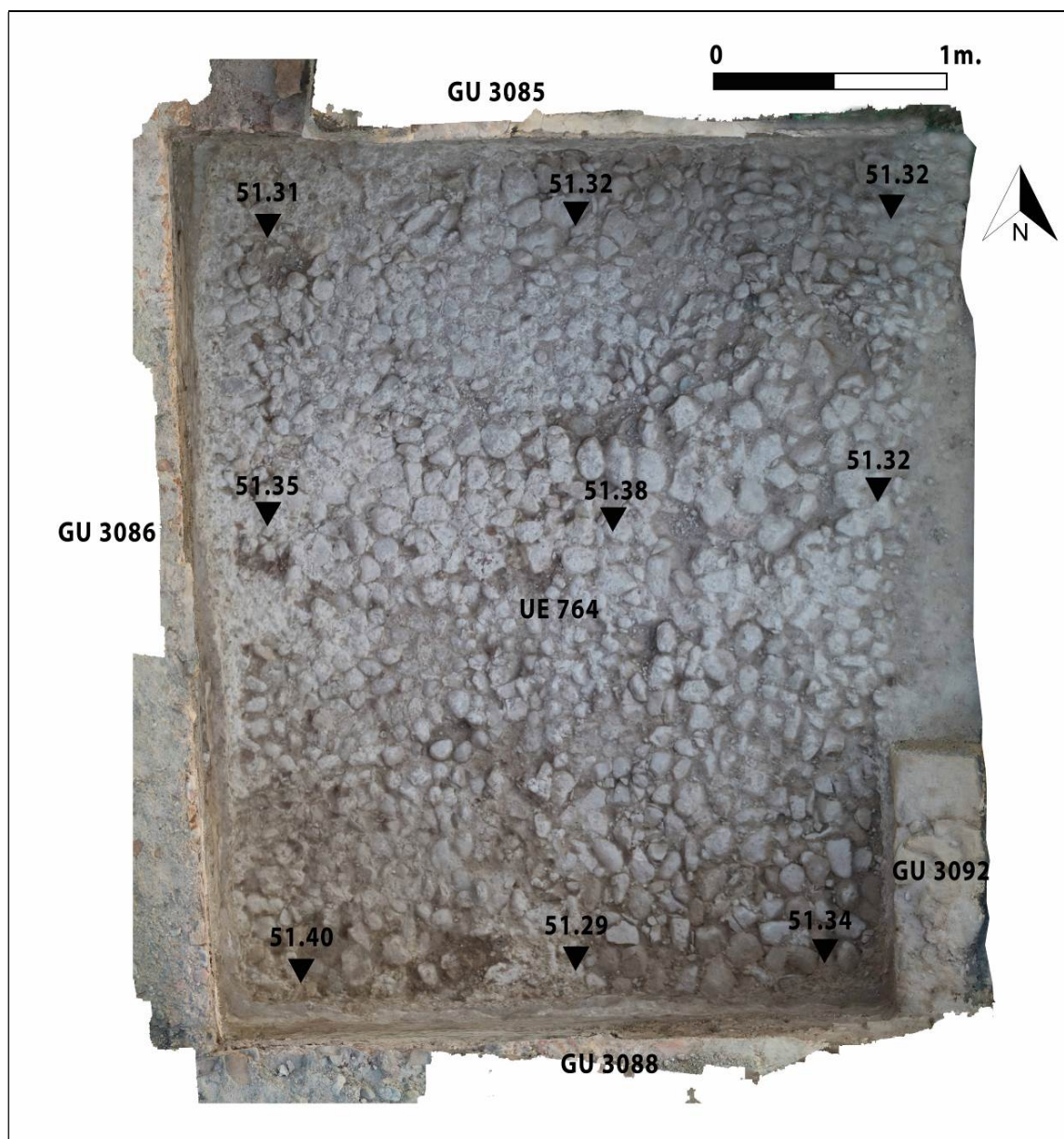


Fig. 50. Planta de estrato de la **UE 764** (*rudus* del pavimento **UE 304**) realizada sobre ortomagen generada mediante fotogrametría digital.

Bajo este *rudus* localizamos una nueva capa, esta vez sin piedras o cantos rodados, pero de una gran dureza y con una superficie también bastante uniforme. Este estrato, **UE 765** (Fig. 51), está formado por tierra marrón oscuro, muy compacta y cubriendo toda la superficie del Amb. 4. Durante la excavación del *rudus* pudimos ver que en el extremo oriental del ambiente cubría directamente la continuación del muro **UE 3009**, mientras que tras la excavación de la **UE 765** apoya en la cara oeste del muro, coincidiendo la cota superior del estrato de tierra con la superior del paramento en la zona donde no era visible con anterioridad.

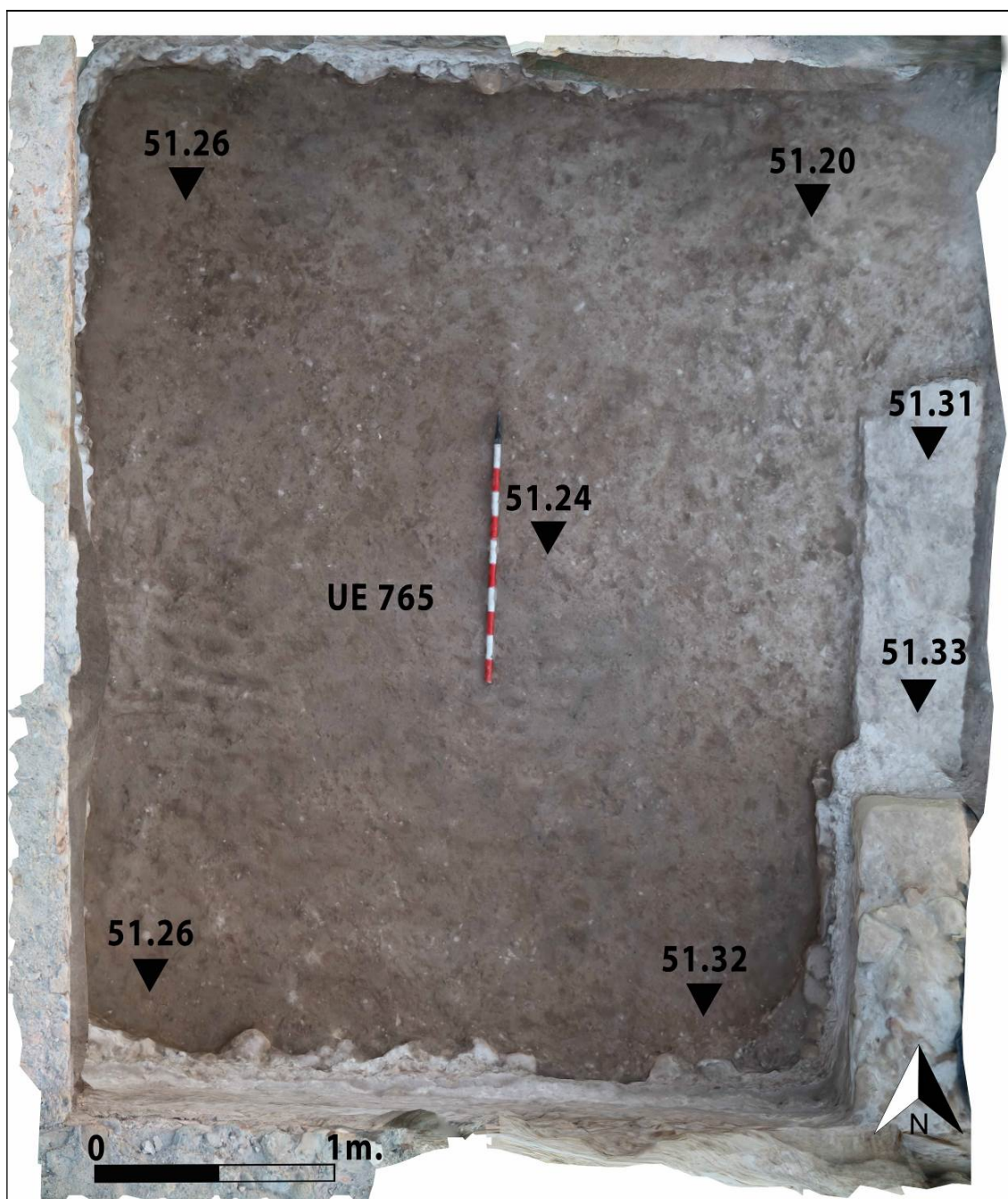
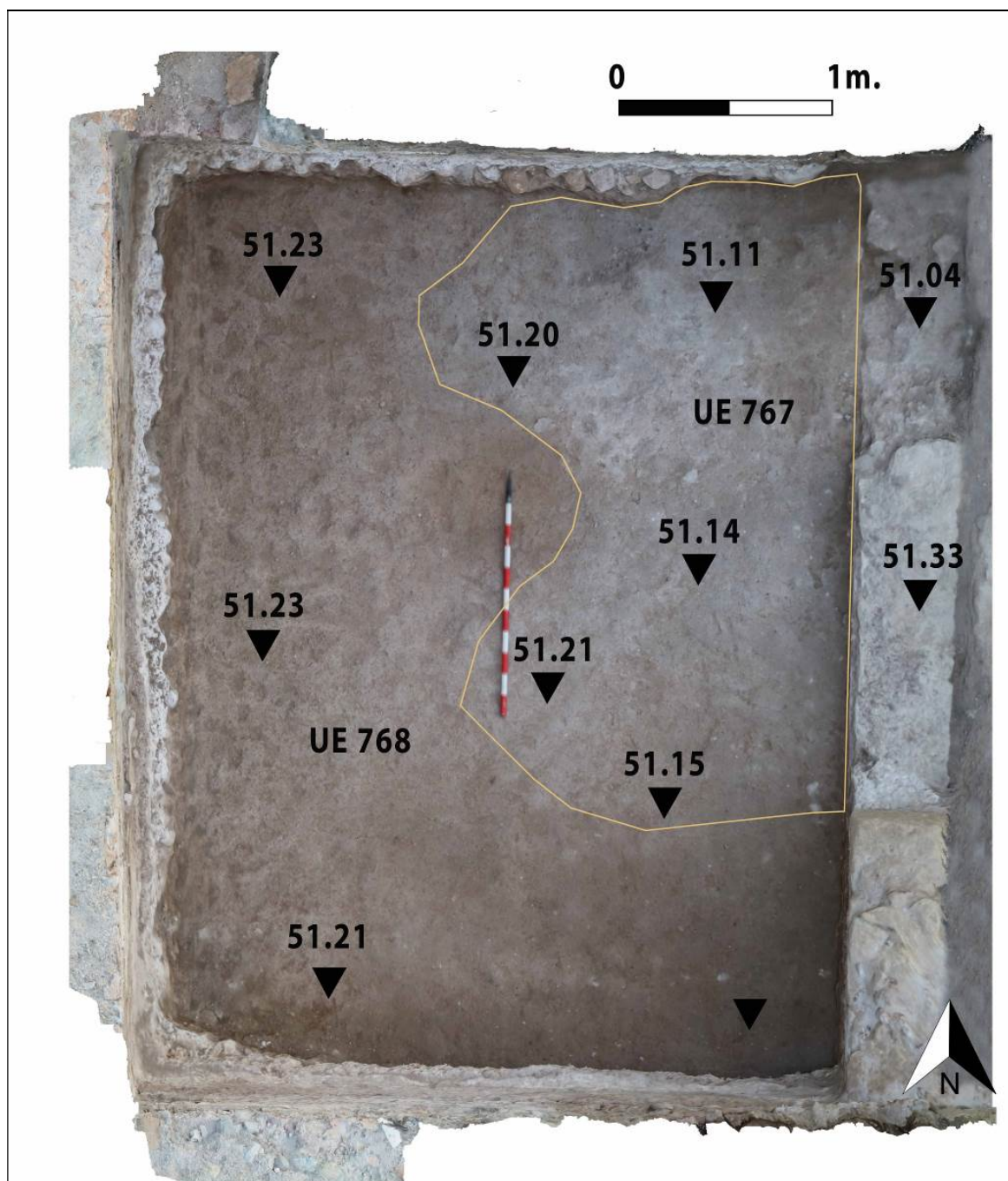


Fig. 51. Planta de estrato de la UE 765, donde podemos ver la aparición del muro UE 732, realizada mediante ortoimagen a partir de fotogrametría digital.

Podemos, por tanto, deducir que la modificación del paramento **UE 3009** en su mitad norte, se realiza en el momento que se construye el pavimento **UE 304** y que unía los espacios de los Amb. 4 y 5. Así, podríamos considerar que la **UE 765** sería equivalente a la **UE 315** en el Amb. 5, sirviendo de base para el *rudus* **UE 764** (**UE 305** en el Amb. 5). Además, y en relación con los revestimientos de los paramentos,

podríamos concluir que el **GU 3093**, tal como ya habíamos adelantado, convive con la pavimentación, **UE 304**, del Amb. 4-5, y su preparación amortizaría el muro **UE 3009** parcialmente y los muros **UE 3080** y **3081**.

Directamente bajo la **UE 765** localizamos un nuevo nivel cuya superficie también ofrecía un aspecto muy regular y con tendencia a la horizontalidad. El aspecto de su superficie era blanquecino, probablemente por la presencia de cal, de modo que optamos por individualizar la superficie de este nuevo estrato, interfaz **UE 767** (Fig. 4), del paquete de tierra que lo componía, **UE 768** (Fig. 52). Cabe señalar que precisamente la interfaz **UE 767** coincide con la cota inferior del enlucido conservado en la cara oeste del muro **UE 3009**. Esto mismo pudimos verificarlo en el resto de muros que componen el Amb. 4, por lo que hemos interpretado esta interfaz como la base o preparación para recibir el pavimento que muy probablemente ocupaba el espacio de este ambiente previo a su unión con el Amb. 5, al este.



*Fig.52. Planta de estrato donde se puede apreciar la interfaz **UE 767** y la **UE 768**, a partir de una ortoimagen generada mediante fotogrametría digital*

De esta manera, hemos podido verificar que la capa de enlucido **UE 3013**, en el **GU 3085** (al norte), **UE 3014**, en el **GU 3086** (al oeste) y **UE 3017**, en el **GU 3088** (al sur), que además presentaba la peculiaridad de estar picada para recibir otra capa de enlucido, aparecen en sus paramentos correspondientes a una cota inferior del que nos marcaba tanto el pavimento **UE 304**, como sus preparaciones (**UE 764** y **UE 765**).

De hecho, los enlucidos comentados tienen una cota inferior coincidente con la cota superior de la interfaz **UE 767**, observando que la franja de enlucido que queda bajo el pavimento **UE 304** y su preparación no aparece picada, algo lógico por otra parte puesto que no sería visible en la fase de repavimentación del Amb. 4 (Fig. 53).

En cuanto al muro **UE 3009 (GU 3092)**, al este del ambiente, que hasta el momento no presentaba enlucido por encima del pavimento **UE 304**, pudimos observar que, sí presentaba revestimiento por debajo de esta pavimentación, coincidiendo su cota inferior con la interfaz antes comentada, **UE 768**. Este enlucido, **UE 782**, presenta una morfología similar a los enlucidos antes comentados (**UE 3013**, **UE 3014**, **UE 3017**) en su zona no picada, revistiendo la cara oeste del muro **UE 3009**.



*Fig. 53. Vista de la esquina sureste del Amb. 4, donde podemos ver la cota inferior de los enlucidos **UE 787** (al este) y **UE 3017** por debajo del nivel de pavimentación **UE 304**, coincidiendo con la interfaz **UE 767**.*

Podríamos concluir, por tanto, que el paramento **UE 3009** era el tabique que dividiría el Amb. 4 del 5 previo a la unificación de los dos espacios, y presentaría, el Amb. 4, un revestimiento parietal unitario compuesto por los enlucidos **UE 787**, **UE 3013**, **UE**

3014, UE 3088 y UE 3017. Además, podríamos afirmar que el nivel de pavimentación correspondiente a ese momento de uso tendría como preparación la interfaz UE 768. Posteriormente, se procedería a la unión de ambos espacios, para lo cual el muro UE 3009 sería acortado hasta obtener la longitud actualmente conservada, anulando su mitad septentrional con la repavimentación **UE 304**, y proporcionando un revestimiento uniforme, ahora sí al espacio formado por la unión de los Amb. 4 y 5. Este nuevo revestimiento anularía el descrito para el Amb. 4, estableciendo así, por tanto, una convivencia del pavimento **UE 304** con los enlucidos **UE 3016** al norte, **UE 3023** al oeste y **UE 3033** al norte. Tal como hemos mencionado, en el momento de nuestra intervención no hemos podido corroborar la existencia de un enlucido perteneciente a esta fase de uso en el paramento **UE 3009**, aunque no sería descartable.

Llegados a este punto de la excavación, y por motivos logísticos tomamos la decisión de dividir el corte en dos partes, prosiguiendo los trabajos en la mitad oriental, por lo que en la mitad occidental quedó la superficie de la **UE 767** como testigo.



*Fig. 54. Vista parcial de **UE 770** y **UE 771**, fosa y relleno, correspondiente a la fosa de cimentación del muro **UE 732** (muro de cierre oriental del Amb. 4)*

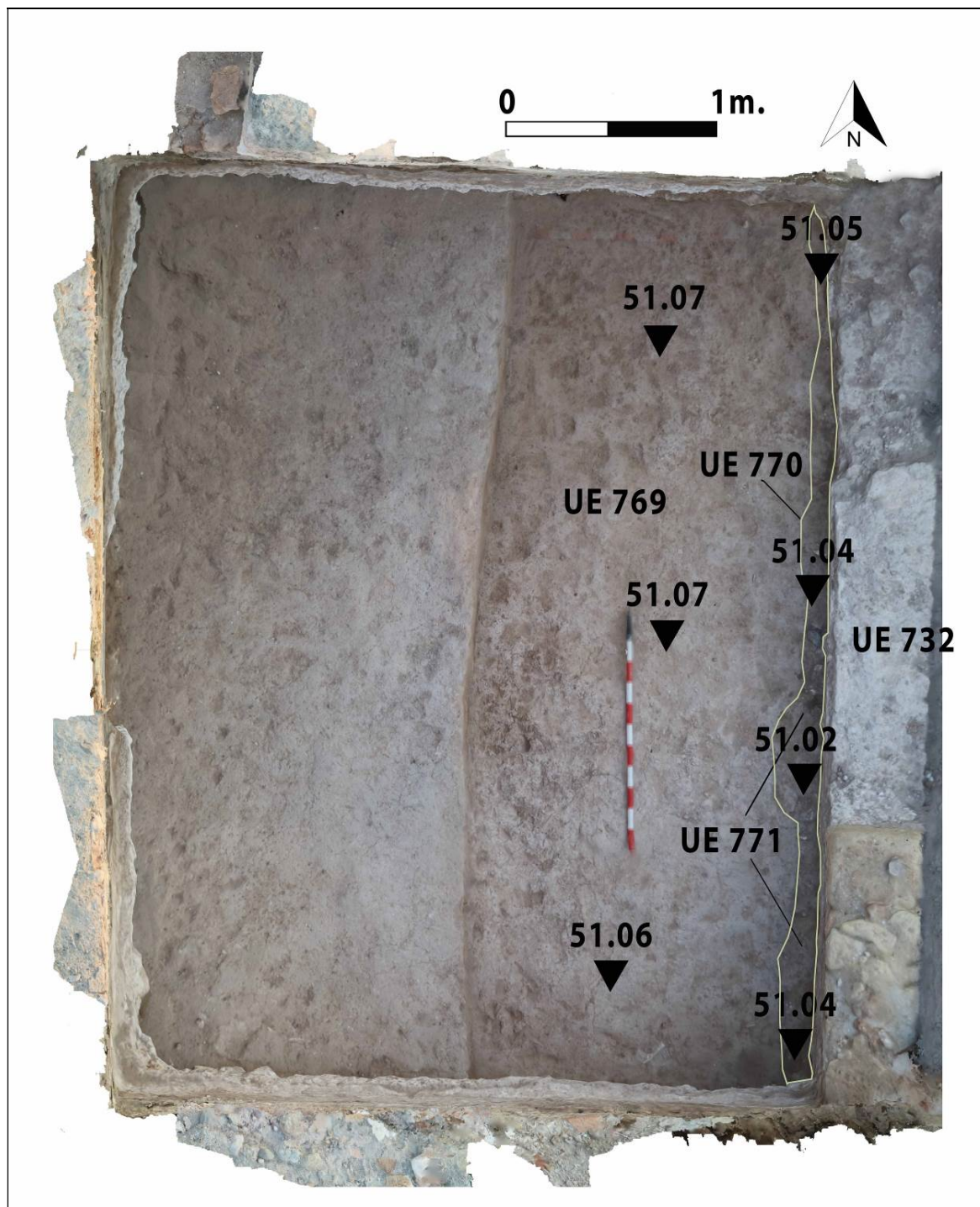
De forma inicial practicamos un sondeo en la esquina sureste del Amb. 4 (Fig. 54), excavando así en este punto la **UE 767** (interfaz **UE 768**) observando la aparición de un nuevo estrato, **UE 769**, compuesto por tierra marrón claro, tendente al naranja, de aspecto arcilloso y de una consistencia realmente compacta y apelmazada. No se apreció durante su excavación la presencia de piedras o algún otro elemento que nos indicase vertido o acumulación, aunque la presencia de cerámica residual, fauna y malacofauna nos indica que estamos ante un estrato de formación antrópica. Tras su limpieza superficial pudimos apreciar la existencia de una pequeña fosa, paralela al muro **UE 732**, de una anchura que oscilaba entre los 5 y los 10 cm., que recortaba a la nueva **UE 769** (Fig. 7). Denominamos a dicha fosa **UE 770** y a su relleno **UE 771**, compuesto por tierra marrón grisáceo, no muy compacto, pero con abundantes cantos rodados de pequeño tamaño y restos de mortero. A la vista del hallazgo decidimos excavar toda la extensión del nuevo corte, para así poder comprobar la existencia de esta fosa a lo largo de todo el muro y en el resto de muros.



*Fig.55. Sondeo realizado en la esquina sureste del Amb. 4 para verificar la existencia de una estratigrafía arqueológica bajo la **UE 767-768**.*

En efecto, pudimos verificar la existencia de esta fosa a lo largo de todo del muro **UE 732**, aunque adquiriría una extraña forma, puesto que conforme la fosa se dirigía hacia el norte acababa confluyendo con la propia cara occidental del muro. Desde ahí, pudimos observar como con el resto de muros que conforman el Amb. 4, la fosa de cimentación es contra tierra, es decir, no se apreciaba un relleno como tal. De este modo, en los muros norte, oeste y sur, la fosa está recortada en la **UE 769**, observándose que, en lugar de tener un relleno de tierra, como sucede en el muro

oriental, se aprecia la colada de cimentación compuesta por cantos rodados y mortero.



*Fig. 56. Planta de estrato con indicación de la fosa de cimentación **UE 770**, su relleno, **UE 771** y la **UE 769**, que esta recortada por la fosa de cimentación del muro **UE 732**; planta de estrato realizada sobre ortoimagen generada a partir de fotogrametría digital.*



*Fig. 57. Vista desde el oeste donde se puede observar la cota superior de la fosa **UE 770**, correspondiente a la fosa de cimentación del muro oriental del Amb. 4 (**UE 732**)*

Pasamos, por tanto, a enumerar la relación de fosas y sus paramentos en el Amb. 4:

- Inmediatamente al oeste del **GU 3092** apreciamos la existencia de una fosa, **UE 770** (Fig. 56 y 57) y, recortando a la **UE 769**, paralela al paramento, de una anchura que oscila entre los 5 y 10 cm., rellena por un estrato, **UE 771**, de tierra marrón menos compacta que la **UE 769**, abundantes cantos rodados de pequeño tamaño y mortero, en parte desprendido de la cimentación o colada usada para la construcción del muro;
- Al sur del **GU 3085** apreciamos la existencia de una fosa, **UE 774**, recortando a la **UE 769**, conforme fuimos excavando esta unidad pudimos dejar a la vista colada de cantos rodados y mortero, **UE 773**;
- Al este del **GU 3086** apreciamos la existencia de una fosa, **UE 807**, recortando a la **UE 769**, del mismo modo que la anterior, también pudimos apreciar la colada de cimentación, **UE 806**, una vez rebajada en este punto la **UE 769**;
- Al igual que con las anteriores fosas, inmediatamente al norte del **GU 3088** apreciamos la existencia de una fosa, **UE 785**, recortando también a la **UE 769**, paralela al paramento, y al igual que las anteriores, conforme excavamos la **UE 769** pudimos observar la colada de cantos rodados y cal a modo de cimentación.

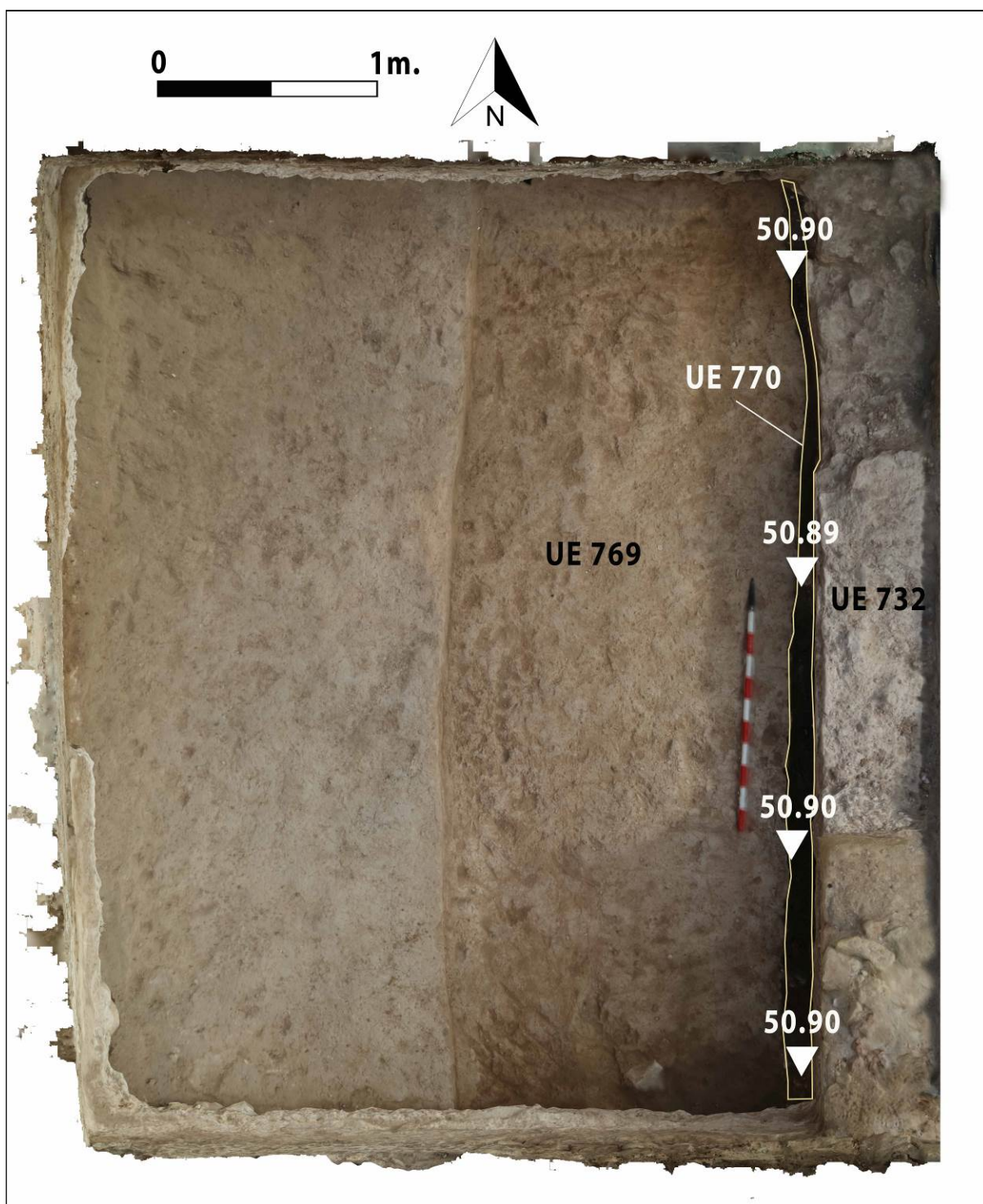


Fig. 58. Planta de estrato de la fosa **UE 770** una vez excavada, a partir de ortoimagen producida mediante fotogrametría digital.

Salvo en el relleno de la fosa **UE 774** no se localizaron restos de cerámicos que nos proporcionen una información cronológica adicional a la indicada por las relaciones estratigráficas descritas y analizadas previamente (Fig. 58).

Por tanto, prosiguiendo la intervención de la mitad oriental del Amb. 4, tras la excavación de las fosas de cimentación, iniciamos el análisis del nivel recortado, **UE 769**. Tal como ya hemos descrito, estamos ante un estrato de tierra marrón claro, muy compacta, que se extendía de forma uniforme por todo el ambiente, y que tras su retirada nos dejó a la vista una nueva situación estratigráfica, aunque esta vez sin la uniformidad que había mostrado hasta ahora el registro estratigráfico.

La mitad occidental del corte ahora aparecía cubierto por la **UE 804** (Fig. 59), un estrato de tierra marrón anaranjado, enormemente compacto, arcilloso, y sin observarse en su interior fragmentos de piedras o cualquier otro elemento que indicase una acción antrópica. En cambio, en la mitad oriental aparecía otro estrato, **UE 780**, compuesto por tierra de color amarillento, abundantes gravas, recordando a deposiciones de naturaliza aluvial, y apareciendo dispuesta de forma paralela al **GU 3089**.

Se observaba con claridad que este último estrato cubría parcialmente a la **UE 804**, dando incluso la sensación que esta última unidad estratigráfica había sido modificada para quedar nivelada mediante la adición de la **UE 780**. Por este motivo, la zona de contacto entre ambas unidades se calificó como interfaz **UE 815**. Sobre la naturaleza antrópica de esta descripción podría haber alguna duda por lo que proponemos dos interpretaciones:

- una acción antrópica que consistiría en la modificación del estrato **UE 804** para la regularización del espacio existente previo a la construcción del Amb. 4, puesto que las cotas superiores de ambas unidades estratigráficas son coincidentes;
- proceso natural de colapso mediante la acumulación de aluviones o correntías sobre un estrato o nivel preexistente (**UE 804**).

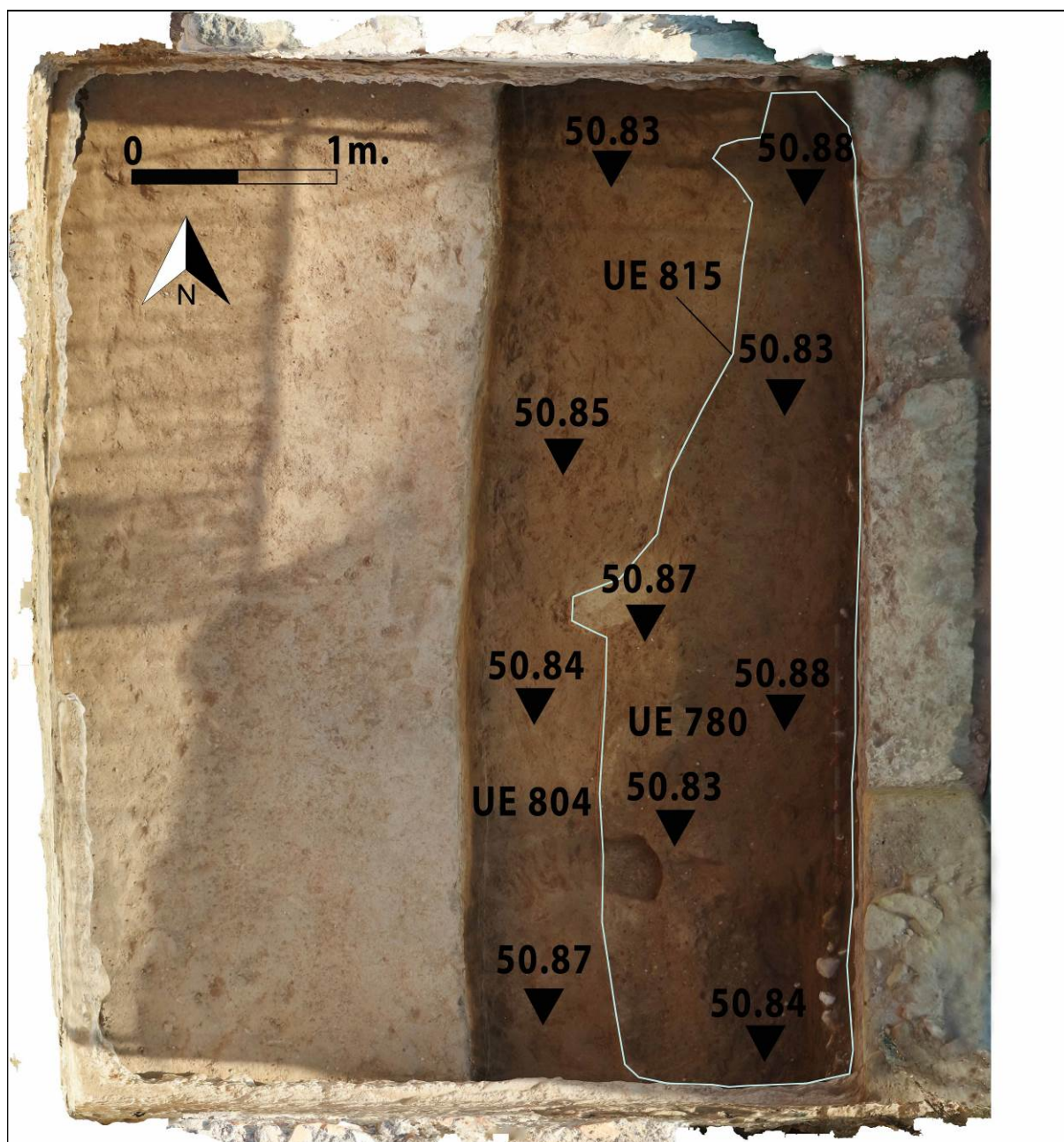


Fig. 59. Planta de estrato donde se puede ver la **UE 780**, **UE 815** y **UE 804**; planta de estrato generada mediante ortoimagen a partir de fotogrametría digital.

En ambas hipótesis podemos afirmar que la **UE 804** corresponde con el nivel geológico existente en la zona previo a la construcción del recinto termal, y con casi toda probabilidad la propia **UE 780** también podría ser parte de la propia formación geológica. De este modo, la **UE 769** correspondería a la primera nivelación de o regularización de carácter antrópico realizado para la construcción del Amb. 4, o en su defecto contemporáneo a los primeros niveles de uso previos a la construcción de las termas. Creemos que muy probablemente se trate de la segunda idea apuntada,

puesto que este estrato fue recortado para elaborar las fosas de cimentación que sirvieron para la construcción del Amb. 4, no viéndose afectadas por estas fosas en ningún momento los niveles geológicos previos.

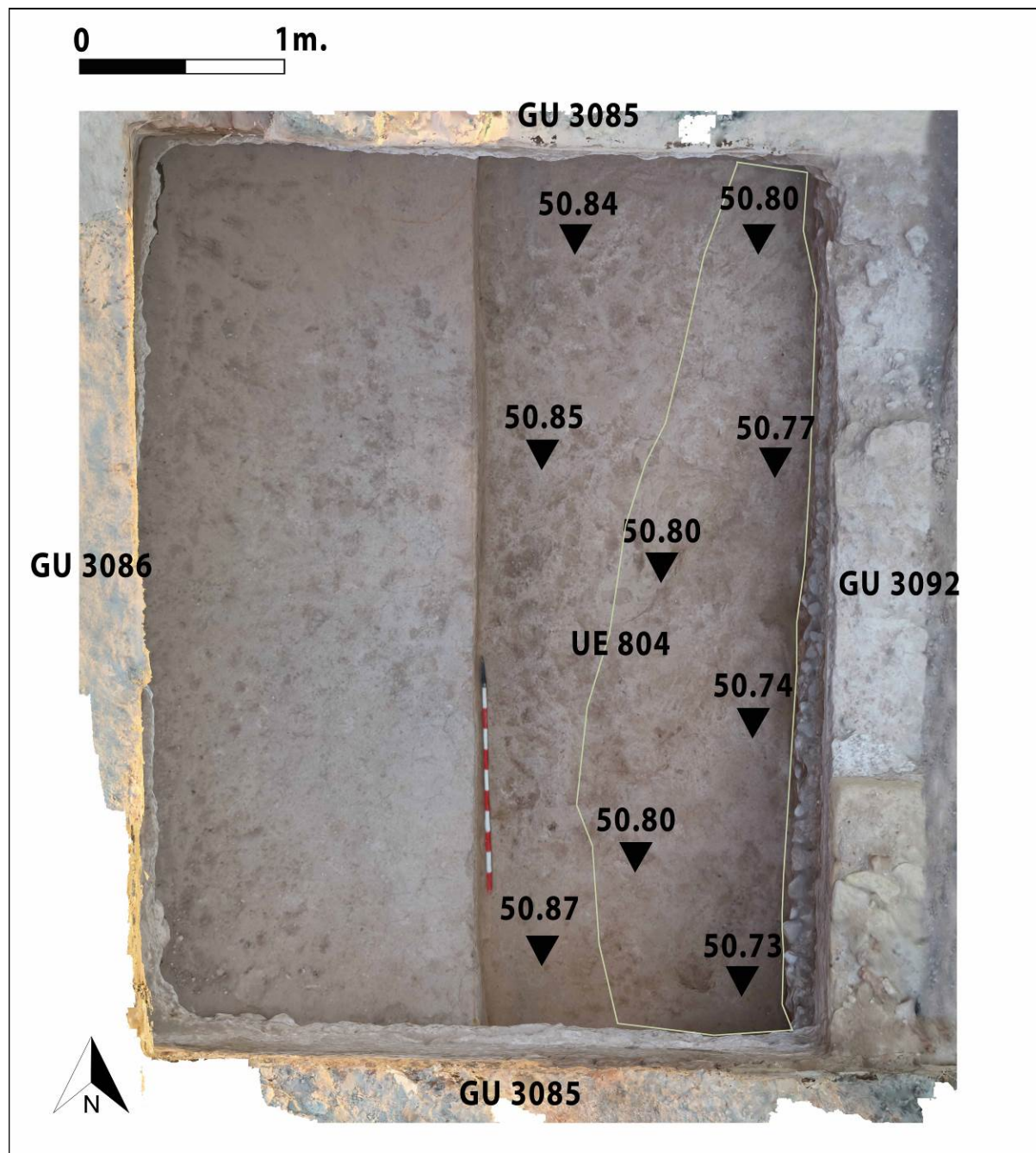


Fig. 60. Planta de estrato con la cota superior de la **UE 804**, indicando la interfaz **UE 815**, sobre ortoimagen producida a partir de fotogrametría digital.

Para finalizar, quisimos asegurarnos de estar ante un nivel geológico con la **UE 804** (Fig. 60), por lo que decidimos realizar un pequeño sondeo en la esquina noreste,

excavando así el estrato comentado. Pudimos, por tanto, corroborar que, en efecto, la **UE 804** se corresponde con el nivel geológico de la zona, sobre la que se cimienta toda la estructura estudiada. Tal como ya hemos descrito anteriormente, es un estrato de tierra anaranjada, que presenta cierto grado de humedad, lo que le proporciona una textura plástica o arcillosa.

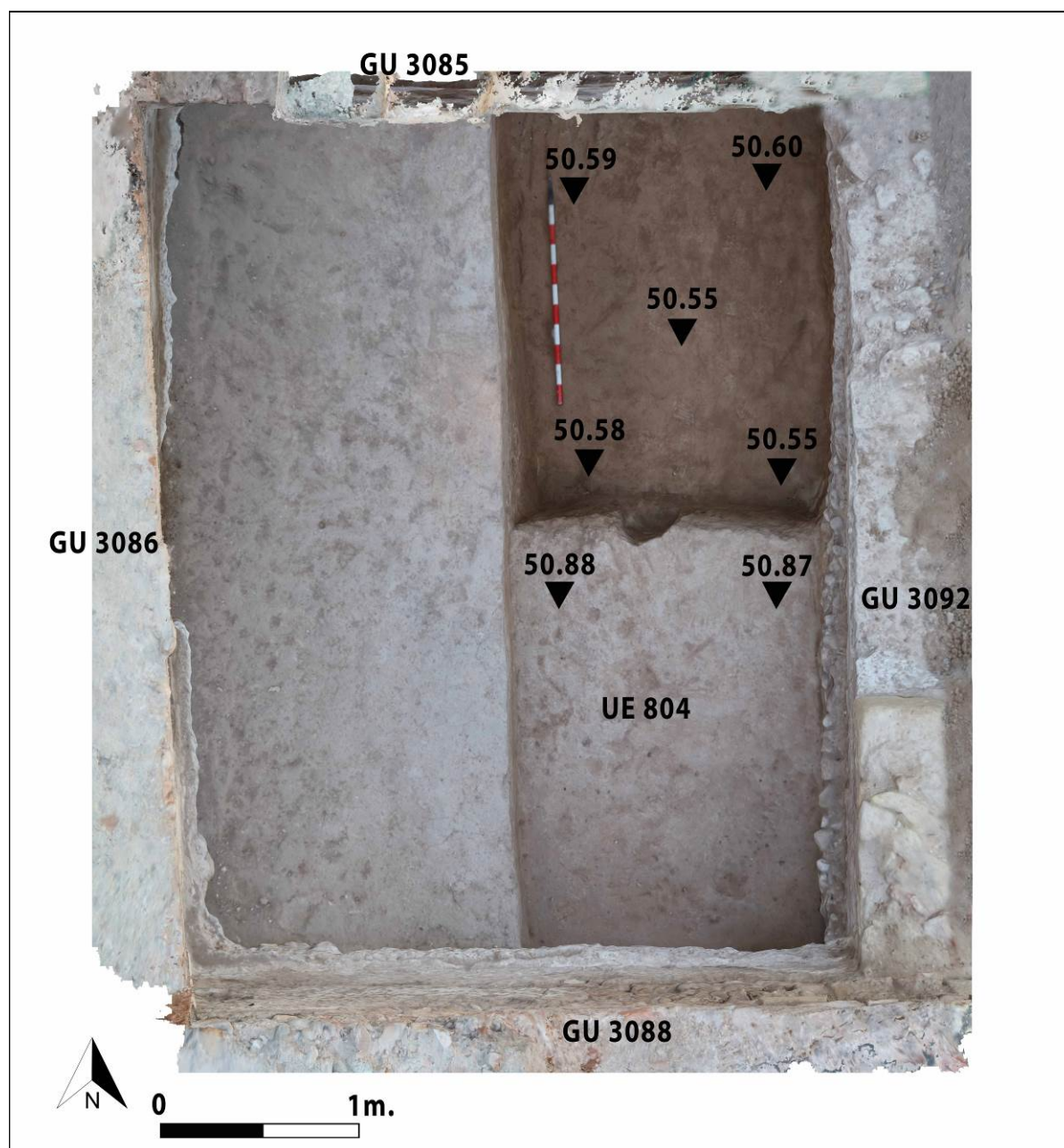


Fig. 61. Planta de estrato del estado final de la excavación, con sondeo final en **UE 804**, realizado sobre ortoimagen producida a partir de fotogrametría digital.

En resumen, estableceremos a continuación una relación o secuencia de fases que irá desde una Fase 1, más antigua hasta una Fase 4 (**Figuras 14, 15 y 16; Diagrama estratigráfico**), correspondiente con los últimos niveles de uso documentados:

- Fase 1: **UE 804**, interfaz **UE 815** y **UE 780**; estos estratos conforman el sustrato geológico previo a la actividad antrópica en la zona.
- Fase 2: **UE 769**, correspondiente a la regularización o aplanado de la zona sobre el nivel geológico previo a la construcción de los paramentos que conforman el Amb. 4.
- Fase 3: construcción del Amb. 4 donde hemos englobado:
 - Fosas **UUEE 770, 774, 807 y 785**
 - Rellenos de las fosas (**UUEE 771, 773, 806 y 786**) y construcción de los paramentos que delimitan el Amb. 4, muros **UE 3001**, al norte, **UE 3002**, al oeste, **UE 3005**, al sur y **UE 3009** al este.
 - Revestimientos **UE 3013**, en el muro norte, **UE 3014** en el muro oeste, **UE 3017** en el muro sur y **UE 787** en el muro este.
 - aunque no hemos conservado pavimento como tal correspondiente a esta fase, sí que hemos identificado una posible preparación, **UE 767-768**.
- Fase 4: unificación de los Amb. 4 y 5, para lo cual se realizan varias acciones:
 - la anulación de la mitad septentrional del muro **UE 3009**;
 - construcción de un nuevo nivel de pavimentación compuesto por **UE 765, UE 764 y UE 304**;
 - nuevos revestimientos sobre los paramentos, con el consecuente picado de los enlucidos documentados en la fase 3.

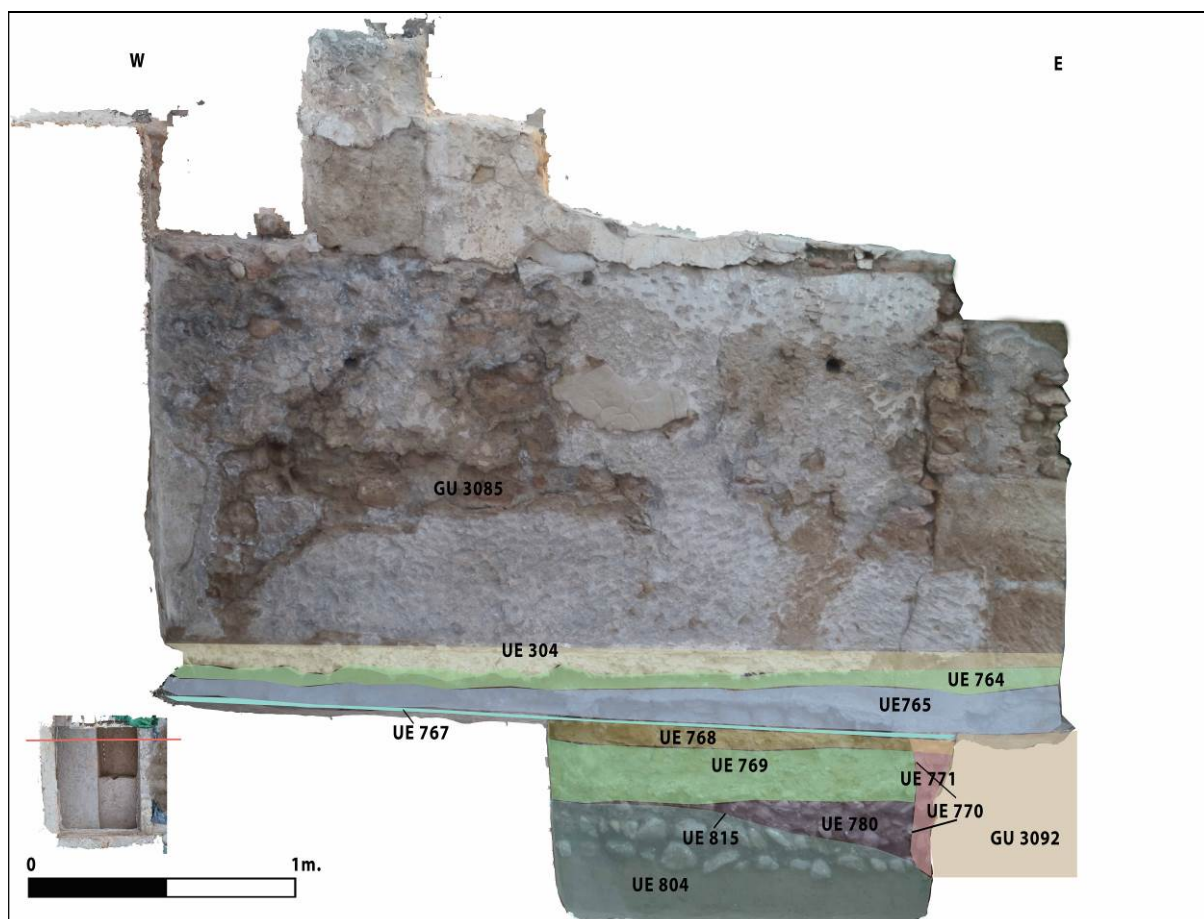


Fig. 62. Sección E-W del Amb. 4 realizada a partir de una ortoimagen - fotogrametría digital.

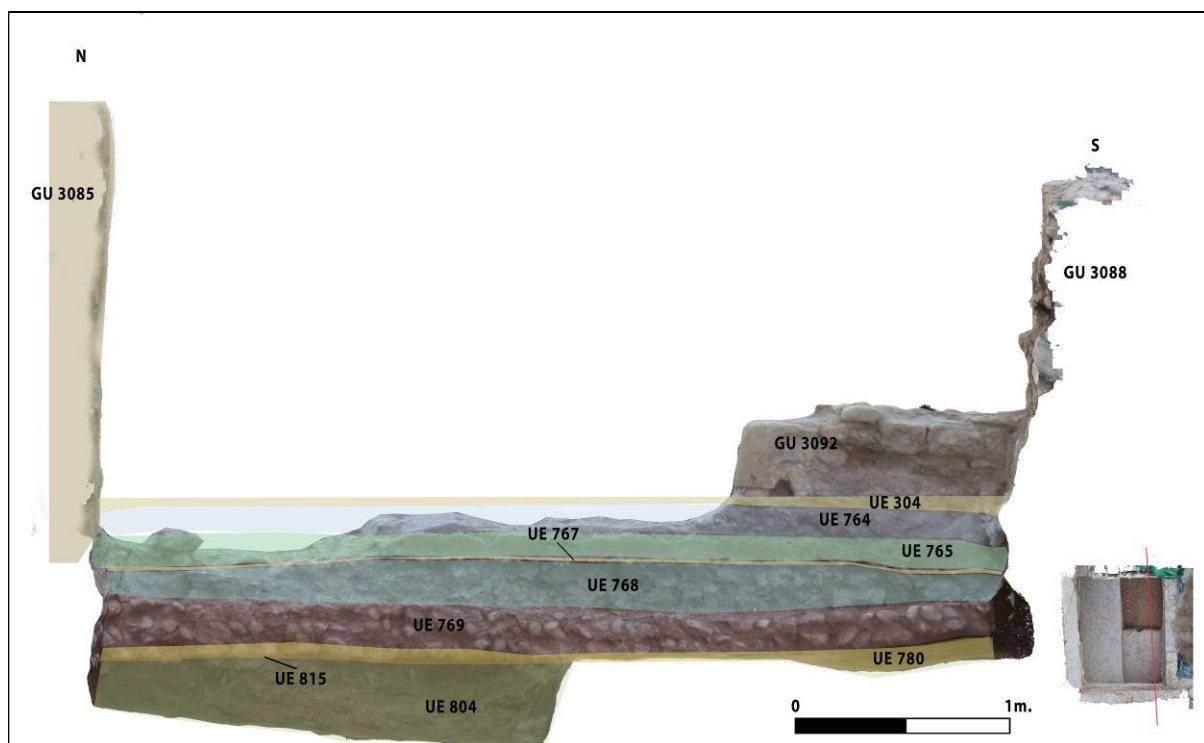


Fig. 63. Sección Norte-Sur del Amb. 4, realizada sobre ortoimagen -fotogrametría digital



Fig. 64. Conjunto de alzados de los paramentos del Amb. 4 una vez finalizada la excavación.

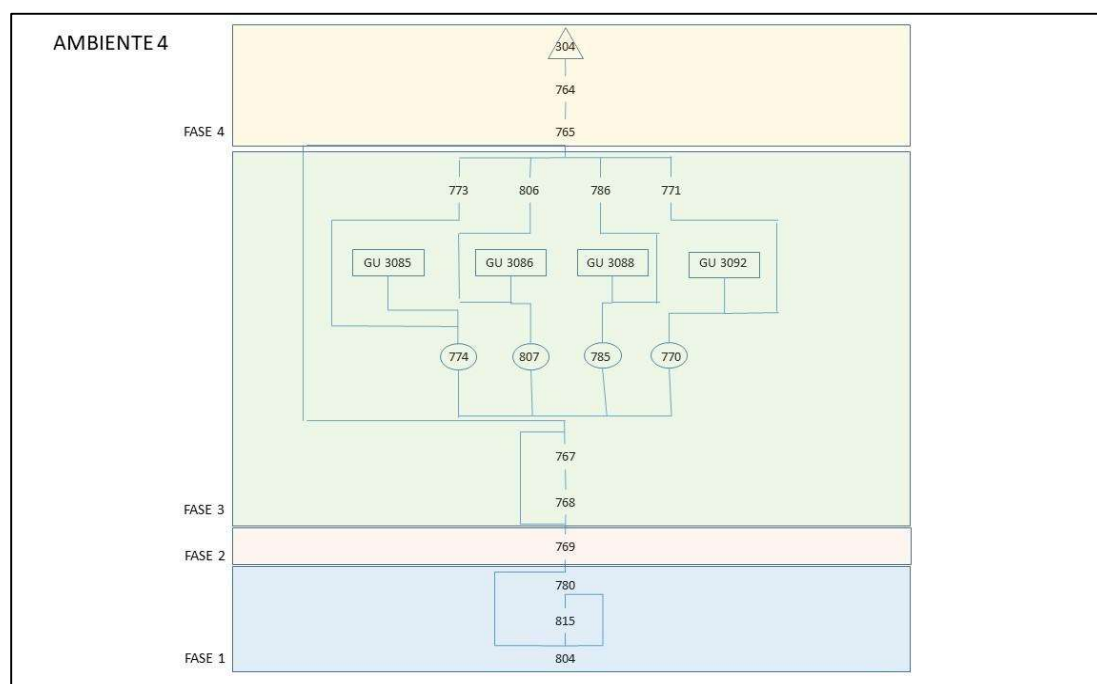


Fig. 65. Diagrama estratigráfico del Ambiente 4 bajo el pavimento UE 304

7. Consolidación de estructuras

Dentro del desarrollo de un mapa de patologías dentro del sector 7F, por el momento nuestro documento de referencia es el Plan Director realizado en 2017 para el yacimiento, por lo que procederemos a abordar los problemas de conservación que allí se apuntan.

Así, según los autores del trabajo, apuntan como daños presentes dentro del conjunto termal tres grupos a destacar:

- Estructurales: a causa de movimientos, por desprendimientos, fracturas, grietas, perdidas de masa y perdida de mortero.
- Físico-Químicos: presencia de eflorescencias, arenización, alveolización y burilado o desgaste.
- Biológicos: presencia de líquenes, hongos, biopátina y plantas fanerógamas.

De hecho, para la confección del trabajo al que nos referimos se recogieron cuatro muestras, dos relacionadas con elementos pétreos presentes en el Sector 7F (muestras 19 y 21), una muestra del revestimiento de la natatio (muestra 20) y una muestra del revestimiento del apodyterium (Ambiente 5) (muestra 22).

Puesto que nuestra intervención de consolidación y fijamiento se iba a centrar casi exclusivamente en el Ambiente 4 los resultados de las analíticas realizadas a la muestra 22 era realmente interesante, puesto que tanto el Ambiente 4 como el Ambiente comparten en su última fase un mismo espacio útil. Lamentablemente dichos resultados no vienen especificados dentro del catálogo de muestras del Plan Director.

En cualquier caso, atendiendo al capítulo del Plan Director de Planificación de las líneas estratégicas, al cuadro dedicado a Acciones del área de Restauración 2017/2029 que fija como uno de los objetivos la Conservación de bienes muebles e inmuebles del yacimiento. De forma preventiva en campañas anteriores se han

realizado intervenciones puntuales para proteger elementos altamente sensibles, como es el mosaico del Ambiente 1 o el hipocausto aparecido en la excavación del Ambiente 28.

Del mismo modo, ya en la Campaña 2019 se realizaron labores de consolidación y fijación de revestimientos en el Ambiente 5, trabajos que nos han servido en la actual campaña como referencia a la hora de proceder en los del Ambiente 4.

Además de la protección preventiva de las estructuras excavadas durante las campañas en las que nuestro equipo ha intervenido también hemos fijado como objeto tratar de consolidar in situ aquellos elementos que se sacaron a luz en las campañas donde no intervenimos. De este modo, uno de los puntos más sensibles dentro del Sector 7F fueron conjunto de revestimientos presentes en los paramentos de los Ambientes 4 y 5. Dichos ambientes fueron excavados durante las campañas de 1999 a 2002, dejando sin protección los revestimientos aparecidos, por lo que la degradación de los restos conservados ha sido muy acusada.

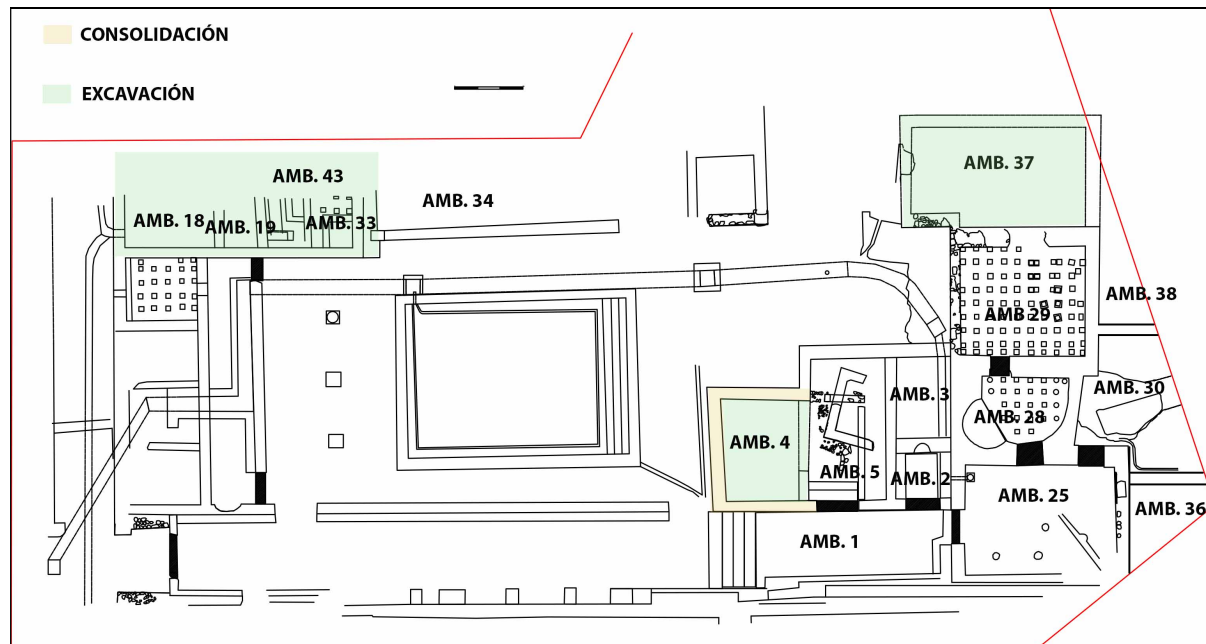


Fig. 66. Indicación de las zonas intervenidas para la consolidación de revestimientos durante la Campaña 2020

Ambiente 4

a. Ubicación.

En la Campaña 2020 nos hemos centrado en la consolidación de los revestimientos parietales presentes en los paramentos del Ambiente 4, concretamente en **GU 3085**, muro norte (enlucidos **UE 3013** y **UE 3016**) **GU 3086**, muro este (enlucidos **UE 3014** y **UE 3023**) y **GU3088**, muro sur (enlucidos **UE 3017** y **UE 3033**).

En primer lugar, se procedió a una identificación de patologías y alteraciones producidas por distintos factores, tanto externos (falta de protección, condiciones meteorológicas, etc.), como internos (capilaridad, eflorescencia de sales, etc.).

Las patologías detectadas en los distintos revestimientos presentes en el Ambiente 4 son muy variadas y vienen a recoger todos los problemas señalados en el Plan Director antes mencionado.

Así, los daños estructurales más visibles venían derivados de la presencia de distintas fisuras y grietas que habían provocado desprendimientos del revestimiento, lo que hacía irrecuperable en algunas zonas los enlucidos originales.

Las grietas habían actuado de dos modos:

- por un lado, la separación del revestimiento respecto al paramento, encontrando así algunos de estos enlucidos con un nivel de desplome muy acusado en el caso de no haber desprendido totalmente de su soporte.
- la superposición de distintos revestimientos, reflejo de las fases de reestructuración del espacio termal, han sufrido también un desprendimiento acusado, debido a que la aparición de fisuras en las capas exteriores ha acabado arrastrando a las internas.

También hemos podido observar la presencia de agentes físico-químicos como las eflorescencias de sales, que por capilaridad han acabado afectando a la superficie de los enlucidos, separando en algunos casos las distintas capas superpuestas. Del mismo modo, también hemos detectado la arenización de algunos enlucidos,

desprendiéndose los fragmentos más expuestos a los efectos de lluvias y erosión eólica.

Finalmente, también hemos podido detecta efectos biológicos sobre los enlucidos más expuestos a los cambios de iluminación y condiciones de humedad, con la presencia de biopátina y líquenes.

En la presente campaña, además, se ha procedido a la reintegración puntual de algunos mampuestos perdidos en el paramento **GU 3088**. El estado de conservación de este paramento había llegado a un momento crítico de su estabilidad, pudiendo producirse un desplome del mismo de forma inminente. De este modo, de forma paralela a la consolidación de los revestimientos, también se ha procedido a la consolidación estructural del paramento.



Fig. 67. Vista general del Ambiente 4 desde el este, viéndose en primer término el paramento **GU 3086**



Fig. 68. Vista frontal del paramento **GU 3088** desde el norte del Ambiente 4; puede observarse en la parte izquierda del muro como la pérdida de trabazón entre mampuestos ha puesto en serio peligro la estabilidad del muro.



Fig. 69. Vista de los paramentos **GU 3086** y **GU 3085** desde el acceso al Ambiente 4



Fig. 70. Vista en detalle de añadido moderno sobre los revestimientos conservados en el paramento; esta intervención estaba provocando el desprendimiento de los revestimientos antiguos.



Fig. 71. Vista en detalle de mortero moderno añadido sobre los revestimientos aparecidos en el paramento durante su excavación.



Fig. 72. Eflorescencias de sales sobre los mampuestos y enlucidos.



Fig. 73. Agrietado y aparición de líquenes sobre los revestimientos.



Fig. 74. Separación de los revestimientos en el paramento debido al filtrado de agua de lluvia o por los cambios bruscos de temperatura.

b. Limpieza superficial en seco, mediante brochas, cepillos, etc.

En primer lugar, se procedió a una limpieza en seco de los revestimientos para así comprobar de una forma clara las distintas patologías advertidas durante el primer examen. Esta limpieza se realizó con brochas de celda fina y cepillos de cerda semirrígida para tratar de afectar en la menor medida posible la superficie de los revestimientos.

Esta limpieza se ha centrado en varios frentes dentro de los revestimientos comentados:

- en los perímetros de los revestimientos, donde la acumulación de tierra o elementos pétreos aún permanecía adherida desde su excavación;
- en la propia superficie de los revestimientos, presentando diversas problemáticas debido a la morfología de los mismos, detectando hasta tres tipos de superficies:
 - Tipo 1. Superficie lisa de color blanco (**UE 3023**);
 - Tipo 2. Superficie con roturas sistemáticas producidas de un repiqueteado en época antigua para la superposición de otra capa de enlucido (**UE 3013**);
 - Tipo 3. Superficie arenosa o granulosa a modo de enfoscado directamente sobre el paramento de mampuesto.

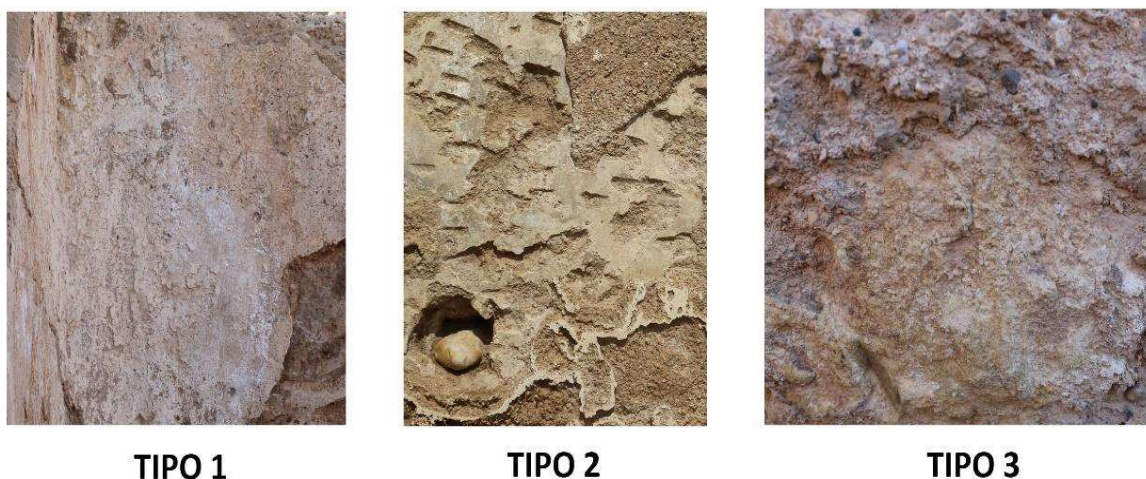


Fig. 75. Tipos de revestimientos presentes en el Ambiente 4-5

La propia morfología de los revestimientos ha requerido distintos modos de proceder con la limpieza, como es el caso del segundo y tercer caso, que presentan una superficie con recovecos. Estos han provocado el uso de cepillos con cerda semirrígida e incluso en algunos casos el uso de espátulas, para así eliminar los elementos terrosos adheridos dentro de los repiqueos antes comentados.



Fig. 76. Retirada del mortero colocado en intervenciones previas a nuestra actuación.



Fig. 77. Detalle del proceso de retirada del mortero moderno adherido sobre los revestimientos antiguos.



Fig. 78. Limpieza de los espacios existentes entre revestimientos, eliminando áridos que provoquen el desprendimiento.



Fig. 79. Limpieza de los revestimientos con cepillos de celda semirrígida para eliminar la presencia de áridos.

c. sellado perimetral

Para frenar el desprendimiento de los revestimientos aun fijos a los paramentos descritos se hacía imprescindible los sellados perimetrales con mortero de base Biocalce® Piedra. Es un mortero natural certificado, eco-compatible, de cal natural pura NHL 3.5, conforme a la norma EN 459-1, para la ejecución y el llagueado altamente transpirable de muros y fábricas, idóneo para el GreenBuilding y la Restauración Histórica. Contiene sólo materias primas de origen estrictamente natural. Con reducidas emisiones de CO₂ y bajísimas emisiones de COVs. Con ventilación natural activa en la dilución de los contaminantes interiores, bacteriostático y fungistático natural. Reciclable como árido después de su vida útil. Biocalce® Piedra es un mortero de clase M5 idóneo para el levantamiento de muros de caravista y para el llagueado de muros de ladrillo o piedras naturales. Interiores, exteriores.

Tal como viene indicado en la descripción facilitada por el fabricante el mortero empleado se revelaba como idóneo teniendo en cuenta el estado y ubicación de los revestimientos tratados.

Este sellado perimetral evitaría la penetración de agentes externos, como agua o tierra de arrastre, que actuaran de patógeno estructural provocando así una aceleración del desprendimiento del revestimiento.



Fig. 80. Sellado perimetral de los revestimientos.



Fig. 81. Detalle de la introducción de mortero de adhesión en los enlucidos que presentaban un inminente desprendimiento del paramento.

Así, se procedió a una adición de mortero en los intersticios visibles entre los límites del revestimiento y el paramento de mampuesto, aplicándolo con espátula de forma directa en los espacios comentados. Este sellado también se añadió a la unión entre las distintas capas de revestimiento para frenar así cualquier tipo de pérdida o desprendimiento, manteniendo así la coherencia en la superposición de los enlucidos

d. Sellado de fisuras y grietas

Una vez frenado el deterioro de los bloques de revestimiento mediante la protección de sus bordes procedimos al sellado de las distintas fisuras y grietas detectadas en el examen previo y tras la limpieza inicial.

El objetivo de este sellado es evitar la penetración de agentes patógenos en las pequeñas fisuras presentes y así evitar que estas acaben generando grandes grietas, evitando en el futuro desprendimiento de los revestimientos. Por otro lado, en el caso de las grietas, su sellado resulta fundamental puesto que así proporcionábamos cohesión a los distintos fragmentos de revestimiento.



Fig. 82. Sellado de fisuras y grietas.

El mortero utilizado de nuevo es Biocalce® Piedra, cuya descripción ya hemos mencionado en el apartado anterior. La adición del mortero se realizó con espátula, aplicando directamente el mortero sobre las grietas y fisuras.

e. Inyectado de mortero

En el caso de las fisuras presentes en algunos revestimientos hemos creído conveniente la instrucción de un mortero de cohesión que permitiese internamente la creación de puentes de unión entre las partes disgregadas. De este modo añadimos un elemento adicional de cohesión a los revestimientos que permite su fijación interna y al paramento se sujeción.

El mortero usado para estos casos es Geocalce de la casa Kerakoll, se trata de un fluido transpirable estructural de cal natural pura de NHL y Geolegante (Clase M15). Estamos ante un mortero mineral fluido aplicable mediante inyecciones de consolidación. El componente es utilizado para realizar conexiones certificadas de refuerzo estructural, mejoramiento sísmico y adaptación. Contiene solo materias primas de origen estrictamente natural y minerales reciclados. Con bajas emisiones de CO₂ y muy bajas emisiones de sustancias orgánicas volátiles. Ventilación natural activo en la dilución de contaminantes interiores, bacteriostáticos y fungistáticos natural.

Tal como viene señalado en las indicaciones del producto señalado este fue inyectado en las distintas fisuras detectadas para así frenar el deterioro de los revestimientos y generar grietas que pudiesen poner en peligro la integridad de los enlucidos ya intervenidos.

Las inyecciones de Geocalce también se ha aplicado en aquellas zonas donde se ha detectado una arenización de la base del enlucido. La afección de la humedad también acaba atacando a la parte interna o de sujeción del enlucido con su soporte, ya sea otro revestimiento o el paramento de mampuesto. La disgregación de esta sujeción tiene como consecuencia el desprendimiento de fragmentos de enlucido puesto que este pierde el nexo de unión con la superficie de adhesión.

Para suplir en aquellas zonas donde se ha perdido esta preparación de agarre se aditivó, también por inyección, Geocalce, creando así una nueva superficie de adhesión a los revestimientos que lo habían perdido.

f. Reintegración de lagunas

Una vez selladas las fisuras y grietas detectadas se procedió a cohesionar los bloques de revestimiento que ya habían perdido elementos o fragmentos. La reintegración de lagunas dentro de los paneles de revestimiento resulta fundamental para frenar drásticamente el avance del deterioro, puesto que resultan “heridas abiertas” que progresivamente se harán más grandes hasta provocar la pérdida total del panel de revestimiento.



Fig. 83. Reintegración de lagunas con mortero.

Mientras que en las zonas perimetrales protegíamos el interior del revestimiento mediante la adición de cordones de sujeción, en las zonas internas la creación de lagunas viene a realizar la misma función, aportando un valor adicional de cohesión. Las líneas de fractura, ya sean perimetrales o internas, abren el camino hacia la creación de nuevas fisuras y futuras grietas, por lo que el modo preventivo más aconsejable resulta la creación de lagunas.

Estas lagunas, por supuesto, cumplen con los criterios básicos de diferenciación visual respecto al original y reversibilidad. Al igual que realizamos con los sellados, en este caso también utilizamos mortero Biocalce® Piedra.

Tras la creación de estas lagunas se procedió a la aplicación de un enfoscado que evite la degradación de las zonas reintegradas, suponiendo así un problema adicional a los revestimientos originales. En el caso de estos enfoscados, el material usado es Biocalce® Enfoscado, un enfoscado natural certificado, eco-compatible, de cal natural pura NHL 3.5 conforme a la norma EN 459-1, para el enfoscado altamente transpirable, idóneo para el GreenBuilding y en la Restauración Histórica. Contiene sólo materias primas de origen estrictamente natural. Con reducidas emisiones de CO₂ y bajísimas emisiones de COVs. Con ventilación natural activa en la dilución de los contaminantes de interior, bacteriostático y fungistático natural. Reciclable como árido después de su vida útil. Biocalce® Enfoscado es idóneo para el enfoscado transpirable y protector de muros portantes y de cerramiento de ladrillo, tufo volcánico, piedra y paredes mixtas interiores y exteriores.

La aplicación de este mortero se realizó mediante espátula sobre la superficie de las lagunas reintegradas una vez que estas habían fraguado y endurecido correctamente.

g. Limpieza final

Una vez finalizados los trabajos de sellado y reintegración, se procedió a la limpieza y retirada de residuos derivados de los trabajos de consolidación. Este proceso de limpieza se llevó a cabo siempre con la aplicación mediante esponja de una solución con base de agua desionizada y alcohol.



Fig. 84. Aplicación de agua desionizada para la limpieza final



Fig. 85. Limpieza final de las superficies consolidadas con esponja.



Fig. 86. Vista de los revestimientos en los muros **GU 3085** y **GU 3086** tras su consolidación



Fig. 87. Vista frontal de **GU 3086** tras la intervención de consolidación en los revestimientos.



Fig. 88. Vista frontal de **GU 3085** tras la intervención de consolidación en los revestimientos

2. Consolidación del paramento **GU 3088**

Para finalizar ya hemos comentado que se procedió a una intervención puntual en el paramento **GU 3088** para evitar su inminente desplome. La pérdida acusada de mortero de unión además de la desaparición de los mampuestos había creado un vacío entre hiladas que ponía en serio peligro la estabilidad de la obra.



Fig. 89. Detalle de la gran grieta producida en el paramento **GU 3088** tras su limpieza, y con la fibra geotextil colocada.

Por este motivo, de forma paralela a la intervención sobre los revestimientos se realizó un sellado de la gran griega, viéndonos obligados a introducir mampuestos que sirviesen de elemento auxiliar en el reposo de las hiladas superiores.

Tal como viene contemplado en la normativa correspondiente a la consolidación de estructuras, de forma previa a la inclusión de elementos exógenos al paramento original, se realizó una limpieza del mismo y se añadió sobre el mismo varias tiras de fibra geotextil, que permitiese una fácil separación de la parte añadida durante la consolidación respecto a la obra antigua.



Fig. 90. Colocación de fibra geotextil previa a la intervención de consolidación.

Posteriormente se procedió a la colocación de varios mampuestos adheridos con mortero con base de Geocalce de la casa Kerakoll, que procura un fluido transpirable estructural de cal natural pura de NHL y Geolegante (Clase M15).



Fig. 91. Colocación de cama de mortero sobre la obra original y sobre geotextil.

Finalmente, como elemento visible en la distinción de la obra original y la producida durante la intervención se introdujeron unos indicadores cerámicos en los que figura el año de intervención y un triángulo que apunta hacia la zona añadida.



Fig. 92. Mampuestos añadidos en la hilada perdida para evitar el desplome del muro.



Fig. 93. Detalle de indicador cerámico añadido a la consolidación con el año de intervención y triángulos apuntando hacia la zona restituida.



Fig. 94. Estado final del paramento **GU 3088** tras la intervención de consolidación estructural

8. Cubrición y protección de los espacios excavados

Una vez finalizada la excavación del Ambiente 4 se procedió a rellenar el espacio donde se intervino, recuperando así el nivel horizontal en consonancia con el existente en el ambiente 5, contiguo al este. Además, se hacía indispensable la nivelación de la zona para facilitar los trabajos posteriores de consolidación de los enlucidos, que describiremos a continuación.



Fig. 95. Vista del Ambiente 4 al finalizar los trabajos de excavación y consolidación.

En el caso de los ambientes ubicados al noroeste, donde se intervino en la presente campaña, se llevó a cabo una cubrición mediante lonas de protección que evitase un degradado de la estratigrafía y los espacios en vistas a proseguir la excavación en posteriores campañas.



Fig. 96. Cubrición de los ambientes excavados en la zona noreste del sector.



Fig. 97. Cubrición de las estructuras excavadas durante la campaña 2020 en la esquina noroeste del sector.

9. Inventario de materiales

NUME	SEC	C	CO-Amb	UE	FOR	MAT	TPM	NF	F111	DESCRIPCION
001	7F	2020	19	739	0	C	ANF	6		
002	7F	2020	19	739	1	C	CM	1		
003	7F	2020	19	739	1	C	CM	1		
004	7F	2020	19	739	1	C	CM	1		
005	7F	2020	19	739	4	C	CM	1		
006	7F	2020	19	739	0	C	CM	25		
007	7F	2020	19	739	1	C	CCR	1		
008	7F	2020	19	739	1	C	CCR	1		
009	7F	2020	19	739	4	C	CCA	1		
010	7F	2020	19	739	0	C	BN	1		
011	7F	2020	19	739	0	C	BN	1		
012	7F	2020	19	739	0	C	UNG	4		
013	7F	2020	19	739	0	C	PT	1		IBERICA
014	7F	2020	19	739	0	C	PT	1		IBERICA
015	7F	2020	19	739	0	C	PT	1		IBERICA
016	7F	2020	19	739	0	C	PT	1		IBERICA
017	7F	2020	19	739	0	C	PT	1		IBERICA
018	7F	2020	19	739	0	C	PT	1		IBERICA
019	7F	2020	19	739	0	C	PT	1		IBERICA
020	7F	2020	19	739	0	C	PT	1		IBERICA
021	7F	2020	19	739	0	C	PT	1		IBERICA
022	7F	2020	19	739	0	C	PT	1		IBERICA
023	7F	2020	19	739	0	C	PT	1		IBERICA
024	7F	2020	19	739	0	C	PT	1		IBERICA
001	7F	2020	31	707	1	C	ANF	1		
002	7F	2020	31	707	1	C	ANF	1		
003	7F	2020	31	707	7	C	ANF	1		
004	7F	2020	31	707	0	C	ANF	6		
005	7F	2020	31	707	1	C	CM	1		
006	7F	2020	31	707	4	C	CM	1		
007	7F	2020	31	707	4	C	CM	1		
008	7F	2020	31	707	0	C	CM	3		
009	7F	2020	31	707	0	C	CCR	2		
010	7F	2020	31	707	1	C	CCA	1		
011	7F	2020	31	707	1	C	TSA	1		
012	7F	2020	31	707	1	C	TSA	1		
013	7F	2020	31	707	4	C	TSA	1		
014	7F	2020	31	707	0	T	TCL	1		
015	7F	2020	31	707	0	T	TIM	3		
016	7F	2020	31	707	0	CO	ES	2		
017	7F	2020	31	707	0	CO	PM	1		

001	7F	2020	4	769	7	C	ANF	1		
002	7F	2020	4	769	0	C	ANF	23		
003	7F	2020	4	769	1	C	CM	1		
004	7F	2020	4	769	1	C	CM	1		
005	7F	2020	4	769	1	C	CM	1		
006	7F	2020	4	769	0	C	CM	42		
007	7F	2020	4	769	1	C	ANF	1		IBERICA
008	7F	2020	4	769	1	C	CM	1		IBERICA
009	7F	2020	4	769	1	C	CM	1		IBERICA
010	7F	2020	4	769	4	C	CM	1		IBERICA
011	7F	2020	4	769	0	C	CM	27		IBERICA
012	7F	2020	4	769	1	C	TS	1		
013	7F	2020	4	769	1	C	TS	1		
014	7F	2020	4	769	0	C	TS	1		
015	7F	2020	4	769	0	C	BNFR	1		
016	7F	2020	4	769	0	C	BNFR	1		
017	7F	2020	4	769	0	C	BNFR	1		
018	7F	2020	4	769	0	C	BNFR	1		
019	7F	2020	4	769	0	C	BNFR	1		
020	7F	2020	4	769	1	C	PT	1		IBERICA
021	7F	2020	4	769	0	C	PT	1		IBERICA
022	7F	2020	4	769	0	C	PT	1		IBERICA
023	7F	2020	4	769	0	C	PT	1		IBERICA
024	7F	2020	4	769	0	C	PT	1		IBERICA
025	7F	2020	4	769	0	C	PT	1		IBERICA
026	7F	2020	4	769	0	C	PT	1		IBERICA
027	7F	2020	4	769	0	C	PT	1		IBERICA
028	7F	2020	4	769	0	C	PT	1		IBERICA
029	7F	2020	4	769	0	C	PT	1		IBERICA
030	7F	2020	4	769	0	C	PT	1		IBERICA
031	7F	2020	4	769	0	C	PT	1		IBERICA
032	7F	2020	4	769	0	C	PT	1		IBERICA
033	7F	2020	4	769	0	C	PT	1		IBERICA
034	7F	2020	4	769	0	C	PT	1		IBERICA
035	7F	2020	4	769	0	C	PT	1		IBERICA
036	7F	2020	4	769	0	C	PT	1		IBERICA
037	7F	2020	4	769	0	C	CCR	7		
038	7F	2020	4	769	0	C	CCI	1		
039	7F	2020	4	769	0	C	LUC	2		
040	7F	2020	4	769	4	C	UNG	1		
041	7F	2020	4	769	4	C	UNG	1		
042	7F	2020	4	769	0	C	UNG	5		
043	7F	2020	4	769	0	F	FA	10		
044	7F	2020	4	769	0	F	FVMA	11		TERRESTRE

045	7F	2020	4	769	0	F	FVMA	1		MARINA
046	7F	2020	4	769	0	MV	CA	1		
001	7F	2020	18	779	1	C	ANF	1		
002	7F	2020	18	779	0	C	ANF	27		
003	7F	2020	18	779	1	C	CM	1		
004	7F	2020	18	779	7	C	CM	1		
005	7F	2020	18	779	4	C	CM	1		
006	7F	2020	18	779	0	C	CM	24		
007	7F	2020	18	779	1	C	CCR	1		
008	7F	2020	18	779	1	C	CCR	1		
009	7F	2020	18	779	1	C	CCR	1		
010	7F	2020	18	779	0	C	CCR	9		
011	7F	2020	18	779	0	C	CM	30		IBERICA
012	7F	2020	18	779	1	C	PT	1		IBERICA
013	7F	2020	18	779	4	C	PT	1		IBERICA
014	7F	2020	18	779	0	C	PT	5		IBERICA
015	7F	2020	18	779	0	C	PT	1		IBERICA
016	7F	2020	18	779	0	C	PT	1		IBERICA
017	7F	2020	18	779	0	C	PT	1		IBERICA
018	7F	2020	18	779	0	C	PT	1		IBERICA
019	7F	2020	18	779	0	C	PT	1		IBERICA
020	7F	2020	18	779	0	C	PT	1		IBERICA
021	7F	2020	18	779	0	C	PT	1		IBERICA
022	7F	2020	18	779	0	C	PT	1		IBERICA
023	7F	2020	18	779	0	C	PT	1		IBERICA
024	7F	2020	18	779	0	C	PT	1		IBERICA
025	7F	2020	18	779	0	C	PT	1		IBERICA
026	7F	2020	18	779	0	C	PT	1		IBERICA
027	7F	2020	18	779	0	C	VI	1		ROMANA
028	7F	2020	18	779	1	C	PF	1		
029	7F	2020	18	779	0	C	PF	1		
030	7F	2020	18	779	1	C	UNG	1		
031	7F	2020	18	779	0	C	UNG	1		
032	7F	2020	18	779	0	C	TS	4		DECORADA
033	7F	2020	18	779	4	C	RP	1		
034	7F	2020	18	779	4	C	CCI	1		
035	7F	2020	18	779	0	T	TIM	2		
036	7F	2020	18	779	0	T	TLA	5		
037	7F	2020	18	779	0	CO	PM	10		ROJO
038	7F	2020	18	779	0	CO	PM	1		VERDE
039	7F	2020	18	779	0	F	FA	29		
040	7F	2020	18	779	0	CO	AR	7		
041	7F	2020	18	779	0	C	ANF	5		
042	7F	2020	18	779	1	C	CM	1		

043	7F	2020	18	779	1	C	CM	1		
044	7F	2020	18	779	7	C	CM	1		
045	7F	2020	18	779	0	C	CM	6		
046	7F	2020	18	779	0	C	PT	1		IBERICA
047	7F	2020	18	779	0	C	PT	1		IBERICA
048	7F	2020	18	779	4	C	LUC	1		
049	7F	2020	18	779	0	C	CCR	7		
050	7F	2020	18	779	0	C	CCI	1		
051	7F	2020	18	779	1	C	CCA	2		
052	7F	2020	18	779	1	C	CCA	1		
053	7F	2020	18	779	0	T	TTE	2		
054	7F	2020	18	779	0	F	FA	4		
055	7F	2020	18	779	0	LHI	CLA	1		
001	7F	2020	18	768	0	C	ANF	8		
002	7F	2020	18	768	1	C	CM	1		
003	7F	2020	18	768	0	C	CM	14		
004	7F	2020	18	768	0	C	TSA	1		
005	7F	2020	18	768	4	C	CCA	1		
006	7F	2020	18	768	4	C	CCA	1		
007	7F	2020	18	768	7	C	PT	1		IBERICA
008	7F	2020	18	768	0	C	PT	1		IBERICA
009	7F	2020	18	768	0	C	UNG	2		
010	7F	2020	18	768	0	C	BN	1		
011	7F	2020	18	768	0	C	BN	1		
012	7F	2020	18	768	1	C	CCR	1		
013	7F	2020	18	768	1	C	CCR	1		
014	7F	2020	18	768	0	C	CCR	3		
015	7F	2020	18	768	0	VD	VI	1		
016	7F	2020	18	768	0	F	FA	1		
017	7F	2020	18	768	0	LHI	CLA	1		
018	7F	2020	18	768	0	C	PF	1		
001	7F	2020	4	780	1	C	CM	1		IBERICA
002	7F	2020	4	780	0	C	CM	7		IBERICA
003	7F	2020	4	780	0	C	PT	1		IBERICA
004	7F	2020	4	780	0	C	PT	1		IBERICA
005	7F	2020	4	780	0	C	PT	1		IBERICA
006	7F	2020	4	780	0	C	PT	1		IBERICA
007	7F	2020	4	780	7	C	CC	1		IBERICA
008	7F	2020	4	780	0	C	CC	2		IBERICA
001	7F	2020	18	784	1	C	ANF	1		
002	7F	2020	18	784	1	C	CM	1		IBERICA
003	7F	2020	18	784	4	C	CM	1		IBERICA
004	7F	2020	18	784	0	C	CM	10		IBERICA
005	7F	2020	18	784	4	C	CCA	1		

006	7F	2020	18	784	1	C	TS	1		
007	7F	2020	18	784	3	T	TFU	1		
008	7F	2020	18	784	0	F	FA	1		
009	7F	2020	18	784	1	LHI	ESC	1		
010	7F	2020	18	784	0	C	ANF	5		
011	7F	2020	18	784	4	C	CM	1		
012	7F	2020	18	784	4	C	CM	1		
013	7F	2020	18	784	0	C	PT	1		IBERICA
014	7F	2020	18	784	0	C	PT	1		IBERICA
015	7F	2020	18	784	0	C	PT	1		IBERICA
016	7F	2020	18	784	0	C	PT	1		IBERICA
017	7F	2020	18	784	0	C	PT	1		IBERICA
018	7F	2020	18	784	0	C	PT	1		IBERICA
019	7F	2020	18	784	0	C	PT	1		IBERICA
020	7F	2020	18	784	0	CO	OP	1		PAVIMENTO
021	7F	2020	18	784	0	VD	VI	3		
022	7F	2020	18	784	0	LBR	LAM	1		
023	7F	2020	18	784	0	CO	PM	3		ROJO
001	7F	2020	19	821	1	C	ANF	1		
002	7F	2020	19	821	4	C	ANF	1		
003	7F	2020	19	821	0	C	ANF	6		
004	7F	2020	19	821	0	C	CM	5		
005	7F	2020	19	821	0	C	CCA	1		
006	7F	2020	19	821	0	C	CCR	1		
007	7F	2020	19	821	4	C	CCI	1		
008	7F	2020	19	821	0	C	PT	1		IBERICA
009	7F	2020	19	821	0	C	PT	1		IBERICA
010	7F	2020	19	821	0	C	PT	1		IBERICA
011	7F	2020	19	821	0	C	PT	1		IBERICA
012	7F	2020	19	821	0	F	FA	1		
013	7F	2020	19	821	0	CO	ES	1		
014	7F	2020	19	821	0	C	ANF	2		
015	7F	2020	19	821	1	C	CM	1		
016	7F	2020	19	821	0	C	CM	1		
017	7F	2020	19	821	0	C	CM	2		IBERICA
018	7F	2020	19	821	0	C	PT	1		IBERICA
019	7F	2020	19	821	0	C	CCR	1		
020	7F	2020	19	821	4	C	TSA	2		
021	7F	2020	19	821	4	C	CCA	1		
022	7F	2020	19	821	0	C	CCA	1		
023	7F	2020	19	821	4	C	CMA	1		
024	7F	2020	19	821	0	F	FA	4		
025	7F	2020	19	821	0	LHI	CLA	1		
001	7F	2020	19	754	0	CO	ES	2		

002	7F	2020	19	754	0	CO	PM	2		POLICROMO
003	7F	2020	19	754	17	C	ANF	1		
004	7F	2020	19	754	17	C	ANF	1		
005	7F	2020	19	754	7	C	ANF	1		
006	7F	2020	19	754	7	C	ANF	1		
007	7F	2020	19	754	7	C	ANF	1		
008	7F	2020	19	754	7	C	ANF	1		
009	7F	2020	19	754	4	C	ANF	1		
010	7F	2020	19	754	0	C	ANF	17		
011	7F	2020	19	754	1	C	CM	1		
012	7F	2020	19	754	1	C	CM	1		
013	7F	2020	19	754	4	C	CM	1		
014	7F	2020	19	754	4	C	CM	1		
015	7F	2020	19	754	0	C	CM	14		
016	7F	2020	19	754	1	C	CCA	1		
017	7F	2020	19	754	14	C	CMA	1		
018	7F	2020	19	754	0	C	CMA	1		
019	7F	2020	19	754	1	C	CCR	1		
020	7F	2020	19	754	1	C	CCR	1		
021	7F	2020	19	754	1	C	CCR	1		
022	7F	2020	19	754	4	C	CCR	1		
023	7F	2020	19	754	4	C	CCR	1		
024	7F	2020	19	754	0	C	CCR	6		
025	7F	2020	19	754	0	C	PT	1		
026	7F	2020	19	754	0	C	PT	1		
027	7F	2020	19	754	1	C	UNG	1		
028	7F	2020	19	754	4	C	UNG	1		
029	7F	2020	19	754	4	C	UNG	1		
030	7F	2020	19	754	0	C	RP	1		
031	7F	2020	19	754	1	C	TS	1		
032	7F	2020	19	754	4	C	TS	1		
033	7F	2020	19	754	1	C	TSA	1		
034	7F	2020	19	754	1	C	TSA	1		
035	7F	2020	19	754	1	C	TSA	1		
036	7F	2020	19	754	1	C	TSA	1		
037	7F	2020	19	754	4	C	TSA	1		
038	7F	2020	19	754	4	C	TSA	1		
039	7F	2020	19	754	4	C	TSA	1		
040	7F	2020	19	754	4	C	TSA	1		
041	7F	2020	19	754	4	C	TSA	1		
042	7F	2020	19	754	0	C	TSA	1		
043	7F	2020	19	754	0	C	TSA	1		
044	7F	2020	19	754	0	C	TSA	1		
045	7F	2020	19	754	0	C	TSA	1		

046	7F	2020	19	754	4	C	TSA	1		
047	7F	2020	19	754	0	T	TLA	3		
048	7F	2020	19	754	0	F	FA	4		
049	7F	2020	19	754	7	C	CM	1		
050	7F	2020	19	754	7	C	CM	1		
051	7F	2020	19	754	4	C	CM	1		
052	7F	2020	19	754	4	C	CM	1		
053	7F	2020	19	754	1	C	CM	1		OINOKOE
054	7F	2020	19	754	0	C	CM	16		
055	7F	2020	19	754	1	C	TS	1		
056	7F	2020	19	754	0	C	CCR	3		
057	7F	2020	19	754	1	C	TSA	1		
058	7F	2020	19	754	0	T	TIM	7		
059	7F	2020	19	754	0	T	TLA	5		
060	7F	2020	19	754	0	F	FA	2		
061	7F	2020	19	754	0	CO	ES	14		
062	7F	2020	19	754	0	CO	ES	1		MOLDURA
063	7F	2020	19	754	0	CO	OP	1		PAVIMENTO
064	7F	2020	19	754	0	CO	PM	7		VERDE
065	7F	2020	19	754	0	CO	PM	5		POLICROMO
066	7F	2020	19	754	17	C	ANF	1		
067	7F	2020	19	754	7	C	ANF	1		
068	7F	2020	19	754	0	C	ANF	6		
069	7F	2020	19	754	0	T	TTE	1		
001	7F	2020	4	771	0	C	ANF	2		
002	7F	2020	4	771	1	C	CM	1		
003	7F	2020	4	771	1	C	CM	1		
004	7F	2020	4	771	1	C	CM	1		
005	7F	2020	4	771	1	C	CM	1		
006	7F	2020	4	771	7	C	CM	1		
007	7F	2020	4	771	0	C	CM	8		
008	7F	2020	4	771	0	C	CCR	3		
009	7F	2020	4	771	1	C	PT	1		IBERICA
010	7F	2020	4	771	0	F	FVMA	3		TERRESTRE
011	7F	2020	4	771	0	CO	ES	2		
001	7F	2020	4	773	1	C	TS	1		
001	7F	2020	4	772	1	C	TS	1		
002	7F	2020	4	772	0	C	TS	1		
003	7F	2020	4	772	0	C	TS	1		
004	7F	2020	4	772	0	C	TS	1		
005	7F	2020	4	772	0	C	TS	1		
001	7F	2020	4	764	0	C	ANF	86		
002	7F	2020	4	764	1	C	ANF	1		
003	7F	2020	4	764	1	C	ANF	1		

004	7F	2020	4	764	1	C	ANF	1		
005	7F	2020	4	764	1	C	ANF	1		
006	7F	2020	4	764	7	C	ANF	1		
007	7F	2020	4	764	7	C	ANF	1		
008	7F	2020	4	764	0	T	TLA	5		
009	7F	2020	4	764	0	T	TIM	9		
010	7F	2020	4	764	1	T	TTE	4		
011	7F	2020	4	764	1	C	CCR	1		
012	7F	2020	4	764	1	C	CCR	1		
013	7F	2020	4	764	1	C	CCR	1		
014	7F	2020	4	764	1	C	CCR	1		
015	7F	2020	4	764	1	C	CCR	1		
016	7F	2020	4	764	1	C	CCR	1		
017	7F	2020	4	764	1	C	CCR	1		
018	7F	2020	4	764	1	C	CCR	1		
019	7F	2020	4	764	4	C	CCR	1		
020	7F	2020	4	764	4	C	CCR	1		
021	7F	2020	4	764	0	C	CCR	18		
022	7F	2020	4	764	4	C	CCI	1		
023	7F	2020	4	764	4	C	CCI	1		
024	7F	2020	4	764	0	C	CCI	5		
025	7F	2020	4	764	1	C	GR	1		EBUSSITANA
026	7F	2020	4	764	4	C	RP	1		
027	7F	2020	4	764	4	C	RP	1		
028	7F	2020	4	764	1	C	BN	1		
029	7F	2020	4	764	4	C	BN	1		
030	7F	2020	4	764	4	C	BN	1		
031	7F	2020	4	764	4	C	BN	2		
032	7F	2020	4	764	1	C	CCA	1		
033	7F	2020	4	764	1	C	CCA	1		
034	7F	2020	4	764	4	C	CCA	1		
035	7F	2020	4	764	4	C	CCA	1		
036	7F	2020	4	764	0	C	CCA	2		
037	7F	2020	4	764	1	C	TS	1		
038	7F	2020	4	764	1	C	TS	1		
039	7F	2020	4	764	1	C	TS	1		
040	7F	2020	4	764	4	C	TS	1		
041	7F	2020	4	764	4	C	TS	1		
042	7F	2020	4	764	4	C	TS	1		
043	7F	2020	4	764	4	C	TS	1		
044	7F	2020	4	764	4	C	TS	1		
045	7F	2020	4	764	0	C	TS	1		
046	7F	2020	4	764	0	C	TS	1		
047	7F	2020	4	764	0	C	TS	1		

048	7F	2020	4	764	0	C	TS	1		
049	7F	2020	4	764	0	C	TS	1		
050	7F	2020	4	764	0	C	TS	1		
051	7F	2020	4	764	0	C	TS	1		
052	7F	2020	4	764	0	C	TS	1		
053	7F	2020	4	764	0	C	TS	1		
054	7F	2020	4	764	0	C	TS	1		
055	7F	2020	4	764	0	C	TS	1		
056	7F	2020	4	764	0	C	TS	1		
057	7F	2020	4	764	0	C	TSA	1		
058	7F	2020	4	764	0	C	PF	1		
059	7F	2020	4	764	0	C	PF	1		
060	7F	2020	4	764	0	C	PF	1		
061	7F	2020	4	764	0	C	PF	1		
062	7F	2020	4	764	0	C	PF	1		
063	7F	2020	4	764	0	C	PF	1		
064	7F	2020	4	764	0	C	PF	3		
065	7F	2020	4	764	0	C	UNG	9		
066	7F	2020	4	764	1	C	PT	2		IBERICA
067	7F	2020	4	764	1	C	PT	1		IBERICA
068	7F	2020	4	764	1	C	PT	1		IBERICA
069	7F	2020	4	764	1	C	PT	1		IBERICA
070	7F	2020	4	764	1	C	PT	1		IBERICA
071	7F	2020	4	764	1	C	PT	1		IBERICA
072	7F	2020	4	764	1	C	PT	1		IBERICA
073	7F	2020	4	764	7	C	PT	1		IBERICA
074	7F	2020	4	764	7	C	PT	1		IBERICA
075	7F	2020	4	764	4	C	PT	1		IBERICA
076	7F	2020	4	764	0	C	PT	1		IBERICA
077	7F	2020	4	764	0	C	PT	1		IBERICA
078	7F	2020	4	764	0	C	PT	1		IBERICA
079	7F	2020	4	764	0	C	PT	1		IBERICA
080	7F	2020	4	764	0	C	PT	1		IBERICA
081	7F	2020	4	764	0	C	PT	1		IBERICA
082	7F	2020	4	764	0	C	PT	1		IBERICA
083	7F	2020	4	764	0	C	PT	1		IBERICA
084	7F	2020	4	764	0	C	PT	1		IBERICA
085	7F	2020	4	764	0	C	PT	1		IBERICA
086	7F	2020	4	764	0	C	PT	1		IBERICA
087	7F	2020	4	764	0	C	PT	1		IBERICA
088	7F	2020	4	764	0	C	PT	1		IBERICA
089	7F	2020	4	764	0	C	PT	1		IBERICA
090	7F	2020	4	764	0	C	PT	1		IBERICA
091	7F	2020	4	764	0	C	PT	1		IBERICA

092	7F	2020	4	764	0	C	PT	1		IBERICA
093	7F	2020	4	764	0	C	PT	1		IBERICA
094	7F	2020	4	764	0	C	PT	1		IBERICA
095	7F	2020	4	764	0	C	PT	1		IBERICA
096	7F	2020	4	764	0	C	PT	1		IBERICA
097	7F	2020	4	764	0	C	PT	1		IBERICA
098	7F	2020	4	764	0	C	PT	1		IBERICA
099	7F	2020	4	764	0	C	PT	1		IBERICA
100	7F	2020	4	764	0	C	PT	1		IBERICA
101	7F	2020	4	764	0	C	PT	1		IBERICA
102	7F	2020	4	764	0	C	PT	1		IBERICA
103	7F	2020	4	764	0	C	PT	1		IBERICA
104	7F	2020	4	764	0	C	PT	1		IBERICA
105	7F	2020	4	764	0	C	PT	1		IBERICA
106	7F	2020	4	764	0	C	PT	1		IBERICA
107	7F	2020	4	764	0	C	PT	1		IBERICA
108	7F	2020	4	764	0	C	PT	1		IBERICA
109	7F	2020	4	764	0	C	PT	1		IBERICA
110	7F	2020	4	764	0	C	PT	1		IBERICA
111	7F	2020	4	764	0	C	PT	1		IBERICA
112	7F	2020	4	764	0	C	PT	1		IBERICA
113	7F	2020	4	764	0	C	PT	1		IBERICA
114	7F	2020	4	764	0	C	PT	1		IBERICA
115	7F	2020	4	764	0	C	PT	1		IBERICA
116	7F	2020	4	764	0	C	PT	1		IBERICA
117	7F	2020	4	764	0	C	PT	1		IBERICA
118	7F	2020	4	764	0	C	PT	1		IBERICA
119	7F	2020	4	764	0	C	PT	1		IBERICA
120	7F	2020	4	764	0	C	PT	1		IBERICA
121	7F	2020	4	764	0	C	CM	39		
122	7F	2020	4	764	17	C	CM	1		IBERICA
123	7F	2020	4	764	17	C	CM	1		IBERICA
124	7F	2020	4	764	1	C	CM	1		IBERICA
125	7F	2020	4	764	1	C	CM	1		IBERICA
126	7F	2020	4	764	1	C	CM	1		IBERICA
127	7F	2020	4	764	1	C	CM	1		IBERICA
128	7F	2020	4	764	1	C	CM	1		IBERICA
129	7F	2020	4	764	1	C	CM	1		IBERICA
130	7F	2020	4	764	1	C	CM	1		IBERICA
131	7F	2020	4	764	1	C	CM	1		IBERICA
132	7F	2020	4	764	1	C	CM	1		IBERICA
133	7F	2020	4	764	1	C	CM	1		IBERICA
134	7F	2020	4	764	1	C	CM	1		IBERICA
135	7F	2020	4	764	1	C	CM	1		IBERICA

136	7F	2020	4	764	7	C	CM	1		IBERICA
137	7F	2020	4	764	7	C	CM	1		IBERICA
138	7F	2020	4	764	7	C	CM	1		IBERICA
139	7F	2020	4	764	7	C	CM	1		IBERICA
140	7F	2020	4	764	7	C	CM	1		IBERICA
141	7F	2020	4	764	7	C	CM	1		IBERICA
142	7F	2020	4	764	4	C	CM	1		IBERICA
143	7F	2020	4	764	4	C	CM	1		IBERICA
144	7F	2020	4	764	4	C	CM	1		IBERICA
145	7F	2020	4	764	4	C	CM	1		IBERICA
146	7F	2020	4	764	4	C	CM	1		IBERICA
147	7F	2020	4	764	4	C	CM	1		IBERICA
148	7F	2020	4	764	4	C	CM	1		IBERICA
149	7F	2020	4	764	0	C	CM	126		IBERICA
150	7F	2020	4	764	0	F	FA	56		
151	7F	2020	4	764	0	CO	ES	25		
152	7F	2020	4	764	0	CO	PM	8		POLICROMO
153	7F	2020	4	764	0	CO	AR	5		
154	7F	2020	4	764	0	D	DMR	2		
155	7F	2020	4	764	0	CO	MO	1		
156	7F	2020	4	764	0	CO	TE	3		
157	7F	2020	4	764	0	VD	VI	1		
001	7F	2020	18	791	0	C	ANF	20		
002	7F	2020	18	791	1	C	PT	1		IBERICA
003	7F	2020	18	791	1	C	PT	1		IBERICA
004	7F	2020	18	791	1	C	PT	1		IBERICA
005	7F	2020	18	791	0	C	PT	1		IBERICA
006	7F	2020	18	791	0	C	PT	1		IBERICA
007	7F	2020	18	791	0	C	PT	1		IBERICA
008	7F	2020	18	791	0	C	PT	1		IBERICA
009	7F	2020	18	791	0	C	PT	1		IBERICA
010	7F	2020	18	791	0	C	PT	1		IBERICA
011	7F	2020	18	791	0	C	PT	1		IBERICA
012	7F	2020	18	791	0	C	PT	1		IBERICA
013	7F	2020	18	791	0	C	PT	1		IBERICA
014	7F	2020	18	791	0	C	PT	1		IBERICA
015	7F	2020	18	791	1	C	CM	1		IBERICA
016	7F	2020	18	791	1	C	CM	1		IBERICA
017	7F	2020	18	791	1	C	CM	1		IBERICA
018	7F	2020	18	791	0	C	CM	11		IBERICA
019	7F	2020	18	791	0	C	BN	3		
020	7F	2020	18	791	PQ	C	LUC	1		
021	7F	2020	18	791	1	C	CCR	1		
022	7F	2020	18	791	1	C	CCR	1		

023	7F	2020	18	791	0	C	CCR	1		
024	7F	2020	18	791	1	C	TSI	1		
025	7F	2020	18	791	0	F	FA	10		
026	7F	2020	18	791	0	T	TIM	2		
027	7F	2020	18	791	0	T	TLA	2		
028	7F	2020	18	791	0	CO	PM	1		ROJO
029	7F	2020	18	791	10	C	CCI	3		
030	7F	2020	18	791	1	C	CM	1		
031	7F	2020	18	791	0	C	CM	22		
032	7F	2020	18	791	10	C	CM	5		
033	7F	2020	18	791	0	VD	VI	1		
034	7F	2020	18	791	0	C	TSA	1		
035	7F	2020	18	791	4	C	CCA	1		
036	7F	2020	18	791	4	C	CCA	1		
037	7F	2020	18	791	0	C	CCA	1		
038	7F	2020	18	791	0	C	PF	2		
039	7F	2020	18	791	0	T	TAD	1		
040	7F	2020	18	791	0	CO	OP	1		PAVIMENTO
041	7F	2020	18	791	0	T	TLA	2		
042	7F	2020	18	791	0	C	PM	2		ROJO
043	7F	2020	18	791	0	C	ANF	4		
044	7F	2020	18	791	0	C	CM	4		
045	7F	2020	18	791	0	C	TS	1		
046	7F	2020	18	761	1	C	ANF	1		Dressel 1C?
047	7F	2020	18	761	7	C	ANF	1		
048	7F	2020	18	761	4	C	ANF	1		
049	7F	2020	18	761	0	C	ANF	21		
050	7F	2020	18	761	0	C	CM	26		
051	7F	2020	18	761	0	C	CM	1		IBERICA
052	7F	2020	18	761	0	C	PT	1		IBERICA
053	7F	2020	18	761	0	C	PT	1		IBERICA
054	7F	2020	18	761	0	C	PT	1		IBERICA
055	7F	2020	18	761	0	C	PT	1		IBERICA
056	7F	2020	18	761	0	C	PT	1		IBERICA
057	7F	2020	18	761	0	C	PT	1		IBERICA
058	7F	2020	18	761	0	C	PT	1		IBERICA
059	7F	2020	18	761	0	C	PT	1		IBERICA
060	7F	2020	18	761	0	C	PT	1		IBERICA
061	7F	2020	18	761	0	C	PT	1		IBERICA
062	7F	2020	18	761	14	C	BN	1		
063	7F	2020	18	761	0	C	CCI	1		
064	7F	2020	18	761	7	C	ANF	1		
065	7F	2020	18	761	1	C	PT	1		IBERICA
066	7F	2020	18	761	7	C	PT	1		IBERICA

067	7F	2020	18	761	0	C	PT	1		IBERICA
068	7F	2020	18	761	0	C	PT	1		IBERICA
069	7F	2020	18	761	0	C	PT	1		IBERICA
070	7F	2020	18	761	0	C	PT	1		IBERICA
071	7F	2020	18	761	0	C	PT	1		IBERICA
072	7F	2020	18	761	0	C	PT	1		IBERICA
073	7F	2020	18	761	0	C	CCR	1		
001	7F	2020	43	803	7	C	ANF	1		
002	7F	2020	43	803	0	C	ANF	7		
003	7F	2020	43	803	4	C	CM	2		
004	7F	2020	43	803	4	C	CM	1		
005	7F	2020	43	803	4	C	CM	1		
006	7F	2020	43	803	0	C	CM	7		
007	7F	2020	43	803	1	C	CCR	1		
008	7F	2020	43	803	1	C	CCR	1		
009	7F	2020	43	803	4	C	CCR	1		
010	7F	2020	43	803	0	C	CCR	6		
011	7F	2020	43	803	0	C	CM	1		IBERICA
012	7F	2020	43	803	0	C	PT	1		IBERICA
013	7F	2020	43	803	0	C	PT	1		IBERICA
014	7F	2020	43	803	0	C	PT	1		IBERICA
015	7F	2020	43	803	7	C	LUC	1		
016	7F	2020	43	803	4	C	LUC	1		
017	7F	2020	43	803	4	C	CCA	1		
018	7F	2020	43	803	0	C	TSA	1		
019	7F	2020	43	803	0	F	FA	12		
020	7F	2020	43	803	0	T	TLA	2		
021	7F	2020	43	803	0	T	TCL	1		
022	7F	2020	43	803	3	T	TPO	1		
023	7F	2020	43	803	0	C	ANF	10		
024	7F	2020	43	803	1	C	CM	1		
025	7F	2020	43	803	0	C	CM	9		
026	7F	2020	43	803	0	C	PT	1		IBERICA
027	7F	2020	43	803	1	C	TSA	1		
028	7F	2020	43	803	1	C	TSA	1		
029	7F	2020	43	803	0	C	TSA	1		
030	7F	2020	43	803	4	C	LUC	1		
031	7F	2020	43	803	0	C	LUC	1		
032	7F	2020	43	803	0	C	CCI	3		
033	7F	2020	43	803	0	C	CCR	1		
034	7F	2020	43	803	0	F	FA	6		
035	7F	2020	43	803	0	CO	ES	6		TECHO
001	7F	2020	43	800	1	C	ANF	1		
002	7F	2020	43	800	0	C	ANF	11		

003	7F	2020	43	800	1	C	CM	1		
004	7F	2020	43	800	1	C	CM	1		
005	7F	2020	43	800	1	C	CM	1		
006	7F	2020	43	800	4	C	CM	1		
007	7F	2020	43	800	0	C	CM	8		
008	7F	2020	43	800	0	C	CM	2		IBERICA
009	7F	2020	43	800	1	C	PT	1		IBERICA
010	7F	2020	43	800	0	C	PT	1		IBERICA
011	7F	2020	43	800	0	C	CCR	7		
012	7F	2020	43	800	1	C	TS	1		
013	7F	2020	43	800	4	C	TS	1		
014	7F	2020	43	800	0	C	TS	1		
015	7F	2020	43	800	4	C	TSA	1		
016	7F	2020	43	800	0	C	TSA	1		
017	7F	2020	43	800	0	C	TSA	1		
018	7F	2020	43	800	0	C	UNG	2		
019	7F	2020	43	800	1	C	CCA	1		
020	7F	2020	43	800	0	F	FA	3		
021	7F	2020	43	800	0	F	FVMA	2		TERRESTRE
023	7F	2020	43	800	0	CO	ES	1		
024	7F	2020	43	800	3	LBR	MON	1		
022	7F	2020	43	800	0	CO	PM	1		ROJO
025	7F	2020	43	800	0	C	ANF	6		
026	7F	2020	43	800	0	C	CM	1		IBERICA
027	7F	2020	43	800	0	C	PT	1		IBERICA
028	7F	2020	43	800	0	C	PT	1		IBERICA
029	7F	2020	43	800	0	C	PT	1		IBERICA
030	7F	2020	43	800	1	C	TSA	1		
031	7F	2020	43	800	1	C	AME	1		
001	7F	2020	18	793	7	C	ANF	1		
002	7F	2020	18	793	4	C	ANF	1		
003	7F	2020	18	793	0	C	ANF	12		
004	7F	2020	18	793	7	C	CM	1		
005	7F	2020	18	793	0	C	CM	5		
006	7F	2020	18	793	0	C	CM	6		IBERICA
007	7F	2020	18	793	1	C	PT	1		IBERICA
008	7F	2020	18	793	0	C	PT	1		IBERICA
009	7F	2020	18	793	0	C	PT	1		IBERICA
010	7F	2020	18	793	0	C	PT	1		IBERICA
011	7F	2020	18	793	0	C	PT	1		IBERICA
012	7F	2020	18	793	0	C	PT	1		IBERICA
013	7F	2020	18	793	0	C	PT	1		IBERICA
014	7F	2020	18	793	0	C	PT	1		IBERICA
015	7F	2020	18	793	0	C	PT	1		IBERICA

016	7F	2020	18	793	0	C	PT	1		IBERICA
017	7F	2020	18	793	0	C	PT	1		IBERICA
018	7F	2020	18	793	0	C	PT	1		IBERICA
019	7F	2020	18	793	0	C	PT	1		IBERICA
020	7F	2020	18	793	0	C	PT	1		IBERICA
021	7F	2020	18	793	0	C	PT	1		IBERICA
022	7F	2020	18	793	0	C	PT	1		IBERICA
023	7F	2020	18	793	0	C	PT	1		IBERICA
024	7F	2020	18	793	0	C	PT	1		IBERICA
025	7F	2020	18	793	1	C	TS	1		
026	7F	2020	18	793	0	C	TS	1		
027	7F	2020	18	793	0	C	TS	1		
028	7F	2020	18	793	0	C	TS	1		
029	7F	2020	18	793	1	C	CCA	1		
030	7F	2020	18	793	1	C	CCA	1		
031	7F	2020	18	793	4	C	CCA	1		
032	7F	2020	18	793	1	C	CCA	1		
033	7F	2020	18	793	1	C	CCR	1		
034	7F	2020	18	793	0	C	CCR	2		
035	7F	2020	18	793	0	C	UNG	2		
036	7F	2020	18	793	0	C	PM	21		ROJO
001	7F	2020	19	811	0	C	ANF	2		
001	7F	2020	33	757	0	C	ANF	2		
002	7F	2020	33	757	0	C	CM	5		
003	7F	2020	33	757	0	C	PT	1		IBERICA
004	7F	2020	33	757	0	C	PT	1		IBERICA
005	7F	2020	33	757	0	C	PT	1		IBERICA
006	7F	2020	33	757	0	C	CM	4		IBERICA
007	7F	2020	33	757	4	C	CCI	1		
008	7F	2020	33	757	0	C	BN	1		
009	7F	2020	33	757	0	C	UNG	2		
010	7F	2020	33	757	0	CO	AR	8		
011	7F	2020	33	757	0	F	FA	6		
001	7F	2020	41	753	0	C	ANF	6		
002	7F	2020	41	753	0	C	CM	10		
003	7F	2020	41	753	PQ	C	LUC	1		
004	7F	2020	41	753	4	C	LUC	1		
005	7F	2020	41	753	0	C	UNG	3		
006	7F	2020	41	753	0	C	TLA	2		
007	7F	2020	41	753	0	C	TIM	4		
008	7F	2020	41	753	0	F	FA	3		
001	7F	2020	42	778	0	C	ANF	45		
003	7F	2020	42	778	1	C	CM	1		
004	7F	2020	42	778	7	C	CM	1		

005	7F	2020	42	778	17	C	CM	1		
006	7F	2020	42	778	7	C	CM	1		
007	7F	2020	42	778	4	C	CM	1		
008	7F	2020	42	778	0	C	CM	7		
009	7F	2020	42	778	1	C	CCR	1		
010	7F	2020	42	778	1	C	CCR	1		
011	7F	2020	42	778	1	C	CCR	1		
012	7F	2020	42	778	1	C	CCR	1		
013	7F	2020	42	778	1	C	CCR	1		
014	7F	2020	42	778	7	C	CCR	1		
015	7F	2020	42	778	4	C	TS	1		
016	7F	2020	42	778	0	C	TSA	1		
017	7F	2020	42	778	1	C	CM	1		IBERICA
018	7F	2020	42	778	1	C	CM	1		IBERICA
019	7F	2020	42	778	0	C	CM	2		IBERICA
020	7F	2020	42	778	1	C	CCA	1		
021	7F	2020	42	778	1	C	CCA	1		
022	7F	2020	42	778	4	C	CCA	1		
023	7F	2020	42	778	0	T	TLA	2		
024	7F	2020	42	778	0	F	FVMA	1		MARINA
025	7F	2020	42	778	0	CO	ES	15		TECHO
026	7F	2020	42	778	7	C	ANF	1		
027	7F	2020	42	778	14	C	CM	1		
028	7F	2020	42	778	1	C	CM	1		
029	7F	2020	42	778	1	C	TSA	1		
030	7F	2020	42	778	0	C	BN	1		
001	7F	2020	18	777	0	C	ANF	25		
002	7F	2020	18	777	1	C	CM	1		
003	7F	2020	18	777	1	C	CM	1		
004	7F	2020	18	777	1	C	CM	1		
005	7F	2020	18	777	1	C	CM	1		
006	7F	2020	18	777	1	C	CM	1		
007	7F	2020	18	777	7	C	CM	1		
008	7F	2020	18	777	7	C	CM	1		
009	7F	2020	18	777	4	C	CM	1		
010	7F	2020	18	777	0	C	CM	41		
011	7F	2020	18	777	0	C	CM	3		
012	7F	2020	18	777	0	C	CM	4		PUNICO
013	7F	2020	18	777	1	C	TS	1		
014	7F	2020	18	777	0	C	TS	1		
015	7F	2020	18	777	1	C	TSA	1		
016	7F	2020	18	777	1	C	TSA	1		
017	7F	2020	18	777	1	C	TSA	1		
018	7F	2020	18	777	1	C	TSA	1		

019	7F	2020	18	777	1	C	TSA	1		
020	7F	2020	18	777	1	C	TSA	1		
021	7F	2020	18	777	1	C	TSA	1		
022	7F	2020	18	777	1	C	TSA	1		
023	7F	2020	18	777	4	C	TSA	1		
024	7F	2020	18	777	4	C	TSA	1		
025	7F	2020	18	777	4	C	TSA	1		
026	7F	2020	18	777	4	C	TSA	1		
027	7F	2020	18	777	0	C	TSA	1		
028	7F	2020	18	777	1	C	RP	1		
029	7F	2020	18	777	0	C	RP	1		
030	7F	2020	18	777	1	C	UNG	1		
031	7F	2020	18	777	1	C	UNG	1		
032	7F	2020	18	777	0	C	UNG	3		
033	7F	2020	18	777	1	C	CCA	1		
034	7F	2020	18	777	4	C	CCA	1		
035	7F	2020	18	777	4	C	CCA	1		
036	7F	2020	18	777	4	C	CCA	1		
037	7F	2020	18	777	4	C	CCA	1		
038	7F	2020	18	777	0	C	CCA	1		
039	7F	2020	18	777	0	C	CCI	1		
040	7F	2020	18	777	1	C	CCR	1		
041	7F	2020	18	777	1	C	CCR	1		
042	7F	2020	18	777	1	C	CCR	1		
043	7F	2020	18	777	1	C	CCR	1		
044	7F	2020	18	777	1	C	CCR	1		
045	7F	2020	18	777	1	C	CCR	1		
046	7F	2020	18	777	1	C	CCR	1		
047	7F	2020	18	777	1	C	CCR	1		
048	7F	2020	18	777	7	C	CCR	1		
049	7F	2020	18	777	0	C	CCR	29		
050	7F	2020	18	777	1	C	PT	1		IBERICA
051	7F	2020	18	777	1	C	PT	1		IBERICA
052	7F	2020	18	777	0	C	PT	1		IBERICA
053	7F	2020	18	777	0	C	PT	1		IBERICA
054	7F	2020	18	777	0	C	PT	1		IBERICA
055	7F	2020	18	777	0	C	PT	1		IBERICA
056	7F	2020	18	777	0	C	PT	1		IBERICA
057	7F	2020	18	777	0	C	PT	1		IBERICA
058	7F	2020	18	777	0	F	FA	1		
059	7F	2020	18	777	0	T	TLA	2		
060	7F	2020	18	777	0	LHI	CLA	2		
061	7F	2020	18	777	0	VD	VI	32		
062	7F	2020	18	777	0	CO	PM	2		ROJO

063	7F	2020	18	777	0	CO	PM	1		ROJO POMPEYANO
064	7F	2020	18	777	0	CO	PM	1		AMARILLO
065	7F	2020	18	777	0	CO	ES	1		
001	7F	2020	19	737	0	C	ANF	1		
002	7F	2020	19	737	0	C	PT	1		IBERICA
003	7F	2020	19	737	0	C	PT	1		IBERICA
004	7F	2020	19	737	0	C	PT	1		IBERICA
005	7F	2020	19	737	1	C	ANF	1		IBERICA
006	7F	2020	19	737	1	C	CM	1		IBERICA
007	7F	2020	19	737	0	C	CM	4		IBERICA
008	7F	2020	19	737	7	C	CM	1		
009	7F	2020	19	737	7	C	CM	1		
010	7F	2020	19	737	0	C	CM	24		
011	7F	2020	19	737	7	C	LUC	1		
012	7F	2020	19	737	1	C	CCR	1		
013	7F	2020	19	737	0	C	CCR	3		
014	7F	2020	19	737	1	C	TS	1		
015	7F	2020	19	737	4	C	TS	1		
016	7F	2020	19	737	0	C	TS	1		
017	7F	2020	19	737	1	C	TSA	1		
018	7F	2020	19	737	1	C	TSA	1		
019	7F	2020	19	737	1	C	TSA	1		
020	7F	2020	19	737	1	C	CCA	1		
021	7F	2020	19	737	0	C	CM	3		CONTEMPORÁNEA?
022	7F	2020	19	737	0	CO	PM	1		ROJO
023	7F	2020	19	737	0	F	FVMA	1		TERRESTRE
024	7F	2020	19	737	0	F	FA	5		
001	7F	2020	18	761	0	C	ANF	27		
002	7F	2020	18	761	7	C	ANF	1		
003	7F	2020	18	761	1	C	PT	1		IBERICA
004	7F	2020	18	761	7	C	PT	1		IBERICA
005	7F	2020	18	761	7	C	PT	1		IBERICA
006	7F	2020	18	761	7	C	PT	1		IBERICA
007	7F	2020	18	761	7	C	PT	1		IBERICA
008	7F	2020	18	761	7	C	PT	1		IBERICA
009	7F	2020	18	761	0	C	PT	1		IBERICA
010	7F	2020	18	761	0	C	PT	1		IBERICA
011	7F	2020	18	761	0	C	PT	1		IBERICA
012	7F	2020	18	761	0	C	PT	1		IBERICA
013	7F	2020	18	761	0	C	PT	1		IBERICA
014	7F	2020	18	761	0	C	PT	1		IBERICA
015	7F	2020	18	761	0	C	PT	1		IBERICA
016	7F	2020	18	761	0	C	PT	1		IBERICA
017	7F	2020	18	761	0	C	PT	1		IBERICA

018	7F	2020	18	761	0	C	PT	1		IBERICA
020	7F	2020	18	761	0	C	PT	1		IBERICA
021	7F	2020	18	761	0	C	PT	1		IBERICA
022	7F	2020	18	761	0	C	PT	1		IBERICA
023	7F	2020	18	761	0	C	PT	1		IBERICA
024	7F	2020	18	761	0	C	PT	1		IBERICA
025	7F	2020	18	761	0	C	PT	1		IBERICA
026	7F	2020	18	761	0	C	PT	1		IBERICA
027	7F	2020	18	761	0	C	PT	1		IBERICA
028	7F	2020	18	761	0	C	PT	1		IBERICA
029	7F	2020	18	761	0	C	PT	1		IBERICA
030	7F	2020	18	761	0	C	PT	1		IBERICA
031	7F	2020	18	761	0	C	PT	1		IBERICA
032	7F	2020	18	761	10	C	PT	7		IBERICA
033	7F	2020	18	761	1	C	CCA	1		
034	7F	2020	18	761	1	C	CCA	1		
035	7F	2020	18	761	0	C	CCA	3		
036	7F	2020	18	761	1	C	CCR	1		
037	7F	2020	18	761	1	C	CM	1		IBERICA
038	7F	2020	18	761	0	C	CM	1		IBERICA
039	7F	2020	18	761	1	C	PT	1		PUNICA
040	7F	2020	18	761	1	C	PT	1		PUNICA
041	7F	2020	18	761	0	C	ANF	1		PUNICA
042	7F	2020	18	761	0	C	ANF	1		IBERICA
043	7F	2020	18	761	0	C	CCR	1		
044	7F	2020	18	761	0	C	CM	2		
045	7F	2020	18	761	0	F	FA	1		
001	7F	2020	19	828	0	C	ANF	9		
002	7F	2020	19	828	1	C	PT	1		IBERICO
003	7F	2020	19	828	1	C	PT	1		IBERICO
004	7F	2020	19	828	0	C	PT	1		IBERICO
005	7F	2020	19	828	0	C	PT	1		IBERICO
006	7F	2020	19	828	0	C	PT	1		IBERICO
007	7F	2020	19	828	0	C	PT	1		IBERICO
008	7F	2020	19	828	0	C	PT	1		IBERICO
009	7F	2020	19	828	0	C	PT	1		IBERICO
010	7F	2020	19	828	4	C	PT	1		IBERICO
011	7F	2020	19	828	0	C	BN	1		
012	7F	2020	19	828	0	C	BN	1		
013	7F	2020	19	828	0	C	TS	1		
014	7F	2020	19	828	0	C	TS	1		
015	7F	2020	19	828	0	C	TS	1		
016	7F	2020	19	828	1	C	PF	1		
017	7F	2020	19	828	1	C	UNG	1		

018	7F	2020	19	828	0	C	CCR	1		
019	7F	2020	19	828	1	C	CM	1		
020	7F	2020	19	828	1	C	CM	1		
021	7F	2020	19	828	1	C	CM	1		
022	7F	2020	19	828	1	C	CM	1		
023	7F	2020	19	828	17	C	CM	1		
024	7F	2020	19	828	0	C	CM	6		
025	7F	2020	19	828	4	C	TSA	1		
026	7F	2020	19	828	1	C	CCA	1		
027	7F	2020	19	828	1	C	CCA	1		
028	7F	2020	19	828	0	C	CCA	1		
029	7F	2020	19	828	0	T	TLA	4		
030	7F	2020	19	828	0	CO	PM	2		ROJO. BLANCO Y NEGRO
031	7F	2020	19	828	0	F	FVMA	7		TERRESTRE
032	7F	2020	19	828	0	F	FA	7		
033	7F	2020	19	828	10	VD	VI	2		
001	7F	2020	SOBRE 18	766	7	C	ANF	1		
002	7F	2020	SOBRE 18	766	7	C	ANF	1		
003	7F	2020	SOBRE 18	766	0	C	ANF	17		
004	7F	2020	SOBRE 18	766	0	C	PT	1		IBERICA
005	7F	2020	SOBRE 18	766	0	C	PT	1		IBERICA
006	7F	2020	SOBRE 18	766	7	C	BN	1		
007	7F	2020	SOBRE 18	766	4	C	CM	1		
008	7F	2020	SOBRE 18	766	0	C	CM	13		
009	7F	2020	SOBRE 18	766	1	C	CCR	1		
010	7F	2020	SOBRE 18	766	4	C	CCR	1		
011	7F	2020	SOBRE 18	766	0	C	CCR	5		
012	7F	2020	SOBRE 18	766	1	C	TSA	1		
013	7F	2020	SOBRE 18	766	0	C	TSA	1		
014	7F	2020	SOBRE 18	766	0	CO	PM	12		POLICROMO
015	7F	2020	SOBRE 18	766	0	T	TLA	3		
016	7F	2020	SOBRE 18	766	0	CO	ES	4		
017	7F	2020	SOBRE 18	766	0	CO	OP	1		PAVIMENTO
018	7F	2020	SOBRE 18	766	0	C	ANF	13		

019	7F	2020	SOBRE 18	766	1	C	CM	1		
020	7F	2020	SOBRE 18	766	1	C	CM	1		
021	7F	2020	SOBRE 18	766	0	C	CM	17		
022	7F	2020	SOBRE 18	766	4	C	TS	1		
023	7F	2020	SOBRE 18	766	0	C	RP	1		
024	7F	2020	SOBRE 18	766	7	C	PT	1		IBERICA
025	7F	2020	SOBRE 18	766	0	C	PT	1		IBERICA
026	7F	2020	SOBRE 18	766	0	C	PT	1		IBERICA
027	7F	2020	SOBRE 18	766	4	C	CCR	1		
028	7F	2020	SOBRE 18	766	0	C	CCR	3		
029	7F	2020	SOBRE 18	766	4	VD	VI	2		
030	7F	2020	SOBRE 18	766	1	C	CM	1		
031	7F	2020	SOBRE 18	766	1	C	CCA	1		
032	7F	2020	SOBRE 18	766	0	T	TLA	1		
033	7F	2020	SOBRE 18	766	7	C	ANF	1		
034	7F	2020	SOBRE 18	766	4	C	ANF	1		
035	7F	2020	SOBRE 18	766	0	F	FA	2		
037	7F	2020	SOBRE 18	766	0	LHI	CLA	2		
001	7F	2020	18	762	0	C	ANF	8		
002	7F	2020	18	762	1	C	PT	1		IBERICA
003	7F	2020	18	762	0	C	PT	1		IBERICA
004	7F	2020	18	762	0	C	PT	1		IBERICA
005	7F	2020	18	762	0	T	TLA	1		
006	7F	2020	18	762	0	CO	OP	1		PAVIMENTO
007	7F	2020	18	762	0	CO	PM	1		ROJO
008	7F	2020	18	762	0	C	TS	1		
009	7F	2020	18	762	0	C	LUC	1		
010	7F	2020	18	762	1	C	CM	1		
011	7F	2020	18	762	0	C	CM	4		
001	7F	2020	18	792	1	C	GR	1		EBUSSITANA
002	7F	2020	18	792	1	C	GR	1		EBUSSITANA
003	7F	2020	18	792	1	C	GR	1		EBUSSITANA
004	7F	2020	18	792	1	C	GR	1		EBUSSITANA
005	7F	2020	18	792	7	C	GR	1		EBUSSITANA

006	7F	2020	18	792	7	C	GR	1		EBUSSITANA
007	7F	2020	18	792	4	C	GR	1		EBUSSITANA
008	7F	2020	18	792	4	C	GR	1		EBUSSITANA
009	7F	2020	18	792	0	C	GR	4		EBUSSITANA
010	7F	2020	18	792	0	C	GR	4		EBUSSITANA
011	7F	2020	18	792	1	C	BN	1		
012	7F	2020	18	792	1	C	BN	1		
013	7F	2020	18	792	1	C	BN	1		
014	7F	2020	18	792	1	C	BN	1		
015	7F	2020	18	792	1	C	BN	1		
016	7F	2020	18	792	1	C	BN	1		
017	7F	2020	18	792	1	C	BN	1		
018	7F	2020	18	792	1	C	BN	2		
019	7F	2020	18	792	4	C	BN	1		
020	7F	2020	18	792	0	C	BN	1		
021	7F	2020	18	792	0	C	BN	1		
022	7F	2020	18	792	0	C	BN	1		
023	7F	2020	18	792	0	C	BN	1		
024	7F	2020	18	792	0	C	BN	1		
025	7F	2020	18	792	0	C	BN	1		
026	7F	2020	18	792	0	C	BN	1		
027	7F	2020	18	792	0	C	BN	1		
028	7F	2020	18	792	0	C	BN	1		
029	7F	2020	18	792	0	C	BN	1		
030	7F	2020	18	792	0	C	BN	1		
031	7F	2020	18	792	1	C	CC	4		IBERICA
032	7F	2020	18	792	1	C	CC	3		IBERICA
033	7F	2020	18	792	1	C	CC	2		IBERICA
034	7F	2020	18	792	1	C	CC	1		IBERICA
035	7F	2020	18	792	1	C	CC	1		IBERICA
036	7F	2020	18	792	1	C	CC	1		IBERICA
037	7F	2020	18	792	1	C	CC	1		IBERICA
038	7F	2020	18	792	1	C	CC	1		IBERICA
039	7F	2020	18	792	1	C	CC	1		IBERICA
040	7F	2020	18	792	1	C	CC	1		IBERICA
041	7F	2020	18	792	4	C	CC	1		IBERICA
042	7F	2020	18	792	4	C	CC	2		IBERICA
043	7F	2020	18	792	0	C	CC	104		IBERICA
044	7F	2020	18	792	0	LPL	ESC	2		
045	7F	2020	18	792	0	CO	OP	2		PAVIMENTO
046	7F	2020	18	792	0	C	PT	66		IBERICA
047	7F	2020	18	792	0	C	PT	16		IBERICA
048	7F	2020	18	792	0	C	PT	2		IBERICA
049	7F	2020	18	792	10	C	PT	6		IBERICA

050	7F	2020	18	792	40	C	PT	7		IBERICA
051	7F	2020	18	792	0	C	PT	11		IBERICA
052	7F	2020	18	792	1	C	PT	2		IBERICA
053	7F	2020	18	792	1	C	PT	2		IBERICA
054	7F	2020	18	792	1	C	PT	2		IBERICA
055	7F	2020	18	792	10	C	PT	2		IBERICA
056	7F	2020	18	792	10	C	PT	3		IBERICA
057	7F	2020	18	792	1	C	PT	2		IBERICA
058	7F	2020	18	792	1	C	PT	2		IBERICA
059	7F	2020	18	792	1	C	PT	1		IBERICA
060	7F	2020	18	792	1	C	PT	1		IBERICA
061	7F	2020	18	792	1	C	PT	1		IBERICA
062	7F	2020	18	792	1	C	PT	1		IBERICA
063	7F	2020	18	792	1	C	PT	1		IBERICA
064	7F	2020	18	792	1	C	PT	2		IBERICA
065	7F	2020	18	792	1	C	PT	1		IBERICA
066	7F	2020	18	792	1	C	PT	1		IBERICA
067	7F	2020	18	792	1	C	PT	1		IBERICA
068	7F	2020	18	792	1	C	PT	1		IBERICA
069	7F	2020	18	792	1	C	PT	1		IBERICA
070	7F	2020	18	792	1	C	PT	1		IBERICA
071	7F	2020	18	792	1	C	PT	1		IBERICA
072	7F	2020	18	792	1	C	PT	1		IBERICA
073	7F	2020	18	792	1	C	PT	1		IBERICA
074	7F	2020	18	792	1	C	PT	1		IBERICA
075	7F	2020	18	792	1	C	PT	1		IBERICA
076	7F	2020	18	792	1	C	PT	1		IBERICA
077	7F	2020	18	792	1	C	PT	1		IBERICA
078	7F	2020	18	792	7	C	PT	1		IBERICA
079	7F	2020	18	792	4	C	PT	1		IBERICA
080	7F	2020	18	792	4	C	PT	1		IBERICA
081	7F	2020	18	792	4	C	PT	1		IBERICA
082	7F	2020	18	792	4	C	PT	1		IBERICA
083	7F	2020	18	792	4	C	PT	1		IBERICA
084	7F	2020	18	792	4	C	PT	1		IBERICA
085	7F	2020	18	792	4	C	PT	1		IBERICA
086	7F	2020	18	792	4	C	PT	1		IBERICA
087	7F	2020	18	792	1	C	PT	1		IBERICA
088	7F	2020	18	792	0	C	PT	2		IBERICA
089	7F	2020	18	792	0	C	PT	1		IBERICA
090	7F	2020	18	792	0	C	PT	1		IBERICA
091	7F	2020	18	792	0	C	PT	1		IBERICA
092	7F	2020	18	792	0	C	PT	1		IBERICA
093	7F	2020	18	792	0	C	PT	1		IBERICA

094	7F	2020	18	792	0	C	PT	1		IBERICA
095	7F	2020	18	792	0	C	PT	1		IBERICA
096	7F	2020	18	792	0	C	PT	1		IBERICA
097	7F	2020	18	792	0	C	PT	1		IBERICA
098	7F	2020	18	792	0	C	PT	1		IBERICA
099	7F	2020	18	792	0	C	PT	1		IBERICA
100	7F	2020	18	792	0	C	PT	1		IBERICA
101	7F	2020	18	792	0	C	PT	1		IBERICA
102	7F	2020	18	792	0	C	PT	1		IBERICA
103	7F	2020	18	792	0	C	PT	1		IBERICA
104	7F	2020	18	792	0	C	PT	1		IBERICA
105	7F	2020	18	792	0	C	PT	1		IBERICA
106	7F	2020	18	792	0	C	PT	1		IBERICA
107	7F	2020	18	792	0	C	PT	1		IBERICA
108	7F	2020	18	792	0	C	PT	1		IBERICA
109	7F	2020	18	792	0	C	PT	1		IBERICA
110	7F	2020	18	792	0	C	PT	1		IBERICA
111	7F	2020	18	792	0	C	PT	1		IBERICA
112	7F	2020	18	792	0	C	PT	1		IBERICA
113	7F	2020	18	792	0	C	PT	1		IBERICA
114	7F	2020	18	792	0	C	PT	1		IBERICA
115	7F	2020	18	792	0	C	PT	1		IBERICA
116	7F	2020	18	792	0	C	PT	1		IBERICA
117	7F	2020	18	792	0	C	PT	1		IBERICA
118	7F	2020	18	792	0	C	PT	1		IBERICA
119	7F	2020	18	792	0	C	PT	1		IBERICA
120	7F	2020	18	792	0	C	PT	1		IBERICA
121	7F	2020	18	792	0	C	PT	1		IBERICA
122	7F	2020	18	792	0	C	PT	1		IBERICA
123	7F	2020	18	792	0	C	PT	1		IBERICA
124	7F	2020	18	792	0	C	PT	1		IBERICA
125	7F	2020	18	792	0	C	PT	1		IBERICA
126	7F	2020	18	792	0	C	PT	1		IBERICA
127	7F	2020	18	792	0	C	PT	1		IBERICA
128	7F	2020	18	792	0	C	PT	1		IBERICA
129	7F	2020	18	792	0	C	PT	1		IBERICA
130	7F	2020	18	792	0	C	PT	1		IBERICA
131	7F	2020	18	792	0	C	PT	1		IBERICA
132	7F	2020	18	792	0	C	PT	1		IBERICA
133	7F	2020	18	792	0	C	PT	1		IBERICA
134	7F	2020	18	792	0	C	PT	1		IBERICA
135	7F	2020	18	792	0	C	PT	1		IBERICA
136	7F	2020	18	792	0	C	PT	1		IBERICA
137	7F	2020	18	792	0	C	PT	1		IBERICA

138	7F	2020	18	792	0	C	PT	1		IBERICA
139	7F	2020	18	792	0	C	PT	1		IBERICA
140	7F	2020	18	792	0	C	PT	1		IBERICA
141	7F	2020	18	792	0	C	PT	1		IBERICA
142	7F	2020	18	792	0	C	PT	1		IBERICA
143	7F	2020	18	792	0	C	PT	1		IBERICA
144	7F	2020	18	792	0	C	PT	1		IBERICA
145	7F	2020	18	792	0	C	PT	1		IBERICA
146	7F	2020	18	792	0	C	PT	1		IBERICA
147	7F	2020	18	792	0	C	PT	1		IBERICA
148	7F	2020	18	792	0	C	PT	1		IBERICA
149	7F	2020	18	792	0	C	PT	1		IBERICA
150	7F	2020	18	792	0	C	PT	1		IBERICA
151	7F	2020	18	792	0	C	PT	1		IBERICA
152	7F	2020	18	792	0	C	PT	1		IBERICA
153	7F	2020	18	792	0	C	PT	1		IBERICA
154	7F	2020	18	792	0	C	PT	1		IBERICA
155	7F	2020	18	792	0	C	PT	1		IBERICA
156	7F	2020	18	792	0	C	PT	1		IBERICA
157	7F	2020	18	792	0	C	PT	1		IBERICA
158	7F	2020	18	792	0	C	PT	1		IBERICA
159	7F	2020	18	792	0	C	PT	1		IBERICA
160	7F	2020	18	792	0	C	PT	1		IBERICA
161	7F	2020	18	792	0	C	PT	1		IBERICA
162	7F	2020	18	792	0	C	PT	1		IBERICA
163	7F	2020	18	792	0	C	PT	1		IBERICA
164	7F	2020	18	792	0	C	PT	1		IBERICA
165	7F	2020	18	792	0	C	PT	1		IBERICA
166	7F	2020	18	792	0	C	PT	1		IBERICA
167	7F	2020	18	792	0	C	PT	1		IBERICA
168	7F	2020	18	792	0	C	PT	1		IBERICA
169	7F	2020	18	792	0	C	PT	1		IBERICA
170	7F	2020	18	792	0	C	PT	1		IBERICA
171	7F	2020	18	792	0	C	PT	1		IBERICA
172	7F	2020	18	792	0	C	PT	1		IBERICA
173	7F	2020	18	792	0	C	PT	1		IBERICA
174	7F	2020	18	792	0	C	PT	1		IBERICA
175	7F	2020	18	792	0	C	PT	1		IBERICA
176	7F	2020	18	792	0	C	PT	1		IBERICA
177	7F	2020	18	792	0	C	PT	1		IBERICA
178	7F	2020	18	792	0	C	PT	1		IBERICA
179	7F	2020	18	792	0	C	PT	1		IBERICA
180	7F	2020	18	792	0	C	PT	1		IBERICA
181	7F	2020	18	792	0	C	PT	1		IBERICA

182	7F	2020	18	792	0	C	PT	1		IBERICA
183	7F	2020	18	792	0	C	PT	1		IBERICA
184	7F	2020	18	792	0	C	PT	1		IBERICA
185	7F	2020	18	792	0	C	PT	1		IBERICA
186	7F	2020	18	792	0	C	PT	1		IBERICA
187	7F	2020	18	792	0	C	PT	1		IBERICA
188	7F	2020	18	792	0	C	PT	1		IBERICA
189	7F	2020	18	792	0	C	PT	1		IBERICA
190	7F	2020	18	792	0	C	PT	1		IBERICA
191	7F	2020	18	792	0	C	PT	1		IBERICA
192	7F	2020	18	792	0	C	PT	1		IBERICA
193	7F	2020	18	792	0	C	PT	1		IBERICA
194	7F	2020	18	792	0	C	PT	1		IBERICA
195	7F	2020	18	792	0	C	PT	1		IBERICA
196	7F	2020	18	792	0	C	PT	1		IBERICA
197	7F	2020	18	792	0	C	PT	1		IBERICA
198	7F	2020	18	792	0	C	PT	1		IBERICA
199	7F	2020	18	792	0	C	PT	1		IBERICA
200	7F	2020	18	792	0	C	PT	1		IBERICA
201	7F	2020	18	792	0	C	PT	1		IBERICA
202	7F	2020	18	792	0	C	PT	1		IBERICA
203	7F	2020	18	792	0	F	FA	25		
204	7F	2020	18	792	0	F	FVMA	1		MARINA
205	7F	2020	18	792	0	T	TAD	1		
206	7F	2020	18	792	0	CO	PM	1		ROJO
207	7F	2020	18	792	0	C	CM	10		DESCARTE HORNO
208	7F	2020	18	792	0	T	TLA	1		
209	7F	2020	18	792	0	T	TIM	2		
210	7F	2020	18	792	10	C	CM	3		IBERICA
211	7F	2020	18	792	170	C	CM	5		IBERICA
212	7F	2020	18	792	1	C	CM	2		IBERICA
213	7F	2020	18	792	1	C	CM	2		IBERICA
214	7F	2020	18	792	1	C	CM	1		IBERICA
215	7F	2020	18	792	1	C	CM	1		IBERICA
216	7F	2020	18	792	1	C	CM	1		IBERICA
217	7F	2020	18	792	1	C	CM	1		IBERICA
218	7F	2020	18	792	1	C	CM	1		IBERICA
219	7F	2020	18	792	1	C	CM	1		IBERICA
220	7F	2020	18	792	1	C	CM	1		IBERICA
221	7F	2020	18	792	1	C	CM	1		IBERICA
222	7F	2020	18	792	7	C	CM	1		IBERICA
223	7F	2020	18	792	7	C	CM	1		IBERICA
224	7F	2020	18	792	7	C	CM	1		IBERICA
225	7F	2020	18	792	7	C	CM	1		IBERICA

226	7F	2020	18	792	7	C	CM	1		IBERICA
227	7F	2020	18	792	7	C	CM	1		IBERICA
228	7F	2020	18	792	7	C	CM	1		IBERICA
229	7F	2020	18	792	7	C	CM	1		IBERICA
230	7F	2020	18	792	4	C	CM	1		IBERICA
231	7F	2020	18	792	4	C	CM	1		IBERICA
232	7F	2020	18	792	4	C	CM	1		IBERICA
233	7F	2020	18	792	0	C	CM	234		IBERICA
234	7F	2020	18	792	0	D	AF	1		
235	7F	2020	18	792	1	C	PT	1		IBERICA
236	7F	2020	18	792	1	C	PT	1		IBERICA
237	7F	2020	18	792	1	C	PT	1		IBERICA
238	7F	2020	18	792	1	C	CM	3		
239	7F	2020	18	792	1	C	CM	2		
240	7F	2020	18	792	1	C	CM	2		
241	7F	2020	18	792	1	C	CM	1		
242	7F	2020	18	792	1	C	CM	1		
243	7F	2020	18	792	1	C	CM	1		
244	7F	2020	18	792	1	C	CM	1		
245	7F	2020	18	792	1	C	CM	1		
246	7F	2020	18	792	1	C	CM	1		
247	7F	2020	18	792	1	C	CM	1		
248	7F	2020	18	792	1	C	CM	1		
249	7F	2020	18	792	7	C	CM	1		
250	7F	2020	18	792	4	C	CM	1		
251	7F	2020	18	792	4	C	CM	1		
252	7F	2020	18	792	4	C	CM	1		
253	7F	2020	18	792	4	C	CM	1		
254	7F	2020	18	792	4	C	CM	1		
255	7F	2020	18	792	4	C	CM	1		
256	7F	2020	18	792	4	C	CM	1		
257	7F	2020	18	792	4	C	CM	1		
258	7F	2020	18	792	0	C	CM	7		DECORACION INCISA
259	7F	2020	18	792	0	C	CM	29		
260	7F	2020	18	792	0	C	PF	1		
261	7F	2020	18	792	1	C	CCR	1		
262	7F	2020	18	792	0	C	CCR	1		
263	7F	2020	18	792	0	C	CM	1		PUNICA
264	7F	2020	18	792	1	C	CCI	1		
265	7F	2020	18	792	1	C	CCI	1		
266	7F	2020	18	792	0	C	CCI	1		
267	7F	2020	18	792	17	C	ANF	1		
268	7F	2020	18	792	17	C	ANF	1		
269	7F	2020	18	792	1	C	ANF	1		

270	7F	2020	18	792	1	C	ANF	1		
271	7F	2020	18	792	1	C	ANF	1		
272	7F	2020	18	792	1	C	ANF	1		
273	7F	2020	18	792	1	C	ANF	1		
274	7F	2020	18	792	1	C	ANF	1		
275	7F	2020	18	792	1	C	ANF	1		
276	7F	2020	18	792	7	C	ANF	1		
277	7F	2020	18	792	7	C	ANF	1		
278	7F	2020	18	792	7	C	ANF	1		
279	7F	2020	18	792	7	C	ANF	1		
280	7F	2020	18	792	4	C	ANF	1		
281	7F	2020	18	792	0	C	ANF	87		
282	7F	2020	18	792	0	C	ANF	16		
283	7F	2020	18	792	0	C	CM	9		
284	7F	2020	18	792	1	C	PT	3		IBERICA
285	7F	2020	18	792	1	C	PT	1		IBERICA
286	7F	2020	18	792	1	C	PT	1		IBERICA
287	7F	2020	18	792	1	C	PT	1		IBERICA
288	7F	2020	18	792	1	C	PT	1		IBERICA
289	7F	2020	18	792	0	C	PT	1		IBERICA
290	7F	2020	18	792	0	C	PT	1		IBERICA
291	7F	2020	18	792	0	C	PT	1		IBERICA
292	7F	2020	18	792	0	C	CM	23		IBERICA
293	7F	2020	18	792	0	C	CCI	4		
294	7F	2020	18	792	0	C	CCR	3		
295	7F	2020	18	792	4	C	TSA	1		
296	7F	2020	18	792	1	C	UNG	1		
297	7F	2020	18	792	0	C	UNG	1		
298	7F	2020	18	792	0	T	TLA	1		
299	7F	2020	18	792	0	CO	PM	4		ROJO
300	7F	2020	18	792	0	F	FA	7		
301	7F	2020	18	792	0	LBR	CLA	1		
001	7F	2020	18	783	0	C	ANF	8		
002	7F	2020	18	783	7	C	CM	1		
003	7F	2020	18	783	0	C	CM	8		
004	7F	2020	18	783	1	C	CM	1		IBERICA
005	7F	2020	18	783	0	C	CM	6		IBERICA
006	7F	2020	18	783	0	C	PT	1		IBERICA
007	7F	2020	18	783	0	C	PT	1		IBERICA
008	7F	2020	18	783	10	C	CCR	4		
009	7F	2020	18	783	1	C	CCR	2		
010	7F	2020	18	783	0	C	CCR	12		
011	7F	2020	18	783	1	C	TS	1		
012	7F	2020	18	783	0	C	TS	1		

013	7F	2020	18	783	4	C	TSA	1		
014	7F	2020	18	783	1	C	CCA	1		
015	7F	2020	18	783	1	C	CCA	1		
016	7F	2020	18	783	1	C	CCA	1		
017	7F	2020	18	783	4	C	CM	1		AFRICANA
018	7F	2020	18	783	10	C	UNG	6		
019	7F	2020	18	783	7	C	LUC	1		
020	7F	2020	18	783	0	C	RP	1		
021	7F	2020	18	783	0	F	FA	12		
022	7F	2020	18	783	0	F	FVMA	2		TERRESTRE
023	7F	2020	18	783	0	LHI	CLA	1		
024	7F	2020	18	783	0	CO	ES	23		
025	7F	2020	18	783	0	DMR	AM	1		
026	7F	2020	18	783	0	HT	AGU	1		
027	7F	2020	18	783	0	CO	PM	7		POLICROMO
001	7F	2020	18	788	0	T	TAD	13		
001	7F	2020	4	765	1	C	BN	1		PICO VERTEADOR?
002	7F	2020	4	765	1	C	BN	1		
003	7F	2020	4	765	1	C	BN	1		
004	7F	2020	4	765	1	C	BN	1		
005	7F	2020	4	765	0	C	BN	1		
006	7F	2020	4	765	1	C	TS	1		
007	7F	2020	4	765	1	C	TS	1		
008	7F	2020	4	765	1	C	TS	1		
009	7F	2020	4	765	1	C	TS	1		
010	7F	2020	4	765	1	C	TS	1		
011	7F	2020	4	765	1	C	TS	1		
012	7F	2020	4	765	1	C	TS	1		
013	7F	2020	4	765	4	C	TS	1		
014	7F	2020	4	765	4	C	TS	1		
015	7F	2020	4	765	4	C	TS	1		
016	7F	2020	4	765	4	C	TS	1		
017	7F	2020	4	765	4	C	TS	1		
018	7F	2020	4	765	170	C	PF	5		
019	7F	2020	4	765	1	C	PF	1		
020	7F	2020	4	765	0	C	PF	1		
021	7F	2020	4	765	4	C	PF	1		
022	7F	2020	4	765	4	C	PF	1		
023	7F	2020	4	765	0	C	PF	1		
024	7F	2020	4	765	0	C	PF	1		
025	7F	2020	4	765	0	C	PF	1		
026	7F	2020	4	765	7	C	LUC	1		
027	7F	2020	4	765	3	C	LUC	1		DISCO
028	7F	2020	4	765	0	C	LUC	7		

029	7F	2020	4	765	0	VD	VI	11		
030	7F	2020	4	765	1	VD	VI	1		
031	7F	2020	4	765	1	VD	VI	1		
032	7F	2020	4	765	1	VD	VI	1		
033	7F	2020	4	765	0	C	ANF	29		PASTA CAMPANA, CÁDIZ, VALENCIANA...
034	7F	2020	4	765	0	CO	PM	25		ROJO, BLANCO, NEGRO, AMARILLO
035	7F	2020	4	765	1	C	CCR	1		
036	7F	2020	4	765	1	C	CCR	1		
037	7F	2020	4	765	1	C	CCR	1		
038	7F	2020	4	765	1	C	CCR	1		
039	7F	2020	4	765	1	C	CCR	1		
040	7F	2020	4	765	1	C	CCR	1		
041	7F	2020	4	765	1	C	CCR	1		
042	7F	2020	4	765	1	C	CCR	1		
043	7F	2020	4	765	1	C	CCR	1		
044	7F	2020	4	765	12	C	CCR	1		
045	7F	2020	4	765	0	C	CCR	45		
046	7F	2020	4	765	1	C	ANF	1		IBERICA
047	7F	2020	4	765	0	C	ANF	13		IBERICA
048	7F	2020	4	765	0	F	FA	74		
049	7F	2020	4	765	0	F	FVMA	5		TERRESTRE
050	7F	2020	4	765	0	F	FVMA	1		MARINA
051	7F	2020	4	765	3	F	LUC	1		DISCO
052	7F	2020	4	765	0	DMR	SEC	2		AFRICANO
053	7F	2020	4	765	1	C	PT	1		IBERICA
054	7F	2020	4	765	1	C	PT	1		IBERICA
055	7F	2020	4	765	1	C	PT	1		IBERICA
056	7F	2020	4	765	1	C	PT	1		IBERICA
057	7F	2020	4	765	1	C	PT	1		IBERICA
058	7F	2020	4	765	0	C	PT	1		IBERICA
059	7F	2020	4	765	0	C	PT	1		IBERICA
060	7F	2020	4	765	0	C	PT	1		IBERICA
061	7F	2020	4	765	0	C	PT	1		IBERICA
062	7F	2020	4	765	0	C	PT	1		IBERICA
063	7F	2020	4	765	0	C	PT	1		IBERICA
064	7F	2020	4	765	0	C	PT	1		IBERICA
065	7F	2020	4	765	0	C	PT	1		IBERICA
066	7F	2020	4	765	0	C	PT	1		IBERICA
067	7F	2020	4	765	0	C	PT	1		IBERICA
068	7F	2020	4	765	0	C	PT	1		IBERICA
069	7F	2020	4	765	0	C	PT	1		IBERICA
070	7F	2020	4	765	0	C	PT	1		IBERICA
071	7F	2020	4	765	0	C	PT	1		IBERICA

072	7F	2020	4	765	0	C	PT	1		IBERICA
073	7F	2020	4	765	0	C	PT	1		IBERICA
074	7F	2020	4	765	0	C	PT	1		IBERICA
075	7F	2020	4	765	0	C	PT	1		IBERICA
076	7F	2020	4	765	0	C	PT	1		IBERICA
077	7F	2020	4	765	0	C	PT	1		IBERICA
078	7F	2020	4	765	0	C	PT	1		IBERICA
079	7F	2020	4	765	0	C	PT	1		IBERICA
080	7F	2020	4	765	0	C	PT	1		IBERICA
081	7F	2020	4	765	0	C	PT	1		IBERICA
082	7F	2020	4	765	0	C	PT	1		IBERICA
083	7F	2020	4	765	0	C	PT	1		IBERICA
084	7F	2020	4	765	0	C	PT	1		IBERICA
085	7F	2020	4	765	1	C	CM	1		IBERICA
086	7F	2020	4	765	1	C	CM	1		IBERICA
087	7F	2020	4	765	1	C	CM	1		IBERICA
088	7F	2020	4	765	1	C	CM	1		IBERICA
089	7F	2020	4	765	1	C	CM	1		IBERICA
090	7F	2020	4	765	1	C	CM	1		IBERICA
091	7F	2020	4	765	1	C	CM	1		IBERICA
092	7F	2020	4	765	1	C	CM	1		IBERICA
093	7F	2020	4	765	1	C	CM	1		IBERICA
094	7F	2020	4	765	1	C	CM	1		IBERICA
095	7F	2020	4	765	4	C	CM	1		IBERICA
096	7F	2020	4	765	4	C	CM	1		IBERICA
097	7F	2020	4	765	7	C	CM	1		IBERICA
098	7F	2020	4	765	0	C	CM	191		IBERICA
099	7F	2020	4	765	0	CO	TE	5		
100	7F	2020	4	765	0	VD	PV	1		BOTON
101	7F	2020	4	765	0	LHI	CLA	1		
102	7F	2020	4	765	0	LHI	CLA	1		
103	7F	2020	4	765	0	LHI	PLA	1		
104	7F	2020	4	765	0	LHI	ESC	1		
105	7F	2020	4	765	0	LBR	PLA	1		
106	7F	2020	4	765	0	C	CM	4		AFRICANA
107	7F	2020	4	765	0	LBR	ANI	2		
108	7F	2020	4	765	0	LBR	MON	1		

10. Listado de UUEE

UE	AMBIENTE	TIPO	DESCRIPCIÓN
2017			
1	-	Estrato	Capa superficial presente en todo el yacimiento
2	24B	Estrato	Estrato al E. del muro UE 4, bajo UE 1
3	24A	Estrato	Estrato al W. del muro UE 4, bajo UE 1
4	24A/24B	Muro	Muro de orientación N-S que divide en dos al Amb 24
5	24B	Estrato	Relleno del basurero que recorta la fosa UE 8 en la UE 2
6	Sobre 25	Interfaz	Fosa en forma de cono invertido que recorta a los Amb. 1, 25 y 28
7	24A	Estrato	Posible fosa cubierta por UE 3 al NW del muro UE 4
8	24B	Interfaz	Fosa que recorta a la UE 2, rellena por UE 5
9	24A	Estrato	Derrumbe que se apoya en UE 3, al NW del muro UE 4
10	27W	Estrato	Amontonamiento de piedras con alineación N-S bajo UE 1
11	27W	Estrato	Estrato horizontal ¿pavimento? bajo UE 1
12	27W	Estructura	Pavimento de mortero ¿o. signinum? Bajo UE 11, roto al N por fosa UE 15
13	27W	Estructura	Pavimento equivalente a UE 12, roto al S por fosa UE 15
14	27W	Estructura	Pavimento por definir bajo UUEE 12 y 13
15	27W	Interfaz	Fosa que parece romper los pavimentos UUEE 12 y 13. Rellena por UE 16
16	27W	Estrato	Relleno de la fosa UE 15
17	27W	Estrato	Estrato de tierra marrón claro bajo UE 1, en la zona E del corte
18	27W	Estrato	Estrato de tierra negra muy suelta bajo UE 1, en la zona E del corte
19	24A	Estrato	Estrato gris que forma la capa superior del relleno de la fosa de UE 36
20	24A	Estrato	Nivel de ceniza que rellena a la fosa de UE 36
21	24A	Estrato	Relleno de la fosa de UE 22
22	24A	Interfaz	Fosa realizada contra el muro UE 4, rellena por UE 21
23	Sobre 25	Grupo UUEE	Canal dirección N-S, ligeramente curvado. Posible acequia siglo XIX. Cortada por fosa UE 6
24	Sobre 25	Estrato	Relleno del tramo de acequia del G.U. 23
25	Sobre 25	Estructura	Estructura de piedras al E de la acequia UE 23. Posible brocal
26	Sobre 25	Estructura	Estrato de tendencia horizontal, compacto, situado en la parte E del corte. Posible pavimento
27	27W	Estrato	Estrato de tierra anaranjada que cubre a la UE 11
28	27W	Muro	Muro con orientación N-S bajo UE 1
29	27W	Muro	Muro con orientación N-S, paralelo al E de UE 28
30	27W	Muro	Muro de orientación E-W que hace esquina al W con el muro UE 28
31	27W	Interfaz	Fosa-recorte en la UE 17, rellena por la UE 18
32	27W	Estrato	Estrato de tierra marrón oscuro/negro que rellena una pequeña fosa circular (UE 34). Cubierta por UE 17
34	27W	Interfaz	Fosa-recorte circular relleno por UE 33. Recorta a UE 32
35	Sobre 25	Estrato	Relleno de la fosa UE 6

36	24A	Interfaz	Fosa que recorta a UE 3, rellena por 20
37	Sobre 25	Estructura	Extremo S del partidor E de la acequia de G. U. 23
38	Sobre 25	Estructura	Extremo N del partidor E de la acequia de G. U. 23
39	Sobre 25	Estructura	Fondo del partidor E de la acequia de G.U. 23
40	Sobre 25	Estructura	Extremo W del partidor S de la acequia de G.U. 23
41	Sobre 25	Estructura	Fondo del partidor S de la acequia de G.U. 23
42	Sobre 25	Estructura	Muro W de la acequia de G.U. 23
43	Sobre 25	Estructura	Muro E de la acequia de G.U. 23, que llega hasta el extremo del partidor UE 38
44	Sobre 25	Estructura	Resto de muro que continúa otro ramal de la acequia de G.U. 23, a continuación de UE 37
45	Sobre 25	Estructura	Resto de muro que continúa otro ramal de la acequia de G.U. 23, a continuación de UE 38
46	Sobre 25	Estructura	Tramo de muro de la acequia de G.U. 23 que continúa al muro UE 43 tras la UE 37
47	Sobre 25	Estructura	Tramo de muro de la acequia de G.U. 23 al S del partidor UE 40
48	27W	Estrato	Estrato de tierra marrón pardo, recortado por la fosa UE 31 y cubierto por la UE 17
49	24A	Estrato	Estrato gris con piedras y cerámica. Igualado a UE 20
50	Sobre 25	Estrato	Estrato ceniciento de tendencia horizontal bajo pavimento UE 26
51	Sobre 25	Estructura	Estructura cuadrangular realizada con piedras irregulares, sobre UE 52
52	Sobre 25	Estrato	Estrato de cal disgregada, de tendencia horizontal, sobre UE 50
53	Sobre 25	Estrato	Nivel de tierra de cultivo que colmata todo el corte. Recortado por fosa UE 6
54	24A	Estrato	Estrato gris arcilloso con piedras, bajo UE 20. Relleno fosa
55	24A	Estrato	Estrato arcilloso verde cortado por UE 36 (fin de la fosa)
56	Sobre 25	Estrato	Estrato con gravas bajo UUEE 35 y 53. Ocupa todo el corte
57	Sobre 25	Interfaz	Recorte sobre UE 56 para encajar el canal de G.U. 23
58	27W	Estrato	Estrato de tierra marrón amarillenta bajo UE 11, rellenando a UE 59
59	27W	Interfaz	Recorte en el pavimento UE 11, relleno por UE 58
60	28	Estrato	Acumulación de piedras contra muro UE 3304. Posible derrumbe del mismo
61	Sobre 25	Interfaz	Recorte en UE 56 para hincar el partidor UE 37
62	Sobre 25	Interfaz	Recorte en UE 56 para hincar el partidor UE 38
63	Sobre 25	Interfaz	Recorte en UE 56 para hincar el partidor UE 40
64	28	Interfaz	Recorte practicado en la parte superior del muro UE 3304, destruyendo parte de la exedra
65	28	Interfaz	Relleno del recorte UE 64
66	25	Estrato	Acumulación de piedras ¿derrumbe? que se apoya en el muro UE 67
67	25/28	Muro	Muro orientación W-E que traba con UE 3304 y separa a los Amb 25 y 28. Su cara interna (Amb 28) traza un recorrido curvo
68	28	Estrato	Estrato grisáceo con abundante presencia de material constructivo

69	29	Estrato	Estrato grisáceo con presencia de escoria de metal
70	25	Estrato	Estrato arenoso (mortero disgregado) que continúa hacia el E el recorrido del muro UE 67
71	28	Estrato	Acumulación de paleocharcos, dentro de la exedra. Se apoya en 60 y en 68
72	29	Estrato	Estrato de tierra naranja, con presencia de ladrillo y adobes
73	29	Estructura	Pilar (jamba) que sobresale del muro UE 3304 en dirección E-W
74	11W	Muro	Muro W de posible canalización
75	24B	Estrato	Capa de tierra y restos cerámicos, cenizas y material de construcción rellenando fosa UE 8, bajo UE 5
76	Sobre 25	Estrato	Estrato de cal muy disgregada. Situado entre pavimento UE 26, acequia de G.U. 23 y la UE 52. Sobre UE 53
77	28	Estructura	Enlucido que reviste la cara externa del muro de UE 3304
78	11W	Muro	Muro E de posible canalización
79	11W	Estrato	Relleno entre las UUEE 74 y 78
80	11W	Estrato	Capa de tierra de tonalidad oscura y suelta al W de UE 74
81	11W	Estrato	Estrato de tierra gris oscuro en la zona SE del corte. Posible relleno de fosa
82	11W	Estrato	Estrato de tierra gris oscura en la zona NE del corte. Posible relleno de fosa
83	11W	Muro	Muro de mampostería en piedra caliza, situado al N-NE del corte
84	11W	Estrato	Estrato de tierra gris, compactada y con piedras
85	29	Estructura	Nivel de tierra y acumulación de fragmentos de enlucido parietal
86	25	Estrato	Acumulación de mortero disgregado y de fragmentos de estuco bajo UE 94
87	28	Estructura	Enlucido de estuco en la cara del muro UE 67, hacia el vano
88	28	Estructura	Enlucido de estuco en la cara del muro 89, hacia el vano
89	25/28	Muro	Muro bajo UE 70 que conforma el extremo E del Amb 28. Un tramo continúa el recorrido E-W del muro 67 antes de hacer ángulo en dirección N-S
90	28	Estrato	Estrato de mortero disgregado y revuelto sobre el muro 89
91	25	Estrato	Derrumbe de mortero bajo UE 68 y al NE del muro 3304
92	25	Estructura	Enlucido de estuco en el muro UE 3304 en el ángulo con el muro UE 67
93	25	Estructura	Enlucido de estuco sobre el muro UE 67 en el ángulo con el muro UE 3304
94	25	Estrato	Estrato ataludado cortado por fosa UE 6. Bajo UE 56. Posible derrumbe
95	25	Estrato	Nivel de derrumbe apoyado contra el muro UE 67
96	11W	Estrato	Estrato de tierra marrón claro, bajo UE 82, rellenando a la fosa UE 97
97	11W	Estrato	Fosa rellena por UE 96 y 82
98	29	Interfaz	Fosa que recorta a la UE 72
99	29	Estrato	Relleno de la fosa UE 98
100	29	Interfaz	Interfaz que recorta la UE 85 y rellenada por UE 69
101	11W	Estrato	Estrato de tierra marrón grisáceo bajo UE 1 en la zona SE del corte

102	25	Estrato	Estrato de tierra amarillenta y arenosa, con gran cantidad de enlucidos, bajo UE 94
105	11W	Estrato	Estrato de tierra marrón amarillenta en el fondo de la fosa UE 106
106	11W	Estrato	Recorte-fosa de tendencia ovalada relleno por la UE 81
107	3/4/5	Estrato	Estrato que cubre la cresta de los muros UUEE 3008, 3003 y 3001. Compuesto por tierra suelta de color castaño y piedras de pequeño tamaño
108	5	Estrato	Estrato de tierra anaranjada apelmazada sobre muro UE 3001. Cubre a UE 117
109	28	Estrato	Acumulación de piedras que se apoya en la cara W de UE 74
110	24A	Estrato	Tierra compacta amarillenta sin fragmentos cerámicos. Bajo UE 3
111	24A	Interfaz	Fosa que recorta a UE 110 para apoyar o cimentar muro UE 4
112	30	Estrato	Nivel de tierra parduzca sin material arqueológico que se apoya en la cara E de la UE 89
113	28/29	Muro	Muro dirección E-W que separa los Amb 28 y 29
114	29	Estrato	Nivel de tierra bajo UE 85 y contra la cara N del muro UE 113
115	28	Estrato	Cúmulo de piedras apoyado en la cara S del muro UE 113
116	25	Estrato	Nivel de tierra con material de construcción que colmata el Amb 25, bajo UE 102
117	5	Estrato	Estrato compacto de tierra color castaño con piedras de pequeño tamaño bajo UE 108
118	28	Estrato	Estrato de tendencia horizontal bajo UE 68
119	24B	Estrato	Estrato de tierra bajo UE 5 que se apoya en UE 75, en el interior de la fosa UE 8
120	11W	Estructura	Nivel de pavimentación
121	11W	Estructura	Nivel de pavimento bajo UE 120
122	25	Estrato	Estrato compacto de tonalidad anaranjada en el extremo N que apoya contra el muro UE 67 bajo UE 95
123	29N	Estrato	Colmatación de piedras al N del muro UE 3304
124	11W	Estrato	Estrato de tierra marrón anaranjada bajo UE 122 y UE 184
125	29N	Estrato	Estrato de tierra marrón (zahorra) bajo UE 123
126	29N	Estrato	Tierra de tonalidad cenicienta que rellena a UE 128
127	29N	Estrato	Nivel de tierra, gravas y mortero disgregado recortado por UE 128. Bajo UE 123
128	29N	Interfaz	Fosa que recorta a UUEE 125, 127 y 144
129	29N	Muro	Muro adosado al muro UE 3304. Posible hornacina
130	25	Estructura	Pavimento del Amb 25, bajo UE 116
131	25	Estructura	Media caña hidráulica en el extremo SW del Amb 25
132	25	Estructura	Media caña hidráulica en el extremo NW del Amb 25
133	25	Estructura	Media caña hidráulica en el extremo N del Amb 25, adosada a la UE 67
134	25	Estructura	Posible escalón de acceso al Amb 28 desde el Amb 25, bajo el umbral UE 135
135	25	Estructura	Umbral que comunica al Amb 25 con el 28. Cubierto por UE 66 y sobre UE 134
136	25	Interfaz	Fosa que recorta a UE 130 en el extremo N del Amb 25. Rellena por UE 122

137	25S	Estrato	Tierra anaranjada con escaso material arqueológico que cubre al muro que delimita el extremo S del Amb 25
138	28	Estructura	Enlucidos que revisten la cara W del muro UE 89
139	29	Interfaz	Interfaz que recorta a la UE 114. Relleno por UE 140. Al N del muro UE 113
140	29	Estrato	Relleno de la interfaz 139. Apoya contra el muro UE 113 por el N
141	28	Interfaz	Recorte practicado a la UE 118, relleno por UE 115. Al S del muro UE 113
142	28/29	Estrato	Estrato de tierra que colmata el extremo W de la fosa de UE 139/141
143	29N	Estrato	Nivel compuesto por tierra grisácea de textura arcillosa, con fragmentos de ladrillo y de estuco
144	29N	Muro	3304
145	29N	Estrato	Nivel de textura arenosa
146	24B	Estrato	Estrato de adobes compactados bajo UUEE 75 y 119
147	25	Estructura	Base de piedra con perforación vertical. En el extremo NW del Amb 25
148	25	Estrato	Relleno de la UE 147
149	25	Estrato	Estrato que colmata la fosa UE 150, en el ángulo NE del Amb 25
150	25	Interfaz	Recorte practicado en el ángulo NE del Amb 25, en el pavimento UE 130
151	25	Estructura	Canal construido en el pavimento UE 130
152	25	Estrato	Relleno del canal UE 151
153	25	Estrato	Estrato en talud que desciende en sentido N-S, de tonalidad amarillenta, que cubre parcialmente al pavimento UE 130 y se apoya en el muro UE 189
154	25	Estrato	Estrato en talud que desciende en sentido S-N, formado por tierra y piedras. Cubre parcialmente al pavimento UE 130 y se apoya en la cara N del muro UE 209
155	25	Estructura	Media caña hidráulica con orientación W-E que delimita el extremo S del Amb. 25
156	25	Estructura	Estructura circular sobre el pavimento UE 130. Conectada al canal UE 152. Posible base original del <i>labrum</i>
157	25	Estructura	Canal que une la estructura circular UE 156 con la toma de agua UE 147. Construido en pavimento UE 130
158	28	Estrato	Estrato de tendencia horizontal bajo UE 118. Cubre parcialmente a UE 160. Posible nivel de paso
159	28	Estructura	Media caña hidráulica que bordea la exedra del muro UE 3304
160	28	Estructura	Resto de pavimento de <i>o. signinum</i> bajo UUEE 118 y 158
161	25	Estructura	Estructura circular sobre pavimento UE 130. Posible segunda ubicación del <i>labrum</i>
162	28	Estrato	Nivel de tendencia horizontal bajo UE 158
163	28	Estructura	Nivel horizontal de <i>o. signinum</i> entre muros UUEE 73 y 113 (vano)
164	28	Estructura	Losas bajo UE 163, entre muros UUEE 73 y 113 (vano)
165	25	Elemento	Fragmentos de pavimento que forman parte del vertido UE 116

166	11W	Estrato	Nivel de pavimento formado por abundante cal amarillenta, pequeñas piedras y cerámica
167	2	Interfaz	Interfaz que marca el límite de las excavaciones Ramos
168	2	Estrato	Estrato de tendencia horizontal en el canal al W del Amb. 2
169	11W	Estrato	Estrato de tierra gris que rellena una fosa que recorta el corte en dirección N-S
170	11W	Estrato	Fosa longitudinal que cruza el corte en dirección N-S, rellena por UE 169
171	11W	Estrato	Estrato de tierra gris que rellena una pequeña fosa en la zona N del corte, rompiendo el pavimento UE 121
172	11W	Estrato	Fosa que vemos parcialmente en la zona N del corte, rompiendo UE 121 y rellena por UE 171
173	25	Elemento	Restos humanos dentro de la UE 193, sobre el canal que delimita el extremo S del Amb. 25
175	28E	Estrato	Acumulación de tierra y piedras entre la cara E del muro UE 89 y el límite del corte, bajo UE 53. Se le apoya UE 112
176	4	Estrato	Relleno de la interfaz UE 177. Excavaciones de las campañas Ramos
177	4	Interfaz	Interfaz realizada en las excavaciones de las campañas Ramos
178	4	Estructura	Cimentación del muro S del G.U. 3007, sobre UE 206
179	4	Estrato	Estrato de tierra anaranjada junto a los muros UUEE 3008 y 3003, al N del Amb. 4
180	25	Interfaz	Recorte practicado en la UE 53 con el fin de instalar la acequia de UE 23.
181	4	Muro	Muro bajo el muro UE 185
182	11W	Estrato	Estrato de tierra marrón pardo con abundante material de construcción, bajo UUEE 101 y 84
183	11W	Estrato	Estrato de tierra marrón oscuro, poco compacta, bajo UE 166 (su preparación)
184	11W	Estrato	Estrato de tierra marrón oscuro tendente al negro, bajo UUEE 182 y 183
185	4	Muro	Muro de orientación N-S sobre muro UE 181, al E del Amb. 4
186	4	Muro	Muro de orientación W-E al N del Amb. 4 ¿trabado? al muro UE 185
187	25	Estructura	Media caña hidráulica que delimita el extremo NE del Amb. 25. Se adosa al muro UE 193
188	25	Estructura	Media caña hidráulica que delimita el extremo E del Amb. 25. Se adosa a UUEE 189, 190 y 191
189	25	Estructura	Muro de orientación N-S que delimita el Amb. 25 en su extremo E
190	25	Estructura	Revestimiento de ladrillo sobre la cara externa del muro UE 189, en el extremo E del Amb. 25. Se adosa a UE 191
191	25	Estructura	Revestimiento de mármol sobre la cara externa del muro UE 189, en el extremo E del Amb. 25. Se le adosa UE 190
192	25/28	Muro	Muro de orientación E-W al E del vano UE 135. Cubierto por muro UE 89
193	25	Estrato	Relleno de la interfaz UE 194, en cuyo interior se encuentran los restos humanos UE 173

194	25	Interfaz	Fosa bajo UE 116 que recorta a UE 154. Rellena por UE 193
195	25	Estrato	Relleno del canal que conforman las UUEE 209 y 3213
196	28	Estrato	Estrato de tendencia ataludada que desciende en sentido E-W, de tonalidad amarillenta y textura granulosa. Bajo UE 162
197	28	Interfaz	Recorte en el Amb. 28 que rompe el mosaico
198	28	Estructura	Pavimento de mosaico cortado por la interfaz UE 197
199	28	Estrato	Nivel de cantos bajo UE 162 y sobre mosaico UE 198, junto al vano UE 135
200	4	Estructura	Estructura de tendencia horizontal realizada con cantos rodados. Al E del Amb. 4, bajo el muro UE 181
201	4	Muro	Muro de orientación NW-SE bajo la UE 176, al E del Amb. 4 y bajo el muro UE 185
202	28	Estrato	Tierra cenicienta con huesos que rellena la fosa UE 197. Bajo UE 162
203	28	Estructura	Mosaico bajo UE 199, en el extremo W del Amb. 28. Cortado por UE 197
204	4	Estrato	Estrato de tierra apelmazada de tonalidad castaño oscuro. Situada entre los muros UUEE 181 (E), 201 (N) y 3006 (S). Relleno de la interfaz 177, bajo UE 176
205	4	Estructura	Cimentación del muro N del G.U. 3007, bajo el alzado de <i>o. africanum</i>
206	4	Estrato	Estrato castaño con inclusiones de cal bajo la cimentación de UE 206
207	4	Estrato	Estrato de tierra castaña, apelmazada y compacta, bajo UE 206
208	4	Muro	Muro bajo el muro UE 181 ¿fundación?
209	25	Muro	Muro de orientación N-S que recrece la media caña UE 155 para formar un canal
210	28	Estrato	Estrato compacto de tonalidad marrón. Situado en el ángulo NE del Amb. 28
211	28/29	Estructura	Orificio cuadrangular en el extremo W del muro UE 113
212	28/29	Estructura	Orificio cuadrangular en la parte central del muro UE 113
213	28/29	Estructura	Orificio cuadrangular en la parte E del muro UE 113
214	4	Estrato	Estrato de cal al N del Amb. 4, junto a los muros UUEE 215 y 179
215	4	Estructura	Estructura de cantos rodados de tendencia horizontal al N del Amb. 4, junto a los muros UUEE 186 y 179
216	4	Estructura	Acumulación de piedras al E del Amb. 4, junto a la fundación UE 180
217	4	Muro	Muro de orientación NW-SE al N del Amb. 4. Traba con el muro UE 218
218	4	Muro	Muro de orientación NE-SW al N del Amb. 4. Traba con el muro UE 217
219	11W	Estrato	Pavimento de tierra marrón con pequeños cantos rodados y fragmentos de cerámica bajo UUEE 184 y 185
220	28	Estructura	Restos de pavimento de <i>o. signinum</i> sobre el pavimento anterior (UE 160)
221	28	Estrato	Estrato con abundante presencia de teselas bajo UE 196

222	28	Interfaz	Pequeña fosa sin material y de escasa profundidad que corta a UE 221
223	28	Estrato	Relleno de la fosa UE 222, compuesto por tierra arcillosa de tonalidad marrón oscuro
224	11W	Estrato	Estrato de tierra marrón anaranjado bajo el pavimento UE 219
225	4	Estrato	Estrato de tendencia horizontal junto a los muros UUEE 217 y 218. Sobre UE 226
226	4	Estructura	Posible pavimento al NE del Amb. 4, entre los muros UUEE 217, 218 y 227
227	5	Muro	Muro de orientación NE-SW bajo UE 176, al E del Amb. 4
228	4	Muro	Continuación del muro UE 217 a partir de su extremo E
229	4	Estructura	Estructura horizontal de orientación W-E bajo muro UE 186
230	4	Estructura	Media caña de orientación NE-SW que se adosa a muro UE 218
231	4	Estructura	Media caña de orientación NE-SW que se adosa al muro UE 227
232	4	Estructura	Media caña adosada a los muros UUEE 217 y 228
233	4	Estrato	Acumulación de piedras junto al muro UE 217, al N
234	4	Estrato	Estrato de tendencia horizontal bajo UE 176. Compuesto por tierra castaña clara de tonalidad arcillosa, en la esquina NE del Amb. 4
235	24B	Estrato	Estrato de tierra arcillosa con gran cantidad de materiales arqueológicos (cerámica, fauna, malacofauna...) bajo UE 5
236	28	Estructura	Pila de hipocausto en posición B4. Ladrillos circulares
237	28	Estructura	Pila de hipocausto en posición B2. Ladrillos circulares
238	28	Estructura	Pila de hipocausto en posición C5. Ladrillos cuadrados
239	28	Estructura	Pila de hipocausto en posición C4. Ladrillos cuadrados
240	28	Estructura	Pila de hipocausto en posición C3. Ladrillos cuadrados
241	28	Estructura	Pila de hipocausto en posición C1. Ladrillos cuadrados
242	28	Estructura	Pila de hipocausto en posición D5. Ladrillos cuadrados
243	28	Estructura	Pila de hipocausto en posición D3. Ladrillos cuadrados
244	28	Estructura	Pila de hipocausto en posición E5. Ladrillos cuadrados
245	28	Estructura	Pila de hipocausto en posición E4. Ladrillos cuadrados
246	28	Estructura	Pila de hipocausto en posición E3. Ladrillos cuadrados
247	28	Estructura	Pila de hipocausto en posición E3. Ladrillos cuadrados
248	28	Estructura	Pila de hipocausto en posición E4. Ladrillos cuadrados
249	28	Estructura	Pila de hipocausto en posición E5. Ladrillos cuadrados
250	28	Estructura	Estructura cuadrangular de <i>o. signinum</i> entre los muros UUEE 192 y 67, junto al mosaico UE 203. Posible jamba de un vano
251	28	Estructura	Pila de hipocausto en posición B3. Ladrillos cuadrados.
252	28	Estrato	Estrato de tierra de tonalidad amarillenta y textura arenosa que cubre parcialmente al mosaico UE 203 y que se apoya en UE 250. Cubierta por el umbral UE 135.
253	28	Estrato	Estrato de tierra de tono ceniciento que colmata el Amb. 28, apoyándose en las <i>pilae</i> del hipocausto. Cubierto por UE 221
254	30	Estrato	Estrato bajo UE 112 al E del muro UE 89
255	28	Estructura	Pila de hipocausto en posición A1. Ladrillos circulares.

256	28	Estructura	Pila de hipocausto en posición B1. Ladrillos circulares.
257	28	Estructura	Pila de hipocausto en posición C2. Ladrillos cuadrados
258	29N	Muro	Muro de orientación W-E que traba con el muro UE 3304 y que delimita las termas en su extremo NW
259	28	Estructura	Pila de hipocausto de ladrillos cuadrados en posición E6.
260	28	Estructura	Pila de hipocausto en posición D4. Ladrillos cuadrados
261	25	Interfaz	Recorte circular practicado en el ángulo SW del pavimento UE 130
262	25	Estrato	Relleno de la interfaz UE 261
263	25	Interfaz	Recorte circular al E de la interfaz UE 261 practicado en el pavimento UE 130
264	25	Estrato	Relleno de la interfaz UE 263, con alta presencia de cenizas
265	25	Interfaz	Recorte de forma circular practicado en el pavimento UE 130, en el centro del Amb. 25
266	25	Estrato	Relleno de la fosa UE 265
267	28	Estructura	Pila de hipocausto en posición D2. Ladrillos cuadrados
268	28	Estructura	Pila de hipocausto en posición D1. Ladrillos cuadrados
269	28	Estructura	Pila de hipocausto en posición E2. Ladrillos cuadrados
270	28	Estructura	Pila de hipocausto en posición E1. Ladrillos cuadrados
271	24B	Estrato	Estrato estéril bajo UE 235
272	24B	Estrato	Estrato de tierra compacta, grisácea, con material arqueológico, que cubre a UE 235
273	24B	Estrato	Estrato de tierra que encontramos entre UE 4 y la cloaca. Posible relleno de la fosa de la cloaca
274	29N	Muro	Muro que traba con el muro UE 129
275	28	Estructura	Pila de hipocausto en posición F4. Ladrillos cuadrados
276	28	Estructura	Pila de hipocausto en posición G4. Ladrillos circulares
277	28	Estructura	Pila de hipocausto en posición G3. Ladrillos circulares
278	28	Estructura	Pila de hipocausto en posición G2. Ladrillos circulares
279	28	Estructura	Pila de hipocausto en posición G1. Ladrillos circulares
280	28	Estructura	Pila de hipocausto en posición H2. Ladrillos circulares
281	28	Estructura	Pila de hipocausto en posición H1. Ladrillos circulares
282	28	Estructura	Fondo del hipocausto, de <i>opus signinum</i>
283	4	Estructura	Pavimento de cal junto a G.U. 3003
284	4	Estructura	Pavimento de cal bajo UE 283
285	4	Estrato	Estrato de color castaño con presencia de piedras bajo UE 179
286	4	Estrato	Estrato de color anaranjado sobre UE 284 y sobre UE 179
287	28E	Estructura	Alineación de mortero y piedras en la base del muro UE 189. Posible zapata o media caña
288	28E	Estructura	Estructura de piedra y mortero que continúa el muro UE 67-89, haciendo ángulo NE con UE 189
289	¿?	Estrato	Limpieza superficial del muro de UE 4033.
290	25	Elemento	Fragmentos de <i>labrum</i> hallados en el interior de la UE 122.
291	27W	Estructura	Pavimento.
292	27W	Interfaz	Interfaz rellena por UUEE 81, 82 y 84
293	25	Estructura	Muro de orientación N-S con la misma orientación que el muro de UE 3304. Junto a él flanquean al umbral de UE 3215 y delimita el extremo W del Ambiente 25

294	28	Grupo UUEE	Conjunto de <i>pilae</i> que conforman el hipocausto del Ambiente 28
295	28	Estructura	Resto de pavimento de mosaico que arranca de la cara W del muro UE 89. Cortado por interfaz UE 197
296	11W	Estructura	Umbral con orientación N-S bajo los muros UE 297 y UE 299
297	11W	Estructura	Muro de E-W que imbrica al sur con el muro que delimita el Ambiente 11 en el extremo occidental de este.
298	11W	Estructura	Muro con orientación E-W, continuación del muro que delimita en el extremo occidental del Ambiente 11 (por definir), y al que se le apoya el muro UE 299
299	11W	Estructura	Muro con orientación N-S, sobre el umbral UE 296, y que se apoya en la cara sur del muro UE 298.
300	11W	Estructura	Muro en el mismo eje de orientación que el muro UE 299, con la misma orientación y sobre el extremo sur del umbral UE 296
301	11W	Estructura	Muro con orientación N-S, posible continuación del muro UE 28 (Ambiente 27W), que presenta en su extremo sur un sillar a modo de esquina roma o cantonera
2018			
302	13	Estrato	Estrato de tierra marrón claro bajo UE 1
303	5	Grupo UUEE	Pavimento en Ambiente 5, entre los muros UUEE 185 y 186 y los GU 3085, 3086, 3088 y 3010
304	5	Estructura	Capa superior del pavimento GU 303, formado por cal y grava
305	5	Estructura	Capa de <i>rudus</i> de UE 303 formada por cantos rodados
306	5	Interfaz	Fosa de fundación de UE 3089
307	5	Estrato	Relleno de fosa UE 306 donde se cimenta UE 3089, con piedras, cantos redondos y tierra
308	5	Estrato	Relleno de fosa de UE 309 donde se cimenta UE 3090, con cantos rodados, piedras y tierra
309	5	Interfaz	Fosa de fundación de UE 3090, relleno por UE 308
310	13	Estrato	Estrato de tierra marrón oscuro con piedras de tamaño mediano bajo UE 302. Posible derrumbe del muro de UE 23
311	12	Estrato	Estrato de tierra marrón oscuro con algún canto rodado, rellenando a fosa de UE 312
312	12	Interfaz	Fosa de tendencia circular, rellena por UE 311, que recorta a los pavimentos UUEE 120 y 121
313	12/13	Estrato	Estrato de tierra marrón anaranjado bajo UE 302, cubriendo a UE 310
314	Sobre Ambientes 24/29	Estrato	Nivel de tierra y cantos rodados que desciende en talud en sentido E-W. Se apoya contra las caras N de los muros UUEE 258 y 343
315	5	Estrato	Estrato de tierra bajo el <i>rudus</i> UE 305, en el pavimento GU 303
316	5	Estrato	Estrato de tierra marrón oscuro bajo UE 305, en la esquina SW del Ambiente 5, rellenando a UE 317

317	5	Estructura	Espacio rectangular realizado con <i>o. caementicium</i> a modo de cubeta amortizado por el <i>rudus</i> UE 305 y relleno por UE 316. Orientación W-S
318	30	Estructura	Estructura adosada a UE 187 que delimita el acceso al Ambiente 30 desde el S
319	30	Estrato	Estrato de tierra compacto con abundantes restos de cal y piedra que se extiende por toda la superficie del Ambiente 30, bajo UE 254
320	30	Estructura	Enlucido que reviste la cara E de UE 89, visible tras excavar UE 254
321	30	Interfaz	Recorte practicado en el pavimento original del Ambiente
322	30	Estrato	Igual a UE 325
323	30	Estructura	Canal adosado a UE 288, relleno por UE 324
324	30	Estrato	Relleno de UE 323
325	30	Estrato	Nivel de colmatación que aparece tras excavar UE 319 y que se extiende por todo el Ambiente 30. Tonalidad anaranjada y concentración de piedras y cal
326	12	Estrato	Estrato de fundación horizontal color marrón oscuro con parte de su superficie anaranjada y con fragmentos de adobes. Bajo UE 313
327	11/12	Estrato	Estrato formado por tierra marrón claro y abundantes fragmentos de cal sobre los muros W y S del Ambiente 12, bajo UE 313
328	11	Estrato	Estrato de tierra marrón oscuro con abundante presencia de carbones, bajo UE 101
329	30	Estructura	Media caña y pavimento en el interior del Ambiente 30, bajo UE 325
330	30	Estructura	Sobre UE 329 y adosado a UE 288. Estructura de cal y piedras, interpretada como la cama de un escalón ya perdido
331	30	Estructura	Situado al E del Ambiente 30, bajo UE 325. Estructura de piedras trabadas con mortero de cal
332	30	Estructura	Pavimento y media caña hidráulica en el extremo N del Ambiente 30. Sobre ella se documentó una olla
333	30	Estrato	Derrumbe de piedras que se apoya en UE 331, bajo UE 325
334	29	Interfaz	Recorte practicado al pavimento UE 486 para emplear el hipocausto como un basurero
335	30	Estrato	Estrato con abundante piedra situado al N del Ambiente 30, bajo UE 325
336	5	Estrato	Estrato de tierra y grava amarillenta en el interior del GU 337
337	5	Grupo UUEE	Balsa de orientación NE-SW debajo del pavimento GU 303
338	5	Muro	Muro S de la balsa GU 337
339	5	Interfaz	Interfaz de destrucción de GU 337
340	5	Estructura	Escalón en Ambiente 5 debajo de GU 303
341	30	Estrato	Estrato de tierra compacta de tonalidad marrón oscuro bajo UE 335
342	30	Estructura	Bajo UE 335. Nivel de mortero de cal. Forma ángulo recto con el muro UE 89. Posible nivel de pavimento original del Ambiente 30

343	29	Muro	Tramo de muro de orientación E-W, perpendicular a muro UE 144, con el que traba en ángulo recto. Límite N del Ambiente 29
344	24	Estrato	Estrato de piedras y tierra que desciende en talud en sentido N-S y que se apoya en los muros UUEE 343 y 258. Cubre a UE 346
345	24	Interfaz	Equivale a UE 128. Recorte practicado en el Ambiente 24 y que es rellenado por UE 346
346	24	Estrato	Tierra disgregada y cenicienta que rellena la fosa UE 345. Equivale a UE 126. Posible basurero
347	11W	Estrato	Relleno de tierra marrón claro con fragmentos de enlucido bajo UE 169
348	11W	Estrato	Relleno de tierra marrón oscuro en la fosa UE 349
349	11W	Interfaz	Recorte en la zona W del corte, cortando a los pavimentos UUEE 120, 121 y 166
350	29	Interfaz	Fosa que recorta a UE 85 en el extremo NW del Ambiente 29. Equivale a UE 128
351	29	Estrato	Nivel de tierra disgregada y de textura cenicienta que colmata a UE 350. Equivale a UE 126
352	5	Estrato	Nivel de tierra, grava, piedra y cal debajo de UE 315
353	5	Estrato	Estrato de tierra y cal de tendencia horizontal bajo UE 315 (¿y 352?)
354	5	Estrato	Estrato claro de tierra y cal compacta en el interior de GU 337, similar a 353
355	29	Estrato	Nivel de tendencia horizontal de tierra disgregada y de tonalidad castaña clara. En el ángulo entre los muros 3304 y 144, sobre 357 y 356
356	29	Estrato	Nivel de tierra y material constructivo que colmata el espacio comprendido entre los muros UUEE 3304, 144 y 343. Recortado por UE 128
357	29	Estrato	Nivel de tierra anaranjada de tendencia horizontal, parcialmente cubierto por UE 355
358	29	Muro	Muro de orientación NE-SW que cierra el Ambiente 29 en su extremo E
359	5	Estrato	Estrato de argamasa y piedra en el ángulo SW del Ambiente 5. Posiblemente igual a 340
360	11W	Estrato	Estrato de tierra gris-marrón no muy compacto, bajo UE 166
361	11W	Estrato	Estrato de tierra marrón-gris y de textura poco compacta, bajo UE 166
362	29	Estrato	Nivel ceniciento de tendencia horizontal bajo UUEE 355 y 357, apoyado contra 356 en el ángulo que forman los muros UUEE 3304 y 144
363	24	Estructura	Pavimento de <i>opus caementicium</i> en el extremo E del Ambiente 24 contra el ángulo de los muros UUEE 258 y 144. Cubre a la media caña que bordea el exterior del Ambiente 4
364	5	Estrato	Estrato de tierra amarillenta y textura suelta, diferenciable del resto de estratos
365	29	Estrato	Estrato de tierra marrón oscuro-gris con abundante presencia de piedra trabajada (de estructuras) situado

			entre los muros de UUEE 144 y 3304. Cubre parcialmente a UE 356
366	29	Elemento	Fragmento de pedestal en el interior de UE 365
367	30	Estrato	Nivel ceniciento de tendencia horizontal que se apoya contra el muro de UE 89, bajo UE 341
368	11W	Estructura	Nivel de pavimento con pequeños cantos rodados bajo UE 360
369	29	Estructura	Paquete de barro endurecido con orientación NE-SW bajo UE 72, paralelo a UE 370
370	29	Estructura	Paquete de barro endurecido bajo UE 72, paralelo a UE 369
371	29	Estrato	Nivel de tierra de tonalidad cenicienta comprendida entre 369 y 370. Posible basurero
372	29	Estrato	Estrato arcilloso de tonalidad castaña-amarillenta que se extiende por todo el Ambiente, bajo UE 356, 85 y 72
373	29	Interfaz	Recorte practicado en UE 372 a modo de fosa en el extremo W del Ambiente
374	29	Estrato	Tierra de tonalidad marrón con material constructivo, piedra y enlucido que rellena UE 373, bajo UE 356
375	24	Estrato	Paquete de tierra arcillosa entre 377 y la cara W de 258, de color castaño oscuro
376	24	Estrato	Paquete de tierra arcillosa y tonalidad castaña clara que se apoya sobre 377
377	24	Estrato	Paquete de tierra con piedras de tamaño medio, sobre 378 y entre 375 y 376
378	24	Estrato	Línea de cantos rodados bajo UUEE 377 y 375
379	24	Estrato	Paquete de tierra arcillosa color castaño oscuro bajo UUEE 378 y 376
380	11W	Estrato	Nivel de pavimento a la misma cota superior que pavimento UE 368, en la zona E del corte, bajo UE 361
381	11W	Estrato	Estrato de tierra marrón anaranjado y ligeramente compacta, similar (y podría ser igual) a UE 348
382	11W	Estrato	Estrato de tonalidad marrón claro bajo UE 169, en el extremo S del corte
383	5	Estrato	Estrato de tierra compacta (posible adobe) sin apenas material arqueológico sobre el que se ha excavado la fosa o hueco de la balsa GU 337
384	5	Estructura	Pavimento de cantos rodados de pequeño tamaño debajo de UE 315 roto por la fosa UE 385
385	5	Interfaz	Fosa rellena de restos de basura (UE 353) en el lado N del Ambiente 5, entre la balsa GU 337 y la escalera
386	5	Estructura	Solera de cimentación del muro UE 185 sobre muro UE 387 en el interior del Ambiente 5, entre UUEE 185 y 186
387	5	Muro	Muro de piedra debajo de las estructuras del pavimento de UUEE 303, 305 y 318, con orientación SW-NE
388	5	Interfaz	Interfaz de recorte en la que se construye la balsa GU 337
389	11W	Estructura	Grupo de piedras que cubre la zona superior de la cloaca. Cubierta por UE 368
390	11W	Estrato	Estrato de tierra suelta de tonalidad marrón oscuro en el interior de la cloaca, cubriendo a UE 391

391	11W	Estrato	Estrato de tierra marrón oscuro, muy compacta, bajo UE 390, en el interior de la cloaca
392	11W	Estructura	Pared N del registro de la cloaca
393	11W	Estructura	Pared S del registro de la cloaca
394	11W	Estructura	Pared E del registro de la cloaca
395	11W	Estructura	Pared W del registro de la cloaca
396	11W	Estrato	Estrato de tierra marrón anaranjado bajo UE 368
397	29	Estrato	Bajo UE 372. Nivel horizontal arcilloso con presencia de cal y un escaso aporte de ceniza
398	29	Estrato	Bajo 372 y sobre 397. Nivel de tierra granulosa con restos de enlucidos en el extremo W del Ambiente 29
399	29	Estrato	Bajo UE 372 y sobre UE 397. Igual a UE 398, pero situada en el ángulo SE del Ambiente
400	29/31	Interfaz	Fosa de algarrobo. Corta la estratigrafía hasta el muro de UE 343
401	29/31	Estrato	Relleno de UE 400
402	29	Interfaz	Recorte en UE 397, relleno por UE 371
403	5	Estructura	Alineación de piedras E-W paralela al muro S del GU 337, dando forma a UE 383 (al S)
404	11W	Estrato	Estrato de tierra marrón claro con cal bajo UE 380 a modo de preparado
405	11W	Estrato	Estrato de tierra oscura amarillenta y muy suelta bajo UE 380 en su zona E
406	11W	Estrato	Estrato de tierra marrón oscuro bajo UE 380 que colmata el canal-cloaca que recorre el corte en dirección N-S
407	5	Estrato	Estrato de tierra al S del GU 337 (383) debajo de UE 403 y 383, sobre el pavimento UE 200
408	11W	Estrato	Estrato de tierra marrón grisácea, muy compacta, con cantos rodados, bajo pavimento de UE 368
409	24	Estrato	Nivel horizontal de tierra amarillenta y gravas bajo UE 377 y sobre UE 378
410	29	Interfaz	Orificio de la <i>concameratio</i> en la cara N del muro UE 3304, en posición B1
411	29	Interfaz	Orificio de la <i>concameratio</i> en la cara N del muro UE 3304, en posición C1
412	29	Interfaz	Orificio de la <i>concameratio</i> en la cara N del muro UE 3304, en posición B2
413	29	Interfaz	Orificio de la <i>concameratio</i> en la cara N del muro UE 3304, en posición C2
414	29	Interfaz	Orificio de la <i>concameratio</i> en la cara N del muro UE 3304, en posición A3
415	29	Interfaz	Orificio de la <i>concameratio</i> en la cara N del muro UE 3304, en posición B3
416	29	Interfaz	Orificio de la <i>concameratio</i> en la cara N del muro UE 3304, en posición C3
417	29	Interfaz	Orificio de la <i>concameratio</i> en la cara E del muro UE 144, en posición A1
418	29	Interfaz	Orificio de la <i>concameratio</i> en la cara E del muro UE 144, en posición B1

419	29	Interfaz	Orificio de la <i>concameratio</i> en la cara E del muro UE 144, en posición B8
420	29	Interfaz	Orificio de la <i>concameratio</i> en la cara E del muro UE 144, en posición C1
421	29	Interfaz	Orificio de la <i>concameratio</i> en la cara E del muro UE 144, en posición C2
422	29	Interfaz	Orificio de la <i>concameratio</i> en la cara E del muro UE 144, en posición C3
423	29	Interfaz	Orificio de la <i>concameratio</i> en la cara E del muro UE 144, en posición C4
424	29	Interfaz	Orificio de la <i>concameratio</i> en la cara E del muro UE 144, en posición C5
425	29	Interfaz	Orificio de la <i>concameratio</i> en la cara E del muro UE 144, en posición C6
426	29	Interfaz	Orificio de la <i>concameratio</i> en la cara E del muro UE 144, en posición C7
427	29	Interfaz	Orificio de la <i>concameratio</i> en la cara S del muro UE 343, en posición A1
428	29	Interfaz	Orificio de la <i>concameratio</i> en la cara S del muro UE 343, en posición B1
429	29	Interfaz	Orificio de la <i>concameratio</i> en la cara S del muro UE 343, en posición B2
430	29	Interfaz	Orificio de la <i>concameratio</i> en la cara S del muro UE 343, en posición C1
431	29	Interfaz	Orificio de la <i>concameratio</i> en la cara S del muro UE 343, en posición C3
432	29	Interfaz	Orificio de la <i>concameratio</i> en la cara S del muro UE 343, en posición C4
433	29	Interfaz	Orificio de la <i>concameratio</i> en la cara W del muro UE 358, en posición A1
434	29	Interfaz	Orificio de la <i>concameratio</i> en la cara W del muro UE 358, en posición A2
435	29	Estrato	Nivel ceniciento entre UUEE 369 y 370 (horno), bajo UE 371. Posible nivel de abandono del horno
436	29	Estrato	Nivel de tierra gris con material de construcción, piedra y cerámica que colmata el interior del hipocausto bajo UE 397
437	11W	Estrato	Estrato horizontal muy compacto con cantos redondos y cerámica. De similar morfología a UE 404. Bajo UE 408
438	11W	Estrato	Estrato de tierra marrón grisácea que rellena a UE 439, apoyándose en UE 437
439	11W	Interfaz	Recorte en UE 437, relleno por UE 438
440	11W	Estrato	Estrato de tierra marrón claro, muy suelta, rellenando el recorte UE 441. Cubierto por UE 380
441	11W	Interfaz	Recorte de forma ovalada en UE 404 relleno por UE 440
442	5	Estrato	Estrato de tierra con restos de adobe y materia orgánica con poca cerámica sobre el que se recorta la fosa UE 385
443	29	Estructura	Fondo del horno bajo el relleno de UE 435 y entre sus restos de alzando UUEE 369 y 370

444	5	Estrato	Nivel de tierra en el ángulo NW del Ambiente 5, bajo UE 285
445	5	Interfaz	Fosa de fundación del muro UE 387
446	5	Estrato	Relleno de la fosa UE 445
447	11W	Estrato	Estrato de tierra marrón anaranjado con piedras de tamaño mediano inmediatamente al W del pavimento de UE 219
448	11W	Estrato	Nivel horizontal (pavimento) con superficie de cal blanca, en la zona NE del corte
449	11W	Estrato	Estrato de tierra marrón blanquecina con nódulos de cal y grava sobre UE 437
450	11W	Estrato	Estrato de tierra marrón anaranjado con abundantes gravas y algunas piedras, bajo UE 447
451	11W	Estrato	Estrato de tierra marrón grisácea bajo UE 447 en la zona S del corte
452	11W	Estrato	Estrato de superficie horizontal muy arcilloso, marrón oscuro, con cantos rodados y cerámica, bajo UE 457
453	11W	Estrato	Estrato de tierra grisácea al W de UE 452, cubierto por UE 437
454	29	Estructura	Enlucido del muro UE 343
455	5	Estrato	Estrato de adobes en el ángulo NW del Ambiente 5, debajo de UUEE 179, 285 y 444
456	29	Estrato	Estrato ceniciento bajo UE 436 en el que empiezan a aflorar las <i>pilae</i> del hipocausto
457	29	Estructura	<i>Pila</i> de hipocausto en posición A1
458	29	Estructura	<i>Pila</i> de hipocausto en posición A2
459	29	Estructura	<i>Pila</i> de hipocausto en posición A3
460	29	Estructura	<i>Pila</i> de hipocausto en posición A4
461	29	Estructura	<i>Pila</i> de hipocausto en posición B1
462	29	Estructura	<i>Pila</i> de hipocausto en posición B2
463	29	Estructura	<i>Pila</i> de hipocausto en posición B3
464	29	Estructura	<i>Pila</i> de hipocausto en posición B4
465	29	Estructura	<i>Pila</i> de hipocausto en posición C2
466	29	Estructura	<i>Pila</i> de hipocausto en posición C3
467	29	Estructura	<i>Pila</i> de hipocausto en posición C4
468	29	Estructura	<i>Pila</i> de hipocausto en posición D2
469	29	Estructura	<i>Pila</i> de hipocausto en posición D3
470	29	Estructura	<i>Pila</i> de hipocausto en posición D4
471	29	Estructura	<i>Pila</i> de hipocausto en posición E4
472	29	Estructura	<i>Pila</i> de hipocausto en posición E9
473	29	Estructura	<i>Pila</i> de hipocausto en posición F5
474	29	Estructura	<i>Pila</i> de hipocausto en posición F6
475	29	Estructura	<i>Pila</i> de hipocausto en posición F7
476	29	Estructura	<i>Pila</i> de hipocausto en posición F8
477	29	Estructura	<i>Pila</i> de hipocausto en posición F9
478	29	Estructura	<i>Pila</i> de hipocausto en posición G7
479	29	Muro	Muro de orientación E-W en el extremo N del Ambiente 29. Igual a UE 343
480	29	Estructura	Arco que une a los muros UUEE 343 y 479
481	29	Estructura	Capa de ceniza que reviste al muro UE 144

482	29	Estructura	Capa de ceniza que reviste al muro UE 113
483	29	Estructura	Capa de ceniza que reviste al muro UE 343
484	29	Estructura	Capa de ceniza que reviste al muro UE 358
485	29	Estructura	Enlucido del muro UE 144
486	29	Estructura	Negativo de la presencia de un pavimento de mosaico en los muros que delimitan el Ambiente
487	31	Muro	Muro N-S que forma el ángulo SW del Ambiente 31 y que liga al W con UE 258
488	24C	Muro	Restos de muro en el perfil N del Ambiente 24C, compuesto por piedras de tamaño mediano alineadas E-W
489	24C/32	Muro	Sillar de esquina de los muros UUEE 490 y 493, en el Ambiente 32
490	32	Muro	Muro N-S al E del Ambiente 32
491	32	Muro	Muro E-W al N del Ambiente 32
492	32	Muro	Muro N-S al W del Ambiente 32
493	24C/32	Muro	Muro E-W al S del Ambiente 32
494	24C	Estructura	Nivel de cantos rodados para la cimentación del muro UE 493
495	24C	Estrato	Nivel de tierra debajo del muro UUEE 393 y 394
496	24C	Muro	Parte del muro W del Ambiente 24C formado por un gran sillar
497	24C	Estructura	Posible estructura de cimentación de un umbral con orientación E-W, formado por un muro de mortero y cal con superficie superior plana
498	24C	Estrato	Nivel de tierra sobre el muro UUEE 500, 496 y 499, debajo de UE 1
499	24C	Estrato	Nivel de tierra y piedras al E de UE 497 y debajo de UE 498
500	24C	Muro	Muro E-W de piedra y mortero al W del Ambiente 24C, debajo de UE 498
501	34	Muro	Muro N-S que hace esquina con UE 500 (formando un Ambiente nuevo pendiente de excavar) en su lado W
502	34	Interfaz	Interfaz de fosa que rompe el muro UUEE 504, 500 y 505, al N del Ambiente 24C
503	35	Estrato	Nivel de relleno de la fosa UE 502 formado por tierra gris con abundante material y restos orgánicos
504	24C	Estructura	Estructura restaurada entre los muros 500 y 505, que podría ser parte de un muro dañado por la fosa UE 502
505	24C	Muro	Muro de piedra E-W en línea al W de UUEE 504 y 500
506	24	Muro	Sillar del muro de UUEE 505, 507 y 508
507	24C	Muro	Muro de piedra al W de UE 505, formando el lado E del Ambiente
508	33/34	Muro	Muro N-S al N de UE 506 en el lado E del Ambiente 33
509	24C/33	Muro	Muro E-W de piedra y mortero al S del Ambiente 33
510	24C	Estructura	Cuarto de bocel en el lado N de la <i>natatio</i> (Ambiente 20), sobre pavimento de UE 512
511	24C	Estructura	Restos de piedras que ocupan el espacio entre UE 510 y el muro UE 500. Posible estructura (banco) adosada a muro UE 500
512	24C	Estructura	Pavimento de <i>opus signinum</i> en Ambiente 24C al norte del Ambiente 20 (<i>natatio</i>)

513	32	Estructura	Sillar de esquina entre muros UUEE 491 y 492
514	5	Estructura	Estructura de tierra con pocos materiales en el ángulo NW del Ambiente 5, debajo de UE 444
515	28/29	Estructura	Capa de mortero de cal horizontal que constituye el preparado sobre el que se asentaría el nivel de paso del vano que comunica a los Ambientes 28 y 29
516	29	Estructura	Fragmento de <i>clavus coctile</i> en el interior del orificio UE 416, en el muro UE 3304
517	29	Interfaz	Orificio de la <i>concameratio</i> en la cara W del muro UE 144, en posición C8
518	29	Estructura	Fragmento de <i>clavus coctile</i> en el interior del orificio UE 428, en el muro UE 343
519	29	Estructura	Fragmento de <i>clavus coctile</i> en el interior del orificio UE 429, en el muro UE 343
520	29	Estructura	Fragmento de <i>clavus coctile</i> en el interior del orificio UE 432, en el muro UE 343
521	29	Grupo UUEE	Conjunto de <i>pilae</i> del hipocausto del Ambiente 29
522	29	Grupo UUEE	Conjunto de orificios de <i>concameratio</i> y de los restos de sus <i>clavi coctiles</i> del muro UE 3304
523	29	Grupo UUEE	Conjunto de orificios de <i>concameratio</i> y de los restos de sus <i>clavi coctiles</i> del muro UE 144
524	29	Grupo UUEE	Conjunto de orificios de <i>concameratio</i> y de los restos de sus <i>clavi coctiles</i> del muro UE 343
525	29	Grupo UUEE	Conjunto de orificios de <i>concameratio</i> y de los restos de sus <i>clavi coctiles</i> del muro UE 358
526	29	Grupo UUEE	Conjunto de revoques y de enlucidos que revisten a los muros del Ambiente
527	5	Estructura	Cuarto de caña/bocel de la estructura GU 337 al sur de 226 y junto a UE 338
528	29	Interfaz	Orificio de la <i>concameratio</i> en la cara N del muro UE 3304, en posición A2
529	29	Interfaz	Orificio para <i>concameratio</i> en la cara E del muro UE 144, en posición B6
530	29	Interfaz	Orificio para <i>concameratio</i> en la cara E del muro UE 144, en posición B7
531	29	Estructura	Fragmento de <i>clavus coctile</i> en el interior del orificio UE 426, en el muro UE 144
532	29	Interfaz	Orificio para <i>concameratio</i> en la cara S del muro UE 343, en posición C2
533	29	Estructura	<i>Pila</i> de hipocausto en posición G8
534	29	Interfaz	Orificio para <i>concameratio</i> en la cara w del muro UE 358, en posición A2
535	29	Interfaz	Orificio para <i>concameratio</i> en la cara w del muro UE 358, en posición A3
536	29	Estructura	Fragmento de <i>clavus coctile</i> en el interior del orificio UE 534, en el muro UE 358
2019			
537	29	Estructura	<i>Pila</i> de hipocausto situada en la posición E8
538	29	Estructura	<i>Pila</i> de hipocausto situada en la posición G9
539	29	Estructura	<i>Pila</i> de hipocausto colocada en la posición I9

540	29	Estructura	<i>Pila</i> de hipocausto colocada en la posición J9
541	29	Estructura	<i>Pila</i> de hipocausto colocada en la posición K9
542	29	Estructura	<i>Pila</i> de hipocausto colocada en la posición L9
543	29	Estructura	<i>Pila</i> de hipocausto colocada en la posición I8
544	29	Estructura	<i>Pila</i> de hipocausto colocada en la posición J8
545	29	Estructura	<i>Pila</i> de hipocausto colocada en la posición K8
546	29	Estructura	<i>Pila</i> de hipocausto colocada en la posición L8
547	29	Estructura	<i>Pila</i> de hipocausto colocada en la posición I6
548	29	Estructura	<i>Pila</i> de hipocausto colocada en la posición J6
549	29	Estructura	<i>Pila</i> de hipocausto colocada en la posición K6
550	25	Estrato	Estrato de tierra marrón claro con cantos rodados, bajo UE 56
551	25	Estructura	Muro con orientación E-W al E del muro UE xxx
552	Sobre Amb. 30	Estrato	Estrato de tierra marrón con cantos rodados, piedras y textura poco compacta
553	Sobre Amb. 30	Estrato	Estrato de arena amarillenta y gravas finas que cubre a la UE 552 y al muro UE 358 (que separa a los Ambientes 29 y 30)
554	29/31	Estrato	Derrumbe de piedras sobre el extremo W del muro UE 343
555	29/31	Estrato	Derrumbe de piedras sobre el muro UE 479
556	36	Estrato	Tierra de tonalidad anaranjada mezclada con cantos y de textura parcialmente granulosa. Bajo UE 550
557	Sobre Amb. 29	Estrato	Estrato de tierra amarillenta con cantos rodados y piedras, de textura poco compacta. Bajo UE 552
558	36	Estrato	Estrato de tierra marrón y textura disgregada, con piedras de tamaño medio y pequeño. Bajo UE 556
559	29/30	Interfaz	Recorte practicado en los muros UUEE 358 y 479 en dirección NW-SE. Está cubierto por UE 553. Se trata, probablemente, del cauce de una acequia
560	29	Estrato	Igual a UE 561
561	29	Estrato	Estrato de color marrón de composición granulosa. Cubierto por UE 553
562	29	Estructura	Fragmento de adobe que forma parte de la cámara de un horno metalúrgico
563	29	Estrato	Estrato de color grisáceo y de textura arenosa y apelmazada. Cubierto por UE 553
564	29	Estrato	Estrato de color anaranjado, con escasa presencia de material cerámico y constructivo
565	29	Estrato	Aglomeración de adobe y tierra de tonalidad anaranjada que se apoya en la cara E del horno UE 562. Bajo UE 561
566	Sobre Amb. 30	Estrato	Estrato de tierra marrón-grisáceo, con algún canto rodado y restos de enlucidos en su parte N. Bajo UE 557
567	Sobre Amb. 30	Estrato	Estrato de tierra amarillenta y de textura poco compacta. Situado al S del Ambiente, bajo UE 566
568	29	Estrato	Conjunto de 4 capas de cal de tendencia horizontal y de textura compacta. Posible fondo del horno UE 562
569	36	Estrato	Tierra suelta mezclada con piedras de tamaño mediano y pequeño. Bajo UE 558
570	30	Estructura	Nivel de piedras que se apoya en la cara S del muro UE 551. Posible banco

571	30/37	Estructura	Muro de piedras que separa a los Ambientes 30 y 37
572	37	Estrato	Estrato de tierra suelta de tonalidad oscura localizado entre la UE 571 y el límite NE del Ambiente
573	30	Estructura	Media caña hidráulica que se apoya en las UUEE 358 y 571
574	30	Estructura	Media caña hidráulica que se adosa en UE 571 y se extiende hasta el límite NE del corte
575	30	Estrato	Nivel de derrumbe con restos de material constructivo y cerámico que se apoya contra el banco (UE 570) al S del Ambiente 30
576	30	Estructura	Muro de piedra que se adosa al muro de UE 551 y al posible banco de UE 570
577	29	Estructura	Arco trazado en el interior del muro UE 479. Conserva las dovelas desde su arranque hasta la posición previa a la clave
578	29	Interfaz	Interfaz de ruptura del arco UE 577
579	31	Estrato	Estrato compuesto por piedras y tierra suelta, de textura arenosa y tonalidad marrón. Interpretado como un posible derrumbe
580	31	Estructura	Muro de mampostería de orientación N-S. Formado por elementos reutilizados
581	30	Estructura	Canaleta que se apoya sobre UE 582
582	30	Estructura	Fragmento de pavimento de <i>opus caementicium</i> en el extremo sur de la fosa central. Equivale a UE 332
583	30	Estructura	Fragmento de pavimento de <i>opus caementicium</i> en el extremo norte de la fosa central. Equivale a UE 582
584	30	Estrato	Relleno de la canaleta de UE 581
585	30	Estrato	Derrumbe de adobes sobre el pavimento UE 583
586	29	Estructura	<i>Pila</i> de hipocausto situada entre las posiciones L8 y L7
587	29	Estructura	<i>Pila</i> de hipocausto situada en la posición L7
588	29	Estructura	<i>Pila</i> de hipocausto situada en la posición L6
589	29	Estructura	<i>Pila</i> de hipocausto situada en la posición E5
590	29	Estructura	<i>Pila</i> de hipocausto situada en la posición J5
591	29	Estructura	<i>Pila</i> de hipocausto situada en la posición L5
592	29	Estructura	<i>Pila</i> de hipocausto situada en la posición F4
593	29	Estructura	<i>Pila</i> de hipocausto situada en la posición H4
594	29	Estructura	<i>Pila</i> de hipocausto situada en la posición J4
595	29	Estructura	<i>Pila</i> de hipocausto situada en la posición L4
596	29	Estructura	<i>Pila</i> de hipocausto situada en la posición E3
597	29	Estructura	<i>Pila</i> de hipocausto situada en la posición H3
598	29	Estructura	<i>Pila</i> de hipocausto situada en la posición J3
599	29	Estructura	<i>Pila</i> de hipocausto situada en la posición K3
600	29	Estructura	<i>Pila</i> de hipocausto situada en la posición L3
601	29	Estructura	<i>Pila</i> de hipocausto situada en la posición A9
602	29	Estructura	<i>Pila</i> de hipocausto situada en la posición H2
603	29	Estructura	<i>Pila</i> de hipocausto situada en la posición J2
604	29	Estructura	<i>Pila</i> de hipocausto situada en la posición K2
605	29	Estructura	<i>Pila</i> de hipocausto situada en la posición L2
606	29	Estructura	<i>Pila</i> de hipocausto situada en la posición H1
607	29	Estructura	<i>Pila</i> de hipocausto situada en la posición J1
608	29	Estructura	<i>Pila</i> de hipocausto situada en la posición K1

609	29	Estructura	<i>Pila</i> de hipocausto situada en la posición L1
610	29	Estructura	<i>Pila</i> de hipocausto situada en la posición B6
611	29	Estructura	<i>Pila</i> de hipocausto situada en la posición C6
612	29	Estructura	<i>Pila</i> de hipocausto situada en la posición D6
613	30	Estrato	Estrato de tierra marrón oscuro y compacta, con abundante presencia de carbones. Bajo UE 319
614	30	Estrato	Estrato de tierra de tonalidad marrón amarillento, con carbones y arcillas, situado bajo UE 613
615	31	Estrato	Estrato de tonalidad marrón con abundante presencia de materiales constructivos, cal y piedras
616	31	Estrato	Estrato de tonalidad marrón con abundante presencia de piedras
617	31	Estrato	Estrato de tonalidad marrón con inclusiones de cal y arcilla
618	31/37	Muro	Muro de doble paramento de orientación E-W que delimita al Ambiente 31 por el N y lo separa del Ambiente 37
619	37	Estrato	Estrato de tierra de tonalidad marrón con inclusiones de cal, con abundante presencia de piedras. Posible derrumbe
620	37	Elemento	Basa de columna situada en el interior de UE 619
621	37	Estrato	Estrato de tierra de tonalidad anaranjada con inclusiones de cal y de fragmentos cerámicos
622	29	Estructura	Alzado de ladrillos que se apoya en el muro UE 358 y en el tapiado UE 624
623	29	Interfaz	Apertura semicircular en el muro UE 358 que lo cruza en sentido E-W. Tapiada por UE 624
624	29	Estructura	Aglomerado de piedra, mortero y material constructivo que cierra la abertura de UE 623
625	30	Estrato	Estrato de tierra marrón claro con una abundante presencia de restos de enlucido parietal. Situado bajo UE 319
626	25	Estructura	Canaleta de orientación E-W, con una tonalidad ligeramente azulada
627	25	Estructura	Relleno de mortero que anula a la canaleta de UE 626
628	30	Estrato	Estrato localizado en el extremo S del Ambiente. De tonalidad amarillenta y textura compacta, con presencia de carbones y piedras
629	30	Estrato	Nivel de tierra localizado en el extremo N del Ambiente
630	29	Estructura	<i>Pila</i> de hipocausto situada en la posición G6
631	29	Estructura	<i>Pila</i> de hipocausto situada en la posición A7
632	29	Estructura	<i>Pila</i> de hipocausto situada en la posición B7
633	29	Estructura	<i>Pila</i> de hipocausto situada en la posición C7
634	29	Estructura	<i>Pila</i> de hipocausto situada en la posición D7
635	29	Estructura	<i>Pila</i> de hipocausto situada en la posición E7
636	29	Estructura	<i>Pila</i> de hipocausto situada en la posición A6
637	29	Estructura	<i>Pila</i> de hipocausto situada en la posición E6
638	29	Estructura	<i>Pila</i> de hipocausto situada en la posición A5
639	29	Estructura	<i>Pila</i> de hipocausto situada en la posición B5
640	29	Estructura	<i>Pila</i> de hipocausto situada en la posición C5
641	29	Estructura	<i>Pila</i> de hipocausto situada en la posición D5

642	29	Estructura	<i>Pila</i> de hipocausto situada en la posición F3
643	29	Estructura	<i>Pila</i> de hipocausto situada en la posición F2
644	29	Estructura	<i>Pila</i> de hipocausto situada en la posición F1
645	29	Estructura	<i>Pila</i> de hipocausto situada en la posición E2
646	29	Estructura	<i>Pila</i> de hipocausto situada en la posición C1
647	29	Estructura	<i>Pila</i> de hipocausto situada en la posición D1
648	29	Estructura	<i>Pila</i> de hipocausto situada en la posición E1
649	29	Estructura	<i>Pila</i> de hipocausto situada en la posición I7
650	29	Estructura	<i>Pila</i> de hipocausto situada en la posición J7
651	29	Estructura	<i>Pila</i> de hipocausto situada en la posición H5
652	29	Estructura	<i>Pila</i> de hipocausto situada en la posición K5
653	29	Estructura	<i>Pila</i> de hipocausto situada en la posición K7
654	29	Estructura	<i>Pila</i> de hipocausto situada en la posición K4
655	29	Estrato	Estrato de tierra de tonalidad amarilla y textura muy compacta, con presencia de ceniza
656	30	Estrato	Estrato de tierra de tonalidad oscura, con abundante presencia de piedras. Posible relleno de UE 657
657	30	Interfaz	Fosa de orientación E-W que corta al estrato UE 628, bajo UE 613
658	30	Estrato	Estrato situado en el extremo S del Ambiente, sobre el pavimento UE 582
659	39	Estrato	Situado en el extremo N del Ambiente, sobre el pavimento. Podría ser el mismo estrato que UE 665
660	30	Estrato	Relleno de UE 661
661	30	Interfaz	Fosa corta xxxxx
662	29	Estructura	<i>Pila</i> de hipocausto situada en la posición C9
663	29	Estructura	<i>Pila</i> de hipocausto situada en la posición B8
664	29	Estructura	<i>Pila</i> de hipocausto situada en la posición C8
665	30	Estrato	Tierra de tonalidad marrón oscuro mezclada con cales y carbones. Situada bajo UE 659 y parcialmente recortada por una fosa circular
666	30	Interfaz	Fosa que recorta a la UE 665 y que está rellena por la UE 667
667	30	Estrato	Tierra fina de tonalidad marrón-anaranjada y muy disgregada que rellena a la UE 666
668	38	Estrato	Tierra grisácea suelta con cantos, cerámica y morteros, sobre UE 669
669	38	Estrato	Tierra de tonalidad marrón anaranjada con presencia de carbones y adobes deshechos. Sobre UE 670
670	38	Estrato	Adobes bajo UE 669
671	38	Estrato	Tierra de tonalidad marrón anaranjada con incrustaciones de carbones, morteros y adobes deshechos. Situada entre UUEE 670 y 571
672	40	Estrato	Nivel de tierra de tonalidad castaña y textura granulosa, al W de UE 616
673	30	Estrato	Estrato de tierra negra, sin presencia de materiales arqueológicos. Cubierta por UE 614
674	30	Estrato	Nivel de tierra muy compacta, con abundante presencia de cal. Cubierta por UE 614

675	40	Estructura	Estructura de ladrillos con orientación NW-SE y unas dimensiones de 120 x 18 cm. Relacionado con la reutilización de las termas en una fase posterior
676	31	Estrato	Estrato de tonalidad gris-pardo de tierra disgregada con presencia de cal y guijarros, bajo la UE agrícola 617
677	31	Estrato	Estrato de tierra de tonalidad gris-parda con presencia de guijarros. Bajo UE 56
678	29	Estructura	Nivel de mortero de tendencia horizontal y de tonalidad amarillenta. Sobre él se alzan varias de las <i>pilae</i> del hipocausto. Bajo UE 655
679	29	Estrato	Estrato ceniciento de textura muy disgregada dispuesto a modo de franjas alargadas que se adosan a todos los muros del hipocausto. Bajo UE 655
680	30	Estrato	Relleno bajo UE 660 compuesto por rocas de tamaño medio-grande y por tierra de textura arcillosa
681	30	Estrato	Nivel de tierra de tonalidad amarillenta situada en el extremo W del Ambiente
682	30	Estrato	Conglomerado de piedras de pequeño tamaño
683	38	Estrato	Estrato compacto de cal y mortero
684	38	Estrato	Estrato de tonalidad anaranjada-grisácea de adobes con escaso material cerámico, mezclado con mortero, cal y carbones.
685	38	Estrato	Estrato de tierra cenicienta con presencia de materiales constructivos. Bajo UE 669
686	28/29	Estrato	Paquete de tierra y piedras que colmata el interior del conducto de calor UE 211
687	28/29	Estrato	Paquete de tierra y piedras que colmata el interior del conducto de calor UE 212
688	28/29	Estrato	Paquete de tierras y piedras que colmata el interior del conducto de calor UE 213
689	36	Interfaz	Fosa
690	36	Estrato	Relleno de la fosa UE 689 formado por tierra ligeramente suelta, de tonalidad marrón-amarillenta. Carece de material arqueológico y presenta piedras de pequeño tamaño en su parte inferior
691	38	Estrato	Tierra de tonalidad anaranjada con adobes disgregados
692	38	Estrato	Estrato cubierto por la UE 685 que se apoya en la UE 684. Está formado por tierra de tonalidad negra y textura disgregada, con presencia de abundantes restos de materiales cerámicos y constructivos
693	31	Estrato	Estrato de tonalidad marrón con una escasa presencia de guijarros y composición muy homogénea
694	38	Interfaz	Interfaz de la fosa de UE 684, rellena por las UUEE 685, 691 y 692
695	4	Estrato	Estrato de tonalidad amarillenta y de aspecto arenoso recortado por la fosa UE 696
696	4	Interfaz	Fosa-zanja realizada en sentido N-S que recorta a la UE 695
697	4	Estrato	Estrato de tierra de tonalidad grisácea con abundantes carbones que rellena a la fosa UE 696
698	4	Estrato	Estrato de tierra marrón oscuro y de aspecto arcilloso que cubre a UUEE 697, 695 y 337

699	30	Estrato	Cara N del relleno. Perforación circular bajo UE 660
700	38	Estructura	Estructura de mortero de cal situada bajo UE 684 y adosada al muro UE 571
701	38	Estrato	Acumulación de piedra tosca situada sobre UE 700 y adosada a la UE 571
702	38	Estrato	Estrato de tonalidad anaranjada con adobes, carbones y cales y con escasa presencia de materiales arqueológicos. Rellena al Ambiente 38, bajo UE 684
703	31	Estrato	Nivel de tierra compacta de tonalidad castaña con presencia de materiales cerámicos
704	31	Estrato	Estrato de tonalidad marrón y textura arcillosa con presencia de cantos, procedentes de un posible derrumbe
705	4	Estrato	xxxxxxxxxxxx
706	30	Estrato	Estrato horizontal de piedras (posible pavimento) bajo UUEE 337, 680 y 690
707	31	Estrato	Estrato de textura arcillosa y coloración marrón con alguna presencia de cenizas
708	31	Estrato	Estrato de tierra de tonalidad parda y textura arcillosa. Cuenta con guijarros y piedras de gran tamaño. Cubierto parcialmente por UE 314
709	31	Estrato	Estrato de tierra de tonalidad gris-marrón con pequeños cantos rodados. Localizada al levantar UE 314 en su zona N
710	31	Estrato	Nivel de piedras de tamaño medio y grande junto a UE 709. Parcialmente cubierto por UE 314
711	38	Estructura	Preparado de mortero de tonalidad anaranjada que se apoya en UE 700 y que está cubierto por UE 702
712	38	Estructura	Nivel de <i>opus signinum</i> cubierto por UE 702, manchado con cenizas. Situado junto a UE 711
713	38	Estructura	Losa de piedra situada junto a UE 712. Cubierta por UE 702
714	38	Estrato	Estrato de tonalidad anaranjada compuesto por adobes, cal y carbones, con escasa presencia de materiales arqueológicos. Textura muy compacta
715	36	Muro	Muro de piedra que delimita al Ambiente 36 por su extremo S
716	29	Estructura	Orificio de la <i>concameratio</i> en la cara W del muro UE 358, en posición B0
717	29	Estructura	Orificio de la <i>concameratio</i> en la cara W del muro UE 358, en posición B-1
718	29	Estructura	Fragmento de <i>clavus coctile</i> en el interior del orificio UE 717, en el muro UE 358
719	29	Estructura	Orificio de la <i>concameratio</i> en la cara S del muro UE 479, en posición A1
720	29	Estructura	Orificio de la <i>concameratio</i> en la cara S del muro UE 479, en posición A2
721	29	Estructura	Fragmento de <i>clavus coctile</i> en el interior del orificio UE 720, en el muro UE 479
722	29	Grupo UUEE	Conjunto de orificios de <i>concameratio</i> y de los restos de sus <i>clavi coctiles</i> del muro UE 479
723	29	Estructura	<i>Pila</i> de hipocausto situada en la posición A8

724	29	Estructura	Pila de hipocausto situada en la posición B9
725	29	Estructura	Pila de hipocausto situada en la posición D8
726	29	Estructura	Pila de hipocausto situada en la posición D9
727	29	Estructura	Sillar que flanquea en su extremo S la apertura UE 623 del muro UE 358
728	29	Interfaz	Rotura del arco UE 480
729	29	Estrato	Relleno del arco UE 480
730	29	Estrato	Relleno del arco UE 577
731	30	Estructura	Media caña de sección cuadrangular situada en la zona sur del Ambiente
732	4-5	Muro	Muro con dirección N-S que separa el Ambiente 4 del 5 por su cara E
733	4-5	Estrato	Estrato de tierra marrón grisácea bajo pavimento UE 303, cubriendo al muro UE 732 en su extremo N
734	4-5	Interfaz	Interfaz en la zona N del muro UE 732, rellena por UE 733, que podría corresponder a un umbral
735	30	Estructura	Revestimiento de mortero en la cara N del muro UE 570
736	30	Estructura	Revestimiento de mortero en la cara E del muro UE 576
2020			
737	19	Muro	Muro de orientación N-S paralelo al muro UE 736, sobre umbral UE 739
738	19	Estructura	Conjunto de grandes piedras de arenisca entre los muros UUEE 737 y 741
739	19	Estructura	Umbral de piedra paralelo al muro UE 509, bajo el muro UE 737
740	19	Estructura	Pavimento del hipocausto
741	19/41	Muro	Muro de orientación N-S que separa los Ambientes 19 y 41. Traba con el muro UE 740
742	33/41	Muro	Muro de orientación E-W que separa a los Ambientes 41 y 33. Traba en ángulo recto con el muro UE 743
743	19/33	Muro	Muro de orientación N-S que separa a los Ambientes 33 y 41. Traba con el muro UE 742
744	41	Estructura	Pila de hipocausto en posición B2
745	41	Estructura	Pila de hipocausto en posición B3
746	41	Estructura	Pila de hipocausto en posición A1
747	41	Estructura	Pila de hipocausto en posición A2
748	41	Estructura	Pila de hipocausto en posición A3
749	41	Estructura	Plataforma de hormigón que contiene el sillar/escalón UE 739, con cara definida en su lado N
750	19	Estrato	Acumulación de cantos rodados y tierra entre UUEE 741 y 738
751	33	Estructura	Pavimento de hormigón hidráulico entre UUEE 755 y fosa UUEE 757-758 del muro UE 509
752	41	Estructura	Pila de hipocausto en posición B1
753	41	Estrato	Nivel de ceniza sobre el pavimento del hipocausto UE 751
754	41	Estrato	Derrumbe de tierra y estuco sobre UE 753
755	33	Estructura	Muro E-W alineado con sillar UE 506 y muro UE 505. Se le adosa el banco UE 751 en su cara S
756	33	Estrato	Estrato de tierra entre los muros UUEE 755 y 742
757	33	Estrato	Relleno de la fosa de fundación UE 758

758	33	Interfaz	Fosa de fundación del muro UE 509 en Ambiente 33
759	18/19	Muro	Muro de piedra y mortero, orientado en sentido N-S. Separa a los Ambientes 18 y 19
760	18	Muro	Estructura de piedra y mortero con orientación E-W que se adosa a la cara interna del muro UE 509
761	18	Estructura	Alineación de cantos orientada en sentido E-W, junto al perfil N
762	18	Estrato	Acumulación de piedras que apoya en el lado E de UE 761. Podría tratarse de parte de la misma estructura
763	18	Muro	Muro de orientación N-S formado por piedras de pequeño tamaño. Arranca desde la cara interna del muro UE 509
764	4	Estrato	Rudus bajo el pavimento UE 304 en el Ambiente 4
765	4	Estrato	Estrato de tierra marrón oscuro bajo UE 764 extendiéndose por todo el Ambiente 4
766	Sobre Ambientes 18, 19 y 41	Estrato	Nivel de tendencia horizontal bajo UE 1, sobre los niveles arqueológicos
767	4	Interfaz	Interfaz de uso bajo UE 765
768	4	Estrato	Estrato de tierra marrón rojiza en la parte W del Ambiente 4 (igual a 772)
769	4	Estrato	Estrato de tierra marrón amarillento bajo UE 767
770	4	Interfaz	Fosa del muro UE 732, rellena por UE 771
771	4	Estrato	Relleno de la fosa UE 770
772	4	Estrato	Estrato de tierra marrón blanquecina con cal. Su cota superior es la interfaz UE 767 (igual a 768)
773	4	Estrato	Relleno de la fosa UE 774
774	4	Interfaz	Fosa del muro GU 3085, relleno por UE 773
775	18	Muro	Muro de orientación E-W que constituye el límite N del Ambiente 18, separándolo del Ambiente 42
776	18/42	Interfaz	Recorte practicado al muro UE 775 y a las UUEE 778 y 779. Rellenado por UE 777
777	18/42	Estrato	Tierra cenicienta que rellena a la fosa UE 776
778	42	Estrato	Bajo UE 776. Estrato de tendencia horizontal y tonalidad castaña-anaranjada que se extiende por toda la superficie del Ambiente
779	18	Estrato	Nivel parcialmente excavado por el equipo previo. Nivel arqueológico superficial del Ambiente 18
780	4	Estrato	Estrato de tierra amarillenta arenosa bajo UE 769. Rellena a UE 781
781	4	Interfaz	Fosa o zanja paralela al muro UE 732, rellena por UE 780.
782	18	Interfaz	Recorte practicado sobre UE 762 y 769 en el ángulo NE de la estancia. Rompe parcialmente al muro UE 763 en su extremo N. Similar a la fosa UE 776, pero al otro lado del muro UE 775
783	18	Estrato	Nivel de tierra cenicienta con abundante material arqueológico. Rellena a la fosa UE 782
784	18	Estrato	Nivel superficial de la parte excavada del Ambiente 18
785	4		Fosa de cimentación del muro GU 3088
786	4		Relleno de la fosa UE 785
787	4	Estructura	Enlucido en la cara W del muro UE 732

788	18	Estrato	Acumulación de adobes en el vano del muro UE 775
789	18	Estrato	Acumulación de adobes al E del muro UE 703
790	18	Estructura	Alineación de 3 piedras N-S paralelo al muro UE 703, junto a 791
791	18	Estrato	Nivel de tierra cenicienta con materia orgánica junto al muro UE 759. Rellena a UE 794
792	18	Estrato	Nivel de tendencia horizontal, textura arcillosa y tonalidad anaranjada formado por adobes deshechos
793	18	Estrato	Nivel de tierra arcillosa de tonalidad anaranjada y textura arcillosa, con presencia de piedras. Situado entre UUEE 761 y 775
794	18	Interfaz	Recorte en 792 y 784 relleno por UE 791. Similar a UE 770
795	43	Muro	Muro de orientación N-S bajo UE 778 paralelo al muro UE 500
796	41-43	Muro	Muro al N del Ambiente 41 y al S del Ambiente 43 que los separa a ambos
797	43	Estrato	Estrato de tierra marrón grisácea con cantos rodados, enlucidos, cal y adobe bajo UE 778
798	43	Estrato	Estrato de tierra amarillenta y arenosa bajo UE 797
799	43	Interfaz	Recorte en UE 798 relleno por UE 800, paralelo a la cara N del muro UE 795
800	43	Estrato	Estrato de tierra marrón de textura granulosa y suelta que rellena a la interfaz UE 799
801	43		Estrato de tierra marrón anaranjado claro, con superficie horizontal bajo UE 798 y en la esquina sureste del ambiente.
802	43		Pavimento con tierra endurecida y cantos rodados en la esquina noreste del ambiente.
803	43		Estrato de tierra marrón claro, con piedras de mediano tamaño en la zona central del ambiente, bajo UE 798
804	4	Estrato	Estrato de tierra muy compacta, arcillosa y son materiales. Cubierta por UUEE 780 y 781
805	18	Estrato	Nivel de tendencia horizontal bajo UE 792. Tonalidad marrón-grisácea
806	4	Estrato	Estrato de tierra marrón con cantos rodados que rellena a la UE 807, junto al muro UE 3086
807	4	Interfaz	Fosa de cimentación del GU 3086 rellena por UE 806
808	41	Estructura	Pila del hipocausto en posición C1
809	41	Estructura	Pila del hipocausto en posición C2
810	41	Estructura	Pila del hipocausto en posición C3
811	19	Estrato	Nivel regular y horizontal de cantos rodados (pavimento) al NW del Ambiente 41
812	19	Estrato	Restos de enlucido o argamasa del muro UE 737 en sentido N-S
813	41-43	Estrato	Estrato de piedras y argamasa que ciega al muro UE 714
814	41-43	Interfaz	Vano en muro UE 796 cegado por UE 713
815	4	Interfaz	Fosa-recorte en UE 804, rellena por UE 780
816	19	Muro	Muro E-W al N de UE 749 y al S de UE 738. Debajo de UE 737

817	33	Grupo de Unidades	<i>Balneum</i> . Pequeña bañera que constituye el Ambiente 33 al SE del Ambiente 41. Formada por las UUEE 742, 743, 507 y 509
818	19	Elemento	Umbral en muro UE 509 de orientación N-S que forma parte de la escalera con UUEE 739 y 749
819	18	Muro	Muro de orientación E-W que, junto a UE 775, constituye el límite N del Ambiente 18
820	18	Estructura	Sillar entre los muros UUEE 775 y 819 que podría ser parte del umbral
821	19	Estrato	Tierra marrón blanquecina bajo pavimento UE 811
822	19	Estrato	Nivel de tierra marrón, con cantos rodados y piedras bajo UE 821
823	43		Estrato de tierra cenicienta, concentraa en la esquina noreste del Amb. 43 bajo UE 803.
824	43	Interfaz	Posible recorte en UE 826, relleno por UE 823
825	43		Estrato de tierra marrón anaranjado, con piedras de mediano tamaño, cubierto por UE 803.
826	43		Estrato de tierra marrón claro, bajo pavimento UE 802, a modo de preparación.
827	19		Fosa/zanja de cimentación del muro UE 737
828	19		Relleno fosa-zanja de cimentación del muro UE 737
829	18	Muro	Alineación de cantos y barro dirección N-S asociada al nivel de suelo UE 831
830	18	Muro	Alineación de cantos y barro con orientación E-W bajo la refacción de UE 760
831	18	Estructura	Posible nivel de suelo a base de barro de aspecto craquelado. Asociado a los muros UUEE 829 y 830
832	18	Muro	Presenta la misma orientación que UE 830, al que remonta en su extremo W
833	18	Estrato	Capa de ceniza bajo los muros UUEE 763, 834 y bajo la estructura 835
834	18	Muro	Muro de orientación N-S ligeramente inclinado hacia el W, contra la cara interna del muro que delimita el extremo W del Ambiente. Formado por grandes bloque de piedra
835	18	Estructura	Conjunto formado por un fragmento de pavimento de <i>opus caementicium</i> y dos piedras asociadas
836	18	Estrato	Adobe situado al mismo nivel que el suelo UE 831, entre los muros UUEE 832 y 834
837	18	Elemento	Sillar de calcoarenisca de tonalidad amarillenta al E del muro de cantos de UE 763
838	18	Estructura	Restos del pavimento asociado al Ambiente 18, visibles en los muros UUEE 819, 775 y 759
839	19	Estrato	Estrato de tierra marrón oscuro al que recorta la fosa UE 827
840	19		Paramento de mampuesto con mortero de cal, sobre muro UE 509; cegado escalera.
842	17, 18, 42	Muro	Muro N-S que delimita el extremo W de las termas y que constituye el extremo W de sus Ambientes 17, 18 y 42
843	37	Muro	Muro orientación N-S que arranca de la cara E del muro UE 618

844	18	Estructura	Restos de mortero de cal en el ángulo NW del Ambiente, sobre el nivel de fundación. Interpretado como restos de su pavimento
845	18	Muro	Nivel de fundación del muro UUEE 819/775
846	31	Estructura	Orificio de <i>clavus coctile</i> en el muro UE 258 (pendiente de especificar posición)
847	31	Estructura	Orificio de <i>clavus coctile</i> en el muro UE 616 (pendiente de especificar posición)
848	18/27	Interfaz	Orificio en el muro 842 relacionado con la entrada de un canal desde el Ambiente 27
849	18	Estructura	Alineación de piedras junto a la cara interna del muro UE 509 que prolonga el trazado de UUEE 760 y 830
850	18	Estructura	Alineación de piedras junto a la cara interna del muro UE 759 que forman ángulo recto con UE 849. Podrían formar parte de la misma estructura
851	18	Interfaz	Orificio en la cara interna del muro UE 509, junto a su unión con el muro UE 763. Rellena por UE 852
852	18	Estrato	Tierra de tonalidad marrón y textura compacta que rellena el orificio UE 852
853	18	Muro	Nivel de piedras que constituye la fosa de fundación del muro UE 759

11. Actuaciones en las Termas Orientales de La Alcudia de Elche (Proyecto ASTERO-Patrimonio Virtual)

RESUMEN CAMPAÑA 2020

Jaime Molina Vidal

Francisco Javier Muñoz Ojeda

Juan Francisco Álvarez Tortosa

El Sector 7F de La Alcudia (Elche), también conocido como Termas Orientales y con anterioridad Sector del Alcantarillado, finaliza su cuarta campaña dentro del marco del Proyecto ASTERO en 2020 cumpliendo las premisas planteadas al finalizar los trabajos arqueológicos de 2019. La actuación arqueológica se planteó en dos zonas dentro del conjunto termal con dos premisas de partida:

- la excavación y estudio de la estratigrafía relacionada con construcción del conjunto termal, así como los niveles o edificaciones previas al edificio;
- la delimitación de la estructura en su zona septentrional.

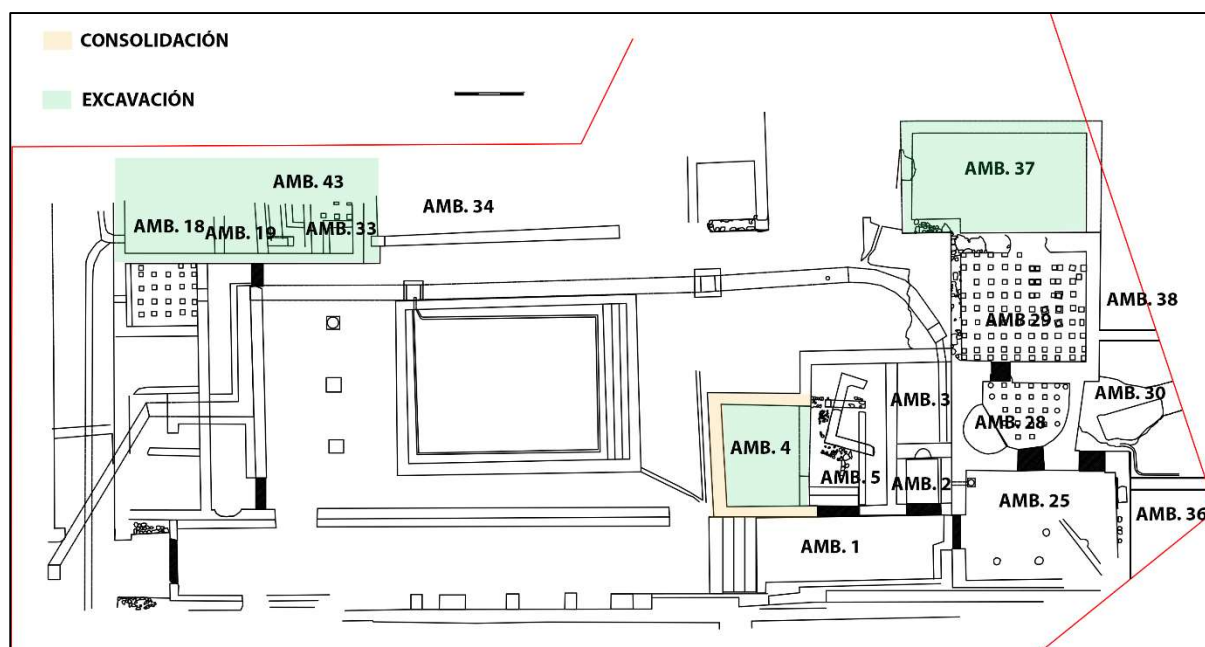


Fig. 98. Planta con indicación de los ambientes del sector 7 y áreas de actuación en la Campaña 2020

Los ambientes 4 y 5, dentro de un mismo espacio constructivo, que tradicionalmente se ha identificado con el apodyterium, se excavó parcialmente en campañas anteriores. Concretamente el denominado Ambiente 4, ha proporcionado una información realmente interesante sobre la evolución del propio conjunto termal, así como de las estructuras previas a la construcción del recinto. Además, la estratigrafía analizada tendría un valor añadido puesto que se encuentra sellada por un pavimento no alterado en las fases de abandono del sector.

De este modo, la excavación de este ambiente, junto con el análisis de los alzados y revestimientos conservados, nos ayudará enormemente a conocer la evolución del complejo termal.

La actuación en este edificio viene acompañada de una consolidación de los enlucidos conservados, exhumados en las campañas previas a la intervención de nuestro equipo. La fijación y restauración de estos restos resultan fundamentales para la comprensión y visualización de las distintas fases constructivas y sus remodelaciones.

La segunda intervención se centró en la esquina noroeste del complejo termal y tenía como objetivo tratar de verificar la extensión del edificio en este extremo. Teniendo en cuenta la existencia de una calle que recorre en dirección norte-sur el extremo occidental del sector, algo verificado en las campañas 2017 y 2018, y que nos marcaba el límite oeste del edificio, se barajó la posibilidad de localizar una nueva calle, esta con dirección este-oeste, que delimitase de igual modo el conjunto en este extremo.

Finalmente, durante el mes de noviembre, el equipo de restauración procedió a realizar los trabajos de consolidación planificados inicialmente para ser efectuados inmediatamente tras los trabajos arqueológicos. Debido a problemas ajenos a nuestro proyecto, y por dedicarse este mismo equipo de restauración a una intervención de urgencia dentro del sector 11 del yacimiento de La Alcudia, no se pudo efectuar el trabajo de consolidación hasta noviembre.

Estos trabajos han consistido en la consolidación y fijación de los enlucidos aparecidos durante la excavación de los Ambientes 4 en las campañas anteriores a nuestra intervención en el sector 7 o Termas Orientales.

Ambiente 4

Finalizada la excavación del Ambiente 5 en la campaña 2019, pudimos observar como en el perfil que separaba a este ambiente del Ambiente 4 existía un paramento en dirección norte-sur, diferenciando ambos espacios por debajo del último nivel de pavimento documentado, UE 304.

De este modo, en la campaña 2020 se procedió a la excavación del Ambiente 4 en su totalidad, desmontando el pavimento UE 304, que ocupaba toda la superficie del ambiente. Esto nos garantizaba una secuencia estratigráfica no afectada por las fases tardoantiguas documentadas en la zona, y por otro lado obtener información detallada sobre las fases constructivas anteriores a la confección del nivel de pavimento.

La eliminación del pavimento, así como de su preparación, nos permitió estudiar en detalle su relación con los paramentos y sus revestimientos. Esto nos ha permitido, junto a la información extraída en campañas anteriores, establecer distintas fases constructivas dentro del ambiente, partiendo de una fase inicial en la que Ambiente 4 y 5 estaban separados por un muro en dirección norte-sur que queda anulado parcialmente por el pavimento UE 304.

De forma adicional, pudimos excavar los niveles previos a la construcción de los paramentos pertenecientes al conjunto termal, lo cual también nos ha permitido obtener una secuencia estratigráfica completa de la zona excavada hasta llegar a los niveles geológicos.

Excavación del sector noroeste (Ambientes 18, 19, 33 y 34)

Con el propósito explicado anteriormente, se procedió en primer lugar a una limpieza a la zona, puesto que estos ambientes ya fueron exhumados por el equipo que intervino en el sector previo a nuestros trabajos. Aquellos trabajos arqueológicos dejaron a la vista una serie de ambientes que delimitaban al norte el conjunto termal, y que dejaban entrever la coexistencia de varias estructuras y por tanto varias fases constructivas. Por tanto, tras una limpieza de dichos ambientes, así como del perfil septentrional, se planteó de forma paralela ampliar la zona de excavación hacia el norte, coincidiendo con el vallado perimetral del yacimiento en esta zona.



Fig. 99. Vista desde el suroeste del Ambiente 4 durante su proceso de excavación

Previo a la excavación de los ambientes, que describiremos a continuación, se realizó un estudio en detalle de los paramentos existentes, así como de las relaciones entre ellos. De este modo determinamos la existencia de distintas fases constructivas dentro del conjunto termal en esta zona, contando con una remodelación de los espacios visibles y que modificaban en gran medida la morfología del complejo. Así, por ejemplo, pudimos comprobar que el muro de cierre meridional, UE 509, de los

ambientes 18 y 19 no correspondía a la fase inicial de las termas, quedando así por dilucidar cómo se articulaban en este extremo los ambientes comentados.

En primer lugar, se inició la excavación del espacio existente entre el vallado del yacimiento y la parte septentrional de los ambientes, observando rápidamente como dichos espacios se prolongaban hacia el norte, más allá de los límites del yacimiento. Por lo que tuvimos que desechar en este extremo la existencia de una vía externa que delimitase el conjunto en su lado norte, sin descartar que esta pudiese existir más allá de los límites del yacimiento. Una vez desechada esta posibilidad nos centramos en la excavación de los ambientes 18 y 19 en el oeste y del nuevo ambiente 43, al norte de los ambientes 33 y 34.

Por un lado, en los ambientes 18 y 19 se pudo localizar un nuevo muro al norte que cerraba ambos espacios en este extremo, lo que permitió una excavación sistemática que nos ha proporcionado información concerniente tanto a las distintas fases constructivas dentro del conjunto termal, así como de una posible fase previa. Esto último aún está por determinar puesto que los materiales aparecidos se encuentran en fase de estudio, pero podrían revelar la presencia de al menos una previa a la construcción del conjunto termal.

En el extremo este, donde encontramos el nuevo Ambiente 43 y el Ambiente 33, se procedió por un lado a la limpieza del último, donde se observaba la presencia de una serie de *pilae* que no revelaron aparentemente la existencia de una fuente de alimentación de esta zona calefactada. Al concentrar nuestros esfuerzos en la excavación del nuevo Ambiente 43 dejamos para posteriores campañas estudiar en detalle el hipocausto ya documentado parcialmente con anterioridad. Debido a la escasez de tiempo y recursos no pudimos finalizar la excavación del Ambiente 43, dejando entrever la presencia de una serie de niveles de abandono sin llegar a localizar, por el momento, la existencia de un nivel de paso contemporáneo a la construcción y uso del espacio descubierto.



Fig. 100. Ambientes 18, 19, 33 y 43 (Ortoimagen generada mediante fotogrametría digital)

Ambiente 37

El Ambiente 37 se ubica inmediatamente al norte del Ambiente 29, en la zona noreste del sector, y aunque no se ha procedido aun a su excavación, en anteriores campañas se realizó una retirada de los niveles superficiales, posteriores al S. XIX. En esta campaña se realizó una limpieza de los paramentos visibles, así como una definición de los perfiles existentes, lo que permitió visibilizar las dimensiones y morfología de este nuevo espacio termal. Quedará así pendiente para posteriores campañas y seguir definiendo la extensión del complejo termal en este extremo.



Fig. 101. Ambientes 37 (Ortoimagen generada mediante fotogrametría digital)

Cubrición y protección de los espacios excavados.

Una vez finalizada la excavación del Ambiente 4 se procedió a rellenar el espacio donde se intervino, recuperando así el nivel horizontal en consonancia con el existente en el ambiente 5, contiguo al este. Además, se hacía indispensable la nivelación de la zona para facilitar los trabajos posteriores de consolidación de los enlucidos, que describiremos a continuación.

En el caso de los ambientes ubicados al noroeste, donde se intervino en la presente campaña, se llevó a cabo una cubrición mediante lonas de protección que evitase un degradado de la estratigrafía y los espacios en vistas a proseguir la excavación en posteriores campañas.

Consolidación

Tal como se ha comentado con anterioridad, en la presente campaña se contemplaba la finalización de los trabajos de consolidación iniciados en 2019 para evitar el degradado y desprendimientos de los enlucidos presentes en los Ambientes 4 y 5. Aunque inicialmente estos trabajos estaban planificados para realizarse una vez finalizada la intervención arqueológica en el Ambiente 4, por motivos ajenos a la dirección se realizaron a lo largo del mes de noviembre. Esto ha motivado no poder cerrar los trabajos en el sector 7 hasta ese mes.

Nuestro compromiso con la preservación de los restos ya exhumados en las campañas previas a nuestra intervención en las termas orientales pasaba por una fijación de los enlucidos presentes en estos ambientes, puesto que resultan fundamentales para la comprensión de las distintas fases constructivas del conjunto termal. La superposición de los enlucidos en los distintos paramentos que forman los ambientes 4 y 5 dejan claro una serie de modificaciones estructurales no solo en estos espacios, sino también en el resto de paramentos visibles en el sector.

Así, al igual que se realizó durante la campaña 2019, se procedió inicialmente a una limpieza y eliminación de los cordones de protección fijados por el anterior equipo que trabajó en la zona durante la última década del s. XX. Posteriormente se llevó a cabo una limpieza de los restos conservados para finalmente reforzar la unión de los enlucidos con el paramento. De este modo, quedan en esta campaña protegidos todos los enlucidos conservados en los paramentos interiores de los ambientes 4 y 5.



Fig. 102. Estado final tras los trabajos de consolidación en los ambientes 4 y 5


Trabajos realizados por los peones especializados

Durante la campaña de excavación de 2020, realizada durante el mes de julio, se contó con tres peones especializados que han intervenido en absolutamente todas las labores relacionadas con los trabajos arqueológicos.

Estos trabajos han consistido por un lado en la remoción y excavación arqueológica anteriormente detallada, asistida en todo momento por el equipo director del proyecto. Del mismo modo, también realizaron trabajos de protección y acondicionamiento una vez finalizadas las labores de excavación.

Finalmente, también realizaron trabajos de limpieza de materiales arqueológicos, en todo momento supervisados por los técnicos responsables de la excavación arqueológica.

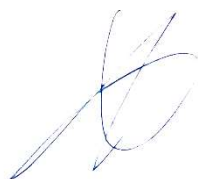
Alicante, 26 de febrero de 2021



Jaime Molina Vidal



Francisco Javier Muñoz Ojeda



Juan Francisco Álvarez Tortosa



copia1/2

PREACTA DE INGRESO DE MATERIALES

Fecha de entrega: jueves 25 febrero 2021

Nombre de la intervención: Análisis y estudio arqueológico de las Termas Orientales y áreas circundantes de La Alcudia de Elche (La Alcudia-Termas Orientales). Elx, sector 7F.

Nº expediente: A-2020-0166

Director/es: D. Jaime Molina Vidal con DNI 21.474.593-E, D. Francisco Javier Muñoz Ojeda con DNI 52.764.257-A y D. Juan Francisco Álvarez Tortora con DNI 48.320.267-G

Museo de la Fundación La Alcudia (responsable de la recepción): Ana Mª Ronda Femenia.

Entrega: Javier Muñoz Ojeda, la siguiente relación de materiales para su comprobación:

Nº de caja	Tipo de material	UE	Observaciones
163	Inventariable	792	
164	inventariable	792	
165	inventariable	792	
166	inventariable	792	
167	inventariable	792	
168	inventariable	792	
169	inventariable	791	
170	inventariable	761	
171	inventariable	761	
172	inventariable	779	
173	inventariable	762,768,777,784	
174	inventariable	754	
175	inventariable	783	
176	inventariable	793	
177	inventariable	1, 753,754,778, 803, 800	
178	inventariable	764,765,769,315,773,772,304,771,619, 707,616, 757	

ACTA DE DEPÓSITO DE MATERIALES

En Elche/Elx, a 26 de febrero de 2021

En el Museo Monográfico L'Alcúdia reunidos, en la fecha arriba indicada, de una parte D. Francisco Javier Muñoz Ojeda, codirector y en representación de la intervención arqueológica Termas Orientales y áreas circundantes de La Alcudia de Elche, y de otra D/Dña. Ana Mª Ronda Femenia con DNI 21447830P, técnico arqueólogo/a del Museo Monográfico de L'Alcúdia, entregan y reciben, respectivamente, los materiales arqueológicos recuperados en ella, tras haber comprobado que las cajas y su contenido corresponden a la relación presentada en el día de su

Áreas de Arqueología y Catalogación
Fundación Universitaria L'Alcúdia
Tel. 96 6611506-647798939
Pda. Alzaberes Bajo, Pol. 1, nº 138, 03290,
Elche
ana.ronda@ua.es; mercedes.lendero@ua.es



copia1/2

entrega, expresada en la cuadro de la pre-acta de ingreso que antecede a la presente acta de depósito. Quedan guardados en el almacén del Museo.

DECLARAN:

PRIMERO.- Que la Dirección General competente en materia de patrimonio cultural de la Comunidad Valenciana, de conformidad con los artículos 60 de la Ley 4/1998 de Patrimonio Cultural valenciano y de la ley 42 de la ley 16/1985, de 25 de junio, del Patrimonio Histórico Español, concedió permiso de excavación nº expediente A-2020-0166 para estudio y análisis de las Termas Orientales y áreas circundantes de La Alcúdia de de Elche.

SEGUNDO.- En el mencionado permiso de intervención arqueológica se especificaba que, una vez finalizada la actuación, es en el Museo Monográfico de L'Alcúdia donde deben depositarse los materiales arqueológicos fruto de los trabajos.

TERCERO.- La Comunidad Autónoma Valenciana ostenta la titularidad de los materiales que se entregan, de acuerdo con lo dispuesto en el artículo 64.1 de la Ley 4/98 de 11 de junio de Patrimonio Histórico Artístico de la Generalitat Valenciana.

CUARTO.- Por todo ello, el director de la intervención hace entrega al Museo de los materiales arqueológicos que se relacionan en el cuadro adjunto.

La presente acta de entrega de materiales se levanta por duplicado.

EL DIRECTOR DE LA INTERVENCIÓN
ARQUEOLÓGICA

LA TÉCNICA ARQUEÓLOGA RESPONSABLE DEL
MUSEO

ANA
MARIA|
RONDA|
FEMENIA

Firmado digitalmente por
ANA MARIA|RONDA|FEMENIA
Nombre de reconocimiento
(DN): cn=ANA MARIA|RONDA|
FEMENIA,
serialNumber=21447830P,
givenName=ANA MARIA,
sn=RONDA FEMENIA,
ou=Ciudadanos, o=ACCV,
c=ES
Fecha: 2021.02.26 14:50:57
+01'00'

Àreas de Arqueologia y Catalogación
Fundación Universitat L'Alcúdia
Tel. 96 6611506- 647798939
Pda. Alzaberes Bajo, Pol. 1, nº 138, 03290,
Elche
ana.ronda@ua.es; memedes.lindero@ua.es